



**VYSOKÉ UČENÍ TECHNICKÉ V BRNĚ**

BRNO UNIVERSITY OF TECHNOLOGY

**FAKULTA STAVEBNÍ**

FACULTY OF CIVIL ENGINEERING

**ÚSTAV TECHNICKÝCH ZAŘÍZENÍ BUDOV**

INSTITUTE OF BUILDING SERVICES

**NÁVRH SYSTÉMU VYTÁPĚNÍ DŘEVOSTAVBY  
BYTOVÉHO DOMU**

DESIGN OF HEATING SYSTEM OF WOODEN APARTMENT BUILDING

**BAKALÁŘSKÁ PRÁCE**

BACHELOR'S THESIS

**AUTOR PRÁCE**

AUTHOR

**Marek Rušín**

**VEDOUCÍ PRÁCE**

SUPERVISOR

**Ing. LUCIE HORKÁ**

**BRNO 2019**



# VYSOKÉ UČENÍ TECHNICKÉ V BRNĚ FAKULTA STAVEBNÍ

<b>Studijní program</b>	B3607 Stavební inženýrství
<b>Typ studijního programu</b>	Bakalářský studijní program s prezenční formou studia
<b>Studijní obor</b>	3608R001 Pozemní stavby
<b>Pracoviště</b>	Ústav technických zařízení budov

## ZADÁNÍ BAKALÁŘSKÉ PRÁCE

<b>Student</b>	Marek Rušíň
<b>Název</b>	Návrh systému vytápění dřevostavby bytového domu
<b>Vedoucí práce</b>	Ing. Lucie Horká
<b>Datum zadání</b>	30. 11. 2018
<b>Datum odevzdání</b>	24. 5. 2019

V Brně dne 30. 11. 2018

---

prof. Ing. Jiří Hirš, CSc.  
Vedoucí ústavu

---

prof. Ing. Miroslav Bajer, CSc.  
Děkan Fakulty stavební VUT



## PODKLADY A LITERATURA

- technické podklady k zadané budově
- aktuální právní předpisy ČR
- české i zahraniční technické normy
- odborná literatura
- internet

## ZÁSADY PRO VYPRACOVÁNÍ

A. Teoretická část – literární rešerše ze zadaného tématu, rozsah 15 až 20 stran

B. Výpočtová část

- analýza objektu – koncepční řešení vytápění a větrání objektu, volba zdroje tepla
- výpočet tepelného výkonu
- návrh otopných ploch, návrh zdroje tepla
- návrh přípravy teplé vody, event. dalších spotřebičů tepla
- dimenzování a hydraulické posouzení potrubí, návrh oběhových čerpadel
- návrh zabezpečovacího zařízení
- návrh výše nespecifikovaných zařízení, jsou – li součástí soustavy
- roční potřeba tepla a paliva

C. Projekt – úroveň prováděcího projektu: půdorysy + legenda, 1:50 (1:100), schéma zapojení otopných těles - / 1:50 (1:100), půdorys (1:25, 1: 20) a schéma zapojení zdroje tepla, technická zpráva

## STRUKTURA BAKALÁŘSKÉ PRÁCE

VŠKP vypracujte a rozčleňte podle dále uvedené struktury:

1. Textová část VŠKP zpracovaná podle Směrnice rektora "Úprava, odevzdávání, zveřejňování a uchovávání vysokoškolských kvalifikačních prací" a Směrnice děkana "Úprava, odevzdávání, zveřejňování a uchovávání vysokoškolských kvalifikačních prací na FAST VUT" (povinná součást VŠKP).
2. Přílohy textové části VŠKP zpracované podle Směrnice rektora "Úprava, odevzdávání, zveřejňování a uchovávání vysokoškolských kvalifikačních prací" a Směrnice děkana "Úprava, odevzdávání, zveřejňování a uchovávání vysokoškolských kvalifikačních prací na FAST VUT" (nepovinná součást VŠKP v případě, že přílohy nejsou součástí textové části VŠKP, ale textovou část doplňují).

## **ABSTRAKT**

Cílem této bakalářské práce je navrhnout vytápění a přípravu teplé vody pro dřevostavbu bytového domu v Chocni. Budova je rozdělena na dva objekty, každý z nich má 3 nadzemní podlaží. Vytápění je řešeno deskovými a trubkovými otopnými tělesy. Zdrojem tepla jsou dva plynové kondenzační kotle zapojené do kaskády. Teoretická část se zabývá měřením spotřebovaného tepla na vytápění a přípravu teplé vody.

## **KLÍČOVÁ SLOVA**

Vytápění, bytový dům, plynový kondenzační kotel, příprava teplé vody, oběhová čerpadla, tepelná ztráta, zabezpečovací zařízení, desková otopná tělesa, trubková otopná tělesa

## **ABSTRACT**

The aim of this bachelor thesis design of heating system and hot water preparation for timber structure of an apartment building in Choceň. The building is divided into two separate objects, both of them have three floors. The heating system consist of a steel panel radiators and towel rail radiators . The source of heat consists of two gas condensing boilers connected to a cascade. The theoretical part deals with measuring of consumed heat for heating and hot water preparation.

## **KEYWORDS**

Heating, apartment building, gas condensing boiler, hot water preparation, circulatory pumps, heat loss, safety devices, plate heating elements, tubular heating elements

## **BIBLIOGRAFICKÁ CITACE**

Marek Rušín *Návrh systému vytápění dřevostavby bytového domu*. Brno, 2019. 94 s., 95 s. příl.

Bakalářská práce. Vysoké učení technické v Brně, Fakulta stavební, Ústav technických zařízení budov.

Vedoucí práce Ing. Lucie Horká.

## **PROHLÁŠENÍ O SHODĚ LISTINNÉ A ELEKTRONICKÉ FORMY ZÁVĚREČNÉ PRÁCE**

Prohlašuji, že elektronická forma odevzdané bakalářské práce s názvem *Návrh systému vytápění dřevostavby bytového domu* je shodná s odevzdanou listinnou formou.

V Brně dne 23. 5. 2019

---

Marek Rušíň  
autor práce

## **PROHLÁŠENÍ O PŮVODNOSTI ZÁVĚREČNÉ PRÁCE**

Prohlašuji, že jsem bakalářskou práci s názvem *Návrh systému vytápění dřevostavby bytového domu* zpracoval(a) samostatně a že jsem uvedl(a) všechny použité informační zdroje.

V Brně dne 23. 5. 2019

---

Marek Rušíň  
autor práce

## **Poděkování**

Tímto bych chtěl poděkovat vedoucímu mé bakalářské práce Ing. Lucii Horké za cenné rady, trpělivost a ochotu při odborných konzultacích. Další poděkování patří mé rodině za podporu během celého studia.

# OBSAH:

ÚVOD .....	12
<b>1 TEORETICKÁ ČÁST-MĚŘENÍ SPOTŘEBOVANÉHO TEPLA (ČÁST A) .....</b>	<b>13</b>
1.1 ÚVOD .....	13
1.2 Využití měřidel spotřebovaného tepla .....	13
1.3 Teplo .....	13
1.4 Problematika prostupu tepla mezi byty .....	14
1.5 Metody měření spotřeby tepla .....	15
1.5.1 Mechanické indikátory .....	15
1.5.2 Elektronické indikátory .....	17
1.5.3 Denostupňová metoda .....	19
1.5.4 Průtokové měřiče tepla .....	20
1.6 Způsoby odečtení dat spotřebovaného tepla .....	20
1.6.1 Vizuální odečet .....	21
1.6.2 Odečet po kabelu .....	21
1.6.3 Radiový odečet dat .....	21
1.7 Rozúčtování nákladů na vytápění .....	24
1.7.1 Příklady rozúčtování nákladů na vytápění .....	25
1.7.2 Příklad pro indikátory topných nákladů pro byt: .....	25
1.7.3 Příklad pro denostupňovou metodu .....	27
1.8 Volba metody měření tepla pro bakalářskou práci .....	28
<b>2 VÝPOČTOVÁ ČÁST (ČÁST B) .....</b>	<b>29</b>
2.1 Analýza objektu .....	29
2.2 Stanovení součinitelů prostupu tepla .....	30
2.2.1 Shrnutí výsledků .....	36
2.3 Výpočet tepelných ztrát objektu .....	37
2.3.1 Výpočet tepelných ztrát pro 1. NP .....	37
2.3.2 Výpočet tepelných ztrát pro 2. NP .....	38
2.3.3 Výpočet tepelných ztrát pro 3. NP .....	39
2.4 Energetický štítek obálky budovy .....	40
2.5 Návrh otopných těles .....	44
2.5.1 Tabulka otopných těles pro 1. NP .....	44
2.5.2 Tabulka otopných těles pro 2. NP .....	45
2.5.3 Tabulka otopných těles pro 3. NP .....	46
2.6 Příprava teplé vody .....	47
2.6.1 Odběrová křivka .....	48
2.6.2 Návrh zásobníkového ohřevu .....	49
2.7 Návrh zdroje tepla .....	50
2.8 Dimenzování a hydraulické posouzení potrubí .....	51
2.9 Dimenzování vyvažovacích ventilů .....	53
2.9.1 Vyvažovací ventil pro větev 1: .....	53
2.9.2 Vyvažovací ventil pro větev 2: .....	54

2.9.3	Vyvažovací ventil pro větev 3: .....	54
2.9.4	Vyvažovací ventil pro větev 4: .....	55
2.9.5	Vyvažovací ventil pro TUV: .....	55
2.10	<i>Dimenzování trojcestných směšovacích ventilů</i> .....	56
2.10.1	Trojcestný směšovací ventil pro větev 1: .....	56
2.10.2	Trojcestný směšovací ventil pro větev 2: .....	56
2.10.3	Trojcestný směšovací ventil pro větev 3: .....	57
2.10.4	Trojcestný směšovací ventil pro větev 4: .....	57
2.11	<i>Návrh oběhových čerpadel</i> .....	58
2.11.1	Oběhové 1o Č1 pro větev 1- Alpha2 25-50 180 50 Hz .....	58
2.11.2	Oběhové čerpadlo Č2 pro větev 2- Alpha1 L 25-40 180 50 Hz.....	59
2.11.3	Oběhové čerpadlo Č3 pro větev 3- Alpha1 L 25-60 180 50 Hz.....	60
2.11.4	Oběhové čerpadlo Č4 pro větev 4- Alpha1 L 25-40 180 50 Hz.....	61
2.11.5	Oběhové čerpadlo Č5 pro TUV – Comfort 15-14 BXPM 50 Hz.....	62
2.12	<i>Návrh zabezpečovacích zařízení otopné soustavy</i> .....	63
2.12.1	Tlaková expanzní nádoba.....	63
2.12.2	Návrh pojistného ventilu .....	65
2.13	<i>Návrh dalších zařízení technické místnosti</i> .....	65
2.13.1	Kombinovaný rozdělovač sběrač .....	65
2.13.2	Hydraulický vyrovnávač dynamických tlaků .....	66
2.13.3	Automatická bloková úpravna vody .....	66
2.14	<i>Kompensace délkových změn potrubí</i> .....	67
2.15	<i>Návrh izolací potrubí</i> .....	69
2.15.1	Navrhované tloušťky izolací .....	69
2.16	<i>Větrání technické místnosti</i> .....	76
2.16.1	Tepelná bilance technické místnosti v zimě .....	76
2.16.2	Tepelná bilance technické místnosti v létě .....	76
2.17	<i>Odvod spalin</i> .....	77
2.18	<i>Roční potřeba tepla a paliva</i> .....	78
2.18.1	Potřeba tepla na vytápění a ohřev TV.....	78
2.18.2	Potřeba paliva .....	78
<b>3</b>	<b>PROJEKT (ČÁST C)</b> .....	<b>79</b>
3.1	<i>Technická zpráva</i> .....	79
3.1.1	Úvod .....	79
3.1.2	Podklady pro zpracování objektu .....	79
3.1.3	Tepelné ztráty a potřeba tepla .....	79
3.1.4	Koncepce objektu .....	80
3.1.5	Zdroj tepla .....	80
3.1.6	Topná soustava .....	81
3.1.7	Příprava teplé vody .....	82
3.1.8	Požadavky na ostatní profese .....	82
3.1.9	Montáž a uvedení do provozu.....	83
3.1.10	Zkoušky zařízení .....	83
3.1.11	Obsluha a ovládání.....	83
3.1.12	Ochrana životního prostředí .....	83
3.1.13	Použité normy a předpisy .....	84



<b>ZÁVĚR.....</b>	<b>85</b>
<b>SEZNAM POUŽITÝCH NOREM .....</b>	<b>86</b>
<b>SEZNAM POUŽITÝCH ZDROJŮ .....</b>	<b>87</b>
<b>SEZNAM POUŽITÝCH ZKRATEK A OZNAČENÍ.....</b>	<b>90</b>
<b>SEZNAM OBRÁZKŮ .....</b>	<b>93</b>
<b>PŘÍLOHY .....</b>	<b>94</b>

# ÚVOD

Předmětem bakalářské práce je vytápění dřevostavby bytového domu v Chocni. Práce se dělí na tři hlavní části-teoretická část, výpočtová část a část projektová.

První teoretická část se zabývá způsoby měření spotřebovaného tepla. Především metodami měření a indikace spotřebovaného tepla, rozúčtováním koncovým uživatelům a typy odečtu odebraného tepla.

Druhá výpočetní část práce se věnuje návrhu topné soustavy. Řeší se zde prostupy tepla jednotlivými konstrukcemi, tepelné ztráty budovy, návrh otopných těles a jejich regulaci, návrh zdroje tepla, dimenzování potrubních rozvodů, příprava teplé vody, návrhu zařízení technické místnosti.

Třetí částí je projekt, který je tvořen technickou zprávou a přiloženou technickou dokumentací.

# 1 TEORETICKÁ ČÁST-MĚŘENÍ SPOTŘEBOVANÉHO TEPLA (ČÁST A)

## 1.1 ÚVOD

Základem pro získání přesných a správných hodnot spotřebovaného tepla je nutné zvolit odpovídající metodu měření či indikace odebíraného tepla. Neexistuje pouze jedno správné řešení, jen je třeba zvolit to nejvhodnější pro daný objekt. S postupem času a rozvojem techniky se i měření spotřebovaného tepla zpřesňuje a zlepšuje. Odpařovací indikátory jsou nahrazeny elektronickými indikátory s dálkovým odečtem hodnot. Odečet přes rádiové vlny je snadnější, bezproblémový, praktický a šetří čas. Vizuální odečet se v dnešní době už příliš neobjevuje.

## 1.2 Využití měřidel spotřebovaného tepla

V dnešní době vykazuje potřebu měřit míru spotřebovaného tepla každý bytový či komerční objekt. Díky měřidlům dodávky tepla máme možnost tuto spotřebovanou energii vyfakturovat jednotlivým odběratelům. Získání takovýchto dat značnou mírou motivuje odběratele k úspornějšímu provozu a tím dochází k úsporám za dodanou energii.

V rodinných domech a v domech pro rodinou rekreaci měřidla příliš nevyužijeme, pokud se nejedná o dvojdomy či dvougenerační domy s nutností rozdělení topných nákladů odlišným spotřebitelům.

## 1.3 Teplo

Teplo je termodynamická veličina vyjadřující míru změny vnitřní energie. Popisuje procesy, v nichž se odehrává mnoho neuspořádaných srážek částic. Množství tepla je závislé na měrné tepelné kapacitě tělesa, hmotnosti tělesa a rozdílu počáteční teploty a konečné teploty.

$$Q = c \cdot m \cdot (t_2 - t_1) \text{ [J]}$$

Kde:

c      měrná tepelná kapacita [J/kg\*K]

m      hmotnost [kg]

t<sub>1</sub>      počáteční teplota [°C]

t<sub>2</sub>      konečná teplota [°C]

Q      množství tepla [J]

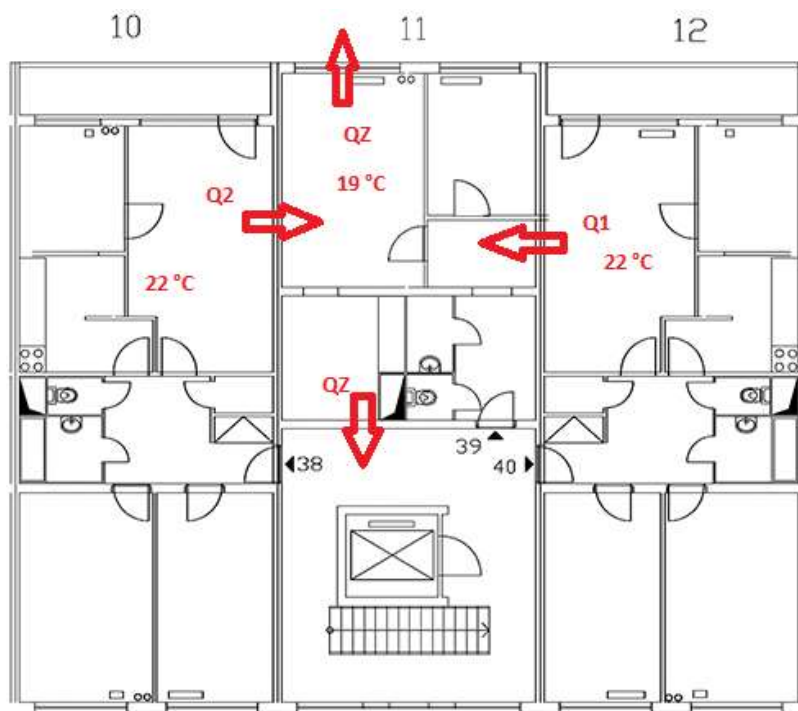
Teplo má schopnost přenášet svou energii, takže může docházet k výměně tepla mezi dvěma tělesy s různou teplotou. Vždy je tepelná energie předávána z teplejšího tělesa tomu chladnějšímu a nikdy naopak. Šíření tepla probíhá pomocí vedení, proudění nebo sálání. První dva zmíněné typy výměny tepla potřebují prostředí vyplněné látkou, třetí může předávat teplo i ve vakuu.

## 1.4 Problematika prostupu tepla mezi byty

Vznik prostupu tepla mezi místnostmi či byty je zapříčiněn rozdílnými teplotami, díky kterým vzniká tepelný tok z teplejší místnosti do chladnější místnosti. To znamená, že uživatel zvyklý na větší tepelný komfort bude vytápět souseda, kterému postačí tepelný komfort nižší. Dochází tedy k nedobrovolnému předávání tepla skrze konstrukci stěny.

Tento problém se týká převážně indikátorů tepelných nákladů, které snímají pouze teplo dodané otopným tělesem, a průtokových měřičů tepla, které snímají teplo dodané k otopným tělesům. Dvoučidlové elektronické indikátory sice snímají i blízkou teplotu okolí otopného tělesa, ale tato teplota není teplotou místnosti. Pokud si je uživatel vědom této skutečnosti mohl by ji zneužívat pro svůj prospěch.

Příkladem je byt situovaný mezi dva rohové byty, ve kterém jsou otopná tělesa vypnuta a byt je vyhříván pouze sousedy. Uživatelé rohových bytů budou tedy platit za teplo pro pokrytí tepelných ztrát do exteriéru a tepelných ztrát k sousedovi. Zatímco uživatel prostředního bytu, s nulovými náklady na indikátoru, zaplatí pouze minimální míru průměrných nákladů zúčtovací jednotky.



Obrázek 1: Prostupy tepla bytu s uzavřenými otopnými tělesy: Q1 a Q2 tepelné zisky ze sousedních bytů, QZ tepelné ztráty

## 1.5 Metody měření spotřeby tepla

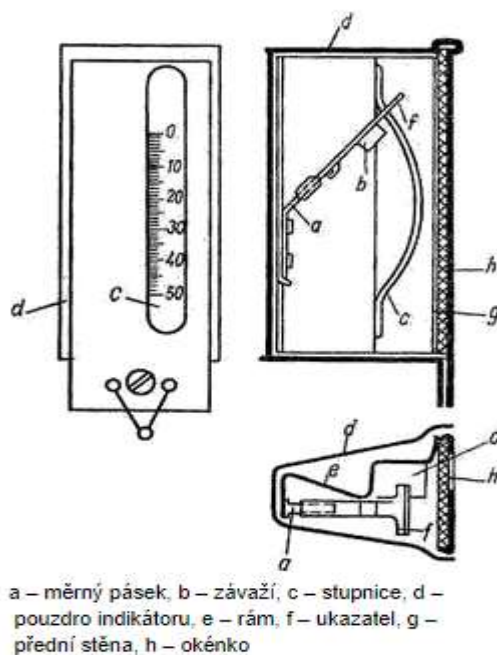
Existuje mnoho různých měřidel a indikátorů pracujících na odlišných principech a metodách k získávání požadovaných dat. Mechanické indikátory nepoužívají žádné elektronické součásti a sběr dat tedy probíhá pouze díky mechanickým prvkům. Na druhé straně novodobá měřidla sbírají data díky mikroelektronickým čipům.

### 1.5.1 Mechanické indikátory

Rozdělování nákladů koncovým spotřebitelům není jen trend dnešní doby, ale už v historii byla vyvinuta snaha měřit spotřebované teplo. Mechanické indikátory pracují s fyzikálními vlastnostmi bez přítomnosti elektroniky.

#### Indikátory CALDIV

Fungují na principu trvalé deformace určité slitiny kovů při namáhání. Používána byla slitina zinku mědi a hliníku s názvem Z 100.



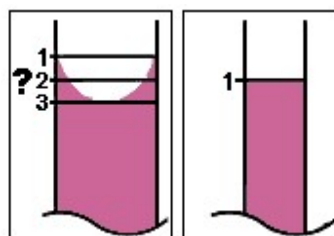
Obrázek 2: Indikátor CALDIV

### Indikátory na principu změny optické hustoty

Zakládá se na úbytku optické hustoty skla, které je ozářeno kobaltovým radioaktivním zářičem. Postupný úbytek hustoty závisí na teplotě otopného tělesa a čase. Nevýhodou je nutné odečtení počátečního úbytku až ve fázi instalace u spotřebitele, jelikož ztráta hustoty probíhá ihned po výrobě. Odečet úbytku optické hustoty proběhne na konci otopné sezóny a provede se denzitometrem.

### Odpařovací trubičkové a kapilární indikátory

K nesporným výhodám patří jejich nízká pořizovací cena, naproti tomu jsou v celku nepřesné. Principem je odpařování kapaliny v měřicí odnímatelné ampuli. Odpařené množství kapaliny je závislé na povrchové teplotě otopného tělesa a doby působení tepla. Při odečtu dílků může dojít k chybě vlivem kapilární deprese



Obrázek 3: Kapilární deprese

### Indikátory Thermon pracující s termočlánky

Termočlánek měří rozdíl střední teploty otopného tělesa a teplotu okolního vzduchu v místnosti. Počet článků určuje výkon otopného tělesa, na kterém je indikátor připevněn. Odečet probíhá na kapiláře, do které odkapává rtuť z elektrolytického počítadla. Umožňuje centrální odečet hodnot, jelikož kapilára může být situována na společné chodbě.



Obrázek 4: Krátká a dlouhá verze přístroje THERMON

### 1.5.2 Elektronické indikátory

Jedná se o novodobý typ indikátorů, který používá pro zisk dat elektroniku. Drtivá většina elektronických indikátorů oplývá displejem, díky němuž odpadá možná chyba odečtu při chybném úhlu pohledu. Jde o nejrozšířenější a nejmodernější typ indikace spotřeby tepla.

#### Elektronické indikátory první generace

První generace se příliš neosvědčila z důvodů vysokých pořizovacích cen a nepřesvědčivých vlastností. Tento druh ještě neobsahoval displej a měl pouze ručkový ukazatel.

#### Elektronické indikátory druhé generace

Technicky vycházeli z jednočipových mikroprocesorů s velmi nízkou spotřebou. Pro měření spotřeby tepla byli stále ještě zbytečně složité. Odečet byl již možný z displeje nebo u pokročilejších typů i možnost připojení přenosného PC nebo vložení dat na paměťovou kartu.



Obrázek 5: Indikátor TECEM EHKV 90

#### Elektronické indikátory jednočidlové

Založené na stejném principu jako odpařovací indikátory, rozdílem je přesnost, pořizovací náklady a obsluha odečtu naměřených hodnot. Elektronikou také odpadá možnost studeného odparu mimo otopné období. Snímána je teplota otopného tělesa v čase a výsledkem je opět počet dílků, který je ukládán do paměti indikátoru. Možnost dálkového odečtení přes rádiové vlny eliminuje nutnost návštěv bytu. Stejně jako u odpařovacích indikátorů tento typ indikátoru neumí pracovat s prostupy tepla mezi byty. Vybaven je baterií s dlouhodobou životností, pokud ale baterie selže nebo dojde její životnost, budou všechna data se smazána.

### **Elektronické indikátory dvoučidlové**

Jak již z názvu napovídá oproti jednočidlovému indikátoru má tento typ čidla dvě, z nichž jedno snímá teplotu radiátoru a druhé teplotu blízkého okolí otopného tělesa. Blízkým okolím otopného tělesa se nemyslí teplota místnosti. Z důvodu blízké pozice čidel není možné stanovit teplotu místnosti. Výsledky měření jsou zobrazeny v dílcích na displeji. Výpočet dílků se stanoví z rozdílu naměřených teplot prvního čidla na otopném tělese a teploty naměřené druhým čidlem. Pokud je indikátor vystaven náhlé změně teploty, například průvanu nebo je zakryt, druhé čidlo přestane snímat a výsledné dílky vychází pouze z čidla na otopném tělese. Odečty údajů je možno provádět dálkově přes rádiové vlny.

Umístění indikátoru na otopném tělese musí být takové, aby nemohlo dojít k posunutí či odebrání indikátoru neoprávněnou osobou. Problémem je nalezení správné polohy indikátoru na otopném tělese, tak aby snímal střední povrchovou teplotu tělesa.

V rámci jedné zúčtovací jednotky je nutné použít stejný typ indikátoru od totožného výrobce.



*Obrázek 6: Dvoučidlový indikátor Siemens WHE30Z*



### 1.5.3 Denostupňová metoda

Denostupňová metoda je zcela odlišný druh měření tepla, která vychází přímo z venkovních teplot a průměrných teplot ve vytápěné místnosti. Z rozdílu těchto dvou hodnot dostaneme topné jednotky, v tomto případě denostupňů. Pro získání celkového počtu denostupňů za topné období se rozdíl teplot vynásobí počtem topných dnů.

Výpočet celkového počtu denostupňů:

$$D = (t_{in} - t_e) \cdot d$$

Kde:

D      počet denostupňů [DNS]

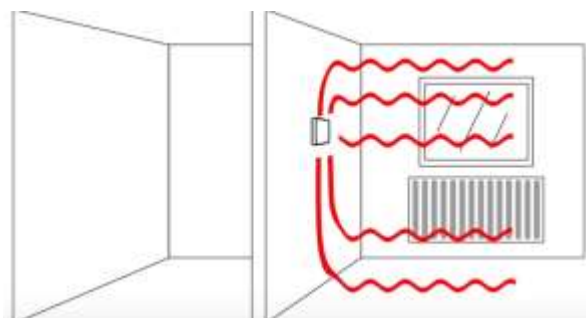
$t_{in}$     vnitřní teplota v místnosti [°C]

$t_e$       venkovní teplota [°C]

d      počet topných dnů [den]

K zajištění vnitřních a venkovních teplot slouží teploměry. Jeden je umístěn ve venkovním prostředí nejlépe na severní fasádě, aby se co nejvíce eliminovalo zkreslení náměru slunečním svitem. Druhý teploměr je v měřené místnosti umístěn tak, aby nebyl ovlivňován vařením či jiným podobným zdrojem tepla. Výška osazení vnitřního teploměru by měla být u všech čidel stejná z důvodu rozdílné teploty u podlahy a stropu. Dalšími požadavky jsou situovat teploměr na protější stranu okna a minimálně 50 cm od dveří. Tyto požadavky vyplývají z možnosti ovlivnění teploměru slunečními paprsky nebo vzniklého průvanu od pohybu dveří.

Mělo by jít o jednu z nejvíce spravedlivých metod měření spotřebovaného tepla. Zahrnuty jsou ztráty tepla zapříčiněné prostupem, takže spotřebitel zaplatí za teplo, které ve skutečnosti opravdu odebere otopným tělesem i prostupem. Tepelnou pohodu si uživatel nastavuje sám termostatickou hlavicí osazenou na otopném tělese. Sběr dat je centrální bez nutného vstupu do bytu. Data se akumulují a po daném období se vyhodnotí pro možnost rozúčtování odebraného tepla.



Obrázek 7: Snímač vnitřní teploty místnosti

### 1.5.4 Průtokové měřiče tepla

Každý průtokový měřič tepla pracuje na základě kalorimetrické rovnice, do které se musí dosadit hmotnost protečeného množství vody. Jelikož v praxi neměříme hmotnost protečeného množství nýbrž objem, je třeba tuto hodnotu přepočíst přes hustotu. Hustota vody je závislá na její teplotě z čehož vychází, že záleží na umístění měřiče na přívodní potrubí nebo vratné potrubí. Každý průtokový měřič se skládá z teploměrů umístěných na vstupu systému a výstupu systému, průtokoměru a kalorimetrického počítadla. Dodávají se jako kompaktní, subkompaktní nebo jako soupravy, které se dají modifikovat odlišnými komponenty. Odečtení hodnot spotřebovaného tepla se provádí pomocí rádiových vln nebo po kabelu. Výstupní hodnotou je množství spotřebované tepelné energie v megawatthodinách nebo gigajoulech. Každé 4 roky je třeba kalorimetr zkalibrovat nebo vyměnit za nový.



*Obrázek 8: Průtokový měřič SHARKY*

### 1.6 Způsoby odečtení dat spotřebovaného tepla

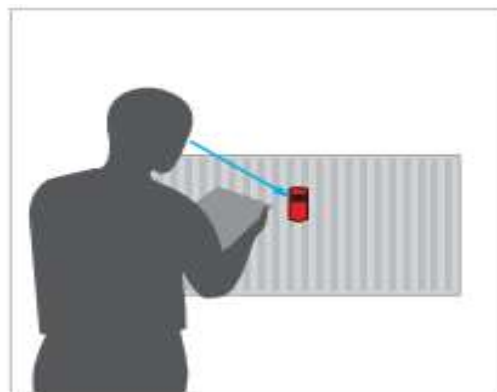
Správné odečtení výsledků spotřebovaného tepla je kritické pro rozúčtování dílčím spotřebitelům. S postupujícími technologiemi a rozmachem elektroniky pracující se softwary, se vylepšuje a upravuje i odečítání dat. Návštěva přímo do bytů už není nutná a dálkový sběr dat usnadňuje práci i čas.

Základní způsoby odečtu dat:

- Vizuální
- Po kabelu
- Pomocí rádia

### 1.6.1 Vizualní odečet

Pro vizualní odečet dat slouží vždy určitá stupnice rozdělená na jednotlivé stupně, pokročilejší měřidla mohou mít displej zobrazující dílky či přímo číselný výsledek. Stupnice měřidla musí být dobře přístupná a čitelná. Odečtení dat musí provést pověřená osoba. Uživatel je povinen umožnit přístup k měřidlu tepla či indikátoru topných nákladů. Nevýhodou může být nutnost návštěv bytů, vizualní odečty mohou být zdlouhavé a umožňují vytvoření chyby při čtení výsledků.



Obrázek 9: Vizualní odečet dat

### 1.6.2 Odečet po kabelu

Nejpoužívanější je kabelová síť M-bus, která vzájemně propojuje měřiče. Propojovat může až 250 měřičů. Vhodné řešení pro bytové domy, kde jsou měřidla relativně blízko sebe, každý měřič musí být vybaven modulem M-Bus a připojen na sběrnici. Systém je možné upgradovat na přenos dat přes rádiové vlny, protože datová komunikace pracuje na stejném principu.

Nutnost položení kabeláže(dvojlinky), na druhou stranu nepotřebuje baterii. Podává informace ve velmi krátkých intervalech. Data jsou sbírána sběrníci a dále posílány do PC nebo přímo na online stránky. Eliminuje chyby při vizualním odečítání.

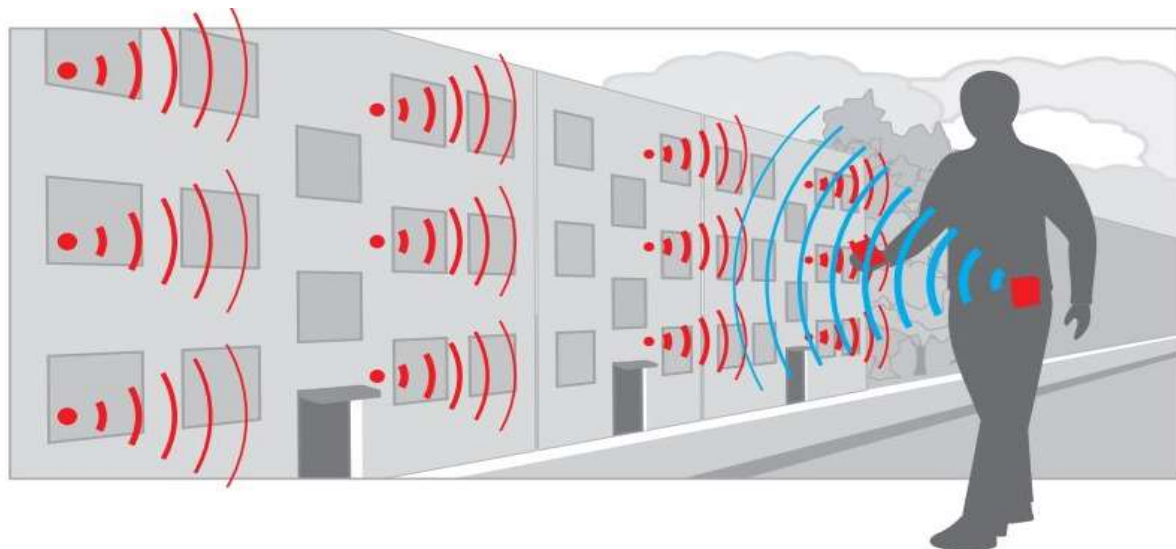
### 1.6.3 Radiový odečet dat

Nejvyspělejší a nepohodlnější sběr dat, za pomoci rádiových vln. Využíván je především protokol Wireless M-Bus s jednosměrnou komunikací 868 MHz nebo GSM pomocí zprávy SMS. Bez nutnosti instalace kabeláže. Dělí se na čtyři hlavní způsoby.

### Walk-By

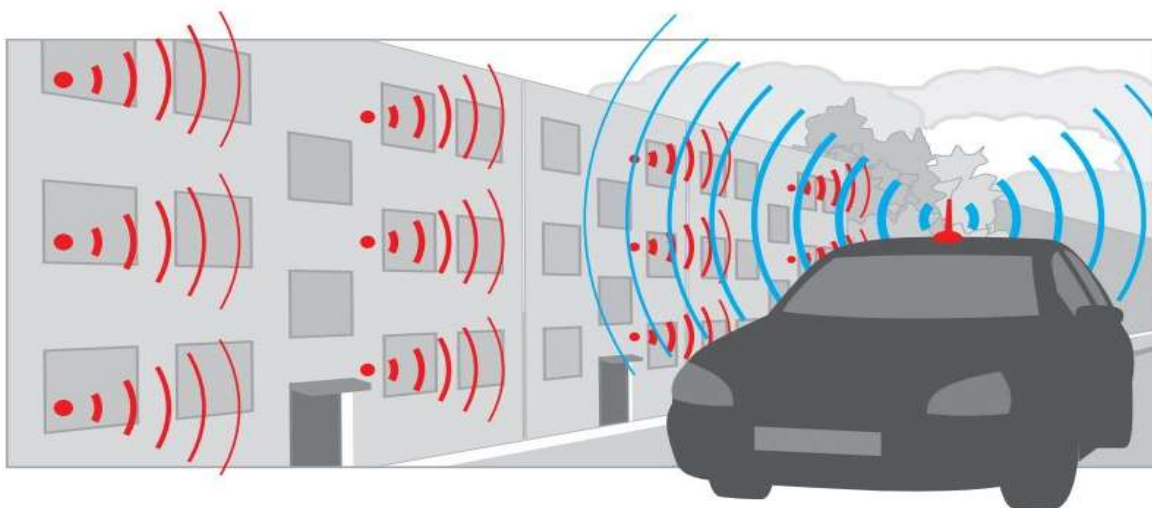
Probíhá většinou uvnitř objektu pochůzkou s odečtovým zařízením skládajícího se z přijímače, který odesílá data do přenosného PC nebo mobilního telefonu. Odpadá nutná synchronizace s uživateli bytu.

*Obrázek 10: odečítání dat Walk-by*



### Drive-By

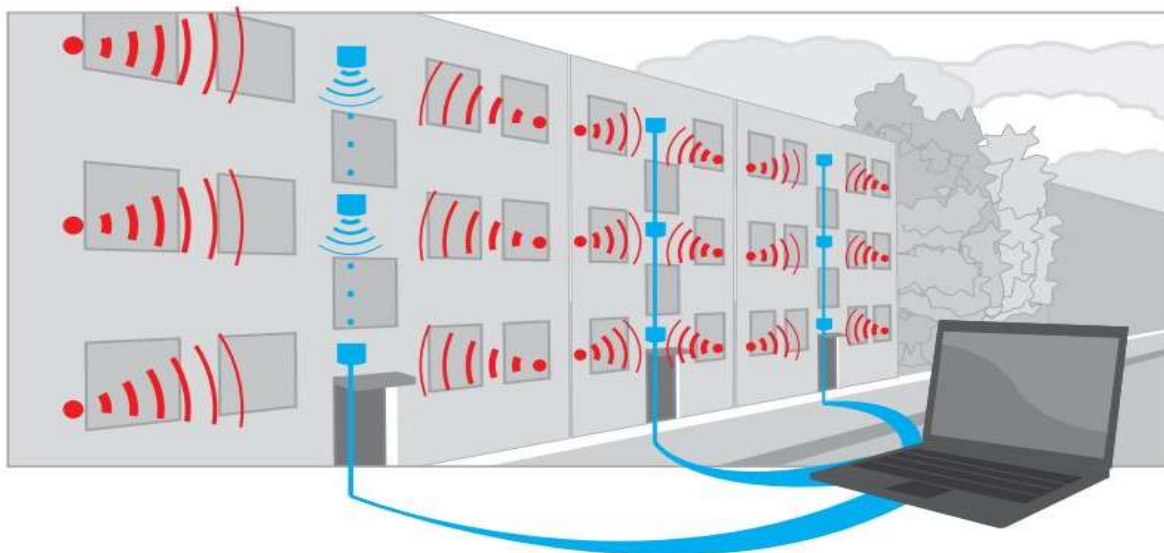
Obdobný zisk dat jako u systému Walk-By. Rozdílem je způsob zisku dat, který je provedený pohodlně ze stojícího či pomalu se pohybujícího automobilu. Usnadňuje práci osob pověřených pro odečítání dat o spotřebovaném teple. Zcela eliminuje chyby vzniklé nesprávným odečtem hodnot, jelikož výsledky jsou zpracovávány digitálně. Odečet je tedy přesný a bez nutnosti návštěv u uživatelů. Podstatně zkracuje dobu potřebnou na odečtení dat.



*Obrázek 11: Odečítání dat Drive-By*

### Uzlový systém (AMR)

Základním prvkem uzlového systému jsou sběrnice, které sbírají data posílaná od každého měřiče tepla či indikátoru tepelných nákladů. Obdržené výsledky dále zpracovává server, může se jednat o PC na kterém se data shromažďují. Pomocí portálového řešení lze výsledky zobrazit přes internet. Uživatel či správce mají k těmto datům přístup. Při poškození měřiče nebo indikátoru jsou data archivována ve sběrnici.



Obrázek 12: Odečet pomocí AMR

### Přes GSM/IoT operátora

Přes GSM nebo IoT modul jsou data přenášena do základnové stanice k operátorovi, který je poté dodává uživatelům. Spotřebu tepla je možné kontrolovat celý den přes webové stránky.



Obrázek 13: Odečet pomocí IoT operátora

## 1.7 Rozúčtování nákladů na vytápění

Rozúčtováním nákladů na vytápění je podle zákona pověřen vlastník, společenství vlastníků nebo bytová družstva. Povinností je i dodání vyúčtování koncovým uživatelům bytového nebo nebytového domu. Rozhodnutí o způsobu rozúčtování je vždy na vlastníkově domu i tehdy pokud je rozúčtování zadáno profesionální firmě, která se touto činností zabývá. Další z důležitých rozhodnutí je rozdělení nákladů na základní a spotřební složku.

### Základní složka

Velikost základní složky zvolí vlastník budovy, ze zákona se může pohybovat od 30 % do 50 % nákladů na vytápění. Před vyhláškou č. 269/2015 Sb. byla možná výše základní složky nákladů na vytápění 50 až 40 %. V jiných zemích je horní limit základní složky zvětšený o 10 až 20 %. Každý byt je vytápěn odlišně a má rozdílné tepelné ztráty. To znamená, že pokud je byt vhodně situován a prostup tepla z vedlejších bytů je velký a jen malá část tepla přichází od otopných těles, měla by být základní složka vyšší než spotřební. Základní složku rozděluje vlastník mezi uživatele podle poměru započitatelné podlahové plochy bytu ku celkové ploše bytů.

### Spotřební složka

Spotřební složka vychází z náměrů měřičů tepla nebo pomocí indikátorů připevněných na otopných tělesech. K rozdělení složky koncovým uživatelům se zahrnuje i poloha jejich bytu a do výsledků vstupují korekční součinitele. Výše spotřební složky je závislá na výši základní složky a může se tedy pohybovat v rozmezí 70 až 50 %. Pokud uživatel bytu odmítne nainstalování topných měřidel nebo indikátorů tepelných nákladů či neumožní jejich odečet, bude mu spotřební složka rozúčtování tepelných nákladů stanovena podle přílohy č. 2 vyhlášky č. 269/2015 Sb.

$$S_{ni} = \frac{X \cdot S_c \cdot P_{ni}}{(P_c + (X - 1) \cdot P_n)} \quad (\text{Kč})$$

Kde:

- $S_{ni}$  spotřební složka nákladů připadající na konkrétní byt/NP [Kč]
- $X$  násobek navýšení [-]
- $S_c$  celková spotřební složka nákladů za zúčtovací jednotku [Kč]
- $P_{ni}$  plocha konkrétního bytu/NP [m<sup>2</sup>]
- $P_c$  celková plocha v zúčtovací jednotce [m<sup>2</sup>]
- $P_n$  součet  $P_{ni}$  [m<sup>2</sup>]

### 1.7.1 Příklady rozúčtování nákladů na vytápění

V daném zúčtovacím období nesmí rozdíl v nákladech na vytápění připadající na 1 m<sup>2</sup> započitatelné podlahové plochy překročit hodnotu o 20 % nižší a o 100 % vyšší, než je průměr zúčtovací jednotky. Z čehož vychází, že rozdíl nákladů je v rozmezí 80 až 200 % průměru zúčtovací jednotky. Pokud dojde k tomuto překročení musí se upravit výpočtová metoda a příjemce, který nedosáhl na hodnotu 80 % zaplatí přesně 80 % průměru, zatímco příjemce, který překročil hodnotu 200 % zaplatí přesně 200 % průměru. Úprava se týká pouze příjemců u kterých, došlo k opakovanému překročení hodnot, pro příjemce bez překročení hodnot platí zůstatek po odečtení překročených hodnot. Tyto limitní hodnoty se týkají měření a indikace spotřeby tepla i denostupňové metody.

### 1.7.2 Příklad pro indikátory topných nákladů pro byt:

Celkové náklady objektu se v prvním kroku rozdělí na základní a spotřební složku. Podíl složek stanovuje vlastník objektu. Pro tento příklad je použito rozdělení 50/50 z důvodu použití indikátorů.

Celkové náklady objektu      1 500 000 Kč

Celková plocha objektu      1 000 m<sup>2</sup>

Celkové přepočtené dílky objektu    150 000 dílků

Základní složka nákladů na otop    750 000 Kč

Celková plocha objektu      1 000 m<sup>2</sup>

Cena za m<sup>2</sup>                  750 000/1 000 = 750 Kč

Spotřební složka nákladů na otop    750 000 Kč

Celkové přepočtené dílky objektu    150 000 dílků

Cena za dílek                  750 000/150 000 = 5,00 Kč

Plocha bytu                                  30 m<sup>2</sup>

Počet dílků na byt                          2200 dílků

Součin plochy bytu a nákladu objektu na 1 m<sup>2</sup>      22 500 Kč

Součin dílků za byt a ceny za dílek objektu          11 000 Kč

Náklady za byt celkem                      **33 500 Kč**







### 1.7.3 Příklad pro denostupňovou metodu

Výpočet vychází ze součtu vygenerovaných denostupňů ze všech dnů otopného období celého roku pro daný senzor. Tento součet se provede na všech senzorech v objektu čímž získáme celkové denostupně pro celý objekt. Rozúčtování je velmi podobné jako pro měření nebo indikaci spotřebovaného tepla.

Celkové náklady objektu 149 387 Kč

Celková plocha objektu 944,8 m<sup>2</sup>

Celkové denostupně objektu 49 407 DNS

Základní složka nákladů na otop 74 694 Kč

Celková plocha objektu 944,8 m<sup>2</sup>

Cena za m2                     $74\,694/944,8 = 79 \text{ Kč}$

Spotřební složka nákladů na otop	74 694 Kč
----------------------------------	-----------

Celkové přepočtené denostupně objektu	49 407 DNS
---------------------------------------	------------

Cena za denostupeň  $74\,694/49\,407 = 1,51 \text{ Kč}$

Plocha bytu	69,2 m <sup>2</sup>
-------------	---------------------

Počet denostupňů na byt	3143 DNS
-------------------------	----------

Součin plochy bytu a nákladu objektu na 1 m<sup>2</sup> 5471 Kč

Součin denostupňů za byt a ceny za denostupeň objektu 4 746 Kč

Náklady za byt celkem	10 217 Kč
-----------------------	-----------

Ověření přiměřenosti nákladů vzhledem k limitům:

Průměrný náklad na 1 m<sup>2</sup> objektu 79 Kč

Spodní hranice 80 % průměru  $63,2 \text{ Kč} < 79 \text{ Kč} \rightarrow \text{VYHOVÍ}$

Horní hranice 200 % průměru 158 Kč > 79 Kč → VYHOVÍ

Průměrný náklad na 1 m <sup>2</sup> bytu (10 217/69,2)	147,6 Kč
--	----------

Z výsledků vyplývá, že jsou splněny požadavky na průměrné náklady bytu na 1 m<sup>2</sup> a dále není nutná jejich úprava.

Podlah. plocha bytu [m2]

58,20

Vytápění bytu		
Doba bydlení	1.1-31.12	
	Denostupně	
Počáteční stav	0	D°
Koncový stav	3918	D°
Náměr denostupňů	3918	D°
Podlah. plocha bytu	58,2	m2
náklady na m2	103,722	Kč/ m2
<b>Základní složka nákladů ZS</b>	<b>6036,64</b>	<b>Kč</b>
Náměr denostupňů * Podlah.plocha bytu	228047,7954	D° * m2
Náklady na denostupeň * m2	0,04127361	Kč/ D° * m2
<b>Spotřební složka nákladů SS</b>	<b>9412,36</b>	<b>Kč</b>
<b>Náklady na vytápění (ZS+SS)</b>	<b>15449,00</b>	<b>Kč</b>

Zúčtovací jednotka	Blansko, Jasanová 24	
	Vytápění zúčtovací jednotky	
Celkové náklady na vytápění	200287,89	Kč
Spotřeba	318,6	GJ
Jednotková cena	628,65	Kč/GJ
Základní složka ZS [%]	40	
	80115,16	Kč
Spotřební složka SS [%]	60	
	120172,73	Kč
Suma podlahových ploch	772,40	m2
Suma součinů denostupňů a podlahových ploch	2911611,97010	D° * m2

Obrázek 15: Ukázka rozúčtování nákladů pro denostupňovou metodu

## 1.8 Volba metody měření tepla pro bakalářskou práci

Převládající část podlahové plochy všech bytů tvoří prostor obývacího pokoje spojeného s kuchyní. Tato místnost je situována na jih s poměrně velkou prosklenou plochou oken. V důsledku možného ovlivnění snímačů tepla těmito faktory, není příliš vhodně volit denostupňovou metodu.

Konstrukce oddělující jednotlivé byty vykazují dobré tepelně technické vlastnosti, tudíž nebude docházet k velkým prostupům tepla do sousedních bytů. Proto navrhuji indikátory tepelných nákladů na každé otopené těleso.

Odečet bude prováděn pochůzkou (Walk-By). Sběr dat od indikátorů bude zajišťovat sběrnice, komunikace mezi sběrníci a indikátory pomocí bezdrátové sítě M-Bus wireless. Sběrnice umístěna v nástřešní technické místnosti.

### Navrhuji indikátory tepelných nákladů Qundis caloric 5.5

*Technický list pro indikátory tepelných nákladů jsou přílohou této bakalářské práce. P [21]*

## 2 VÝPOČTOVÁ ČÁST (ČÁST B)

### 2.1 Analýza objektu

Řešeným objektem je novostavba bytového domu v lokalitě Vostelčice v Chocni. Jedná se o dřevostavbu separovanou rozdělovací spárou na dva objekty, jeden podsklepený a druhý nepodsklepený. Podsklepená část bytového domu je zhotovena z betonových tvarovek a zaizolována extrudovaným polystyrénem. Každý objekt má tři nadzemní podlaží, v každém podlaží se nacházejí dva byty, v prvním nadzemním podlaží nepodsklepeného objektu se nachází byt s bezbariérovým přístupem. Konstrukční systém dřevostavby je rámový, mezi nosné prvky se vkládá minerální izolace. Konstrukce stropů je obdobná jako u stěn, mezi nosné prvky se vkládá minerální izolace. Zastřešení je řešeno plochou jednoplášťovou střechou s vegetační pochozí vrstvou. Osazena budou okna s izolačním trojsklem a vsazena do dřevěného rámu, to platí i pro dveře. Schodiště je venkovní s dřevěnou konstrukcí.

Celková podlahová plocha objektu je 948,52 m<sup>2</sup>. Výška objektu je 15,15m. Vnější objem objektů je 4559,1 m<sup>3</sup>.

Pro vytápění objektu je zvolena dvoutrubková otopná soustava s nuceným oběhem topné vody. Příprava teplé vody a vody pro vytápění je zajištěna dvěma závěsnými plynovými kondenzačními kotli umístěnými v technické místnosti na střeše objektu. Ohřev teplé vody zajištěn pomocí nepřímotopného akumulčního zásobníku. Použita budou desková a trubková tělesa firmy KORADO pracující na teplotním spádu 60/50°C. Otopná soustava bude rozdělena do čtyř větví, které se budou sbíhat v technické místnosti do společného rozdělovače sběrače.

## 2.2 Stanovení součinitelů prostupu tepla

Postup pro stanovení součinitele prostupu tepla  $U$  [ $\text{W}/\text{m}^2\text{K}$ ]:

Součinitel prostupu tepla vyjadřuje, kolik wattů tepelné energie unikne konstrukcí na ploše  $1 \text{ m}^2$  při rozdílu teplot jejich povrchů  $1 \text{ K}$ .

$$U = \frac{1}{R_t} = \frac{1}{R_{si} + R + R_{se}} [\text{W}/\text{m}^2\text{K}]$$

$R_{si}$ -tepelný odpor při přestupu tepla z vnitřního prostředí do konstrukce [ $\text{m}^2\text{K}/\text{W}$ ]

$R_{se}$ -tepelný odpor při přestupu tepla z vnějšího prostředí do konstrukce [ $\text{m}^2\text{K}/\text{W}$ ]

$R$ -tepelný odpor konstrukce [ $\text{m}^2\text{K}/\text{W}$ ]

Tepelný odpor konstrukce  $R$  je součet všech dílčích odporů jednotlivých vrstev konstrukce.

$$R = \sum \frac{d_j}{\lambda_j} [\text{m}^2\text{K}/\text{W}]$$

$d_j$ -tloušťka materiálu [ $\text{m}$ ]

$\lambda_j$ -součinitel tepelné vodivosti materiálu [ $\text{W}/\text{mK}$ ]

**Posouzení:**

$$U \leq U_{N,20} [\text{W}/\text{m}^2\text{K}]$$

$U$ -součinitel prostupu tepla dané konstrukce

$U_{N,20}$ -normově daná hodnota součinitele prostupu tepla

Normové hodnoty  $U_{N,20}$  vycházejí z normy ČSN 73 0540-2:2011

## Skladba obvodové stěny S1, S2:

### VYHODNOCENÍ VÝSLEDKŮ PODLE KRITÉRIÍ ČSN 730540-2 (2011)

Název konstrukce: Obvodová S1

#### Rekapitulace vstupních dat

Návrhová vnitřní teplota  $T_i$ : 20,0 °C  
Převažující návrhová vnitřní teplota  $T_{iM}$ : 20,0 °C  
Návrhová venkovní teplota  $T_{ae}$ : -15,0 °C  
Teplota na vnější straně  $T_e$ : -15,0 °C  
Návrhová teplota vnitřního vzduchu  $T_{ai}$ : 20,0 °C  
Relativní vlhkost v interiéru  $R_{Hi}$ : 50,0 % (+5,0%)

#### Skladba konstrukce

Číslo	Název vrstvy	d [m]	Lambda [W/mK]	Mi [-]
1	Rigidur	0,0125	0,202	40,0
2	Rockwool Megarock	0,060	0,051	1,0
3	Egger OSB3	0,015	0,130	180,0
4	Dřevo měkké (tok kolmo k vlákn)	0,140	0,055	157,0
5	Rastr svislý	0,080	0,053	1,0
6	Rastr vodorovný	0,060	0,051	1,0
7	Dřevovláknité desky lisované 1	0,015	0,075	12,5

#### I. Požadavek na teplotní faktor (čl. 5.1 v ČSN 730540-2)

Požadavek:  $f_{Rsi,N} = f_{Rsi,cr} = 0,744$

Vypočtená průměrná hodnota:  $f_{Rsi,m} = 0,960$

Kritický teplotní faktor  $f_{Rsi,cr}$  byl stanoven pro maximální přípustnou vlhkost na vnitřním povrchu 80% (kritérium vyloučení vzniku plísní).

Průměrná hodnota  $f_{Rsi,m}$  (resp. maximální hodnota při hodnocení skladby mimo tepelné mosty a vazby) není nikdy minimální hodnotou ve všech místech konstrukce.

Nelze s ní proto prokazovat plnění požadavku na minimální povrchové teploty zabudované konstrukce včetně tepelných mostů a vazeb. Její převýšení nad požadavkem naznačuje pouze možnost plnění požadavku v místě tepelného mostu či tepelné vazby.

#### II. Požadavek na součinitel prostupu tepla (čl. 5.2 v ČSN 730540-2)

Požadavek:  $U_N = 0,30 \text{ W/m}^2\text{K}$

Vypočtená hodnota:  $U = 0,164 \text{ W/m}^2\text{K}$

$U < U_N$  ... POŽADAVEK JE SPLNĚN.

Vypočtený součinitel prostupu tepla musí zahrnovat vliv systematických tepelných mostů (např. krokví v zateplené šikmé střeše).

### VYHODNOCENÍ VÝSLEDKŮ PODLE KRITÉRIÍ ČSN 730540-2 (2011)

Název konstrukce: Obvodová S2

#### Rekapitulace vstupních dat

Návrhová vnitřní teplota  $T_i$ : 20,0 °C  
Převažující návrhová vnitřní teplota  $T_{iM}$ : 20,0 °C  
Návrhová venkovní teplota  $T_{ae}$ : -15,0 °C  
Teplota na vnější straně  $T_e$ : -15,0 °C  
Návrhová teplota vnitřního vzduchu  $T_{ai}$ : 20,0 °C  
Relativní vlhkost v interiéru  $R_{Hi}$ : 50,0 % (+5,0%)

#### Skladba konstrukce

Číslo	Název vrstvy	d [m]	Lambda [W/mK]	Mi [-]
1	Rigidur	0,0125	0,202	40,0
2	Rockwool Megarock	0,060	0,051	1,0
3	Egger OSB3	0,015	0,130	180,0
4	Dřevo měkké (tok kolmo k vlákn)	0,140	0,055	157,0
5	rastr kolmý	0,060	0,051	1,0
6	Rastr vodorovný	0,060	0,051	1,0
7	Egger DHF	0,015	0,100	11,0

#### I. Požadavek na teplotní faktor (čl. 5.1 v ČSN 730540-2)

Požadavek:  $f_{Rsi,N} = f_{Rsi,cr} = 0,744$

Vypočtená průměrná hodnota:  $f_{Rsi,m} = 0,958$

Kritický teplotní faktor  $f_{Rsi,cr}$  byl stanoven pro maximální přípustnou vlhkost na vnitřním povrchu 80% (kritérium vyloučení vzniku plísní).

Průměrná hodnota  $f_{Rsi,m}$  (resp. maximální hodnota při hodnocení skladby mimo tepelné mosty a vazby) není nikdy minimální hodnotou ve všech místech konstrukce.

Nelze s ní proto prokazovat plnění požadavku na minimální povrchové teploty zabudované konstrukce včetně tepelných mostů a vazeb. Její převýšení nad požadavkem naznačuje pouze možnost plnění požadavku v místě tepelného mostu či tepelné vazby.

#### II. Požadavek na součinitel prostupu tepla (čl. 5.2 v ČSN 730540-2)

Požadavek:  $U_N = 0,30 \text{ W/m}^2\text{K}$

Vypočtená hodnota:  $U = 0,172 \text{ W/m}^2\text{K}$

$U < U_N$  ... POŽADAVEK JE SPLNĚN.

Vypočtený součinitel prostupu tepla musí zahrnovat vliv systematických tepelných mostů (např. krokví v zateplené šikmé střeše).

## Skladba mezibytové příčky S3:

### VYHODNOCENÍ VÝSLEDKŮ PODLE KRITÉRIÍ ČSN 730540-2 (2011)

Název konstrukce: Mezibytová příčka S3

#### Rekapitulace vstupních dat

Návrhová vnitřní teplota  $T_i$ : 20,0 °C  
Převažující návrhová vnitřní teplota  $T_{iM}$ : 20,0 °C  
Návrhová venkovní teplota  $T_{ae}$ : -15,0 °C  
Teplota na vnější straně  $T_e$ : 20,0 °C  
Návrhová teplota vnitřního vzduchu  $T_{ai}$ : 20,0 °C  
Relativní vlhkost v interiéru RH*i*: 50,0 % (+5,0%)

#### Skladba konstrukce

Číslo	Název vrstvy	d [m]	Lambda [W/mK]	Mi [-]
1	Rigidur	0,0125	0,202	40,0
2	Předstěna	0,060	0,051	1,0
3	Rigidur	0,0125	0,202	40,0
4	Dřevo měkké (tok kolmo k vlákn	0,140	0,055	157,0
5	Rigidur	0,0125	0,202	40,0
6	Předstěna	0,060	0,051	1,0
7	Rigidur	0,0125	0,202	40,0

#### I. Požadavek na teplotní faktor (čl. 5.1 v ČSN 730540-2)

Teplota na venkovní straně konstrukce je vyšší nebo rovna teplotě vnitřního vzduchu.  
Požadavek na teplotní faktor není pro tyto podmínky definován a jeho splnění se proto neověřuje.  
V případě potřeby lze provést ručně srovnání vypočtené povrchové teploty s kritickou povrchovou teplotou podle ČSN 730540-2 (2005).

#### II. Požadavek na součinitel prostupu tepla (čl. 5.2 v ČSN 730540-2)

Požadavek:  $U, N = 2,70 \text{ W/m}^2\text{K}$   
Vypočtená hodnota:  $U = 0,205 \text{ W/m}^2\text{K}$   
 $U < U, N \dots$  POŽADAVEK JE SPLNĚN.

Vypočtený součinitel prostupu tepla musí zahrnovat vliv systematických tepelných mostů (např. krokvi v zateplené šikmé střeše).

## Skladba dělicí stěny v suterénu S8:

### VYHODNOCENÍ VÝSLEDKŮ PODLE KRITÉRIÍ ČSN 730540-2 (2011)

Název konstrukce: Stěna S8

#### Rekapitulace vstupních dat

Návrhová vnitřní teplota  $T_i$ : 20,0 °C  
Převažující návrhová vnitřní teplota  $T_{iM}$ : 20,0 °C  
Návrhová venkovní teplota  $T_{ae}$ : -15,0 °C  
Teplota na vnější straně  $T_e$ : 15,0 °C  
Návrhová teplota vnitřního vzduchu  $T_{ai}$ : 21,0 °C  
Relativní vlhkost v interiéru RH*i*: 50,0 % (+5,0%)

#### Skladba konstrukce

Číslo	Název vrstvy	d [m]	Lambda [W/mK]	Mi [-]
1	Rigidur	0,0125	0,202	40,0
2	předstěna	0,060	0,051	1,0
3	Egger OSB3	0,015	0,130	180,0
4	rošt	0,140	0,055	1,0
5	Egger OSB3	0,015	0,130	180,0
6	Rockwool Megarock	0,050	0,043	1,0
7	Beton hutný 1	0,300	1,230	17,0

#### I. Požadavek na teplotní faktor (čl. 5.1 v ČSN 730540-2)

Požadavek:  $f, R_{si}, N = f, R_{si}, cr = -0,507$   
Vypočtená průměrná hodnota:  $f, R_{si}, m = 0,956$

Kritický teplotní faktor  $f, R_{si}, cr$  byl stanoven pro maximální přípustnou vlhkost na vnitřním povrchu 80% (kritérium vyloučení vzniku plísní).

Průměrná hodnota  $fR_{si}, m$  (resp. maximální hodnota při hodnocení skladby mimo tepelné mosty a vazby) není nikdy minimální hodnotou ve všech místech konstrukce. Nelze s ní proto prokazovat plnění požadavku na minimální povrchové teploty zabudované konstrukce včetně tepelných mostů a vazeb. Její převýšení nad požadavkem naznačuje pouze možnosti plnění požadavku v místě tepelného mostu či tepelné vazby.

#### II. Požadavek na součinitel prostupu tepla (čl. 5.2 v ČSN 730540-2)

Požadavek:  $U, N = 1,30 \text{ W/m}^2\text{K}$   
Vypočtená hodnota:  $U = 0,179 \text{ W/m}^2\text{K}$   
 $U < U, N \dots$  POŽADAVEK JE SPLNĚN.

Vypočtený součinitel prostupu tepla musí zahrnovat vliv systematických tepelných mostů (např. krokvi v zateplené šikmé střeše).



## Skladba příčky:

### VYHODNOCENÍ VÝSLEDKŮ PODLE KRITÉRIÍ ČSN 730540-2 (2011)

Název konstrukce: Příčka

#### Rekapitulace vstupních dat

Návrhová vnitřní teplota  $T_i$ : 20,0 °C  
 Převažující návrhová vnitřní teplota  $T_{iM}$ : 20,0 °C  
 Návrhová venkovní teplota  $T_{ae}$ : -15,0 °C  
 Teplota na vnější straně  $T_e$ : 21,0 °C  
 Návrhová teplota vnitřního vzduchu  $T_{ai}$ : 21,0 °C  
 Relativní vlhkost v interiéru  $RH_i$ : 50,0 % (+5,0%)

#### Skladba konstrukce

Číslo	Název vrstvy	d [m]	Lambda [W/mK]	Mi [-]
1	Rigidur	0,0125	0,202	40,0
2	Dřevo měkké (tok kolmo k vlákn	0,090	0,055	157,0
3	Rigidur	0,0125	0,202	40,0

#### I. Požadavek na teplotní faktor (čl. 5.1 v ČSN 730540-2)

Teplota na venkovní straně konstrukce je vyšší nebo rovna teplotě vnitřního vzduchu.  
 Požadavek na teplotní faktor není pro tyto podmínky definován a jeho splnění se proto neověřuje.  
 V případě potřeby lze provést ručně srovnání vypočtené povrchové teploty s kritickou povrchovou teplotou podle ČSN 730540-2 (2005).

#### II. Požadavek na součinitel prostupu tepla (čl. 5.2 v ČSN 730540-2)

Požadavek:  $U, N = 2,70 \text{ W/m}^2\text{K}$   
 Vypočtená hodnota:  $U = 0,495 \text{ W/m}^2\text{K}$   
 $U < U, N \dots$  POŽADAVEK JE SPLNĚN.

Vypočtený součinitel prostupu tepla musí zahrnovat vliv systematických tepelných mostů (např. krokvi v zateplené šikmé střeše).

## Skladba příčky S5:

### VYHODNOCENÍ VÝSLEDKŮ PODLE KRITÉRIÍ ČSN 730540-2 (2011)

Název konstrukce: Příčka S5

#### Rekapitulace vstupních dat

Návrhová vnitřní teplota  $T_i$ : 20,0 °C  
 Převažující návrhová vnitřní teplota  $T_{iM}$ : 20,0 °C  
 Návrhová venkovní teplota  $T_{ae}$ : -15,0 °C  
 Teplota na vnější straně  $T_e$ : 21,0 °C  
 Návrhová teplota vnitřního vzduchu  $T_{ai}$ : 21,0 °C  
 Relativní vlhkost v interiéru  $RH_i$ : 50,0 % (+5,0%)

#### Skladba konstrukce

Číslo	Název vrstvy	d [m]	Lambda [W/mK]	Mi [-]
1	Rigidur	0,0125	0,202	40,0
2	Rigidur	0,0125	0,202	40,0
3	Rastr	0,140	0,055	1,0
4	Rigidur	0,0125	0,202	40,0
5	Rigidur	0,0125	0,202	40,0

#### I. Požadavek na teplotní faktor (čl. 5.1 v ČSN 730540-2)

Teplota na venkovní straně konstrukce je vyšší nebo rovna teplotě vnitřního vzduchu.  
 Požadavek na teplotní faktor není pro tyto podmínky definován a jeho splnění se proto neověřuje.  
 V případě potřeby lze provést ručně srovnání vypočtené povrchové teploty s kritickou povrchovou teplotou podle ČSN 730540-2 (2005).

#### II. Požadavek na součinitel prostupu tepla (čl. 5.2 v ČSN 730540-2)

Požadavek:  $U, N = 2,70 \text{ W/m}^2\text{K}$   
 Vypočtená hodnota:  $U = 0,328 \text{ W/m}^2\text{K}$   
 $U < U, N \dots$  POŽADAVEK JE SPLNĚN.

Vypočtený součinitel prostupu tepla musí zahrnovat vliv systematických tepelných mostů (např. krokvi v zateplené šikmé střeše).

## Skladba stropu suterénního podlaží:

### VYHODNOCENÍ VÝSLEDKŮ PODLE KRITÉRIÍ ČSN 730540-2 (2011)

Název konstrukce: strop 1.pp

#### Rekapitulace vstupních dat

Návrhová vnitřní teplota  $T_i$ : 20,4 °C  
 Převažující návrhová vnitřní teplota  $T_{im}$ : 20,0 °C  
 Návrhová venkovní teplota  $T_{ae}$ : 15,0 °C  
 Teplota na vnější straně  $T_e$ : 15,0 °C  
 Návrhová teplota vnitřního vzduchu  $T_{ai}$ : 21,0 °C  
 Relativní vlhkost v interiéru RH<sub>i</sub>: 50,0 % (+5,0%)

#### Skladba konstrukce

Číslo	Název vrstvy	d [m]	Lambda [W/mK]	Mi [-]
1	Rigidur	0,0125	0,202	40,0
2	Rastr 625mm	0,300	0,080	1,0
3	Egger OSB3	0,022	0,130	180,0
4	Rockwool Fasrock L	0,080	0,047	2,05
5	Anhydritová směs	0,050	1,200	20,0
6	Vlasy	0,020	0,180	157,0

#### I. Požadavek na teplotní faktor (čl. 5.1 v ČSN 730540-2)

Požadavek:  $f_{Rsi,N} = f_{Rsi,cr} = 0,825$   
 Vypočtená průměrná hodnota:  $f_{Rsi,m} = 0,967$

Kritický teplotní faktor  $f_{Rsi,cr}$  byl stanoven pro maximální přípustnou vlhkost na vnitřním povrchu 80% (kritérium vyloučení vzniku plísní).

Průměrná hodnota  $f_{Rsi,m}$  (resp. maximální hodnota při hodnocení skladby mimo tepelné mosty a vazby) není nikdy minimální hodnotou ve všech místech konstrukce. Nelze s ní proto prokazovat plnění požadavku na minimální povrchové teploty zabudované konstrukce včetně tepelných mostů a vazeb. Její převýšení nad požadavkem naznačuje pouze možnosti plnění požadavku v místě tepelného mostu či tepelné vazby.

#### II. Požadavek na součinitel prostupu tepla (čl. 5.2 v ČSN 730540-2)

Požadavek:  $U_N = 1,85 \text{ W/m}^2\text{K}$   
 Vypočtená hodnota:  $U = 0,13 \text{ W/m}^2\text{K}$

Požadavek  $U_N$  byl stanoven pro podmínku vyloučení povrchové kondenzace.

$U < U_N$  ... POŽADAVEK JE SPLNĚN.

Vypočtený součinitel prostupu tepla musí zahrnovat vliv systematických tepelných mostů (např. krokvi v zateplené šikmé střeše).

## Skladba stropu k technické místnosti:

### VYHODNOCENÍ VÝSLEDKŮ PODLE KRITÉRIÍ ČSN 730540-2 (2011)

Název konstrukce: Skladba kotelna

#### Rekapitulace vstupních dat

Návrhová vnitřní teplota  $T_i$ : 9,0 °C  
 Převažující návrhová vnitřní teplota  $T_{im}$ : 20,0 °C  
 Návrhová venkovní teplota  $T_{ae}$ : -15,0 °C  
 Teplota na vnější straně  $T_e$ : 20,0 °C  
 Návrhová teplota vnitřního vzduchu  $T_{ai}$ : 10,0 °C  
 Relativní vlhkost v interiéru RH<sub>i</sub>: 50,0 % (+5,0%)

#### Skladba konstrukce

Číslo	Název vrstvy	d [m]	Lambda [W/mK]	Mi [-]
1	Sádkokarton	0,0125	0,220	9,0
2	rastr	0,300	0,056	1,0
3	OSB desky	0,022	0,130	50,0
4	rastr	0,300	0,056	50,0
5	OSB desky	0,022	0,130	50,0
6	Anhydritová směs	0,050	1,200	20,0
7	Dlažba keramická	0,008	1,010	200,0

#### I. Požadavek na teplotní faktor (čl. 5.1 v ČSN 730540-2)

Teplota na venkovní straně konstrukce je vyšší nebo rovna teplotě vnitřního vzduchu. Požadavek na teplotní faktor není pro tyto podmínky definován a jeho splnění se proto neověřuje. V případě potřeby lze provést ručně srovnání vypočtené povrchové teploty s kritickou povrchovou teplotou podle ČSN 730540-2 (2005).

#### II. Požadavek na součinitel prostupu tepla (čl. 5.2 v ČSN 730540-2)

Požadavek:  $U_N = 1,30 \text{ W/m}^2\text{K}$   
 Vypočtená hodnota:  $U = 0,088 \text{ W/m}^2\text{K}$

$U < U_N$  ... POŽADAVEK JE SPLNĚN.

Vypočtený součinitel prostupu tepla musí zahrnovat vliv systematických tepelných mostů (např. krokvi v zateplené šikmé střeše).



## Skladba stropu klasického podlaží:

### VYHODNOCENÍ VÝSLEDKŮ PODLE KRITÉRIÍ ČSN 730540-2 (2011)

Název konstrukce: strop nad klasickým podlažím

#### Rekapitulace vstupních dat

Návrhová vnitřní teplota  $T_i$ : 20,0 °C  
 Převažující návrhová vnitřní teplota  $T_{iM}$ : 20,0 °C  
 Návrhová venkovní teplota  $T_{ae}$ : 20,0 °C  
 Teplota na vnější straně  $T_e$ : 21,0 °C  
 Návrhová teplota vnitřního vzduchu  $T_{ai}$ : 21,0 °C  
 Relativní vlhkost v interiéru RH<sub>i</sub>: 50,0 % (+5,0%)

#### Skladba konstrukce

Číslo	Název vrstvy	d [m]	Lambda [W/mK]	Mi [-]
1	Rigidur	0,0125	0,202	40,0
2	Rastr 625mm	0,300	0,080	1,0
3	Egger OSB3	0,022	0,130	180,0
4	Rockwool Fasrock L	0,080	0,047	2,05
5	Anhydritová směs	0,050	1,200	20,0
6	Vlasy	0,020	0,180	157,0

#### I. Požadavek na teplotní faktor (čl. 5.1 v ČSN 730540-2)

Teplota na venkovní straně konstrukce je vyšší nebo rovna teplotě vnitřního vzduchu.  
 Požadavek na teplotní faktor není pro tyto podmínky definován a jeho splnění se proto neověřuje.  
 V případě potřeby lze provést ručně srovnání vypočtené povrchové teploty s kritickou povrchovou teplotou podle ČSN 730540-2 (2005).

#### II. Požadavek na součinitel prostupu tepla (čl. 5.2 v ČSN 730540-2)

Požadavek:  $U, N = 0,75 \text{ W/m}^2\text{K}$

Vypočtená hodnota:  $U = 0,14 \text{ W/m}^2\text{K}$

$U < U, N \dots$  POŽADAVEK JE SPLNĚN.

Vypočtený součinitel prostupu tepla musí zahrnovat vliv systematických tepelných mostů (např. krokvi v zateplené šikmé střeše).

## Skladba podlahy na styku se zemínou:

### VYHODNOCENÍ VÝSLEDKŮ PODLE KRITÉRIÍ ČSN 730540-2 (2011)

Název konstrukce: podlaha na zemině

#### Rekapitulace vstupních dat

Návrhová vnitřní teplota  $T_i$ : 20,0 °C  
 Převažující návrhová vnitřní teplota  $T_{iM}$ : 5,0 °C  
 Návrhová venkovní teplota  $T_{ae}$ : -15,0 °C  
 Teplota na vnější straně  $T_e$ : 7,9 °C  
 Návrhová teplota vnitřního vzduchu  $T_{ai}$ : 21,0 °C  
 Relativní vlhkost v interiéru RH<sub>i</sub>: 50,0 % (+5,0%)

#### Skladba konstrukce

Číslo	Název vrstvy	d [m]	Lambda [W/mK]	Mi [-]
1	Vlasy	0,020	0,180	157,0
2	Anhydritová směs	0,050	1,200	20,0
3	Rockwool Fasrock L	0,080	0,047	2,05
4	Egger OSB3	0,022	0,130	180,0
5	Rastr 625mm	0,300	0,051	1,0
6	Beton hutný I	0,190	1,230	17,0

#### I. Požadavek na teplotní faktor (čl. 5.1 v ČSN 730540-2)

Požadavek:  $f, R_{si}, N = f, R_{si}, cr = 0,312$

Vypočtená průměrná hodnota:  $f, R_{si}, m = 0,970$

Kritický teplotní faktor  $f, R_{si}, cr$  byl stanoven pro maximální přípustnou vlhkost na vnitřním povrchu 80% (kritérium vyloučení vzniku plísní).

Průměrná hodnota  $fR_{si}, m$  (resp. maximální hodnota při hodnocení skladby mimo tepelné mosty a vazby) není nikdy minimální hodnotou ve všech místech konstrukce. Nelze s ní proto prokazovat plnění požadavku na minimální povrchové teploty zabudované konstrukce včetně tepelných mostů a vazeb. Její převýšení nad požadavkem naznačuje pouze možnosti plnění požadavku v místě tepelného mostu či tepelné vazby.

#### II. Požadavek na součinitel prostupu tepla (čl. 5.2 v ČSN 730540-2)

Požadavek:  $U, N = 13,80 \text{ W/m}^2\text{K}$

Vypočtená hodnota:  $U = 0,121 \text{ W/m}^2\text{K}$

$U < U, N \dots$  POŽADAVEK JE SPLNĚN.

Vypočtený součinitel prostupu tepla musí zahrnovat vliv systematických tepelných mostů (např. krokvi v zateplené šikmé střeše).

## Skladba střechy+strop:

### VYHODNOCENÍ VÝSLEDKŮ PODLE KRITÉRIÍ ČSN 730540-2 (2011)

Název konstrukce: střecha

#### Rekapitulace vstupních dat

Návrhová vnitřní teplota  $T_i$ : 20,0 °C  
 Převažující návrhová vnitřní teplota  $T_{iM}$ : 20,0 °C  
 Návrhová venkovní teplota  $T_{ae}$ : -15,0 °C  
 Teplota na vnější straně  $T_e$ : -15,0 °C  
 Návrhová teplota vnitřního vzduchu  $T_{ai}$ : 21,0 °C  
 Relativní vlhkost v interiéru  $RH_i$ : 50,0 % (+5,0%)

#### Skladba konstrukce

Číslo	Název vrstvy	d [m]	Lambda [W/mK]	Mi [-]
1	Rigidur	0,0125	0,202	40,0
2	Rastr 625mm	0,300	0,060	1,0
3	Egger OSB3	0,022	0,130	180,0
4	Beton hutný I	0,100	1,230	17,0
5	Isover EPS 100	0,140	0,037	50,0

#### I. Požadavek na teplotní faktor (čl. 5.1 v ČSN 730540-2)

Požadavek:  $f_{Rsi,N} = f_{Rsi,cr} = 0,749$

Vypočtená průměrná hodnota:  $f_{Rsi,m} = 0,973$

Kritický teplotní faktor  $f_{Rsi,cr}$  byl stanoven pro maximální přípustnou vlhkost na vnitřním povrchu 80% (kritérium vyloučení vzniku plísní).

Průměrná hodnota  $f_{Rsi,m}$  (resp. maximální hodnota při hodnocení skladby mimo tepelné mosty a vazby) není nikdy minimální hodnotou ve všech místech konstrukce.

Nelze s ní proto prokazovat plnění požadavku na minimální povrchové teploty zabudované konstrukce včetně tepelných mostů a vazeb. Její převýšení nad požadavkem naznačuje pouze možnosti plnění požadavku v místě tepelného mostu či tepelné vazby.

#### II. Požadavek na součinitel prostupu tepla (čl. 5.2 v ČSN 730540-2)

Požadavek:  $U_{N,N} = 0,24 \text{ W/m}^2\text{K}$

Vypočtená hodnota:  $U = 0,108 \text{ W/m}^2\text{K}$

$U < U_{N,N}$  ... POŽADAVEK JE SPLNĚN.

Vypočtený součinitel prostupu tepla musí zahrnovat vliv systematických tepelných mostů (např. krokvi v zateplené šikmé střeše).

## 2.2.1 Shrnutí výsledků

Posouzení skladeb			
Typ	U [W/m²K]	$U_{N,20}$ [W/m²K]	Posouzení
Obvodová stěna S1	0,164	0,30	VYHOVUJE
Obvodová stěna S2	0,172	0,30	VYHOVUJE
Mezibytová příčka S3	0,205	2,7	VYHOVUJE
Mezibytová stěna S4	0,110	2,7	VYHOVUJE
Příčka S5	0,328	2,7	VYHOVUJE
Příčka	0,495	2,7	VYHOVUJE
Dělicí stěna v suterénu S8	0,179	0,60	VYHOVUJE
Podlaha přiléhající k zemině	0,121	0,45	VYHOVUJE
Strop nad suterénním podlažím	0,130	0,60	VYHOVUJE
Strop nad klasickým podlažím	0,140	2,20	VYHOVUJE
Strop k technické místnosti	0,088	1,05	VYHOVUJE
Střecha+ konstrukce stropu	0,108	0,24	VYHOVUJE

Posouzení výplně otvorů			
Typ	U [W/m²K]	$U_{N,20}$ [W/m²K]	Posouzení
Dřevěné okno s izol. trojsklem	0,7	1,5	VYHOVUJE
Dřevěné vstupní dveře	1,2	1,7	VYHOVUJE

## 2.3 Výpočet tepelných ztrát objektu

Výpočet tepelných ztrát pro budovu byl zpracován pomocí tabulkového programu Excel pro všechny místnosti a patra kromě podsklepené části.

*Výpočty tepelných ztrát jednotlivých místností jsou přílohou této bakalářské práce. P [8]*

### 2.3.1 Výpočet tepelných ztrát pro 1. NP

Výpočet návrhového tepelného výkonu (pro budovu s přirozeným větráním) - přehled			
Místnost	Tepelný výkon pro tepelné ztráty prostupem $\Phi_{T,i}$ (W)	Tepelný výkon pro tepelné ztráty větráním $\Phi_{V,i}$ (W)	Celkový tepelný výkon $\Phi_{HL,i}$ (W)
1.1.1.	120,36	84,41	204,77
1.1.2.	17,50	0,00	17,50
1.1.3.	103,23	0,00	103,23
1.1.4.	186,68	222,77	409,45
1.1.5.	519,83	553,89	1073,72
1.2.1.	142,84	0,00	142,84
1.2.2.	162,69	257,58	420,27
1.2.3.	24,64	0,00	24,64
1.2.4.	43,50	218,90	362,40
1.2.6.	386,58	496,35	882,93
1.2.7.	173,57	227,23	400,80
1.3.1.	95,48	0,00	95,48
1.3.2.	96,50	392,43	488,92
1.3.4.	111,34	234,73	346,07
1.3.6.	314,71	479,21	793,92
1.3.7.	122,66	223,30	345,96
1.4.1.	62,55	0,00	62,55
1.4.2.	64,49	121,74	186,23
1.4.3.	60,12	0,00	60,12
1.4.5.	171,39	215,51	386,90
1.4.6.	409,67	540,26	949,93
Celkem	3390,33	4268,31	7758,63

### 2.3.2 Výpočet tepelných ztrát pro 2. NP

Výpočet návrhového tepelného výkonu (pro budovu s přirozeným větráním) - přehled			
Místnost	Tepelný výkon pro tepelné ztráty prostupem $\Phi_{T,i}$ (W)	Tepelný výkon pro tepelné ztráty větráním $\Phi_{V,i}$ (W)	Celkový tepelný výkon $\Phi_{HL,i}$ (W)
2.1.1.	65,26	0,00	65,26
2.1.2.	67,22	120,84	188,06
2.1.3.	66,27	0,00	66,27
2.1.5.	177,26	222,77	400,03
2.1.6.	385,73	553,89	939,62
2.2.1.	102,91	0,00	102,91
2.2.2.	140,43	257,58	398,01
2.2.3.	4,67	0,00	4,67
2.2.4.	86,68	218,90	305,58
2.2.6.	250,03	496,35	746,38
2.2.7.	114,60	227,23	341,83
2.3.1.	90,18	0,00	90,18
2.3.2.	88,31	392,43	480,74
2.3.4.	100,75	234,73	335,48
2.3.6.	290,17	479,21	769,38
2.3.7.	122,66	223,30	345,96
2.4.1.	60,24	0,00	60,24
2.4.2.	59,00	121,74	180,74
2.4.3.	57,33	0,00	57,33
2.4.5.	161,66	215,51	377,17
2.4.6.	385,28	540,26	925,54
Celkem	2976,64	4304,74	7181,38

### 2.3.3 Výpočet tepelných ztrát pro 3. NP

Výpočet návrhového tepelného výkonu (pro budovu s přirozeným větráním) - přehled			
Místnost	Tepelný výkon pro tepelné ztráty prostupem $\Phi_{T,i}$ (W)	Tepelný výkon pro tepelné ztráty větráním $\Phi_{V,i}$ (W)	Celkový tepelný výkon $\Phi_{HL,i}$ (W)
3.1.1.	78,32	0,00	78,32
3.1.2.	99,79	120,84	220,63
3.1.3.	90,63	0,00	90,63
3.1.4.	5,18	0,00	5,18
3.1.5.	237,33	222,77	460,10
3.1.6.	535,05	553,89	1088,94
3.2.1.	110,42	0,00	110,42
3.2.2.	146,15	257,58	403,73
3.2.3.	6,36	0,00	6,36
3.2.4.	145,69	218,90	364,59
3.2.6.	287,94	496,35	784,29
3.2.7.	175,84	227,23	403,07
3.3.1.	121,80	0,00	121,80
3.3.2.	123,55	392,43	515,98
3.3.3.	3,05	0,00	3,05
3.3.4.	164,05	234,73	398,78
3.3.6.	419,37	479,21	898,58
3.3.7.	172,79	223,30	396,10
3.4.1.	72,03	0,00	72,03
3.4.2.	91,83	121,74	213,57
3.4.3.	75,90	0,00	75,90
3.4.4.	0,73	0,00	0,73
3.4.5.	219,77	215,51	435,28
3.4.6.	530,93	540,26	1071,19
<b>Celkem</b>	<b>3914,50</b>	<b>4304,74</b>	<b>8219,25</b>

Podlaží	Tepelný výkon pro tepelné ztráty prostupem $\Phi_{T,i}$ (W)	Tepelný výkon pro tepelné ztráty větráním $\Phi_{V,i}$ (W)	Celkový tepelný výkon $\Phi_{HL,i}$ (W)
1	3390,33	4268,31	7758,63
2	2976,64	4304,74	7181,38
3	3914,50	4304,74	8219,25
<b>celkem</b>	<b>10281,47</b>	<b>12877,79</b>	<b>23159,26</b>

## 2.4 Energetický štítek obálky budovy

### PROTOKOL K ENERGETICKÉMU ŠTÍTKU OBÁLKY BUDOVY

(zpracovaný podle ČSN 73 0540-2/2011)

#### Identifikační údaje

Druh stavby	Bytový dům
Adresa (místo, ulice, číslo, PSČ)	Choceň
Katastrální území a katastrální číslo	Choceň 651974
Provozovatel, popř. budoucí provozovatel	Firma E-Koncept
Vlastník nebo společenství vlastníků, popř. stavebník	Firma E-Koncept
Adresa (místo, ulice, číslo, PSČ)	Choceň, Husova 86, 565 01
Telefon / E-mail	

#### Charakteristika budovy

Objem budovy $V$ - vnější objem vytápěné zóny budovy, nezahrnuje lodžie, římsy, atiky a základy	4559,1 m <sup>3</sup>
Celková plocha $A$ - součet vnějších ploch ochlazovaných konstrukcí ohraničujících objem budovy	1911,8 m <sup>2</sup>
Geometrická charakteristika budovy $A / V$	0,42 m <sup>2</sup> /m <sup>3</sup>
Převažující vnitřní teplota v otopném období $\theta_{\text{in}}$	20 °C
Vnější návrhová teplota v zimním období $\theta_{\text{e}}$	-15,0 °C

	Referenční budova (stanovení požadavku)				Hodnocená budova			
Konstrukce	Plocha	Součinitel prostupu tepla	Redukční činitel	Měrná ztráta prostupem tepla	Plocha	Součinitel prostupu tepla	Redukčn í činitel	Měrná ztráta prostupu m tepla
	A	U	b	H <sub>r</sub>	A	U	b	H <sub>r</sub>
		(požadovan á hodnota podle 5.2)				(požadovaná hodnota podle 5.2)		
	[m²]	[W/(m².K)]	[-]		[m²]	[W/(m².K)]	[-]	
SO 01– Suterén	5,93	0,30	0,143	0,25	5,93	0,179	0,143	0,15
SO 02–Kotelna	4,04	0,30	0,286	0,35	4,04	0,110	0,286	0,13
celkem obvodové stěny po odečtení výplně otvorů	918,79	0,3	1,00	275,64	918,79	0,168	1,00	154,36
OZ 01	151,32	1,50	1,00	226,98	151,32	0,7	1,00	105,92
DO	25,20	1,70	1,00	42,84	25,20	1,2	1,00	30,24
Zbývající část plochy výplně otvorů započtena jako obvodová stěna	0	0,3	1	0	-	-	-	-
STR 03 - střecha	293,83	0,24	1,00	70,52	293,83	0,108	1,00	31,73
PDL 01 – 1.NP na zemině	149,56	0,45	1,00	67,30	149,56	0,121	1,00	18,10
PDL 02 – 1.NP k nevyt. prostoru	144,27	0,60	0,429	37,14	144,27	0,13	0,429	8,05
PDL 03 – Kotelna	40,97	1,05	0,286	12,30	40,97	0,088	0,286	1,03
Celkem	1703,91			733,32	1703,91			349,71
Tepelné vazby		1703,91*0,02		34,08	1703,91*0,02		34,08	
Celková měrná ztráta prostupem tepla				767,40			383,79	
Průměrný součinitel prostupu tepla podle 5.3.4 a tabulky 5		max. U <sub>em</sub> pro A/V 0,42		požadovaná hodnota:	383,79/1703,91			
		767,40/1703,91=		0,45				0,23
		75% z požadované hodnoty 0,45*0,75=		doporučená hodnota:				Vyhovuje
				0,34				
Klasifikační třída obálky budovy podle přílohy C				0,23/0,34 =	0,68	Třída B - Úsporná		

**Stanovení prostupu tepla obálkou budovy**

Měrná ztráta prostupem tepla $H_T$	W/K	<b>383,79</b>
Průměrný součinitel prostupu tepla $U_{em} = H_T / A$	W/(m <sup>2</sup> ·K)	<b>0,23</b>
Doporučený součinitel prostupu tepla $U_{em, N rc}$	W/(m <sup>2</sup> ·K)	<b>0,28</b>
Požadovaný součinitel prostupu tepla $U_{em, N rq}$	W/(m <sup>2</sup> ·K)	<b>0,38</b>

**Klasifikační třídy prostupu tepla obálkou hodnocené budovy**

Hranice klasifikačních tříd	Klasifikační ukazatel $CI$ pro hranice klasifikačních tříd	$U_{em}$ [W/(m <sup>2</sup> ·K)] pro hranice klasifikačních tříd	
		Obecně	Pro hodnocenou budovu
A	<b>0,50</b>	0,5. $U_{em,N}$	<b>0,19</b>
B	<b>0,75</b>	0,75. $U_{em,N}$	<b>0,285</b>
C	<b>1,0</b>	1. $U_{em,N}$	<b>0,38</b>
D	<b>1,5</b>	1.5. $U_{em,N}$	<b>0,57</b>
E	<b>2,0</b>	2. $U_{em,N}$	<b>0,76</b>
F	<b>2,5</b>	2,5. $U_{em,N}$	<b>0,95</b>
G	<b>&gt; 2,5</b>	> 2,5. $U_{em, N}$	-

Klasifikace: B – Úsporná

Datum vystavení energetického štítku obálky budovy: 19.2.2019

Zpracovatel energetického štítku obálky budovy:

IČO:

Zpracoval:

Marek Rušín

Podpis:

.....

Tento protokol a energetický štítek obálky budovy odpovídá směrnici evropského parlamentu a rady č. 2002/91/ES a prEN 15217. Byl vypracován v souladu s ČSN 73 0540-2/2011 a podle projektové dokumentace stavby dodané objednatelem.



# Energetický štítek budovy

ENERGETICKÝ ŠTÍTEK OBÁLKY BUDOVY						
Bytový dům, Choceň				Hodnocení obálky budovy		
Celková podlahová plocha A <sub>c</sub> = 881,49 m <sup>2</sup>				stávající	Doporučení	
CI	Velmi úsporná			<div>0,68</div>	<div>CI<sub>v</sub></div>	
0,5	<div>A</div>					
0,75	<div>B</div>					
1,0	<div>C</div>					
1,5	<div>D</div>					
2,0	<div>E</div>					
2,5	<div>F</div>					
Mimořádně ne hospodárná						
klasifikace				B		
Průměrný součinitel prostupu tepla obálky budovy U <sub>em</sub> ve W/(m <sup>2</sup> .K)						

## 2.5 Návrh otopných těles

Navržena jsou otopná desková tělesa RADIK VK s pravým dolním připojením a RADIK VKL s levým dolním připojením, na oba typy osazena rohová připojovací armatura HM. V koupelnách jsou navržena trubková otopná tělesa KORALUX LINEAR MAX s oboustranným připojením a osazená rohovou připojovací armaturou. Celá otopná soustava pracuje na teplotním spádu 60/50°C. Návrh proveden v tabulkovém programu Excel.

*Technický list navržených otopných těles je přílohou této bakalářské práce. P [10]*

### 2.5.1 Tabulka otopných těles pro 1. NP

Číslo místnosti	Účel místnosti	t <sub>i</sub>	Tepelná ztráta místnosti Q <sub>H,L,i</sub> (W)	Typ otopného tělesa (d/v)	Výkon otopného tělesa 75/65 - 20 °C	Výkon otopného tělesa 60/50- 20 °C	z1 . z2 . z3 . Φ				Skutečný výkon tělesa Q <sub>tskut</sub> (W)	Ztráty přičtené k jiné místnosti
1.1.1.	Zádveří	15	204,77	-	-	-	-	-	-	-	-	Ztráta přičtena k 1.1.3
1.1.2.	Chodba	20	17,50	-	-	-	-	-	-	-	-	Ztráta přičtena k 1.1.3
1.1.3.	Koupelna+WC (inv.)	24	103,23	Koralux linear MAX (450/1810)	833	453	1	1	1	1	453	po přičtení ztráta: 325,5W
1.1.4.	Ložnice	20	409,45	Radik VK 11 1100/400	779	488	1	1	1	1	488	
1.1.5.	Obývací pokoj	20	1073,72	Radik VK 11 1600/700	1822	1140	0,95	1	1	1	1083	
1.2.1.	Chodba	20	142,84	-	-	-	-	-	-	-	-	Ztráta přičtena k 1.2.2 a 1.2.4
1.2.2.	Koupelna	24	420,26	Koralux linear MAX (600/1810)	1101	603	1	1	0,9	1	543	po přičtení ztráta: 491,7W
1.2.3.	WC	20	24,64	-	-	-	-	-	-	-	-	
1.2.4.	Ložnice	20	362,40	Radik VK 11 1100/400	779	488	1	1	1	1	488	po přičtení ztráta: 433,8W
1.2.6.	Obývací pokoj	20	882,93	Radik VK 11 1400/700	1595	998	0,95	1	1	1	948	
1.2.7.	Pokoj	20	400,80	Radik VK 10 1400/500	720	452	1	1	1	1	452	
1.3.1.	Chodba	20	95,48	-	-	-	-	-	-	-	-	Ztráta přičtena k 1.3.2 a 1.3.4
1.3.2.	Koupelna	24	488,92	Koralux linear MAX (750/1495)	1124	615	1	1	0,9	1	554	po přičtení ztráta: 536,7W
1.3.3.	WC	20	-4,15	-	-	-	-	-	-	-	-	
1.3.4.	Ložnice	20	346,07	Radik VKL 10 1100/600	664	418	1	1	1	1	418	po přičtení ztráta: 393,8W
1.3.6.	Obývací pokoj	20	793,93	Radik VK 11 1400/600	1403	879	1	1	1	1	879	
1.3.7.	Pokoj	20	345,97	Radik VK 10 1400/500	720	452	1	1	1	1	452	
1.4.1.	Zádveří	15	62,55	-	-	-	-	-	-	-	-	Ztráta přičtena k 1.4.3
1.4.2.	Chodba	20	186,23	-	-	-	-	-	-	-	-	Ztráta přičtena k 1.4.3
1.4.3.	Koupelna	24	60,12	Koralux linear MAX (450/1810)	833	453	1	1	0,9	1	408	po přičtení ztráta: 309,0W
1.4.4.	WC	20	-3,38	-	-	-	-	-	-	-	-	
1.4.5.	Ložnice	20	386,90	Radik VKL 10 1400/500	720	452	1	1	1	1	452	
1.4.6.	Obývací pokoj	20	949,93	Radik VKL 11 1600/700	1822	1140	0,95	1	1	1	1083	

## 2.5.2 Tabulka otopných těles pro 2. NP

Číslo místnosti	Účel místnosti	t <sub>i</sub>	Tepelná ztráta místnosti Q <sub>HL,i</sub> (W)	Typ otopného tělesa (d/v)	Výkon otopného tělesa 75/65 - 20 °C	Výkon otopného tělesa 60/50- 20 °C	z1 . z2 . z3 . Φ				Skutečný výkon tělesa Q <sub>tskut</sub> (W)	Ztráty přičtené k jiné místnosti
2.1.2.	Chodba	20	188,07	-	-	-	-	-	-	-	-	Ztráta přičtena k 2.1.3
2.1.3.	Koupelna	24	66,27	Koralux linear MAX (450/1810)	833	453	1	1	1	1	453	po přičtení ztráta: 319,6W
2.1.4.	WC	20	-6,39	-	-	-	-	-	-	-	-	
2.1.5.	Ložnice	20	400,02	Radik VK 10 1100/600	664	418	1	1	1	1	418	
2.1.6.	Obývací pokoj	20	939,61	Radik VK 11 1600/600	1603	1004	1	1	1	1	1004	
2.2.1.	Chodba	20	102,91	-	-	-	-	-	-	-	-	Ztráta přičtena k 2.2.2 a 2.2.4
2.2.2.	Koupelna	24	398,01	Koralux linear MAX (600/1810)	1101	603	1	1	0,9	1	543	po přičtení ztráta: 449,5W
2.2.3.	WC	20	4,67	-	-	-	-	-	-	-	-	
2.2.4.	Ložnice	20	305,58	Radik VK 10 1100/600	664	418	1	1	1	1	418	po přičtení ztráta: 357,1W
2.2.6.	Obývací pokoj	20	746,38	Radik VK 11 1400/600	1403	879	1	1	1	1	879	
2.2.7.	Pokoj	20	341,83	Radik VK 10 1400/500	720	452	1	1	1	1	452	
2.3.1.	Chodba	20	90,18	-	-	-	-	-	-	-	-	Ztráta přičtena k 1.3.2 a 1.3.4
2.3.2.	Koupelna	24	480,73	Koralux linear MAX (750/1495)	1124	615	1	1	0,9	1	554	po přičtení ztráta: 525,8W
2.3.3.	WC	20	-5,60	-	-	-	-	-	-	-	-	
2.3.4.	Ložnice	20	335,47	Radik VKL 10 1100/600	664	418	1	1	1	1	418	po přičtení ztráta: 380,6W
2.3.6.	Obývací pokoj	20	769,38	Radik VK 11 1400/600	1403	879	1	1	1	1	879	
2.3.7.	Pokoj	20	345,97	Radik VK 10 1400/500	720	452	1	1	1	1	452	
2.4.1.	Zádveří	15	60,24	-	-	-	-	-	-	-	-	Ztráta přičtena k 2.4.3
2.4.2.	Chodba	20	180,73	-	-	-	-	-	-	-	-	Ztráta přičtena k 2.4.3
2.4.3.	Koupelna	24	57,33	Koralux linear MAX (450/1810)	833	453	1	1	1	1	453	po přičtení ztráta: 298,3W
2.4.4.	WC	20	-4,20	-	-	-	-	-	-	-	-	
2.4.5.	Ložnice	20	377,17	Radik VKL 10 1400/500	720	452	1	1	1	1	452	
2.4.6.	Obývací pokoj	20	925,54	Radik VKL 11 1400/700	1595	998	0,95	1	1	1	948	

## 2.5.3 Tabulka otopných těles pro 3. NP

Číslo místnosti	Účel místnosti	t <sub>i</sub>	Tepelná ztráta místnosti QHL <sub>i</sub> (W)	Typ otopného tělesa (d/v)	Výkon otopného tělesa 75/65 - 20 °C	Výkon otopného tělesa 60/50- 20 °C	z1 . z2 . z3 . Φ				Skutečný výkon tělesa Qtskut(W)	Ztráty přičtené k jiné místnosti
3.1.1.	Zádveří	15	78,32	-	-	-	-	-	-	-	-	Ztráta přičtena k 3.1.3
3.1.2.	Chodba	20	220,64	-	-	-	-	-	-	-	-	Ztráta přičtena k 3.1.3
3.1.3.	Koupelna	24	90,63	Koralux linear MAX (450/1810)	833	453	1	1	1	1	453	po přičtení ztráta: 389,6W
3.1.4.	WC	20	5,18	-	-	-	-	-	-	-	-	
3.1.5.	Ložnice	20	460,10	Radik VK 10 1100/700	763	480	1	1	1	1	480	
3.1.6.	Obývací pokoj	20	1088,93	Radik VK 11 1600/700	1603	1140	0,95	1	1	1	1083	
3.2.1.	Chodba	20	110,42	-	-	-	-	-	-	-	-	Ztráta přičtena k 3.2.2 a 3.2.4
3.2.2.	Koupelna	24	403,73	Koralux linear MAX (600/1810)	1101	603	1	1	0,9	1	543	po přičtení ztráta: 458,9W
3.2.3.	WC	20	6,36	-	-	-	-	-	-	-	-	
3.2.4.	Ložnice	20	364,59	Radik VK 11 1100/400	779	488	1	1	1	1	488	po přičtení ztráta: 419,8W
3.2.6.	Obývací pokoj	20	784,29	Radik VK 11 1400/600	1403	879	1	1	1	1	879	
3.2.7.	Pokoj	20	403,07	Radik VK 10 1400/500	720	452	1	1	1	1	452	
3.3.1.	Chodba	20	121,80	-	-	-	-	-	-	-	-	Ztráta přičtena k 1.3.2 a 1.3.4
3.3.2.	Koupelna	24	515,98	Koralux linear MAX (750/1810)	1367	755	1	1	0,9	1	680	po přičtení ztráta: 576,9W
3.3.3.	WC	20	3,05	-	-	-	-	-	-	-	-	
3.3.4.	Ložnice	20	398,78	Radik VKL 11 1100/400	779	488	1	1	1	1	488	po přičtení ztráta: 459,7W
3.3.6.	Obývací pokoj	20	898,58	Radik VK 11 1400/700	1595	998	0,95	1	1	1	948	
3.3.7.	Pokoj	20	396,10	Radik VK 10 1400/500	720	452	1	1	1	1	452	
3.4.1.	Zádveří	15	72,03	-	-	-	-	-	-	-	-	Ztráta přičtena k 3.4.3
3.4.2.	Chodba	20	213,57	-	-	-	-	-	-	-	-	Ztráta přičtena k 3.4.3
3.4.3.	Koupelna	24	75,90	Koralux linear MAX (450/1810)	833	453	1	1	1	1	453	po přičtení ztráta: 361,5W
3.4.4.	WC	20	0,73	-	-	-	-	-	-	-	-	
3.4.5.	Ložnice	20	435,28	Radik VKL 10 1400/500	720	452	1	1	1	1	452	
3.4.6.	Obývací pokoj	20	1071,19	Radik VKL 11 1600/700	1822	1140	0,95	1	1	1	1083	

## 2.6 Příprava teplé vody

Zásobníkový ohřev vody:

Potřeba teplé vody

Počet osob  $n=10 \times 3=30$

celková potřeba teplé vody  $V_{2p}=30 \times 0,082=2,46 \text{ m}^3$

Teplo celkem  $Q_{2p}=\frac{(1+0,5) \times 2,46 \times 1000 \times 4182 \times (70-50)}{3600 \times 1000}=85,73 \text{ kWh/den}$

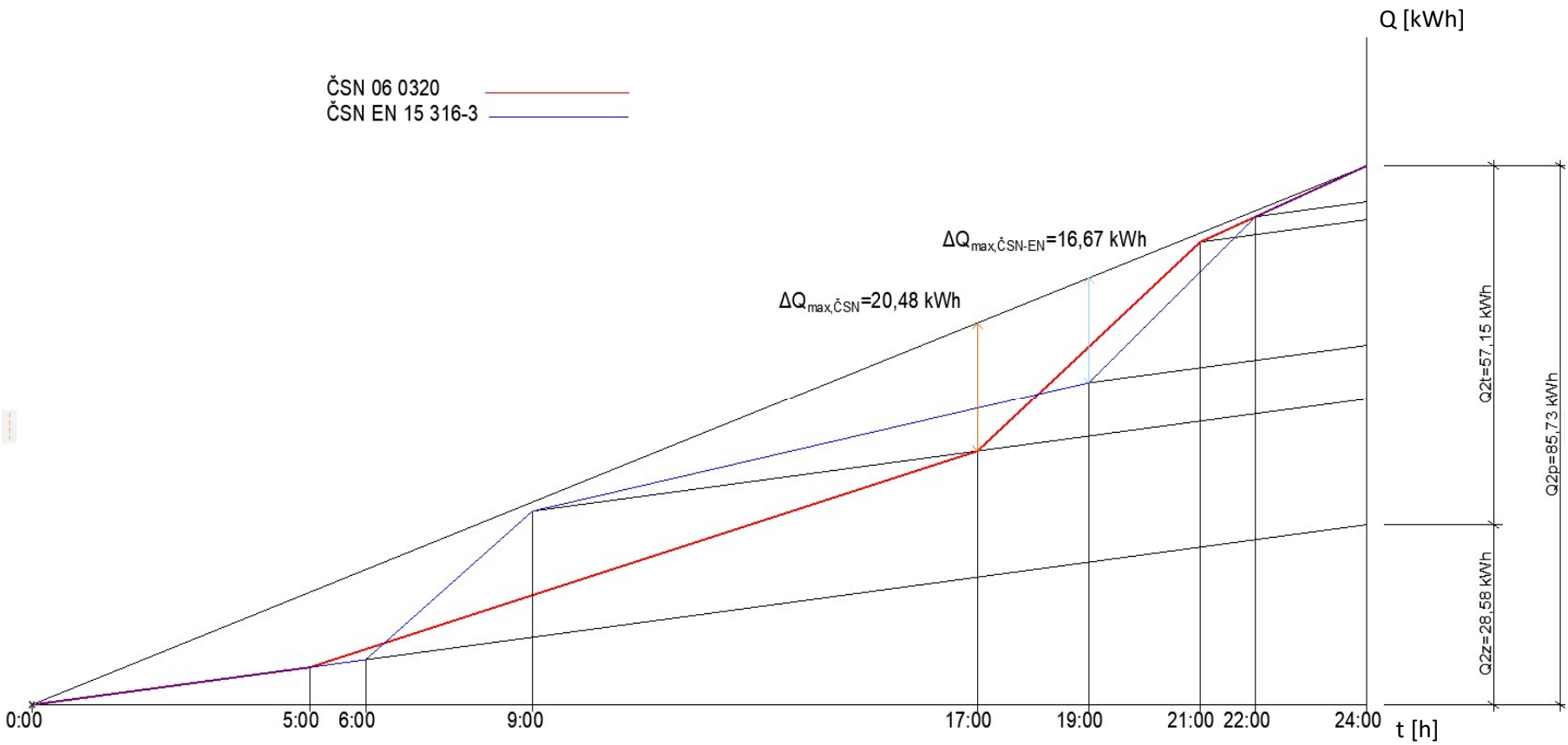
Odebrané teplo  $Q_{2t}=85,73/(1+0,5)=57,15 \text{ kWh/den}$

Teplo ztracené (24 h)  $Q_{2z}=85,73-57,15=28,58 \text{ kWh/den}$

Rozdělení teplo dle odběru:

Křivka odběru teplé vody	Čas odběru tepla pro přípravu TV	Podíl z celkově odebraného tepla pro přípravu TV (%)	Teplo odebrané	Teplo celkem
ČSN 06 0320	0:00 až 5:00	0	0	0
	5:00 až 17:00	35	20,003	30,006
	17:00 až 21:00	50	28,575	42,865
	21:00 až 24:00	15	8,573	12,860
ČSN EN 15 316-3	0:00 až 6:00	0	0,000	0,000
	6:00 až 9:00	35	20,003	30,006
	9:00 až 19:00	15	8,573	12,860
	19:00 až 22:00	40	22,860	34,292
	22:00 až 24:00	10	5,715	8,573

2.6.1 Odběrová křivka





## 2.6.2 Návrh zásobníkového ohřevu

$$Q_1 = 85,73 \text{ kWh}$$

$$\Delta Q_{\max, \text{ČSN}} = 20,48 \text{ kWh}$$

$$\Delta Q_{\max, \text{ČSN-EN}} = 16,67 \text{ kWh}$$

$$\text{Velikost zásobníku} \quad V_z = \frac{\Delta Q_{\max}}{1,163 \cdot \Delta \theta} = \frac{20,48}{1,163 \cdot (70-50)} = 0,88 \text{ m}^3$$

$$\text{Jmenovitý výkon ohřevu} \quad Q_{1n} = \frac{Q_1}{t_{\max}} = \frac{85,73}{24} = 3,57 \text{ kW}$$

$$\text{potřebná teplosměnná plocha} \quad \Delta t = \frac{(T_1 - t_2) - (T_2 - t_1)}{\ln \frac{(T_1 - t_2)}{(T_2 - t_1)}} = \frac{(60-50) - (55-10)}{\ln \frac{(60-50)}{(55-10)}} = 23,27$$

$$A = \frac{Q_{1n} \cdot 10^3}{U \cdot \Delta t} = \frac{3,57 \cdot 10^3}{420 \cdot 23,27} = 0,365 \text{ m}^2$$

**Navrhují: Nepřímotopný akumulční zásobník Dražice OKC 1000 NTR/BP**

*Technický list akumulčního zásobníku je přílohou této bakalářské práce. P [12]*

### 1.4.4 TECHNICKÉ PARAMETRY

MODEL		OKC 750 NTR/BP	OKC 1000 NTR/BP	OKC 750 NTRR/BP	OKC 1000 NTRR/BP
OBJEM ZÁSOBNÍKU	l	725	945	710	930
PRŮMĚR	mm	950	1010	950	1010
HMOTNOST	kg	208	260	197	248
PROVOZNÍ TLAK TEPLÉ VODY	MPa	1	1	1	1
PROVOZNÍ TLAK TOPNÉ VODY	MPa	1	1	1	1
MAX. PROVOZNÍ TEPLOTA VE VÝMĚNÍKU	°C	110	110	110	110
MAX. PROVOZNÍ TEPLOTA V NÁDOBĚ	°C	95	95	95	95
VÝHŘEVNÁ PLOCHA HORNÍHO VÝMĚNÍKU	m²	-	-	1,17	1,12
VÝHŘEVNÁ PLOCHA SPODNÍHO VÝMĚNÍKU	m²	3,7	4,5	1,93	2,45
VÝKON SPODNÍHO / HORNÍHO VÝMĚNÍKU PŘI TEPLOTNÍM SPÁDU 80/60 °C	kW	99	110	60/33	76/32
VÝKONNOSTNÍ ČÍSLO DLE DIN 4708 HORNÍHO VÝMĚNÍKU	NL	-	-	6,2	7,1
VÝKONNOSTNÍ ČÍSLO DLE DIN 4708 SPODNÍHO VÝMĚNÍKU	NL	30,5	38,8	21	26
TRVALÝ VÝKON TEPLÉ VODY SPODNÍHO VÝMĚNÍKU	l/h	2440	2715	1460	1490
TRVALÝ VÝKON TEPLÉ VODY HORNÍHO VÝMĚNÍKU	l/h	-	-	815	780
DOBA OHŘEVU TEPLÉ VODY* VÝMĚNÍKEM PŘI TEPLOTNÍM SPÁDU 80/60°C (DOLNÍM/HORNÍM)	min	24	26	37/28	43/37
STATICKÉ ZTRÁTY	W	127	140	127	142

Obrázek 16: technické údaje nepřímotopného zásobníku teplé vody

## 2.7 Návrh zdroje tepla

Návrhový tepelný výkon pro vytápění:

$$Q_{TOP} = 23,16 \text{ kW}$$

Návrhový tepelný výkon pro ohřev teplé vody

$$Q_{TV} = 3,57 \text{ kW}$$

Návrhový tepelný výkon pro zimní období: 26,73 kW

Návrhový tepelný výkon pro letní období: 3,57 kW

**Navrženo: 2x závěsný plynový kondenzační kotel Thermona KD 18 s jmenovitým výkonem 18 kW.**

*Technický list navrženého kotle je přílohou této bakalářské práce. P [11]*

Technické údaje kotle:

Technické údaje	Jedn.	THERM 18 KD	THERM 25 KD
Jmenovitý tepelný příkon	kW	18,0	23,5
Min. – max. tepelný výkon na vytápění	kW	1,8 – 19,0	2,65 – 24,9
Spotřeba plynu - zemní plyn	m <sup>3</sup> /h	0,181 – 1,749	0,26 – 2,50
Spotřeba plynu - propan	m <sup>3</sup> /h	0,070 – 0,711	0,10 – 0,92
Min. – max. tlak topného systému	bar	0,8 – 3,0	0,8 – 3,0
Max. výstupní teplota topné vody	°C	80	80
Účinnost kotle	%	99 – 106	99 – 106
Objem expanzomatu	l	7	7
Jmenovité napájecí napětí / frekvence	V/Hz	230/50 ~	230/50 ~
Pomocná el. energie při jmen. tepel. příkonu	W	68,2	68,2
Stupeň krytí el. částí	-	IP 41 (D)	IP 41 (D)
Průměr kouřovodu	mm	60/100, 80/125, 2x 80	60/100, 80/125, 2x 80
Rozměry: výška/šířka/hloubka	mm	725/430/280	725/430/280
Hmotnost kotle	kg	28	28
Třída sezonní energetické účinnosti vytápění	-	A	A
Objednací číslo	-	10105	1096
Doporučená cena bez DPH	Kč	31 900	32 900

Obrázek 17: Technické údaje kotle Therm 18 KD



## 2.8 Dimenzování a hydraulické posouzení potrubí

Regulace otopné soustavy je provedena pomocí nastavení regulačního ventilu v otopném tělese, pro trubková otopná tělesa je regulace provedena na uzavíracím šroubení. Soustavu tvoří 5 větví z čehož jedna větev slouží pro přípravu TV. Každá větev je označena podle bytů, kterými prochází. Celá soustava je zhotovena z měděného potrubí a pracuje na teplotním spádu 60/50°C.

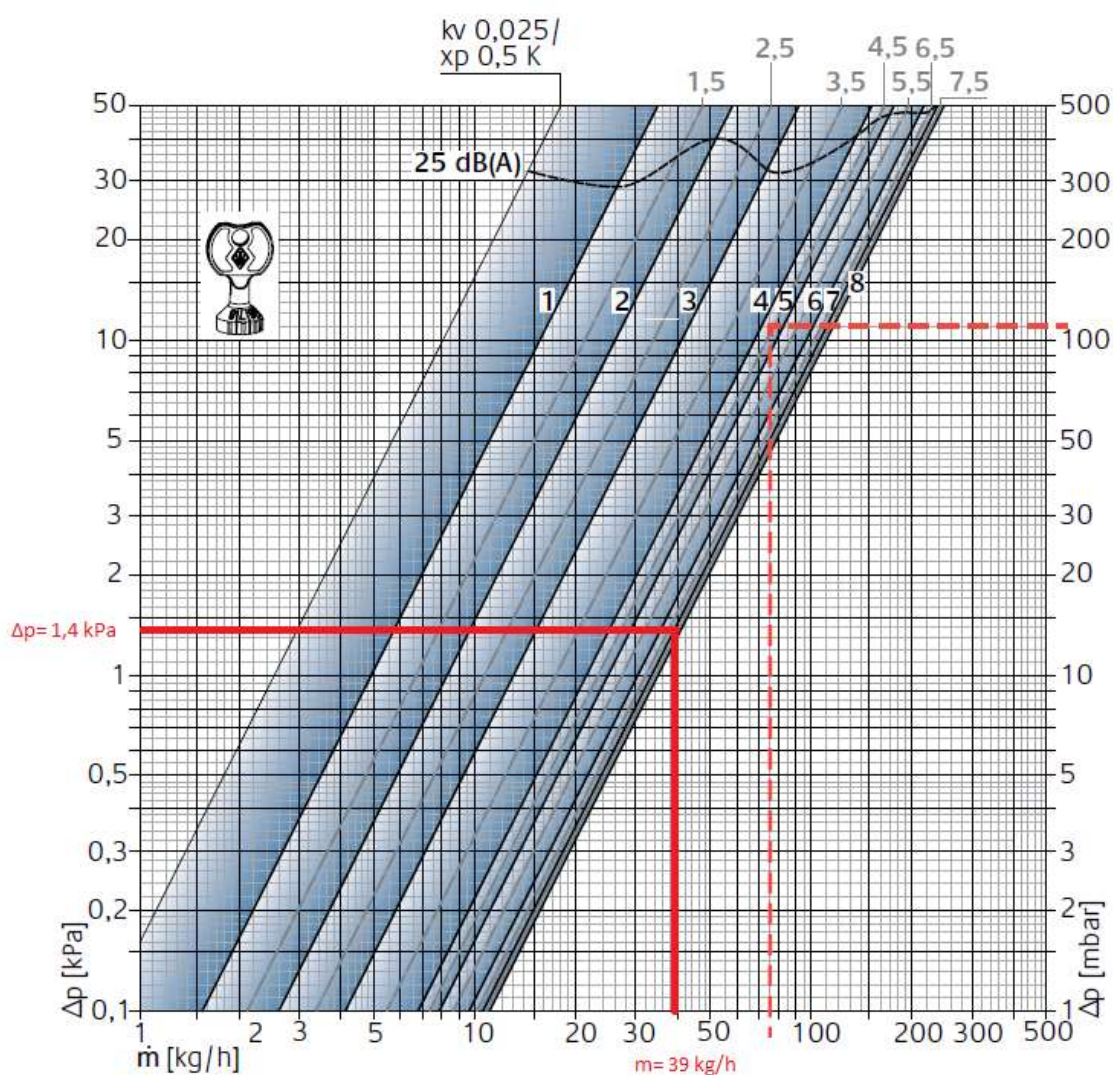
Výpočty jednotlivých dimenzí a tlakových ztrát jsou přílohou této bakalářské práce. P [9]

**Ukázka návrhu pro trubkové otopné těleso v místnosti 1.1.3:**

Použité regulační ventily jsou přílohou této bakalářské práce. P [13]

- 1) Odečtení tlakové ztráty regulačního ventilu při plném otevření (st. 8)

### Diagram, radiátorový ventil s termostatickou hlavicí Pásmo proporcionality [xp] 1,0 K

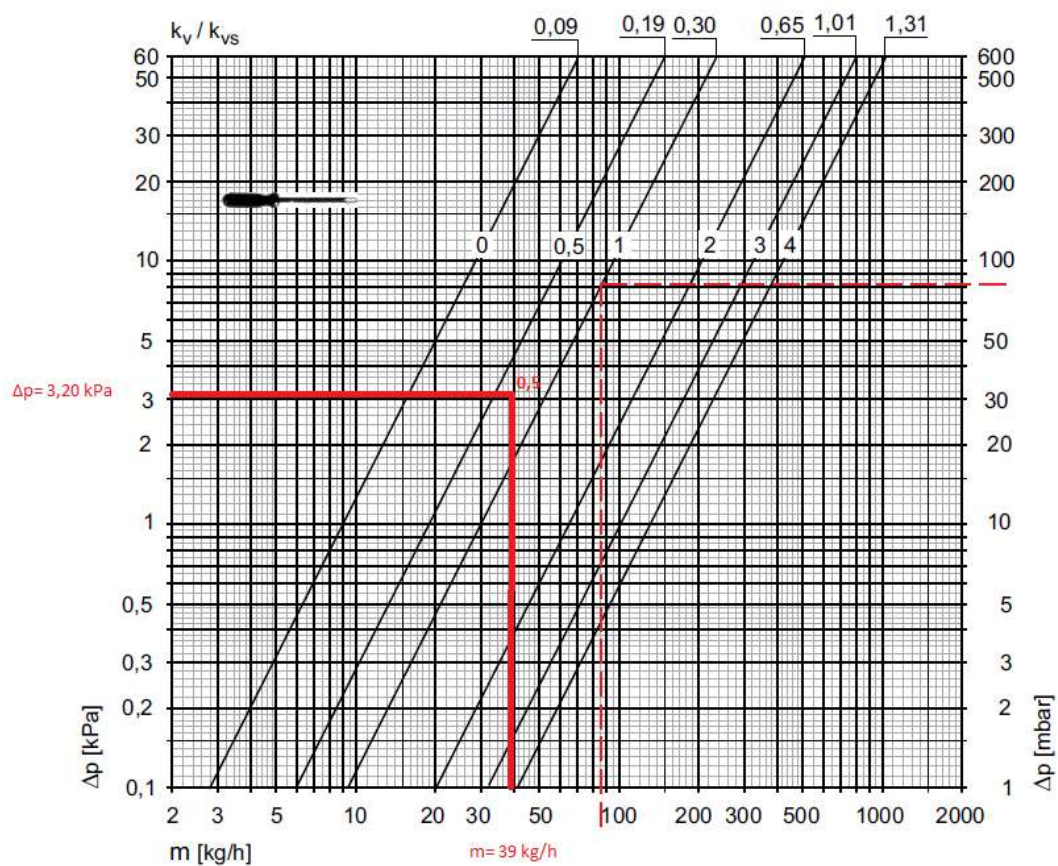


Obrázek 18: Diagram termostatického ventilu trubkového otopného tělesa

## 2) Odečtení stupně přednastavení uzavíracího šroubení

### Technická data

$K_v/K_{vs} = \text{m}^3/\text{h}$  při tlakové ztrátě 1 bar.



Obrázek 19: Diagram uzavíracího šroubení trubkového otopného tělesa

## 2.9 Dimenzování vyvažovacích ventilů

Vyvažovací ventily slouží pro kontrolu průtoku pro každou větev otopné soustavy. Podle vyhlášky č. 193/2007 Sb., je nutné seřadit průtoky tak, aby odpovídali navrženým jmenovitým průtokům s maximální odchylkou  $\pm 15\%$ .

*Technický list pro vyvažovací ventily STAD jsou přílohou této bakalářské práce. P [16]*

Hodnoty Kv pro stupeň nastavení:

### Kv hodnoty

Otáčky	DN 10	DN 15	DN 20	DN 25	DN 32	DN 40	DN 50
0.5	-	0.136	0.533	0.599	1.19	1.89	2.62
1	0.091	0.226	0.781	1.03	2.09	3.40	4.10
1.5	0.134	0.347	1.22	2.13	3.36	4.74	6.76
2	0.264	0.618	1.95	3.64	5.22	6.25	11.4
2.5	0.461	0.931	2.71	5.26	7.77	9.16	15.8
3	0.799	1.46	3.71	6.65	9.82	12.8	21.5
3.5	1.22	2.07	4.51	7.79	11.9	16.2	27.0
4	1.36	2.56	5.39	8.59	14.2	19.3	32.3

Obrázek 20: Kv hodnoty pro stupně přednastavení vyvažovacího ventilu

### 2.9.1 Vyvažovací ventil pro větev 1:

Tlaková ztráta okruhu:  $\Delta p_{dis} = 14,76 \text{ kPa}$

Objemový průtok:  $V = 0,509 \text{ m}^3/\text{h}$

Poměrná autorita ventilu:  $p'_v = \frac{p_v}{(1-p_v)} = \frac{0,33}{(1-0,33)} = 0,5$

Požadovaná tlaková ztráta ventilu:  $p_{v100} = p'_v \times \Delta p_{dis} = 0,5 \times 14,76 = 7,38 \text{ kPa}$

$p_o = 100 \text{ kPa}$

$k_{vs} = Vx \frac{\sqrt{p_o}}{\sqrt{p_{v100}}} = 0,509x \frac{\sqrt{100}}{\sqrt{7,38}} = 1,87 \rightarrow \text{DN 15, plné otevření stupeň 4}$

$k_{vs} = 2,56$

Skutečná tlaková ztráta ventilu:  $p_{vr} = \left(\frac{V}{k_{vs}}\right)^2 = \left(\frac{0,509}{2,56}\right)^2 = 3,953 \text{ kPa}$

Poměrná autorita ventilu:  $p'_v = \frac{p_{v100}}{\Delta p_{dis}} = \frac{3,95}{14,76} = 0,27$

Minimální tlaková ztráta ventilu:  $3,000 \text{ kPa} \leq 3,953 \text{ kPa}$

**Navrhuji vyvažovací ventil IMI STAD PN 25, stupeň nastavení: 4, DN 15,  $k_{vs} = 2,56$**

### 2.9.2 Vyvažovací ventil pro větev 2:

Tlaková ztráta okruhu:  $\Delta p_{dis} = 9,03 \text{ kPa}$

Objemový průtok:  $V = 0,609 \text{ m}^3/\text{h}$

Poměrná autorita ventilu:  $p'_v = \frac{p_v}{(1-p_v)} = \frac{0,33}{(1-0,33)} = 0,5$

Požadovaná tlaková ztráta ventilu:  $p_{v100} = p'_v \times \Delta p_{dis} = 0,5 \times 9,03 = 4,52 \text{ kPa}$

$p_o = 100 \text{ kPa}$

$$k_{vs} = Vx \frac{\sqrt{p_o}}{\sqrt{p_{v100}}} = 0,609x \frac{\sqrt{100}}{\sqrt{4,52}} = 2,86 \rightarrow \text{DN 20, stupeň nastavení 2,8}$$

$$k_{vs} = 3,25$$

Skutečná tlaková ztráta ventilu:  $p_{vr} = \left(\frac{V}{k_{vs}}\right)^2 = \left(\frac{0,609}{3,25}\right)^2 = 3,511 \text{ kPa}$

Poměrná autorita ventilu:  $p'_v = \frac{p_{v100}}{\Delta p_{dis}} = \frac{3,51}{9,03} = 0,39$

Minimální tlaková ztráta ventilu:  $3,000 \text{ kPa} \leq 3,511 \text{ kPa}$

**Navrhuji vyvažovací ventil IMI STAD PN 25, stupeň nastavení: 2,8, DN 20,  $k_{vs}=3,25$**

### 2.9.3 Vyvažovací ventil pro větev 3:

Tlaková ztráta okruhu:  $\Delta p_{dis} = 7,61 \text{ kPa}$

Objemový průtok:  $V = 0,617 \text{ m}^3/\text{h}$

Poměrná autorita ventilu:  $p'_v = \frac{p_v}{(1-p_v)} = \frac{0,33}{(1-0,33)} = 0,5$

Požadovaná tlaková ztráta ventilu:  $p_{v100} = p'_v \times \Delta p_{dis} = 0,5 \times 7,61 = 3,81 \text{ kPa}$

$p_o = 100 \text{ kPa}$

$$k_{vs} = Vx \frac{\sqrt{p_o}}{\sqrt{p_{v100}}} = 0,617x \frac{\sqrt{100}}{\sqrt{3,81}} = 3,16 \rightarrow \text{DN 20, stupeň nastavení 2,8}$$

$$k_{vs} = 3,25$$

Skutečná tlaková ztráta ventilu:  $p_{vr} = \left(\frac{V}{k_{vs}}\right)^2 = \left(\frac{0,617}{3,25}\right)^2 = 3,604 \text{ kPa}$

Poměrná autorita ventilu:  $p'_v = \frac{p_{v100}}{\Delta p_{dis}} = \frac{3,60}{7,61} = 0,47$

Minimální tlaková ztráta ventilu:  $3,000 \text{ kPa} \leq 3,604 \text{ kPa}$

**Navrhuji vyvažovací ventil IMI STAD PN 25, stupeň nastavení: 2,8, DN 20,  $k_{vs}=3,25$**

## 2.9.4 Vyvažovací ventil pro větev 4:

Tlaková ztráta okruhu:  $\Delta p_{dis} = 8,56 \text{ kPa}$

Objemový průtok:  $V = 0,497 \text{ m}^3/\text{h}$

Poměrná autorita ventilu:  $p'_v = \frac{p_v}{(1-p_v)} = \frac{0,33}{(1-0,33)} = 0,5$

Požadovaná tlaková ztráta ventilu:  $p_{v100} = p'_v \times \Delta p_{dis} = 0,5 \times 8,56 = 4,28 \text{ kPa}$

$p_o = 100 \text{ kPa}$

$$k_{vs} = Vx \frac{\sqrt{p_o}}{\sqrt{p_{v100}}} = 0,497x \frac{\sqrt{100}}{\sqrt{4,28}} = 2,40 \rightarrow \text{DN 15, plné otevření stupeň 4}$$

$$k_{vs} = 2,56$$

Skutečná tlaková ztráta ventilu:  $p_{vr} = \left(\frac{V}{k_{vs}}\right)^2 = \left(\frac{0,497}{2,56}\right)^2 = 3,769 \text{ kPa}$

Poměrná autorita ventilu:  $p'_v = \frac{p_{v100}}{\Delta p_{dis}} = \frac{3,77}{8,56} = 0,44$

Minimální tlaková ztráta ventilu:  $3,000 \text{ kPa} \leq 3,769 \text{ kPa}$

**Navrhuji vyvažovací ventil IMI STAD PN 25, stupeň nastavení: 4, DN 15,  $k_{vs} = 2,56$**

## 2.9.5 Vyvažovací ventil pro TUV:

Tlaková ztráta okruhu:  $\Delta p_{dis} = 5,59 \text{ kPa}$

Objemový průtok:  $V = 0,153 \text{ m}^3/\text{h}$

Poměrná autorita ventilu:  $p'_v = \frac{p_v}{(1-p_v)} = \frac{0,33}{(1-0,33)} = 0,5$

Požadovaná tlaková ztráta ventilu:  $p_{v100} = p'_v \times \Delta p_{dis} = 0,5 \times 5,59 = 2,80 \text{ kPa}$

$p_o = 100 \text{ kPa}$

$$k_{vs} = Vx \frac{\sqrt{p_o}}{\sqrt{p_{v100}}} = 0,153x \frac{\sqrt{100}}{\sqrt{2,80}} = 0,91 \rightarrow \text{DN 10, stupeň nastavení 2,9}$$

$$k_{vs} = 0,85$$

Skutečná tlaková ztráta ventilu:  $p_{vr} = \left(\frac{V}{k_{vs}}\right)^2 = \left(\frac{0,153}{0,85}\right)^2 = 3,240 \text{ kPa}$

Poměrná autorita ventilu:  $p'_v = \frac{p_{v100}}{\Delta p_{dis}} = \frac{3,24}{5,59} = 0,58$

Minimální tlaková ztráta ventilu:  $3,000 \text{ kPa} \leq 3,240 \text{ kPa}$

**Navrhuji vyvažovací ventil IMI STAD PN 25, stupeň nastavení: 2,9, DN 10,  $k_{vs} = 0,85$**

## 2.10 Dimenzování trojcestných směšovacích ventilů

Technický list trojcestných směšovacích ventilů ESBE VRG 131 je přílohou této bakalářské práce. P [15]

### 2.10.1 Trojcestný směšovací ventil pro větev 1:

Tlaková ztráta okruhu:  $\Delta p_{dis} = 18,72 \text{ kPa}$

Objemový průtok:  $V = 0,509 \text{ m}^3/\text{h}$

Poměrná autorita ventilu:  $p'_v = \frac{p_v}{(1-p_v)} = \frac{0,33}{(1-0,33)} = 0,5$

Poměrná autorita ventilu:  $p_{v100} = p'_v \times \Delta p_{dis} = 0,5 \times 18,72 = 9,36 \text{ kPa}$

$p_o = 100 \text{ kPa}$

$$k_{vs} = Vx \frac{\sqrt{p_o}}{\sqrt{p_{v100}}} = 0,509x \frac{\sqrt{100}}{\sqrt{9,36}} = 1,66 \rightarrow \text{DN 15}$$

$k_{vs} = 2,5$

Skutečná tlaková ztráta ventilu:  $p_{vr} = \left(\frac{V}{k_{vs}}\right)^2 = \left(\frac{0,509}{2,5}\right)^2 = 4,145 \text{ kPa}$

Poměrná autorita ventilu:  $p'_v = \frac{p_{v100}}{\Delta p_{dis}} = \frac{9,36}{18,72} = 0,5$

Minimální tlaková ztráta ventilu:  $3,000 \text{ kPa} \leq 4,145 \text{ kPa}$

**Navrhuji trojcestný směšovací ventil ESBE VRG 131, DN 15,  $k_{vs} = 2,5$**

### 2.10.2 Trojcestný směšovací ventil pro větev 2:

Tlaková ztráta okruhu:  $\Delta p_{dis} = 12,54 \text{ kPa}$

Objemový průtok:  $V = 0,609 \text{ m}^3/\text{h}$

Poměrná autorita ventilu:  $p'_v = \frac{p_v}{(1-p_v)} = \frac{0,33}{(1-0,33)} = 0,5$

Poměrná autorita ventilu:  $p_{v100} = p'_v \times \Delta p_{dis} = 0,5 \times 12,54 = 6,27 \text{ kPa}$

$p_o = 100 \text{ kPa}$

$$k_{vs} = Vx \frac{\sqrt{p_o}}{\sqrt{p_{v100}}} = 0,609x \frac{\sqrt{100}}{\sqrt{6,27}} = 2,43 \rightarrow \text{DN 15}$$

$k_{vs} = 2,5$

Skutečná tlaková ztráta ventilu:  $p_{vr} = \left(\frac{V}{k_{vs}}\right)^2 = \left(\frac{0,609}{2,5}\right)^2 = 5,934 \text{ kPa}$

Poměrná autorita ventilu:  $p'_v = \frac{p_{v100}}{\Delta p_{dis}} = \frac{6,27}{12,54} = 0,5$

Minimální tlaková ztráta ventilu:  $3,000 \text{ kPa} \leq 5,934 \text{ kPa}$

**Navrhuji trojcestný směšovací ventil ESBE VRG 131, DN 15,  $k_{vs} = 2,5$**

### 2.10.3 Trojcestný směšovací ventil pro větev 3:

Tlaková ztráta okruhu:  $\Delta p_{dis} = 11,22 \text{ kPa}$

Objemový průtok:  $V = 0,617 \text{ m}^3/\text{h}$

Poměrná autorita ventilu:  $p'_v = \frac{p_v}{(1-p_v)} = \frac{0,33}{(1-0,33)} = 0,5$

Poměrná autorita ventilu:  $p_{v100} = p'_v \times \Delta p_{dis} = 0,5 \times 11,22 = 5,61 \text{ kPa}$

$p_o = 100 \text{ kPa}$

$$k_{vS} = Vx \frac{\sqrt{p_o}}{\sqrt{p_{v100}}} = 0,617x \frac{\sqrt{100}}{\sqrt{5,61}} = 2,60 \rightarrow \text{DN 15}$$

$k_{vS} = 2,5$

Skutečná tlaková ztráta ventilu:  $p_{vr} = \left(\frac{V}{k_{vS}}\right)^2 = \left(\frac{0,617}{2,5}\right)^2 = 6,091 \text{ kPa}$

Poměrná autorita ventilu:  $p'_v = \frac{p_{v100}}{\Delta p_{dis}} = \frac{5,61}{11,22} = 0,5$

Minimální tlaková ztráta ventilu:  $3,000 \text{ kPa} \leq 6,091 \text{ kPa}$

**Navrhuji trojcestný směšovací ventil ESBE VRG 131, DN 15,  $k_{vS} = 2,5$**

### 2.10.4 Trojcestný směšovací ventil pro větev 4:

Tlaková ztráta okruhu:  $\Delta p_{dis} = 12,33 \text{ kPa}$

Objemový průtok:  $V = 0,497 \text{ m}^3/\text{h}$

Poměrná autorita ventilu:  $p'_v = \frac{p_v}{(1-p_v)} = \frac{0,33}{(1-0,33)} = 0,5$

Poměrná autorita ventilu:  $p_{v100} = p'_v \times \Delta p_{dis} = 0,5 \times 12,33 = 6,17 \text{ kPa}$

$p_o = 100 \text{ kPa}$

$$k_{vS} = Vx \frac{\sqrt{p_o}}{\sqrt{p_{v100}}} = 0,497x \frac{\sqrt{100}}{\sqrt{6,17}} = 2,00 \rightarrow \text{DN 15}$$

$k_{vS} = 2,5$

Skutečná tlaková ztráta ventilu:  $p_{vr} = \left(\frac{V}{k_{vS}}\right)^2 = \left(\frac{0,497}{2,5}\right)^2 = 3,952 \text{ kPa}$

Poměrná autorita ventilu:  $p'_v = \frac{p_{v100}}{\Delta p_{dis}} = \frac{6,17}{12,33} = 0,5$

Minimální tlaková ztráta ventilu:  $3,000 \text{ kPa} \leq 3,952 \text{ kPa}$

**Navrhuji trojcestný směšovací ventil ESBE VRG 131, DN 15,  $k_{vS} = 2,5$**



## 2.11 Návrh oběhových čerpadel

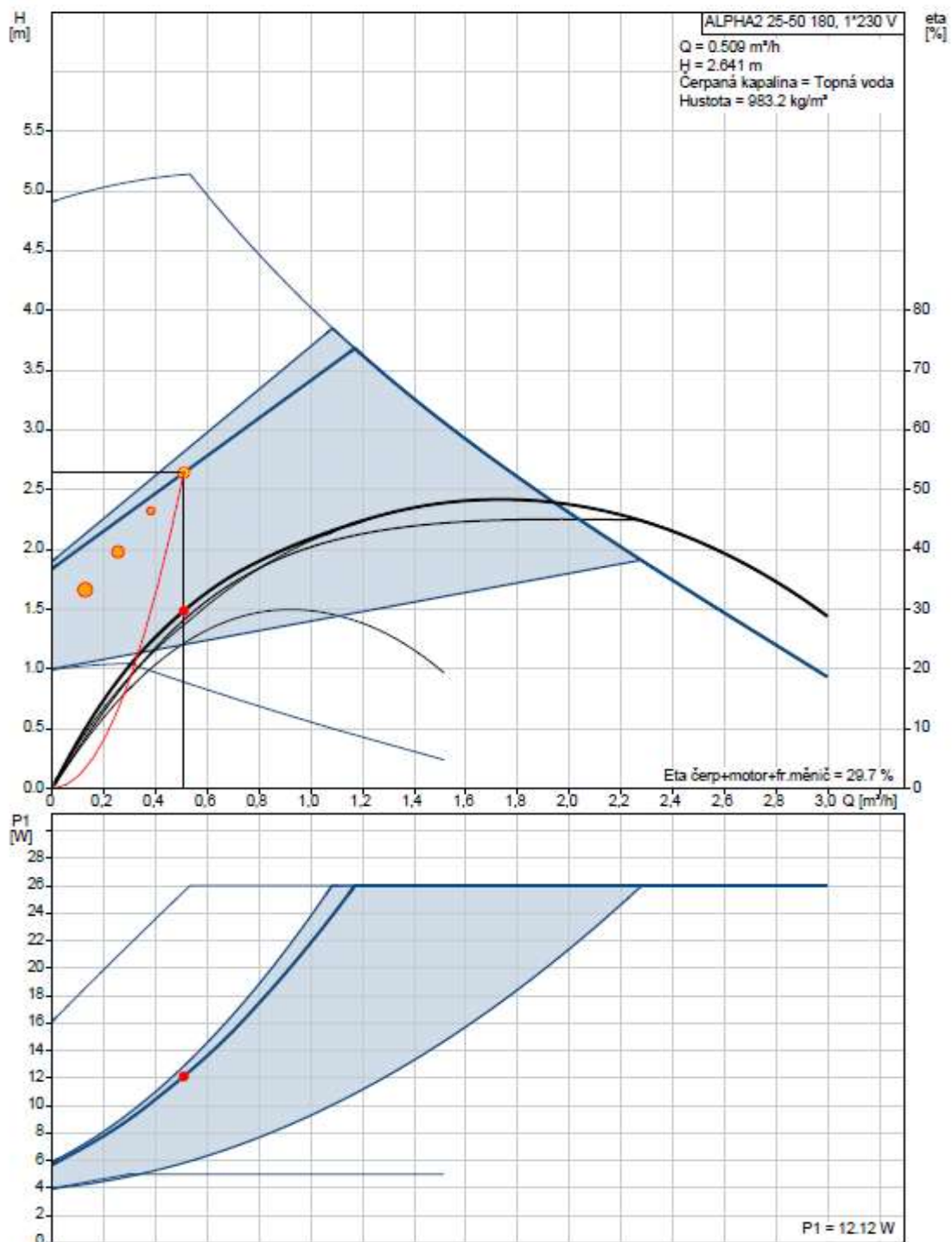
Návrh oběhových čerpadel je proveden v on-line softwaru Grundfos Product Center. K výpočtu dopravní výška  $H$  je použit vzorec hydrostatického tlaku  $p = g \cdot h \cdot \rho$

Technické listy oběhových čerpadel Grundfos jsou přílohou této bakalářské práce. P [14]

### 2.11.1 Oběhové 1o Č1 pro větev 1- Alpha2 25-50 180 50 Hz

Objemový průtok: 0,509 m<sup>3</sup>/h

Tlaková ztráta: 22,861 kPa

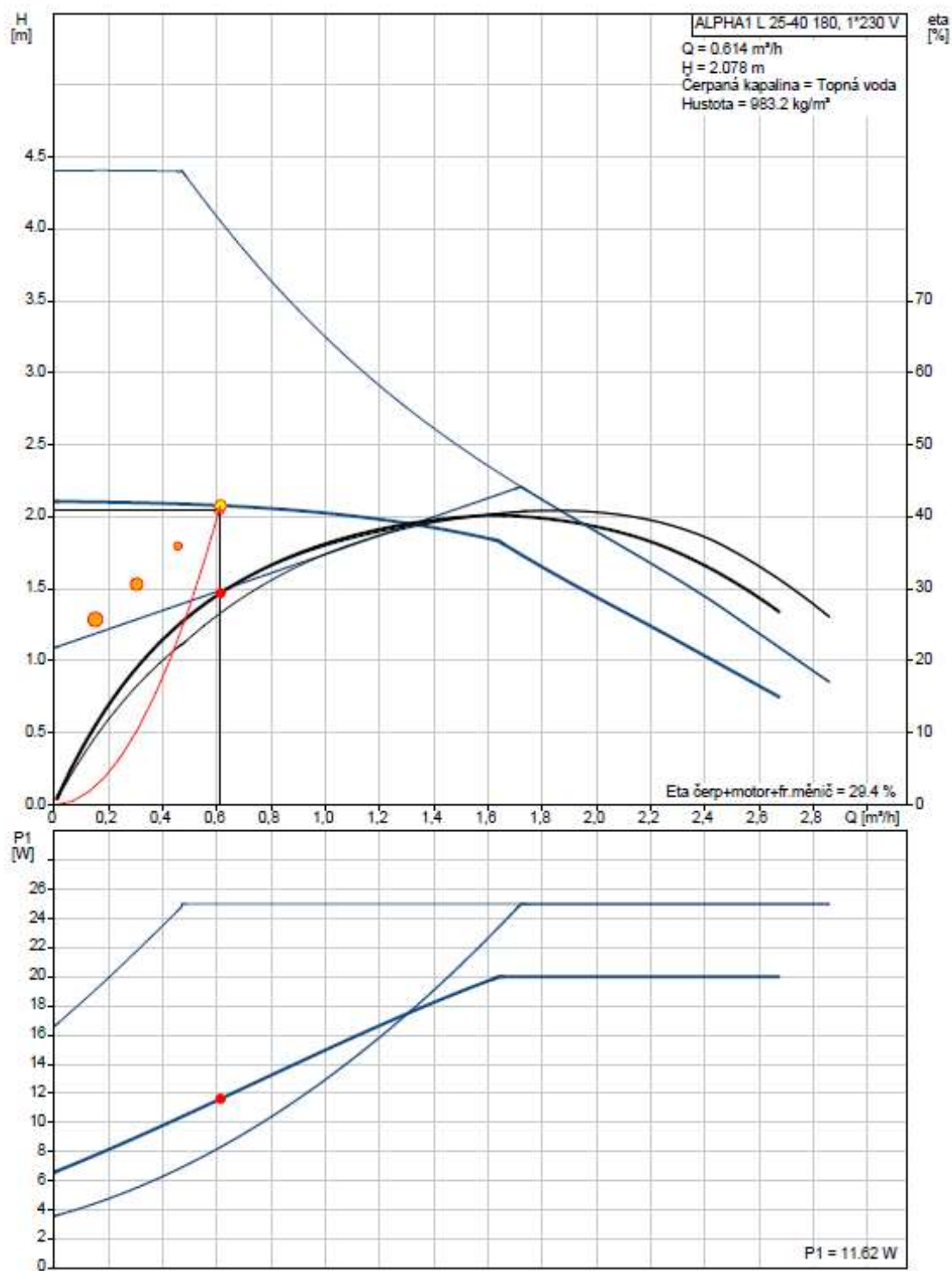




### 2.11.2 Oběhové čerpadlo Č2 pro větev 2- Alpha1 L 25-40 180 50 Hz

Objemový průtok: 0,609 m<sup>3</sup>/h

Tlaková ztráta: 18,460 kPa

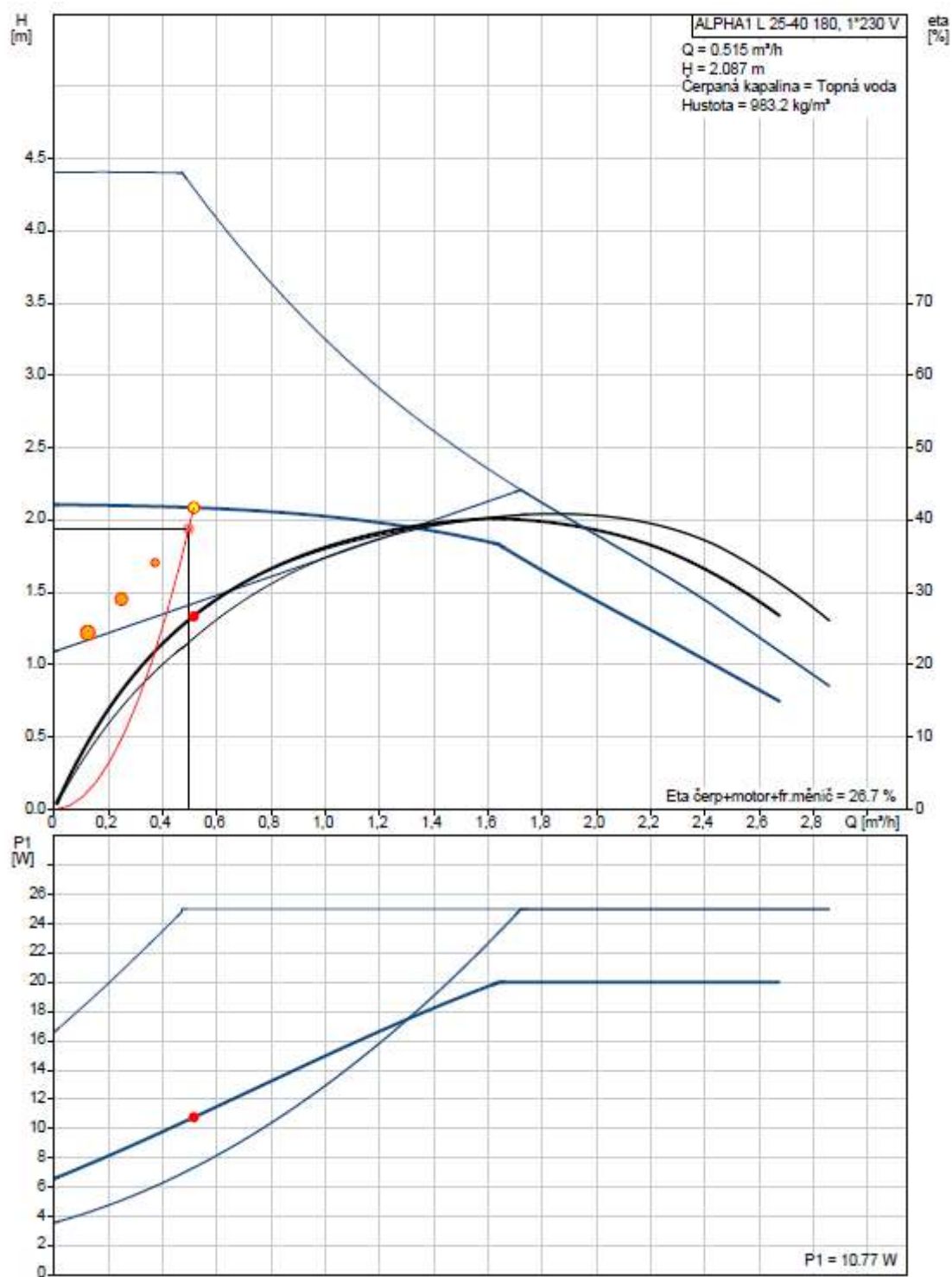




#### 2.11.4 Oběhové čerpadlo Č4 pro větev 4- Alpha1 L 25-40 180 50 Hz

Objemový průtok: 0,497 m<sup>3</sup>/h

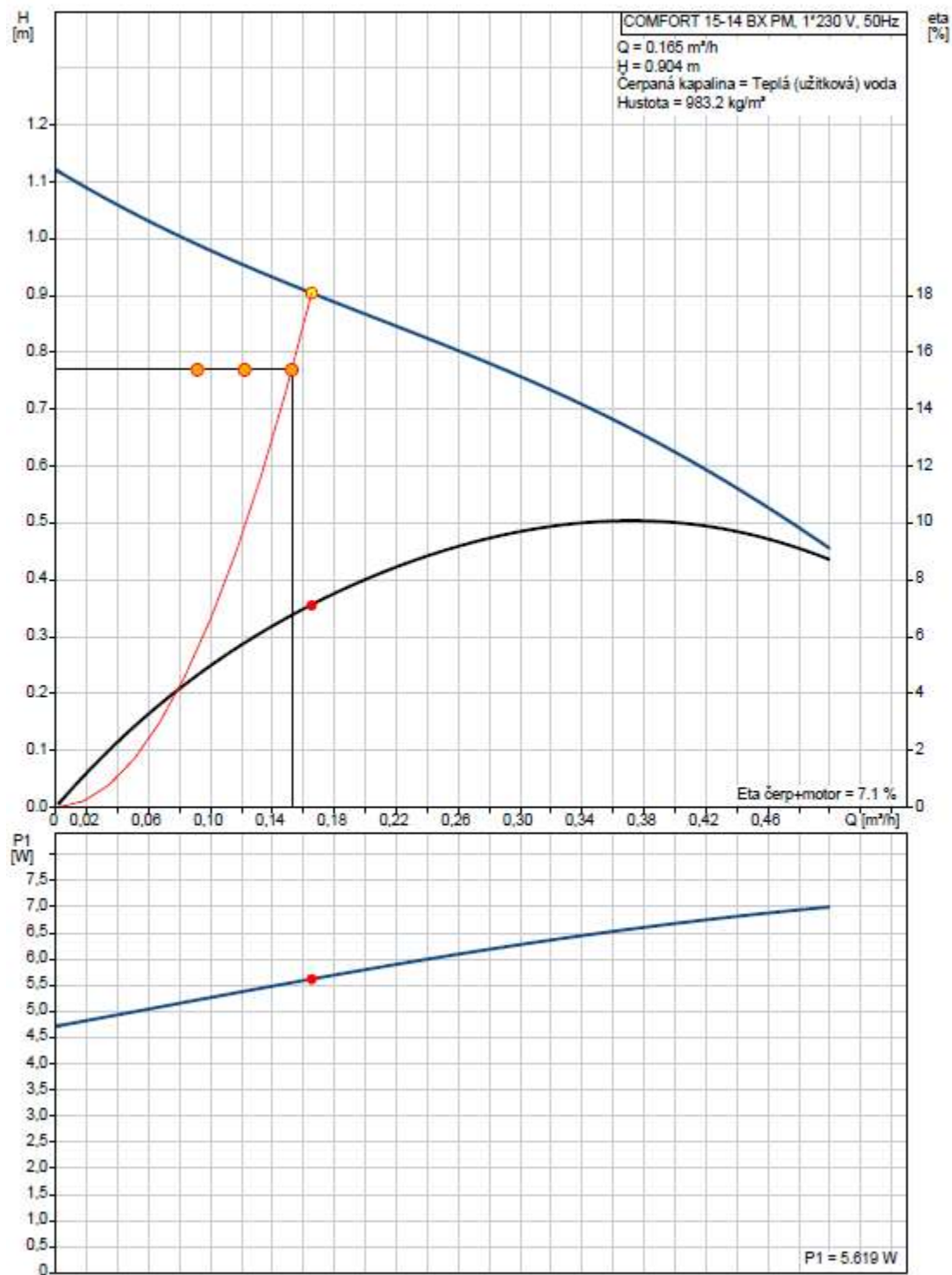
Tlaková ztráta: 16,28 kPa



### 2.11.5 Oběhové čerpadlo ČS pro TUV – Comfort 15-14 BXPM 50 Hz

Objemový průtok:  $0,153 \text{ m}^3/\text{h}$

Tlaková ztráta:  $8,830 \text{ kPa}$



## 2.12 Návrh zabezpečovacích zařízení otopné soustavy

Navržena bude tlaková expanzní nádoba pro umožnění změn objemu vody v otopné soustavě a pojistný ventil, který zabezpečuje soustavu proti překročení nejvyššího dovoleného přetlaku. Pojistný ventil a tlaková expanzní nádoba jsou navrženy dle ČSN 060830- Tepelné soustavy v budovách- Zabezpečovací zařízení.

*Technický list expanzní nádoby Reflex je přílohou této bakalářské práce. P [17]*

### 2.12.1 Tlaková expanzní nádoba

Objem vody v potrubí:

Dxt	l (m)	V <sub>potrubí</sub> (l)
12x1	299,01	23,48
15x1	158,15	20,99
18x1	278,26	55,95
22x1	63,82	20,05
28x1,5	92,91	45,61
35x1,5	3,7	2,98
42x1,5	12,45	14,87
Celkem V <sub>potrubí</sub> = 183,93 l		

Objem vody v otopných tělesech:

Typ OT	V <sub>OT</sub> (l)	Počet kusů	Celkem
KLM (450/1810)	10,60	6	63,60
KLM (600/1810)	13,30	3	39,90
KLM (750/1495)	13,00	2	26,00
KLM (750/1810)	15,90	1	15,90
11 VK (1100/400)	2,53	4	10,12
11 VK (1600/700)	5,60	4	22,40
11 VK (1600/600)	4,96	1	4,96
11 VK (1400/700)	4,92	3	14,76
11 VK (1400/600)	4,34	4	17,36
10 VK (1400/500)	3,78	9	34,02
10 VK (1100/600)	3,41	4	13,64
10 VK (1100/700)	3,85	1	3,85
Celkem V <sub>OT</sub> = 266,51 l			

Objem vody ostatních zařízení topné soustavy:

$$V_{ost} = V_{RS} + V_{HVDI} + V_{kot} = 23,1 + 11,57 + 14 = 48,67 \text{ l}$$

Celkový objem vody v otopné soustavě:

$$V_o = V_{\text{potrubí}} + V_{\text{OT}} + V_{\text{ost}} = 183,93 + 266,51 + 48,67 = 499,11 \text{ l}$$

Expanzní objem:

$$V_e = 1,3 \cdot V_o \cdot n = 1,3 \cdot 499,11 \cdot 0,017 = 11,03 \text{ l}$$

n- koeficient tepelné roztažnosti

Předběžný objem expanzní nádoby:

$$V_{\text{ep}} = \frac{V_e(p_{hp} + 100)}{p_{hp} - p_d} = \frac{11,03(300 + 100)}{300 - 20} = 20,55 \text{ l}$$

Horní mezní přetlak:

$$p_{hp} < p_{h,dov}$$

$$\text{Otopné těleso: } p_k = p_{rx} - (g \cdot h_{MR} \cdot \rho \cdot 10^{-3}) = 1000 - (9,81 \cdot 11,98) = 882,48 \text{ kPa}$$

$$\text{Kotel: } p_k = 300 \text{ kPa}$$

$$\text{Čerpadlo: } p_k = 1000 \text{ kPa}$$

Dolní mezní přetlak:

$$p_d > p_{d,dov}$$

$$80 \text{ kPa} > 2,03 \text{ kPa}$$

$$p_{d,dov} > 1,1 \cdot h \cdot \rho \cdot 10^{-3} = 1,1 \cdot 1,845 = 2,03 \text{ kPa}$$

Průměr expanzního potrubí:

$$D_p = 10 + 0,6 \cdot Q_p^{0,5} = 10 + 0,6 \cdot 36^{0,5} = 13,6 \text{ mm} \rightarrow 18 \times 1 - \text{Cu}$$

**Navrhuji tlakovou expanzní nádobu Reflex NG 25/6**

### 2.12.2 Návrh pojistného ventilu

Proti překročení maximálního dovoleného přetlaku postačí integrovaný pojistný ventil v kotli s otevíracím přetlakem 3 bary. Výrobce neudává typ ventilu. Výpočet je tedy pro jiný typ a slouží pouze orientačně.

Průřez sedla pojistného ventilu:

1/2'',  $\alpha_w=0,64$

$$S_o = \frac{Q_p}{\alpha_w \cdot K} = \frac{19}{0,64 \cdot 1,12} = 26,51 \text{ mm}^2 < S_{\text{skut}} = 201 \text{ mm}^2 \rightarrow \text{Vyhovuje}$$

Vnitřní průměr pojistného potrubí

$$d_p = 15 + 1,4 \cdot Q_p^{0,5} = 15 + 1,4 \cdot 18^{0,5} = 21,10 \text{ mm} \rightarrow \text{DN 25}$$

## 2.13 Návrh dalších zařízení technické místnosti

### 2.13.1 Kombinovaný rozdělovač sběrač

Slouží k rozvodu otopné vody do všech větví a připojení přívodního a vratného potrubí ke kotlům. Sdružením obou komor zvyšuje přehlednost, šetří prostor a ulehčuje manipulaci.

*Technický list kombinovaného rozdělovače sběrače je přílohou této bakalářské práce. P [18]*

#### Rozdělovač sběrač

Objemový průtok: 1,548 m<sup>3</sup>/h

Výkon: 36 kW

**Navrhují: RS KOMBI 150.**

Max. průtok: 23 m<sup>3</sup>/h

Max. výkon: 550 kW

Počet větví: 5

Napojení přívodu na vrchní část RS a vratu na spodní část RS

Rozestup mezi větvemi min. 250 mm

Q <sub>max</sub> = [m <sup>3</sup> /hod]	6	10	15	23	42	65	95	130
do výkonu [kW] při Δt=20	120	250	350	550	1000	1500	2100	3000
MODUL	80	100	120	150	200	250	300	350
Průtok. průřez komor S <sub>p</sub> (m <sup>2</sup> )	0,0019	0,0028	0,0040	0,0070	0,0114	0,0176	0,0271	0,0380
Max. délka (m)	1,5	2,0	3,0					

*Těla všech RS KOMBI standardně PN 0,6MPa, teplota 110 °C. Maximální rychlost proudění vody v tělese je 1,0 m/s.*

Obrázek 21: Tabulka pro návrh rozdělovače sběrače

### 2.13.2 Hydraulický vyrovnávač dynamických tlaků

Hydraulický vyrovnávač dynamických tlaků zajišťuje hydraulickou stabilitu otopné soustavy vyrušením přebytku dynamických tlaků oběhového čerpadla kotlového okruhu. Průtok vody kotlového okruhu není ovlivněn průtokem otopné soustavy.

*Technický list hydraulického vyrovnávače dynamických tlaků je přílohou této bakalářské práce. P [19]*

#### HVDT

Celkový výkon: 36 kW

Objemový průtok: 1,548 m<sup>3</sup>/h

**Navrhují: HVDT 24B.**

Technické údaje navrženého HVDT:

**HVDT – ZÁKLADNÍ ROZMĚRY**

TYP HVDT	MAX. PRŮTOK (m <sup>3</sup> /hod)	A (mm)	B (mm)	C (mm)	D (mm)	I (mm)	S (mm)	d (mm)	e (mm)	f
24B	1,8	100	300	65	89	485	169	5/4"	-	-
63B	2,5	110	380	80	108	600	208	6/4"	-	-
1B	4,0	110	400	100	108	600	208	2"	-	-
I	4,0	100	400	100	108	1050	400	57	1"	5/4"
II	8,0	150	500	100	159	1200	400	76	1"	5/4"
III	12,0	200	700	200	219	1550	500	89	1"	5/4"
IV	20,0	200	700	200	219	1550	500	108	5/4"	5/4"
V	30,0	250	900	200	273	1800	560	133	6/4"	6/4"
VI	50,0	300	1000	200	324	1950	620	159	6/4"	6/4"
VIa	80,0	400	1300	250	424	2400	750	219	2"	6/4"
VII	100,0	450	1500	250	508	2650	800	219	2 1/2"	6/4"

\* HVDT 24B, 63B a 1B nemají stojny, jsou určeny k uchycení na zeď (součástí dodávky je nástěnná konzola) a mají vnější závit; povrchová úprava: vrchní bílá barva radiátorová.

Obrázek 22: Tabulka pro návrh HVDT

### 2.13.3 Automatická bloková úprava vody

Automatická bloková úprava vody slouží k upravování a doplňování vody do uzavřeného otopného systému. Je osazena jednoduchým automatickým změkčovačem a jednou dávkovací jednotkou na korekční směsnou chemikálii. Dimenzována podle kotlového průtoku.

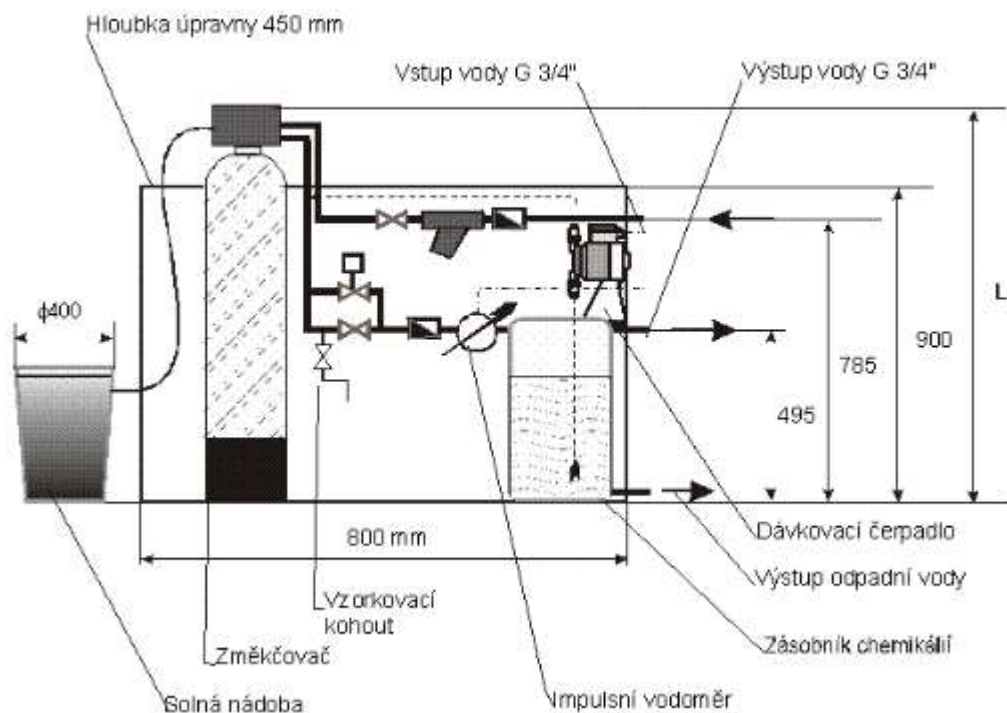
*Technický list automatické blokové úpravy vody je přílohou této bakalářské práce. P [20]*

#### ABUV

Objemový průtok: 1,548 m<sup>3</sup>/h

**Navrhují: Bloková úpravnu vody ABUV 150, max. průtok 1,8 m<sup>3</sup>/h**





Obrázek 23: Schéma zapojení automatická blokové úpravny vody

## 2.14 Kompenzace délkových změn potrubí

Rozdíl teploty při instalaci a teploty provozu způsobuje dilataci potrubí. Změna délky potrubních rozvodů také záleží na zvoleném materiálu a teplotě okolí. Dilatace potrubí je umožněna za pomoci kluzných objímek. Z důvodu vedení rozvodů v instalační předstěně nesmí dojít k větší délkové změně než 60 mm.

### Větev 1:

#### 1.NP

$$\Delta l = \alpha \times \Delta t \times l = 0,017 \times 40 \times 38,44 = 26,14 \text{ mm}$$

#### 2.NP

$$\Delta l = \alpha \times \Delta t \times l = 0,017 \times 40 \times 33,76 = 22,96 \text{ mm}$$

#### 3.NP

$$\Delta l = \alpha \times \Delta t \times l = 0,017 \times 40 \times 33,98 = 23,11 \text{ mm}$$

**Větev 2:****1.NP**

$$\Delta l = \alpha \times \Delta t \times l = 0,017 \times 40 \times 52,82 = 35,92 \text{ mm}$$

**2.NP**

$$\Delta l = \alpha \times \Delta t \times l = 0,017 \times 40 \times 52,66 = 35,81 \text{ mm}$$

**3.NP**

$$\Delta l = \alpha \times \Delta t \times l = 0,017 \times 40 \times 52,66 = 35,81 \text{ mm}$$

**Větev 3:****1.NP**

$$\Delta l = \alpha \times \Delta t \times l = 0,017 \times 40 \times 25,98 = 17,67 \text{ mm}$$

**2.NP**

$$\Delta l = \alpha \times \Delta t \times l = 0,017 \times 40 \times 42,40 = 28,83 \text{ mm}$$

**3.NP**

$$\Delta l = \alpha \times \Delta t \times l = 0,017 \times 40 \times 42,40 = 28,83 \text{ mm}$$

**Větev 4:****1.NP**

$$\Delta l = \alpha \times \Delta t \times l = 0,017 \times 40 \times 21,94 = 14,92 \text{ mm}$$

**2.NP**

$$\Delta l = \alpha \times \Delta t \times l = 0,017 \times 40 \times 21,64 = 14,72 \text{ mm}$$

**3.NP**

$$\Delta l = \alpha \times \Delta t \times l = 0,017 \times 40 \times 11,87 = 8,07 \text{ mm}$$

Délky potrubí jsou měřeny vždy jako celek v jednom bytě. Přirozené vedení trasy rozvodů způsobuje odskoky, které vytváří možnost pro kompenzaci délkových změn. Z výpočtu je patrné, že i kdyby bylo potrubí vedeno přímo jeho délková změna nepřekročí 60 mm. Tedy není nutné osazovat kompenzátory.

## 2.15 Návrh izolací potrubí

Za účelem eliminace tepelných ztrát měděných potrubních rozvodů je navržena izolace Mirelon PRO. Z důvodu vedení rozvodů otopného systému v instalační předstěně je třeba zvolit tloušťku izolace tak, aby byla menší nebo rovna hloubce předstěny. Hloubka instalační předstěny je 60 mm. Typ a tloušťka izolace nevyhovuje na minimální požadavek součinitele prostupu tepla z vyhlášky č. 193/2007 Sb., z čehož vyplývá nutnost navržení možných opatření.

Opatření: Upravit hloubku instalační předstěny na 130 mm

*Technický list náplekové tepelné izolace Mirelon PRO je přílohou této bakalářské práce. P [22]*


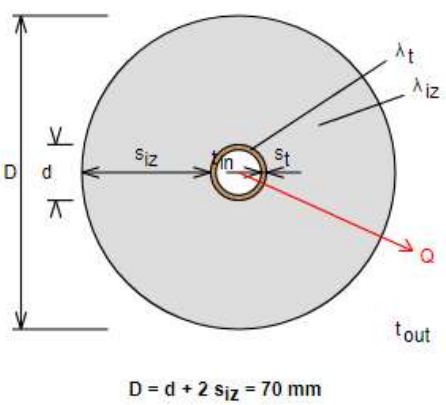
### 2.15.1 Navrhované tloušťky izolací

1) Izolace dimenze 12x1: Mirelon PRO DN 12, tl. 20 mm → **Nevyhoví**

Po provedení opatření: Mirelon PRO DN 12, tl. 9 mm + Mirelon PRO DN 32, tl. 20 mm

Celkový průměr zaizolovaného potrubí: 70 mm

Součinitel prostupu tepla:  $0,146 \text{ W/mK} < 0,15 \text{ W/mK} \rightarrow \text{Vyhoví}$


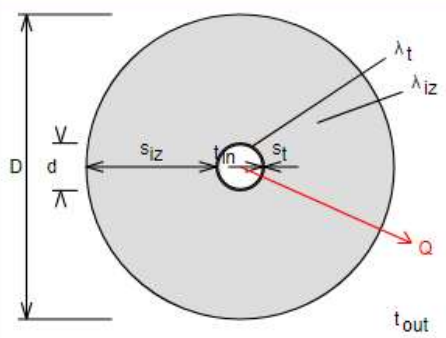
<p><b>Izolace</b></p> <p>MIRELON (PRO, POLAR, STABIL) ▼</p> <p>Rozměry izolace</p> <p>Tloušťka <math>s_{iz} = 29 \text{ mm}</math></p> <p>Souč. tepelné vodivosti <math>\lambda_{iz} = 0.044 \text{ W / m K}</math></p> <p><b>Trubka</b></p> <p>Měď ▼</p> <p>Rozměry trubky - 12x1 ▼</p> <p>Průměr <math>d = 12 \text{ mm}</math></p> <p>Tloušťka stěny <math>s_t = 1 \text{ mm}</math></p> <p>Souč. tepelné vodivosti <math>\lambda_t = 372 \text{ W / m K}</math></p>	 <p>Rozsah provozních teplot: není uveden</p>
 <p><math>D = d + 2 s_{iz} = 70 \text{ mm}</math></p>	<p><b>Potrubí</b></p> <p>Teplota média <math>t_{in} = 70 \text{ °C}</math></p> <p>Teplota v okolí potrubí <math>t_{out} = 20 \text{ °C}</math></p> <p>Relativní vlhkost vzduchu <math>rh = 65 \text{ \%} ???</math></p> <p>Teplota rosného bodu <math>t_w = 13.6 \text{ °C}</math></p> <p>Součinitel přestupu tepla na vnějším povrchu <math>\alpha_e = 10 \text{ W / m}^2 \text{ K}</math></p> <p>Délka potrubí <math>l = 1 \text{ m}</math></p>
<p>Určující souč. prostupu tepla (dle vyhl. 193/2007)</p>	<p>DN 10 - DN 15 ▼ <math>\Rightarrow U_{0,193/2007} = 0.15 \text{ W / m K}</math></p>
<p>Součinitel prostupu tepla izolovaného potrubí</p>	<p><math>U_0 = 0.146 \leq 0.15 \text{ W / m K} \Rightarrow \text{VYHOVUJE požadavkům vyhlášky č. 193/2007}</math></p>
<p>Povrchová teplota izolovaného potrubí</p>	<p><math>t_{p,iz} = 23.3 \text{ °C} &gt; t_w \Rightarrow \text{na povrchu potrubí nedochází ke kondenzaci}</math></p>

2) Izolace dimenze 15x1: Mirelon PRO DN 15, tl. 20 mm → **Nevyhoví**

Po provedení opatření: Mirelon PRO DN 15, tl. 20 mm + Mirelon PRO DN 54, tl. 20 mm

Celkový průměr zaizolovaného potrubí: 95 mm

Součinitel prostupu tepla:  $0,143 \text{ W/mK} < 0,15 \text{ W/mK} \rightarrow \text{Vyhoví}$


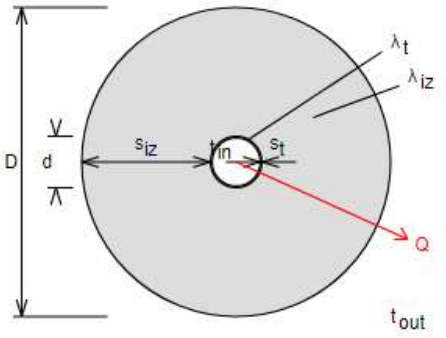
<p><b>Izolace</b></p> <p>MIRELON (PRO, POLAR, STABIL) ▾</p> <p>Rozměry izolace</p> <p>Tloušťka <math>s_{iz} = 40</math> mm</p> <p>Souč. tepelné vodivosti <math>\lambda_{iz} = 0.044</math> W / m K</p>	 <p>Rozsah provozních teplot: není uveden</p>
<p><b>Trubka</b></p> <p>Měď ▾</p> <p>Rozměry trubky - 15x1 ▾</p> <p>Průměr <math>d = 15</math> mm</p> <p>Tloušťka stěny <math>s_t = 1</math> mm</p> <p>Souč. tepelné vodivosti <math>\lambda_t = 372</math> W / m K</p>	
 <p><math>D = d + 2 s_{iz} = 95 \text{ mm}</math></p>	<p><b>Potrubí</b></p> <p>Teplota média <math>t_{in} = 70</math> °C</p> <p>Teplota v okolí potrubí <math>t_{out} = 20</math> °C</p> <p>Relativní vlhkost vzduchu <math>rh = 65</math> % ???</p> <p>Teplota rosného bodu <math>t_w = 13.6</math> °C</p> <p>Součinitel přestupu tepla na vnějším povrchu <math>\alpha_e = 10</math> W / m<sup>2</sup> K</p> <p>Délka potrubí <math>l = 1</math> m</p>
<p>Určující souč. prostupu tepla (dle vyhl. 193/2007)</p>	<p>DN 10 - DN 15 ▾ =&gt; <math>U_{0,193/2007} = 0.15 \text{ W / m K}</math></p>
<p>Součinitel prostupu tepla izolovaného potrubí</p>	<p><math>U_0 = 0.143 \leq 0.15 \text{ W / m K} \Rightarrow \text{VYHOVUJE požadavkům vyhlášky č. 193/2007}</math></p>
<p>Povrchová teplota izolovaného potrubí</p>	<p><math>t_{p,iz} = 22.4 \text{ °C} &gt; t_w \Rightarrow \text{na povrchu potrubí nedochází ke kondenzaci}</math></p>

3) Izolace dimenze 18x1: Mirelon PRO DN 18, tl. 20 mm → **Nevyhoví**


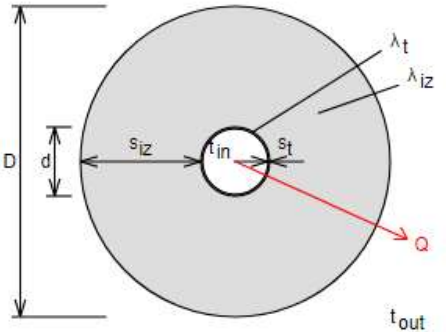
Po provedení opatření: Mirelon PRO DN 18, tl. 20 mm + Mirelon PRO DN 60, tl. 25 mm

Celkový průměr zaizolovaného potrubí: 110 mm

Součinitel prostupu tepla:  $0,148 \text{ W/mK} < 0,15 \text{ W/mK} \rightarrow \text{Vyhoví}$


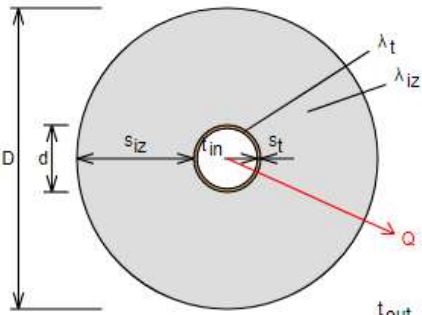
<p><b>Izolace</b></p> <p>MIRELON (PRO, POLAR, STABIL) ▼</p> <p>Rozměry izolace</p> <p>Tloušťka <math>s_{iz} = 45 \text{ mm}</math></p> <p>Souč. tepelné vodivosti <math>\lambda_{iz} = 0.044 \text{ W / m K}</math></p>	 <p>Rozsah provozních teplot: není uveden</p>
<p><b>Trubka</b></p> <p>Měď ▼</p> <p>Rozměry trubky - 18x1 ▼</p> <p>Průměr <math>d = 18 \text{ mm}</math></p> <p>Tloušťka stěny <math>s_t = 1 \text{ mm}</math></p> <p>Souč. tepelné vodivosti <math>\lambda_t = 372 \text{ W / m K}</math></p>	
 <p><math>D = d + 2 s_{iz} = 108 \text{ mm}</math></p>	<p><b>Potrubí</b></p> <p>Teplota média <math>t_{in} = 60 \text{ °C}</math></p> <p>Teplota v okolí potrubí <math>t_{out} = 20 \text{ °C}</math></p> <p>Relativní vlhkost vzduchu <math>rh = 65 \text{ \% ???}</math></p> <p>Teplota rosného bodu <math>t_w = 13.6 \text{ °C}</math></p> <p>Součinitel přestupu tepla na vnějším povrchu <math>\alpha_e = 10 \text{ W / m}^2 \text{ K}</math></p> <p>Délka potrubí <math>l = 1 \text{ m}</math></p>
<p>Určující souč. prostupu tepla (dle vyhl. 193/2007)</p>	<p>DN 10 - DN 15 ▼ =&gt; <math>U_{0,193/2007} = 0.15 \text{ W / m K}</math></p>
<p>Součinitel prostupu tepla izolovaného potrubí</p>	<p><math>U_0 = 0.148 \leq 0.15 \text{ W / m K} \Rightarrow \text{VYHOVUJE požadavkům vyhlášky č. 193/2007}</math></p>
<p>Povrchová teplota izolovaného potrubí</p>	<p><math>t_{p,iz} = 21.7 \text{ °C} &gt; t_w \Rightarrow \text{na povrchu potrubí nedochází ke kondenzaci}</math></p>

- 4) Izolace dimenze 22x1: Mirelon PRO DN 22, tl. 25 mm + Mirelon PRO DN 76, tl. 13 mm  
Dimenze 22x1 není vedena instalační předstěnou, proto není nutné žádné opatření.

<p><b>Izolace</b></p> <p>MIRELON (PRO, POLAR, STABIL) ▼</p> <p>Rozměry izolace</p> <p>Tloušťka <math>s_{iz} = 38</math> mm</p> <p>Souč. tepelné vodivosti <math>\lambda_{iz} = 0.044</math> W / m K</p> <p><b>Trubka</b></p> <p>Měď ▼</p> <p>Rozměry trubky - 22x1 ▼</p> <p>Průměr <math>d = 22</math> mm</p> <p>Tloušťka stěny <math>s_t = 1</math> mm</p> <p>Souč. tepelné vodivosti <math>\lambda_t = 372</math> W / m K</p>	 <p>Rozsah provozních teplot: není uveden</p>
 <p><math>D = d + 2 s_{iz} = 98</math> mm</p>	<p><b>Potrubí</b></p> <p>Teplota média <math>t_{in} = 70</math> °C</p> <p>Teplota v okolí potrubí <math>t_{out} = 20</math> °C</p> <p>Relativní vlhkost vzduchu <math>rh = 65</math> % ???</p> <p>Teplota rosného bodu <math>t_w = 13.6</math> °C</p> <p>Součinitel přestupu tepla na vnějším povrchu <math>\alpha_e = 10</math> W / m<sup>2</sup> K</p> <p>Délka potrubí <math>l = 1</math> m</p>
<p>Určující souč. prostupu tepla (dle vyhl. 193/2007)</p>	<p>DN 20 - DN 32 ▼ =&gt; <math>U_{0,193/2007} = 0.18</math> W / m K</p>
<p>Součinitel prostupu tepla izolovaného potrubí</p>	<p><math>U_0 = 0.175 \leq 0.18</math> W / m K =&gt; <b>VYHOVUJE požadavkům vyhlášky č. 193/2007</b></p>
<p>Povrchová teplota izolovaného potrubí</p>	<p><math>t_{p,iz} = 22.8</math> °C &gt; <math>t_w</math> =&gt; na povrchu potrubí nedochází ke kondenzaci</p>


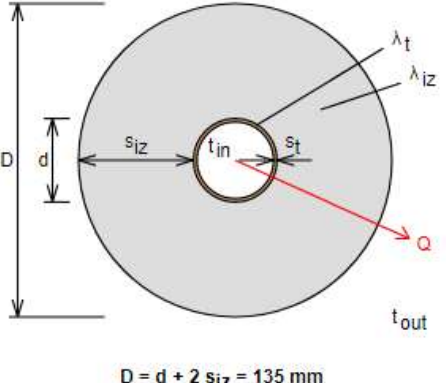


- 5) Izolace dimenze 28x1,5: Mirelon PRO DN 28, tl. 25 mm + Mirelon PRO DN 89, tl. 25 mm  
Dimenze 28x1,5 není vedena instalační předstěnou, proto není nutné žádné opatření.

<p><b>Izolace</b></p> <p>MIRELON (PRO, POLAR, STABIL) ▼</p> <p>Rozměry izolace</p> <p>Tloušťka <math>s_{iz} = 50</math> mm</p> <p>Souč. tepelné vodivosti <math>\lambda_{iz} = 0.044</math> W / m K</p>	 <p>Rozsah provozních teplot: není uveden</p>
<p><b>Trubka</b></p> <p>Měř ▼</p> <p>Rozměry trubky - 28x1.5 ▼</p> <p>Průměr <math>d = 28</math> mm</p> <p>Tloušťka stěny <math>s_t = 1.5</math> mm</p> <p>Souč. tepelné vodivosti <math>\lambda_t = 372</math> W / m K</p>	
 <p><math>D = d + 2 s_{iz} = 128</math> mm</p>	<p><b>Potrubí</b></p> <p>Teplota média <math>t_{in} = 60</math> °C</p> <p>Teplota v okolí potrubí <math>t_{out} = 20</math> °C</p> <p>Relativní vlhkost vzduchu <math>rh = 65</math> % ???</p> <p>Teplota rosného bodu <math>t_W = 13.6</math> °C</p> <p>Součinitel přestupu tepla na vnějším povrchu <math>\alpha_e = 10</math> W / m<sup>2</sup> K</p> <p>Délka potrubí <math>l = 1</math> m</p>
<p>Určující souč. prostupu tepla (dle vyhl. 193/2007)</p>	<p>DN 20 - DN 32 ▼ =&gt; <math>U_{0,193/2007} = 0.18</math> W / m K</p>
<p>Součinitel prostupu tepla izolovaného potrubí</p>	<p><math>U_0 = 0.174 \leq 0.18</math> W / m K =&gt; <b>VYHOVUJE požadavkům vyhlášky č. 193/2007</b></p>
<p>Povrchová teplota izolovaného potrubí</p>	<p><math>t_{p,iz} = 21.7</math> °C &gt; <math>t_W</math> =&gt; na povrchu potrubí nedochází ke kondenzaci</p>


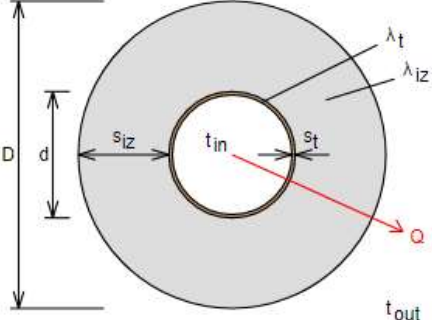
6) Izolace dimenze 35x1,5: Rockwool Pipa tl. 50 mm

Dimenze 35x1,5 není vedena instalační předstěnou, proto není nutné žádné opatření.

<p>Izolace - <a href="#">podrobné technické informace</a></p> <p>ROCKWOOL &gt; PIPO/PIPO ALS ▾</p> <p>Rozměry izolace - tl. 50 ▾</p> <p>Tloušťka <math>s_{iz} = 50</math> mm</p> <p>Souč. tepelné vodivosti <math>\lambda_{iz} = 0.037</math> W / m K</p>	 <p>Řezaná potrubní pouzdra z minerální vlny pro izolaci potrubních rozvodů, kaširovaná hliníkovou fólií.</p> <p>Rozsah provozních teplot: od 15 °C do 250 °C</p>
<p>Trubka</p> <p>Měď ▾</p> <p>Rozměry trubky - 35x1.5 ▾</p> <p>Průměr <math>d = 35</math> mm</p> <p>Tloušťka stěny <math>s_t = 1.5</math> mm</p> <p>Souč. tepelné vodivosti <math>\lambda_t = 372</math> W / m K</p>	
 <p><math>D = d + 2 s_{iz} = 135</math> mm</p>	<p>Potrubí</p> <p>Teplota média <math>t_{in} = 60</math> °C</p> <p>Teplota v okolí potrubí <math>t_{out} = 20</math> °C</p> <p>Relativní vlhkost vzduchu <math>rh = 65</math> % ???</p> <p>Teplota rosného bodu <math>t_w = 13.6</math> °C</p> <p>Součinitel přestupu tepla na vnějším povrchu <math>\alpha_e = 10</math> W / m<sup>2</sup> K</p> <p>Délka potrubí <math>l = 1</math> m</p>
<p>Určující souč. prostupu tepla (dle vyhl. 193/2007)</p>	<p>DN 20 - DN 32 ▾ =&gt; <math>U_{0,193/2007} = 0.18</math> W / m K</p>
<p>Součinitel prostupu tepla izolovaného potrubí</p>	<p><math>U_0 = 0.167 \leq 0.18</math> W / m K =&gt; <b>VYHOVUJE požadavkům vyhlášky č. 193/2007</b></p>
<p>Povrchová teplota izolovaného potrubí</p>	<p><math>t_{p,iz} = 21.6</math> °C &gt; <math>t_w</math> =&gt; na povrchu potrubí nedochází ke kondenzaci</p>



- 7) Izolace dimenze 42x1,5: Rockwool Pipo tl. 30 mm  
 Dimenze 42x1,5 není vedena instalační předstěnou, proto není nutné žádné opatření.

<p><b>Izolace - <u>podrobné technické informace</u></b></p> <p>ROCKWOOL &gt; PIPO/PIPO ALS ▼</p> <p>Rozměry izolace - tl. 30 ▼</p> <p>Tloušťka <math>s_{iz} = 30</math> mm</p> <p>Souč. tepelné vodivosti <math>\lambda_{iz} = 0.037</math> W / m K</p> <hr/> <p><b>Trubka</b></p> <p>Měď ▼</p> <p>Rozměry trubky - 42x1.5 ▼</p> <p>Průměr <math>d = 42</math> mm</p> <p>Tloušťka stěny <math>s_t = 1.5</math> mm</p> <p>Souč. tepelné vodivosti <math>\lambda_t = 372</math> W / m K</p>	 <p>Řezaná potrubní pouzdra z minerální vlny pro izolaci potrubních rozvodů, kaširovaná hliníkovou fólií.</p> <p>Rozsah provozních teplot: od 15 °C do 250 °C</p>
 <p><math>D = d + 2 s_{iz} = 102</math> mm</p>	<p><b>Potrubí</b></p> <p>Teplota média <math>t_{in} = 60</math> °C</p> <p>Teplota v okolí potrubí <math>t_{out} = 20</math> °C</p> <p>Relativní vlhkost vzduchu <math>rh = 65</math> % ???</p> <p>Teplota rosného bodu <math>t_w = 13.6</math> °C</p> <p>Součinitel přestupu tepla na vnějším povrchu <math>\alpha_e = 10</math> W / m<sup>2</sup> K</p> <p>Délka potrubí <math>l = 1</math> m</p>
<p>Určující souč. prostupu tepla (dle vyhl. 193/2007)</p>	<p>DN 40 - DN 65 ▼ =&gt; <math>U_{0,193/2007} = 0.27</math> W / m K</p>
<p>Součinitel prostupu tepla izolovaného potrubí</p>	<p><math>U_0 = 0.244 \leq 0.27</math> W / m K =&gt; <b>VYHOVUJE požadavkům vyhlášky č. 193/2007</b></p>
<p>Povrchová teplota izolovaného potrubí</p>	<p><math>t_{p,iz} = 23.1</math> °C &gt; <math>t_w</math> =&gt; na povrchu potrubí nedochází ke kondenzaci</p>

## 2.16 Větrání technické místnosti

Oba osazené plynové kondenzační kotle jsou typu C, na které nejsou kladeny žádné zvláštní požadavky pro větrání. Jelikož mají kotle maximální výkon 18 kW a jejich celkový součet nepřesahuje 100 kW, jedná se o technickou místnost. Vypočtené jsou tedy pouze teplotní bilance tech. místnosti.

*Technické listy el. otopného tělesa a ventilátoru jsou přílohou této bakalářské práce. P [23,24]*

### 2.16.1 Tepelná bilance technické místnosti v zimě

Tepelná produkce kotlů a potrubních rozvodů:

$$Q_{z,z} = p \cdot Q_z = 0,01 \cdot 36000 = 360 \text{ W}$$

Měrná tepelná ztráta technické místnosti prostupem pro výpočtovou teplotu kotelny +10 °C:

$$H_T = Q_T / \Delta t = 323,67 / 25 = 12,95 \text{ W/K}$$

$Q_T \rightarrow$  tepelná ztráta prostupem technické místnosti

$$H_V = Q_V / \Delta t = 347,44 / 25 = 13,90 \text{ W/K}$$

$Q_V \rightarrow$  tepelná ztráta větráním technické místnosti

Teplota vzduchu v tech. místnosti za návrhových podmínek:

$$t_{i,z} = t_e + \frac{Q_{z,z}}{H_T + H_V} = -15 + \frac{360}{12,95 + 13,9} = -1,59 \text{ °C}$$

**Aby byla dosažena minimální předepsaná teplota 7,5 °C, bude nutné technickou místnost vytápět.**

Návrh otopného tělesa

$$Q = (H_T + H_V) \cdot (t_i - t_{i,z}) = (12,95 + 13,90) \cdot (10 - (-1,59)) = 311,19 \text{ W}$$

**Navrhuji elektrické otopné těleso E-BLITZ 500, 8članků, výkon 600 W**

### 2.16.2 Tepelná bilance technické místnosti v létě

Tepelná produkce kotlů a potrubních rozvodů:

$$Q_{z,l} = p \cdot Q_z + I \cdot S_o = 0,015 \cdot 18000 + 120 \cdot 2,1 \cdot 0,6 = 421,2 \text{ W}$$

Teplota v tech. Místnosti pro průměrnou letní teplotu

$$t_{i,z} = t_e + \frac{Q_{z,l}}{H_T + H_V} = 30 + \frac{421,2}{12,95 + 13,9} = 45,69 \text{ °C}$$

maximální přípustná teplota je 35°C  $\rightarrow$  Nevyhoví

Potřeba zvětšení průtoku vzduchu:

$$V_L = Q_{z,l} / \rho \cdot c \cdot \Delta t = 421,2 / 1300 \cdot 5 = 0,0648 \text{ m}^3/\text{s} = 233,28 \text{ m}^3/\text{h}$$

Tento průtok znamená výměnu vzduchu:

$$n = V_L / O = 233,28 / 5,63 \cdot 4,84 \cdot 3 = 2,85/\text{h}$$

Návrh větracího otvoru

$$S = V_L / v = \frac{0,0648}{2} = 0,0324 \text{ m}^2 \rightarrow \text{Otvor } 150 \times 250 \text{ mm}$$

Navrhují nástěnný axiální ventilátor Maico EN 20, průtok 420 m<sup>3</sup>/h

## 2.17 Odvod spalin

Pro odvod spalin se použije systémové řešení firmy Thermona s vertikálním odvodem spalin s koaxiálním potrubím vyvedeným na střechu. V tomto provedení je odvod spalin veden ve vnitřní polypropylenové trubce průměru 60 mm a spalovací vzduch přiváděn vnější plechovou trubicí o průměru 100 mm. Maximální možná horizontální délka odvodu spalin je 7 m, pro vertikální odvod spalin je délka 6 m. Nachází-li se koleno v soustavě odvodu spalin, tyto maximální povolené délky se zkrátí o délku 0,75 m pro koleno 90° a 0,50 m pro koleno 45°.

Technické údaje:

### Maximální délka odvodu spalin (m)

Typ kotle	H	V
THERM 14 KDN, KDZN, KDZN 5	6	6
THERM 18 KD, KDZ, KDZ 5	7	6
THERM 24 KDN, KDCN, KDZN	6	6
THERM 25 KD, KDC, KDZ, KDZ 5	7	6
THERM 28 KD.A, KDC.A, KDZ.A, KDZ5.A, KDZ10.A	3	2,7

Uložení odvodu spalin: H - horizontální V - vertikální

Dle použití typu kolena v systému odkouření je nutné počítat se zkrácením maximální délky odvodu! Při použití 90° kolena o 0,75 m a 45° kolena o 0,50 m.

Obrázek 24: Maximální délky odvodu spalin pro zvolený kotel

V tomto případě se žádná kolena nevyskytují a kouřovod při délce 2,2 metrů vyhoví na maximální vertikální délku.

## 2.18 Roční potřeba tepla a paliva

### 2.18.1 Potřeba tepla na vytápění a ohřev TV

Lokalita (Tabulka)		<input type="radio"/> $t_{em} = 12\text{ °C}$ <input checked="" type="radio"/> $t_{em} = 13\text{ °C}$ <input type="radio"/> $t_{em} = 15\text{ °C}$ ???	
Město	Rychnov n/Kněžnou (Slatina) ▼	Délka topného období	$d = 234$ [dny]
Venkovní výpočtová teplota $t_e$	$-15\text{ °C}$	Prům. teplota během otopného období $t_{es}$	$3.5\text{ °C}$

<input checked="" type="checkbox"/> <b>Vytápění</b> Tepelná ztráta objektu $Q_c = 23,16$ kW Průměrná vnitřní výpočtová teplota $t_{is} = 19\text{ °C}$ ??? Vytápěcí denostupně $D = d \cdot (t_{is} - t_{es}) = 3627\text{ K.dny}$ Opravné součinitele a účinnosti systému $e_i = 0.85$ ??? $\eta_o = 0.95$ ??? $e_t = 0.90$ ??? $\eta_r = 0.95$ ??? $e_d = 1.00$ ??? Opravný součinitel $\varepsilon$ ??? <input checked="" type="radio"/> $\varepsilon = e_i \cdot e_t \cdot e_d = 0.765$ <input type="radio"/> $\varepsilon = 0.765$ $Q_{VYT,r} = \frac{\varepsilon}{\eta_o \cdot \eta_r} \cdot \frac{24 \cdot Q_c \cdot D}{(t_{is} - t_e)} \cdot 3,6 \cdot 10^{-3}$ $Q_{VYT,r} = \left( \begin{array}{c} 180.9\text{ GJ/rok} \\ 50.3\text{ MWh/rok} \end{array} \right)$	<input checked="" type="checkbox"/> <b>Ohřev teplé vody</b> $t_1 = 10\text{ °C}$ ??? $\rho = 1000$ kg/m <sup>3</sup> ??? $t_2 = 55\text{ °C}$ ??? $c = 4186$ J/kgK ??? $V_{2p} = 2,46$ m <sup>3</sup> /den ??? Koeficient energetických ztrát systému $z = 0.5$ ??? Denní potřeba tepla pro ohřev teplé vody $Q_{TUV,d} = (1+z) \cdot \frac{\rho \cdot c \cdot V_{2p} \cdot (t_2 - t_1)}{3600} = 193.1\text{ kWh}$ Teplota studené vody v létě $t_{svl} = 15\text{ °C}$ Teplota studené vody v zimě $t_{svz} = 5\text{ °C}$ Počet pracovních dní soustavy v roce $N = 365$ [dny] $Q_{TUV,r} = Q_{TUV,d} \cdot d + 0,8 \cdot Q_{TUV,d} \cdot \frac{t_2 - t_{svl}}{t_2 - t_{svz}} \cdot (N - d)$ $Q_{TUV,r} = \left( \begin{array}{c} 220.9\text{ GJ/rok} \\ 61.4\text{ MWh/rok} \end{array} \right)$
---	--

Celková roční potřeba energie na vytápění a ohřev teplé vody	
$Q_r = Q_{VYT,r} + Q_{TUV,r} = \left( \begin{array}{c} 401.9\text{ GJ/rok} \\ 111.6\text{ MWh/rok} \end{array} \right)$	

### 2.18.2 Potřeba paliva

Palivo: zemní plyn, výhřevnost  $H = 35\text{ MJ/kg}$

$$\text{Spotřeba: } 3600 \frac{E}{H} = 3600 \frac{Q_{VYT} + Q_{TUV}}{H} = 3600 \frac{111,6}{35} = 11478,86\text{ m}^3/\text{r}$$

## 3 PROJEKT (ČÁST C)

### 3.1 Technická zpráva

#### 3.1.1 Úvod

Řešeným objektem je novostavba bytového domu v lokalitě Vostelčice v Chocni. Jedná se o dřevostavbu separovanou rozdělovací spárou na dva objekty, jeden podsklepený a druhý nepodsklepený. Podsklepená část bytového domu je zhotovena z betonových tvarovek a zaizolována extrudovaným polystyrénem. Každý objekt má tři nadzemní podlaží, v každém podlaží se nacházejí dva byty. V prvním nadzemním podlaží nepodsklepeného objektu se nachází byt s bezbariérovým přístupem. Navrženo pro 30 osob. Konstrukční systém dřevostavby je rámový, mezi nosné prvky vložena minerální izolace. Konstrukce stropů je obdobná jako u stěn, mezi nosné prvky se vkládá minerální izolace. Zastřešení plochou jednoplášťovou střechou s vegetační vrstvou. Okna zasklena izolačním trojsklem v dřevěném rámu. Schodiště je venkovní s dřevěnou konstrukcí.

Celková podlahová plocha objektu vyměřena na 948,52 m<sup>2</sup>. Výška objektu 15,15m. Vnější objem objektů 4559,1 m<sup>3</sup>.

#### Popis provozu objektu

Objekt slouží pro bydlení. Bude využíván každodenně po celý rok.

#### Rozsah projektu

Projekt řeší: vytápění objektu, přípravu teplé vody

#### 3.1.2 Podklady pro zpracování objektu

Použité stavební výkresy: Půdorys 1. NP, 2. NP, 3. NP, půdorys technické místnosti, řezy A-A, B-B, C-C

#### 3.1.3 Tepelné ztráty a potřeba tepla

Výpočet tepelných ztrát byl zhotoven v souladu s normou ČSN 12 831. Navržené vnitřní teploty odpovídají hygienickým požadavkům.

#### Klimatické podmínky

Nadmořská výška	290 m n.m.
-----------------	------------

Výpočtová venkovní teplota	-15 °C
----------------------------	--------

Průměrná venkovní teplota v otopném období	3,03 °C
--	---------

Počet dní otopného období	234
---------------------------	-----

#### Vnitřní teploty

Pokoje, Ložnice, Kuchyně, WC, Chodby	20 °C
--------------------------------------	-------

Koupelny	24 °C
----------	-------

Technická místnost	10 °C
--------------------	-------

Zádveří	15 °C
---------	-------

## Tepelně-technické vlastnosti stavebních konstrukcí

Výpočtové tepelně-technické vlastnosti stavebních konstrukcí vycházejí z navržených konstrukcí, které jsou v souladu s ČSN 73 0540-2-2011.

• Obvodová stěna S1	$U=0,164 \text{ W/m}^2\text{K}$
• Obvodová stěna S2	$U=0,172 \text{ W/m}^2\text{K}$
• Mezibytová stěna S3	$U=0,205 \text{ W/m}^2\text{K}$
• Mezibytová příčka S4	$U=0,110 \text{ W/m}^2\text{K}$
• Příčka S5	$U=0,328 \text{ W/m}^2\text{K}$
• Příčka	$U=0,495 \text{ W/m}^2\text{K}$
• Dělicí stěna v suterénu S8	$U=0,179 \text{ W/m}^2\text{K}$
• Podlaha a zemině	$U=0,121 \text{ W/m}^2\text{K}$
• Strop nad 1. SP	$U=0,130 \text{ W/m}^2\text{K}$
• Strop nad klasickým podlažím	$U=0,140 \text{ W/m}^2\text{K}$
• Strop k technické místnosti	$U=0,088 \text{ W/m}^2\text{K}$
• Střecha+konstrukce stropu	$U=0,108 \text{ W/m}^2\text{K}$
• Okno	$U=0,700 \text{ W/m}^2\text{K}$
• Vstupní dveře	$U=1,200 \text{ W/m}^2\text{K}$

## Tepelné ztráty budovy

Tepelná ztráta prostupem tepla konstrukcí	10,181 kW
Teplená ztráta větráním	12,978 kW
Celková teplená ztráta budovy	23,159 kW

## Celkový požadovaný výkon pro celou budovu

Požadovaný výkon pro vytápění budovy	$Q_{\text{VYT}}= 23,159 \text{ kW}$
Požadovaný výkon pro přípravu TV	$Q_{\text{TV}}= 3,57 \text{ kW}$
Celkový instalovaný výkon otopných těles	$Q_{\text{TĚLES}}=25,965 \text{ kW}$

## Roční potřeba tepla a paliva pro celou budovu

Roční potřeba tepla	$Q_r= 111,6 \text{ MWh/rok}$
Potřeba paliva	$11\,478,86 \text{ m}^3/\text{rok}$

### 3.1.4 Koncepce objektu

Navrženo ústřední vytápění s nuceným oběhem vody zajištěným oběhovými čerpadly. Navržena jsou desková a trubková otopná tělesa. Otopný systém je zvolen dvoutrubkový s teplotním spádem 60/50°C. Otopná voda rozváděna měděným bezešvým potrubím.

Ohřev teplé vody zajištěn nepřímotopným akumulacním zásobníkem. Teplotní spád pro přípravu teplé vody je 70/50°C.

### 3.1.5 Zdroj tepla

Zdrojem tepla pro daný objekt jsou dva kondenzační plynové kotle Thermona KD 18 s jmenovitým výkonem 18 kW. Oba kotle jsou umístěny v nástřešní technické místnosti a kaskádně zapojeny.

Provedení kotlů typu C, to znamená, že se jedná o uzavřený spotřebič nenasávající spalovací vzduch z technické místnosti. Přívod spalovacího vzduchu a odvod spalin zajištěn koaxiálním kouřovodem o vnějším průměru 100 mm vyvedeným nad střechu technické místnosti. Bude zajištěn odvod kondenzátu od kotlů do neutralizačního boxu a dále do kanalizace.

### **Zabezpečovací zařízení**

Nainstalovaná bude jedna tlaková expanzní nádoba Reflex NG 25/6 spojená s kotlovým okruhem expanzním potrubím DN 20. Objem tlakové expanzní nádoby je 25 l, proto je možné ji zavěsit na stěnové drážky a připojit expanzní potrubí zespoda. Každý kotel je opatřen integrovaným pojistným ventilem s otevíracím přetlakem 3 bary.

## **3.1.6 Topná soustava**

### **Popis topné soustavy**

Otopná soustava navržena jako dvoutrubková s nuceným oběhem vody za pomoci oběhových čerpadel. Pro rozvod otopné vody v budově slouží čtyři větve pro každé seskupení bytů nad sebou. Topná voda vedena v měděném bezešvém potrubí, které se k sobě spojuje lisováním. Horizontální rozvody otopné vody jsou situovány do instalačních předstěn. Vertikální rozvody zakryty sádkokartonovou předstěnou s dvířky pro možnou kontrolu kalorimetrů. Rozvody v technické místnosti budou vedeny pod stropem. Všechny rozvody otopné vody jsou opatřeny tepelnou izolací Mirelon (PRO). Délkovou změnu potrubí není třeba zásadně řešit, jelikož prostor v instalační předstěně je dostačující na pojmání délkové roztažnosti. V místech zalomení potrubního vedení umístíme dvě kluzné podpory. Takto by mělo dojít k volnému pohybu potrubí v rohu konstrukce.

### **Popis otopných těles**

Navržena jsou otopná desková tělesa RADIK VK s pravým dolním připojením a RADIK VKL s levým dolním připojením, na oba typy osazena rohová připojovací armatura HM. V koupelnách jsou navržena trubková otopná tělesa KORALUX LINEAR MAX s oboustranným připojením a osazená rohovou připojovací armaturou. Na každém tělese bude osazena termostatická hlavice s připojovacím závitem M 30 x 1,5 a odvzdušňovacím ventilem.

### **Plnění a vypouštění otopné soustavy**

Plnění otopné soustavy bude prováděno vodou z vodovodního řadu automatickým plnicím zařízením, které je součástí technické místnosti. K vypouštění slouží vypouštěcí ventily osazené podle schématu zapojení technické místnosti na všech zařízeních v technické místnosti. Vypuštěná voda bude odvedena do kanalizace podlahovou vpustí.

### **Oběhová čerpadla**

Navržena jsou oběhová čerpadla od firmy Grundfos.

- Č1 pro větev 1: Alpha2 25-50 180 50 Hz
- Č2 pro větev 2: Alpha1 L 25-40 180 50 Hz
- Č3 pro větev 3: Alpha1 L 25-60 180 50 Hz
- Č4 pro větev 4: Alpha1 L 25-40 180 50 Hz
- Č5 pro přípravu TV: Comfort 15-14 BXPM 50 Hz

## **Zabezpečovací expanzní zařízení**

Expanzní tlaková nádoba: Reflex NG 25/6

Pojistný ventil: Osazený výrobcem kotle s otevíracím přetlakem 3 bary

## **Odvod spalin**

Odvod spalin zajištěn koaxiálním kouřovodem o vnějším průměru 100 mm připojeným přímo na kotle. Pro každý kotel je uvažovaný samostatný kouřovod. Kouřovod má délku 2,2m a je vyveden jeden metr nad nejvyšší bod atiky.

## **Měření a regulace**

Otopná soustava bude řízena pomocí ekvitermické regulace. Systém regulace se skládá z řídicí jednotky a venkovního čidla, které nesmí být vystaveno přímému slunečnímu svitu. Ohřev teplé vody řízen pomocí čidla umístěného v zásobníku. Při poklesu teploty teplé vody se zapne oběhové čerpadlo.

### **3.1.7 Příprava teplé vody**

Pro přípravu teplé vody je navržen nepřímotopný akumulární zásobník Dražice OKC 1000 NTR/BP s objem 1 m<sup>3</sup>. Teplotní spád pro ohřev teplé vody je 70/50°C.

### **3.1.8 Požadavky na ostatní profese**

#### **Stavební práce**

Zřízení prostupů pro vedení rozvodů. V technické místnosti budou rozvody zavěšeny pod stropem ocelovými úchytkami. Zřízení otvoru pro ventilátor a otvoru pro odvod vzduchu dle výkresu v příloze P7.

#### **Plynoinstalace**

-zajistit přívod zemního plynu pro kotel

#### **Zdravotechnika**

-odvod kondenzátu od kotle do neutralizačního boxu

-přívod vody do blokové úpravy vody, akumulárního zásobníku a otopného systému

-zajištění cirkulace pro akumulární zásobník

#### **Vzduchotechnika**

-zřízení jednoho ventilátoru pro větrání technické místnosti v letním období

#### **Elektroinstalace**

-návrh připojení technologických zařízení v technické místnosti



### **3.1.9 Montáž a uvedení do provozu**

#### **Zdroj tepla**

Uvedení kotlů do provozu musí být v soulad s ČSN 060310. Je nutností, aby instalace a uvedení do provozu zdroje tepla prováděla kvalifikovaná osoba s osvědčením.

#### **Otopná soustava**

Uvedení otopné soustavy do provozu musí být v soulad s ČSN 060310. Je nutností, aby instalace a uvedení do provozu prováděla kvalifikovaná osoba s osvědčením.

### **3.1.10 Zkoušky zařízení**

#### **Zkouška těsnosti**

Zkouší se největší dovolený přetlak soustavy. Po naplnění soustavy vodou se odvzdušní a celé zařízení se zkontroluje. V napuštěném stavu musí soustava zůstat minimálně 6 hodin. V této době nesmí dojít k poklesu tlaku, který by signalizoval netěsnost systému.

#### **Dilatační zkouška**

Teplonosná látka se ohřeje na nejvyšší teplotu a poté se nechá zchladnout na teplotu okolního vzduchu. Tento proces se provádí dvakrát. Nesmí dojít k netěsnosti či jiné závadě.

#### **Topná zkouška**

Uskutečňuje se za účel zjištění funkce, nastavení a seřízení zařízení. Kontroluje se především funkce armatur, ohřívání otopných těles a dosažení technických předpokladů.

### **3.1.11 Obsluha a ovládání**

Zařízení je určeno pro občasnou obsluhu jednou osobou. Osoba obsluhující zařízení musí zkontrolovat funkce dílčích zařízení např. stav chemikálií v blokové úpravně vody. Obsluhující osoba musí být seznámena s bezpečnostními a provozními podmínkami a v obsluze zacvičena.

### **3.1.12 Ochrana životního prostředí**

#### **Vliv na životní prostředí**

Instalace zařízení nebude mít žádný vliv na životní prostředí.

#### **Hospodaření s odpady**

Instalace musí splňovat požadavky na hospodaření s odpady podle zákona 185/2001 Sb. o odpadech.

#### **Bezpečnost při realizaci díla**

Zhotovitel je povinný dbát na bezpečnost při realizaci podle zákona 262/2006 Sb. a vyhlášky č. 324/1990- bezpečnost práce a technických zařízení při stavebních pracích.

#### **Bezpečnost při provozu a užívání zařízení**

Je nutné dodržovat postupy uvedené v návodech k obsluze zařízení. Zaškolení a předání návodů pro obsluhu zařízení je povinností zhotovitele.

### **3.1.13 Použité normy a předpisy**

- Vyhláška č. 269/2015 Sb., o rozúčtování nákladů na vytápění a společnou přípravu teplé vody pro dům
- Vyhláška č. 193/2007 Sb., kterou se stanoví podrobnosti účinnosti užití energie při rozvodu tepelné energie a vnitřním rozvodu tepelné energie a chladu
- ČSN 73 0540-2/2011-Tepelná ochrana budov, 2011
- ČSN 06 0320- Tepelné soustavy v budovách- Příprava teplé vody, 2005
- ČSN 06 0830- Tepelné soustavy v budovách- Zabezpečovací zařízení, 2014

## **Závěr**

Cílem této bakalářské práce bylo navrhnout funkční topnou soustavu pro dřevostavbu bytového domu v Chocni.

Zdrojem tepla pro řešený objekt jsou dva závěsné plynové kondenzační kotle Therm 18 KD zapojené do kaskády. Nacházejí se v nástřešní technické místnosti stejně jako nepřímotopný akumulací zásobník s objemem 1 m<sup>3</sup>. Teplotní spád pro kotlový okruh je stejný jako pro ohřev teplé vody 70/50 °C.

Topná soustava je navržena jako uzavřená teplovodní, dvourubková protiproudá s horním rozvodem a nuceným oběhem vody. Dělí se na 4 větve pro otopná tělesa a jednu větev pro přípravu teplé vody. Potrubí zvoleno měděné izolované. Teplotní spád otopné vody 60/50 °C.

Projekt byl zpracovaný dle platných předpisů a norem s využitím podkladů jednotlivých výrobců.

## Seznam použitých norem

*Vyhláška č. 269/2015 Sb.: O rozúčtování náklad na vytápění a společnou přípravu teplé vody pro dům.* Praha: Ministerstvo pro místní rozvoj, 2015.

*Vyhláška č. 193/2007 Sb.: Kterou se stanoví podrobnosti účinností užití energie při rozvodu tepelné energie a vnitřním rozvodu tepelné energie a chladu.* Praha: Ministerstvo průmyslu a obchodu, 2007.

*ČSN 73 0540-2/2011: Tepelná ochrana budov.* Praha: Úřad pro technickou normalizaci, metrologii a státní zkušebnictví, 2011

*ČSN 06 0320: Tepelné soustavy v budovách- Příprava teplé vody.* Praha: Úřad pro technickou normalizaci, metrologii a státní zkušebnictví, 2005.

*ČSN 06 0830: Tepelné soustavy v budovách- Zabezpečovací zařízení.* Praha: Úřad pro technickou normalizaci, metrologii a státní zkušebnictví, 2014.

## Seznam použitých zdrojů

1. POČINKOVA, Marcela a Lea TREUOVA. Vytápění. 1., aktualiz. vyd. Computer Press, 2011. Stavíme. ISBN 9788025133293.
2. VAVŘÍČKA, R.; VRÁNA, J.; POSPÍCHAL, Z., Příprava teplé vody. Sešit projektanta - pracovní podklady, spec. publikace, ISBN 978-80-02-02713-3, Společnost pro techniku prostředí, Praha, 2017
3. Nejčastěji používané měřiče tepla v bytových domech [online], 2016 [cit. 18.5.2019]. Dostupné z: <http://www.panelplus.cz/cz/1442.nejcasteji-pouzivane-merice-tepla-v-bytovych-domech>
4. Katalog měřičů tepla [online], 2017 [cit. 18.5.2019]. Dostupné z: <https://www.enbra.cz/data/file/8/518-enbra-katalog-merice-tepla-2017.pdf>
5. Měření spotřeby tepla: Od termočlánků k mikroprocesorům [online], 2015 [cit. 18.5.2019]. Dostupné z: <https://www.asb-portal.cz/stavebnictvi/technicka-zarizeni-budov/vytapeni/mereni-spotreby-tepla-od-termoclanku-k-mikroprocesorum>
6. Technická informace [online], 2008 [cit. 18.5.2019]. Dostupné z: <http://web.quick.cz/qknizek/spolecen/Mertepla.pdf>
7. Rádiový odečet [online], 2018 [cit. 18.5.2019]. Dostupné z: <https://www.irtn.cz/odecet-radiovy.html>
8. Nový způsob rozúčtování ročních nákladů na vytápění a vodu [online], 2017 [cit. 19.5.2019]. Dostupné z: <https://www.asb-portal.cz/stavebnictvi/technicka-zarizeni-budov/energie/novy-zpusob-rozuctovani-rocnich-nakladu-na-vytapeni-a-vodu>
9. Pravidla rozúčtování tepla v České republice [online], 2017 [cit. 19.5.2019]. Dostupné z: <https://vytapeni.tzb-info.cz/16658-pravidla-rozuctovani-tepla-v-ceske-republice>
10. Víte, jak se provádí rozúčtování ročních nákladů na vytápění? [online], 2017 [cit. 19.5.2019]. Dostupné z: <https://www.tzb-info.cz/fm-sluzby/15760-vite-jak-se-provadi-rozuctovani-rocnich-nakladu-na-vytapeni>
11. Vše o denostupňové metodě pro rozdělení nákladů na teplo [online], 2015 [cit. 19.5.2019]. Dostupné z: <https://www.merenionline.cz/index.php/mereni-tepla/teplo-vse-o-denostupnove-metode>
12. Denostupňová metoda měření [online], 2016 [cit. 19.5.2019]. Dostupné z: <https://slideplayer.cz/slide/15609537/>
13. Teplo [online], 2016 [cit. 19.5.2019]. Dostupné z: <https://cs.wikipedia.org/wiki/Teplo>

14. Koralux linear max [online], 2019 [cit. 8.5.2019]. Dostupné z:  
<https://www.korado.cz/produkty/koralux/koralux-linear-max.html>
15. Radik VK [online], 2019 [cit. 8.5.2019]. Dostupné z:  
<https://www.korado.cz/produkty/radik/radik-vk.html>
16. Třícestné ventily ESBE VRG 131 [online], 2019 [cit. 8.5.2019]. Dostupné z:  
<https://www.esbe.cz/assets/Uploads/ESBE-katalog-2018.pdf>
17. Automatická úpravna vody ABUV 150-350 [online], 2019 [cit. 8.5.2019]. Dostupné z:  
<http://deto.cz/produkty/zarizeni-na-upravu-vody-zmekcovace-blokove-upravny/blokove-upravny/automaticka-upravna-vody-s-davkovaci-jednotkou-abuv-150---350>
18. Kombinovaný rozdělovač sběrač ETL [online], 2019 [cit. 8.5.2019]. Dostupné z:  
[https://www.etl.cz/prilohy/ETL\\_407\\_2012%2001.pdf](https://www.etl.cz/prilohy/ETL_407_2012%2001.pdf)
19. HVDT [online], 2019 [cit. 8.5.2019]. Dostupné z:  
[https://www.etl.cz/prilohy/ETL\\_511\\_2012%2001.pdf](https://www.etl.cz/prilohy/ETL_511_2012%2001.pdf)
20. Membránové expanzní nádoby [online], 2014 [cit. 8.5.2019]. Dostupné z:  
<http://www.reflexcz.cz/cz/expanzni-nadoby-a-automaty>
21. Nepřímotopný zásobník Dražice [online], 2019 [cit. 8.5.2019]. Dostupné z:  
<https://www.dzd.cz/ohrivace-a-zasobniky-teple-vody/nepriomotopne-zasobniky/stacionarni/okc-ntr-bp>
22. Kondenzační plynový kotel Thermona [online], 2017 [cit. 8.5.2019]. Dostupné z:  
<https://www.thermona.cz/plynove-kotle/plynove-kondenzacni-kotle/pouze-pro-topeni/therm-18-kd>
23. Vyvažovací ventili IMI STAD PN 25 [online], 2019 [cit. 8.5.2019]. Dostupné z:  
<https://www.imi-hydronic.com/sites/EN/cs-cz/Produkty/vyva%C5%BEOv%C3%A1n%C3%AD-regulace-a-pohony/vyva%C5%BEOvac%C3%AD-ventily/vyva%C5%BEOvac%C3%AD-ventily/STAD-C/d38894b5-c481-4c8c-b4b9-9c975b057171>
24. Čerpadlo oběhová Grundfos [online], 2019 [cit. 8.5.2019]. Dostupné z:  
<https://cz.grundfos.com/Produkty/find-product.html>
25. Tepelná izolace Mirelon PRO [online], 2019 [cit. 8.5.2019]. Dostupné z:  
<http://www.mirelon.com/cz/termoizolacni-trubice-mirelon-stabil-wp000283.html>
26. Trocha historie nikoho nezabije část 1. [online], 2014 [cit. 19.5.2019]. Dostupné z:  
<https://vytapani.tzb-info.cz/mereni-a-regulace/11298-trocha-historie-nikoho-nezabije-1-cast>

27. Měřiče tepla- snímače teploty oproti poměrovým indikátorům [online], 2016 [cit.19.5.2019]. Dostupné z: <https://maddeo-vodomery.cz/navody-vodomery-merice-tepla/merice-tepla-vysledky/>
28. Elektronické indikátory tepelných nákladů [online], 2012 [cit.19.5.2019]. Dostupné z: <http://objekt479.sweb.cz/stranky/indikatory.htm>
29. Ukázka rozúčtování RTN [online], 2016 [cit.19.5.2019]. Dostupné z: <https://www.genialnidum.cz/wp-content/uploads/2016/03/TherraEnergovy%C3%BA%C4%8Dtov%C3%A1n%C3%AD.jpg>
30. V exact II [online], 2019 [cit.19.5.2019]. Dostupné z: <https://www.imi-hydronic.com/sites/EN/cs-cz/Produkty/termostatick%C3%A1-regulace/termostatick%C3%A9-hlavice-a-ventily/termostatick%C3%A9-ventily/V-exact-II/bc80164f-a4a8-41b0-acc3-16c0edc2e8ac>
31. Regulux regulační šroubení [online], 2019 [cit.19.5.2019]. Dostupné z: <https://www.imi-hydronic.com/sites/EN/cs-cz/Produkty/termostatick%C3%A1-regulace/termostatick%C3%A9-hlavice-a-ventily/regula%C4%8Dn%C3%AD-%C5%A1rouben%C3%AD/Regulux/80a10528-d758-445f-adbd-5a0ee7a30fa2>

## Seznam použitých zkratk

M	[kg/s,kg/h]	hmotnostní průtok
Y	[J/kg]	měrná energie
Q	[kW]	tepelný tok
c	[J/kg.K]	měrná tepelná kapacita pracovní látky
$\Delta t$	[K]	rozdíl teplot přívodní a vratné teplotnosné látky
g	[m/s <sup>2</sup> ]	gravitační zrychlení
$\rho$	[kg/m <sup>3</sup> ]	hustota čerpané kapaliny
$\varsigma$	[kg/m <sup>3</sup> ]	hustota teplosměnné látky
l	[m]	délka úseku
R	[Pa/m]	měrná tlaková ztráta
$\lambda$	[-]	součinitel tření
w	[m/s]	rychlost proudění vody v potrubí
$\zeta$	[kg.m <sup>3</sup> ]	měrná hmotnost vody
d	[m]	průměr potrubí
Z	[Pa]	tlaková ztráta místními odpory
$\xi$	[-]	součinitel místního odporu
Q	[m <sup>3</sup> /s]	průtok
V	[m <sup>3</sup> /h]	obecný objemový průtok
V <sub>n</sub>	[m <sup>3</sup> /h]	výpočtový objemový průtok
U	[W/m <sup>2</sup> K]	součinitel prostupu tepla
d	[m]	tloušťka vrstvy konstrukce
$\lambda$	[W/mK]	součinitel tepelné vodivosti
R <sub>si</sub>	[m <sup>2</sup> K/W]	odpor při přestupu tepla na vnitřní straně konstrukce
R	[m <sup>2</sup> K/W]	odpor konstrukce
R <sub>se</sub>	[m <sup>2</sup> K/W]	odpor při přestupu tepla na vnější straně konstrukce
R <sub>T</sub>	[m <sup>2</sup> K/W]	tepelný odpor celé konstrukce
U <sub>w</sub>	[W/m <sup>2</sup> K]	součinitel prostupu okna
HT	[W/K]	měrná ztráta prostupem
HV	[W/K]	měrná ztráta větráním



$n$	[-]	výměna vzduchu
$V_i$	[m <sup>3</sup> ]	objem místnosti
$\theta_e$ (te)	[°C]	výpočtová venkovní teplota
$\theta_i$ (ti)	[°C]	výpočtová vnitřní teplota
$A$	[m <sup>2</sup> ]	obecná plocha
$v$	[m/s]	rychlost proudění vzduchu
$Q$	[W]	tepelná ztráta místnosti
$DN$	[mm]	jmenovitá světlost potrubí
$Z$	[Pa]	tlaková ztráta místními odpory
$\Delta p_{RV}$	[Pa]	tlaková ztráta ventilu
$\Delta p_{DIS}$	[Pa]	tlaková ztráta potrubí
$\alpha$	[mm/mK]	součinitel teplotní roztažnosti materiálu 219
$\Delta t$	[°C]	rozdíl teplot
$H$	[m]	dopravní výška
$kvs$	[m <sup>3</sup> /s]	průtokový součinitel ventilu
$p_v$	[-]	autorita ventilu
$h_{MR}$	[m]	výška manometrické roviny
$p_d$	[kPa]	nejnižší dovolený provozní přetlak
$p_{hp}$	[kPa]	nejvyšší dovolený přetlak soustavy
$d_p$	[mm]	průměr expanzního (pojistného) potrubí
$d_i$	[mm]	ideální průměr sedla pojistného ventilu
$d_o$	[mm]	průměr sedla pojistného ventilu
$S_O$	[mm]	průřez sedla pojistného ventilu
$E$	[MWh/r]	spotřeba energie za rok
$H$	[MJ/m <sup>3</sup> ]	výhřevnost
$D$	[-]	denostupně
$d$	[dny]	počet dní topného období
$S_{ni}$	[Kč]	spotřební složka nákladů připadajících na konkrétní byt
$X$	[-]	násobek navýšení
$S_c$	[Kč]	celková spotřební složka nákladů za zúčtovací jednotku
$P_{ni}$	[m <sup>2</sup> ]	celková plocha konkrétního bytu

Pc	[m2]	celková plocha v zúčtovací jednotce
Pn	[m2]	součet Pni
pv100	[Pa]	požadovaná ztráta ventilu
p'v	[Pa]	poměrná autorita ventilu

## Seznam obrázků

Obrázek 1: Prostupy tepla bytu s uzavřenými otopnými tělesy: Q1 a Q2 tepelné zisky ze sousedních bytů, QZ tepelné ztráty

Obrázek 2: *Indikátor CALDIV [26]*

Obrázek 3: *Kapilární deprese [26]*

Obrázek 4: *Krátká a dlouhá verze přístroje THERMON [26]*

Obrázek 5: *Indikátor TECHEM EHKV 90 [26]*

Obrázek 6: *Dvoučidlový indikátor Siemens WHE30Z [28]*

Obrázek 7: *Snímač vnitřní teploty místnosti [27]*

Obrázek 8: *Průtokový měřič SHARKY [4]*

Obrázek 9: *Vizuální odečet dat [4]*

Obrázek 10: *odečítání dat Walk-by [4]*

Obrázek 11: *Odečítání dat Drive-By [4]*

Obrázek 12: *Odečet pomocí AMR [4]*

Obrázek 13: *Odečet pomocí IoT operátora [4]*

Obrázek 14: *Ukázka rozúčtování nákladů pro RTN [29]*

Obrázek 15: *Ukázka rozúčtování nákladů pro denostupňovou metodu [12]*

Obrázek 16: *technické údaje nepřímotopného zásobníku teplé vody [21]*

Obrázek 17: *Technické údaje kotle Therm 18 KD [22]*

Obrázek 18: *Diagram termostatického ventilu trubkového otopného tělesa [30]*

Obrázek 19: *Diagram uzavíracího šroubení trubkového otopného tělesa [31]*

Obrázek 20: *Kv hodnoty pro stupně přednastavení vyvažovacího ventilu [23]*

Obrázek 21: *Tabulka pro návrh rozdělovače sběrače [18]*

Obrázek 22: *Tabulka pro návrh HVDT [19]*

Obrázek 23: *Schéma zapojení automatická blokové úpravny vody [17]*

Obrázek 24: *Maximální délky odtahu spalin pro zvolený kotel [22]*

## Seznam příloh

P1	Půdorys 1. NP- M 1:10h
P2	Půdorys 2. NP- M 1:100
P3	Půdorys 3. NP- M 1:100
P4	Schéma zapojení otopných těles pro byty 1, 2- M 1:100
P5	Schéma zapojení otopných těles pro byty 3, 4- M1:100
P6	Schéma zapojení technické místnosti- M 1:25
P7	Půdorys technické místnosti- M 1:25
P8	Výpočty tepelných ztrát jednotlivých místností
P9	Výpočty jednotlivých dimenzí a tlakových ztrát
P10	Otopná tělesa- Radik VK, Radik VKL, Koralux linear MAX
P11	Technický list kondenzačního kotle Therm 18 KD
P12	Technický list nepřímotopného akumulčního zásobníku Dražice OKC 1000 ntr/bp
P13	Technické listy regulačních šroubení, HM armatur a termostatických ventilů
P14	Technické listy oběhových čerpadel Grundfos
P15	Technický list třícestných směšovacích ventilů ESBE VRG 131
P16	Technický list vyvažovacího ventilu IMI STAD
P17	Technický list expanzní nádoby Reflex NG25/6
P18	Technický list ETL kombinovaný rozdělovač sběrač modul 150
P19	Technický list ETL HVDT typ 24B
P20	Technický list automatické blokované úpravny vody ABUV 150
P21	Technický list indikátoru tepelných nákladů Qundis caloric 5.5
P22	Technický list návlekové izolace Mirelon PRO
P23	Technický list elektrického otopného tělesa E-Blitz 500
P24	Technický list ventilátoru technické místnosti

# **Příloha bakalářské práce č.8**

Výpočet tepelných ztrát pro jednotlivé místnosti

V Brně dne 22.5.2019

Vypracoval: Marek Rušín

1.1.1.	Chodba		Výpočtová vnitřní teplota				Výpočtová venkovní teplota	
			15 °C				-15 °C	
Tepelné ztráty přímo do venkovního prostředí								
Ozn.	Popis	A <sub>k</sub>	U <sub>k</sub>	ΔU	U <sub>kc</sub>	e <sub>k</sub>	A <sub>k</sub> * U <sub>kc</sub> * e <sub>k</sub>	
SO1	stěna nosná S	9,77	0,172	0,02	0,192	1,00	1,88	
SO2	stěna nosná V	2,39	0,172	0,02	0,192	1,00	0,46	
DO	Dveře vstupní	1,80	1,200	0,00	1,200	1,00	2,16	
OZ	okno	1,26	0,700	0,00	0,700	1,00	0,88	
Celková měrná tepelná ztráta přímo do venkovního prostředí HT,ie = Σ <sub>k</sub> A <sub>k</sub> * U <sub>kc</sub> * e <sub>k</sub> (W/K)							5,38	
Tepelné ztráty z/do prostorů vytápěných na rozdílné teploty								
Ozn.	Popis	A <sub>k</sub>	U <sub>k</sub>	f <sub>ij</sub>	A <sub>k</sub> * U <sub>k</sub> * f <sub>ij</sub>			
SN1	stěna k m.č. 1.1.4	4,19	0,495	-0,167	-0,35			
SN2	stěna k m.č. 1.1.2	2,65	0,495	-0,167	-0,22			
SN3	stěna k m.č. 1.1.3	6,33	0,495	-0,3	-0,94			
DN	dveře k m. č. 1.1.2	1,77	2,000	-0,167	-0,59			
Celková měrná tepelná ztráta z/do prostorů rozdílných teplot H <sub>t,ij</sub> =Σ <sub>k</sub> A <sub>k</sub> * U <sub>k</sub> * f <sub>ij</sub> (W/K)							-2,10	
Tepelné ztráty nevytápěným prostorem								
Ozn.	Popis	A <sub>k</sub>	U <sub>k</sub>	ΔU	U <sub>kc</sub>	b <sub>u</sub>	A <sub>k</sub> * U <sub>kc</sub> * e <sub>k</sub>	
Celková měrná tepelná ztráta přes nevytápěný prostor H <sub>T,iue</sub> = Σ <sub>k</sub> A <sub>k</sub> * U <sub>kc</sub> * b <sub>u</sub> (W/K)							0,00	
Tepelné ztráty zeminou								
Ozn.	Popis	A <sub>k</sub>	U <sub>equiv,bf</sub>	A <sub>k</sub> * U <sub>equiv,bf</sub>	f <sub>g1</sub>	f <sub>g2</sub>	G <sub>w</sub>	f <sub>g1</sub> * f <sub>g2</sub> * G <sub>w</sub>
PD	podlaha na zemině	5,93	0,17	1,0081	1,45	0,5	1	0,725
Celková měrná tepelná ztráta zeminou H <sub>T,lg</sub> = (Σ <sub>k</sub> A <sub>k</sub> * U <sub>equiv,bf</sub> ) * f <sub>g1</sub> * f <sub>g2</sub> * G <sub>w</sub> (W/K)							0,73	
Celková měrná tepelná ztráta prostupem H <sub>T,i</sub> = H <sub>T,ie</sub> + H <sub>T,iue</sub> + H <sub>T,ij</sub> + H <sub>T,lg</sub>							4,01	
Θ <sub>int,i</sub>	Θ <sub>e</sub>	Θ <sub>int,i</sub> -Θ <sub>e</sub>	H <sub>t,i</sub>	Návrhová ztráta prostupem Φ <sub>vi</sub> (W)				
15,0	-15,0	30,0	4,01	120,33				

P=54,16m

A=163,44m<sup>2</sup>

B=6

Objem místnosti V <sub>i</sub>	Výpočtová venkovní teplota $\Theta_e$	Výpočtová vnitřní teplota $\Theta_{int,i}$	Hygienické požadavky	
			n (h <sup>-1</sup> )	V <sub>min,i</sub> (m <sup>3</sup> /h)
16,55	-15	15	0,5	8,275
Počet nechráněných otvorů	n50	Činitel zaclonění e	Výškový korekční činitel $\epsilon$	Množství vzduchu infiltrací V <sub>inf,i</sub> (m <sup>3</sup> /h)
1	1	0,03	1	0,993
Výpočet tepelné ztráty větráním				
max. z V <sub>min,i</sub> , V <sub>inf,i</sub>		H <sub>v,i</sub>	$\Theta_{int,i} - \Theta_e$	Návrhová tepelná ztráta větráním $\Phi_{V,i}$ (W)
8,275		2,8135	30	84,41
CELKOVÝ NÁVRHOVÝ TEPLENÝ VÝKON :			204,73	

1.1.2.	Chodba vnitřní			Výpočtová vnitřní teplota			Výpočtová venkovní teplota		
				20 °C			-15 °C		
Tepelné ztráty přímo do venkovního prostředí									
Ozn.	Popis	A <sub>k</sub>	U <sub>k</sub>	ΔU	U <sub>kc</sub>	e <sub>k</sub>	A <sub>k</sub> * U <sub>kc</sub> * e <sub>k</sub>		
Celková měrná tepelná ztráta přímo do venkovního prostředí HT,ie = Σ <sub>k</sub> A <sub>k</sub> * U <sub>kc</sub> * e <sub>k</sub> (W/K)							0,00		
Tepelné ztráty z/do prostorů vytápěných na rozdílné teploty									
Ozn.	Popis	A <sub>k</sub>	U <sub>k</sub>		f <sub>ij</sub>		A <sub>k</sub> * U <sub>k</sub> * f <sub>ij</sub>		
SN	stěna k m.č. 1.1.1	2,65	0,495		0,143		0,19		
SN	stěna k m.č. 1.1.3	6,61	0,495		-0,114		-0,37		
DN	dveře k m. č. 1.1.1	1,77	2,000		0,143		0,51		
DN	dveře k m. č. 1.1.3	1,77	2,000		-0,114		-0,40		
Celková měrná tepelná ztráta z/do prostorů rozdílných teplot H <sub>T,ij</sub> = Σ <sub>k</sub> A <sub>k</sub> * U <sub>k</sub> * f <sub>ij</sub> (W/K)							-0,09		
Tepelné ztráty nevytápěným prostorem									
Ozn.	Popis	A <sub>k</sub>	U <sub>k</sub>	ΔU	U <sub>kc</sub>	b <sub>u</sub>	A <sub>k</sub> * U <sub>kc</sub> * e <sub>k</sub>		
Celková měrná tepelná ztráta přes nevytápěný prostor H <sub>T,lue</sub> = Σ <sub>k</sub> A <sub>k</sub> * U <sub>kc</sub> * b <sub>u</sub> (W/K)							0,00		
Tepelné ztráty zeminou									
Ozn.	Popis	A <sub>k</sub>	U <sub>equiv,bf</sub>	A <sub>k</sub> * U <sub>equiv,bf</sub>		f <sub>g1</sub>	f <sub>g2</sub>	G <sub>w</sub>	f <sub>g1</sub> * f <sub>g2</sub> * G <sub>w</sub>
PD	podlaha na zemině	4,75	0,17	0,81		1,45	0,5	1	0,725
Celková měrná tepelná ztráta zeminou H <sub>T,ig</sub> = (Σ <sub>k</sub> A <sub>k</sub> * U <sub>equiv,bf</sub> ) * f <sub>g1</sub> * f <sub>g2</sub> * G <sub>w</sub> (W/K)							0,59		
Celková měrná tepelná ztráta prostupem H <sub>T,i</sub> = H <sub>T,ie</sub> + H <sub>T,lue</sub> + H <sub>T,ij</sub> + H <sub>T,ig</sub>							0,50		
Θ <sub>int,i</sub>	Θ <sub>e</sub>	Θ <sub>int,i</sub> - Θ <sub>e</sub>		H <sub>t,i</sub>		Návrhová ztráta prostupem Φ <sub>ti</sub> (W)			
20,0	-15,0	35,0		0,50		17,50			

20

-15

15

24

15

24

P=54,16m

A=163,44m<sup>2</sup>

B=6

Objem místnosti $V_i$	Výpočtová venkovní teplota $\theta_e$	Výpočtová vnitřní teplota $\theta_{int,i}$	Hygienické požadavky	
			$n$ (h <sup>-1</sup> )	$V_{min,i}$ (m <sup>3</sup> /h)
0	-15	20	0	0
Počet nechráněných otvorů	$n_{50}$	Činitel zaclonění $e$	Výškový korekční činitel $\epsilon$	Množství vzduchu infiltrací $V_{inf,i}$ (m <sup>3</sup> /h)
0	0	0	0	0
Výpočet tepelné ztráty větráním				
max. z $V_{min,i}$ , $V_{inf,i}$		$H_{v,i}$	$\theta_{int,i} - \theta_e$	Návrhová tepelná ztráta větráním $\Phi_{V,i}$ (W)
0		0	0	0,00

<b>CELKOVÝ NÁVRHOVÝ TEPLENÝ VÝKON :</b>	<b>17,50</b>
---	--------------

1.1.3.	Koupelna			Výpočtová vnitřní teplota			Výpočtová venkovní teplota		
				24 °C			-15 °C		
Tepelné ztráty přímo do venkovního prostředí									
Ozn.	Popis	A <sub>k</sub>	U <sub>k</sub>	ΔU	U <sub>kc</sub>	e <sub>k</sub>	A <sub>k</sub> * U <sub>kc</sub> * e <sub>k</sub>		
Celková měrná tepelná ztráta přímo do venkovního prostředí HT,ie = Σk A <sub>k</sub> * U <sub>kc</sub> * e <sub>k</sub> (W/K)							0,00		
Tepelné ztráty z/do prostorů vytápěných na rozdílné teploty									
Ozn.	Popis	A <sub>k</sub>	U <sub>k</sub>	f <sub>ij</sub>	A <sub>k</sub> * U <sub>k</sub> * f <sub>ij</sub>				
SN	stěna k m.č. 1.2.4	6,61	0,205	0,103	0,14				
SN	stěna k m.č. 1.1.1	6,33	0,495	0,231	0,72				
SN	stěna k m.č. 1.1.2	6,61	0,495	0,103	0,34				
SN	stěna k m.č. 1.1.5	6,33	0,382	0,103	0,25				
DN	dveře k m. č. 1.1.2	1,77	2,000	0,103	0,36				
Celková měrná tepelná ztráta z/do prostorů rozdílných teplot H <sub>T,ij</sub> = Σk A <sub>k</sub> * U <sub>k</sub> * f <sub>ij</sub> (W/K)							1,81		
Tepelné ztráty nevytápěným prostorem									
Ozn.	Popis	A <sub>k</sub>	U <sub>k</sub>	ΔU	U <sub>kc</sub>	b <sub>u</sub>	A <sub>k</sub> * U <sub>kc</sub> * e <sub>k</sub>		
Celková měrná tepelná ztráta přes nevytápěný prostor H <sub>T,iue</sub> = Σk A <sub>k</sub> * U <sub>kc</sub> * b <sub>u</sub> (W/K)							0,00		
Tepelné ztráty zeminou									
Ozn.	Popis	A <sub>k</sub>	U <sub>equiv,bf</sub>	A <sub>k</sub> * U <sub>equiv,bf</sub>	f <sub>g1</sub>	f <sub>g2</sub>	G <sub>w</sub>	f <sub>g1</sub> * f <sub>g2</sub> * G <sub>w</sub>	
PD	podlaha na zemině	6,8	0,17	1,16	1,45	0,5	1	0,725	
Celková měrná tepelná ztráta zeminou H <sub>T,ig</sub> = (Σk A <sub>k</sub> * U <sub>equiv,bf</sub> ) * f <sub>g1</sub> * f <sub>g2</sub> * G <sub>w</sub> (W/K)							0,84		
Celková měrná tepelná ztráta prostupem H <sub>T,i</sub> = H <sub>T,ie</sub> + H <sub>T,iue</sub> + H <sub>T,ij</sub> + H <sub>T,ig</sub>							2,65		
Θ <sub>int,i</sub>	Θ <sub>e</sub>	Θ <sub>int,i</sub> - Θ <sub>e</sub>	H <sub>t,i</sub>	Návrhová ztráta prostupem Φ <sub>t,i</sub> (W)					
24,0	-15,0	39,0	2,65	103,23					

24

-15

20

15

20

20

20

P=54,16m

A=163,44m<sup>2</sup>

B=6

Objem místnosti $V_i$	Výpočtová venkovní teplota $\Theta_e$	Výpočtová vnitřní teplota $\Theta_{int,i}$	Hygienické požadavky	
			$n$ (h <sup>-1</sup> )	$V_{min,i}$ (m <sup>3</sup> /h)
0	-15	24	0	0
Počet nechráněných otvorů	$n_{50}$	Činitel zaclonění $e$	Výškový korekční činitel $\epsilon$	Množství vzduchu infiltrací $V_{inf,i}$ (m <sup>3</sup> /h)
0	0	0	0	0
Výpočet tepelné ztráty větráním				
max. z $V_{min,i}$ , $V_{inf,i}$		$H_{v,i}$	$\Theta_{int,i} - \Theta_e$	Návrhová tepelná ztráta větráním $\Phi_{V,i}$ (W)
0		0	0	0,00

CELKOVÝ NÁVRHOVÝ TEPLENÝ VÝKON :	103,23
----------------------------------	--------



1.1.4.	Ložnice		Výpočtová vnitřní teplota				Výpočtová venkovní teplota	
			20 °C				-15 °C	
Tepelné ztráty přímo do venkovního prostředí								
Ozn.	Popis	A <sub>k</sub>	U <sub>k</sub>	ΔU	U <sub>kc</sub>	e <sub>k</sub>	A <sub>k</sub> * U <sub>kc</sub> * e <sub>k</sub>	
SO	stěna nosná S	9,77	0,172	0,02	0,192	1,00	1,88	
SO	stěna nosná Z	2,39	0,172	0,02	0,192	1,00	0,46	
OZ	okno	0,72	0,700	0,00	0,700	1,00	0,50	
OZ	okno	0,78	0,700	0,00	0,700	1,00	0,55	
Celková měrná tepelná ztráta přímo do venkovního prostředí HT,ie = Σk Ak * Ukc * ek (W/K)							3,38	
Tepelné ztráty z/do prostorů vytápěných na rozdílné teploty								
Ozn.	Popis	A <sub>k</sub>	U <sub>k</sub>	f <sub>ij</sub>		A <sub>k</sub> * U <sub>k</sub> * f <sub>ij</sub>		
SN1	stěna k m.č. 1.1.1	4,19	0,495	0,143		0,30		
Celková měrná tepelná ztráta z/do prostorů rozdílných teplot Ht,ij =Σk Ak * U <sub>k</sub> * f <sub>ij</sub> (W/K)							0,30	
Tepelné ztráty nevytápěným prostorem								
Ozn.	Popis	A <sub>k</sub>	U <sub>k</sub>	ΔU	U <sub>kc</sub>	b <sub>u</sub>	A <sub>k</sub> * U <sub>kc</sub> * ek	
Celková měrná tepelná ztráta přes nevytápěný prostor HT,iue = Σk Ak * Ukc * bu (W/K)							0,00	
Tepelné ztráty zeminou								
Ozn.	Popis	A <sub>k</sub>	U <sub>equiv,bf</sub>	A <sub>k</sub> * U <sub>equiv,bf</sub>	f <sub>g1</sub>	f <sub>g2</sub>	G <sub>w</sub>	f <sub>g1</sub> * f <sub>g2</sub> * G <sub>w</sub>
PD	podlaha na zemině	13,41	0,17	2,2797	1,45	0,5	1	0,725
Celková měrná tepelná ztráta zeminou HT,ig = (Σk Ak * U <sub>equiv,bf</sub> ) * f <sub>g1</sub> * f <sub>g2</sub> * G <sub>w</sub> (W/K)							1,65	
Celková měrná tepelná ztráta prostupem HT,i = HT,ie + HT,iue + HT,ij + HT,ig							5,33	
Θ <sub>int,i</sub>	Θ <sub>e</sub>	Θ <sub>int,i</sub> -Θ <sub>e</sub>	H <sub>t,i</sub>	Návrhová ztráta prostupem Φ <sub>ti</sub> (W)				
20,0	-15,0	35,0	5,33	186,68				

20

-15

15

P=54,16m

A=163,44m<sup>2</sup>

B=6

Objem místnosti $V_i$	Výpočtová venkovní teplota $\Theta_e$	Výpočtová vnitřní teplota $\Theta_{int,i}$	Hygienické požadavky	
			$n$ (h <sup>-1</sup> )	$V_{min,i}$ (m <sup>3</sup> /h)
37,44	-15	20	0,5	18,72
Počet nechráněných otvorů	$n_{50}$	Činitel zaclonění $e$	Výškový korekční činitel $\epsilon$	Množství vzduchu infiltrací $V_{inf,i}$ (m <sup>3</sup> /h)
2	1	0,03	1	4,4928
Výpočet tepelné ztráty větráním				
max. z $V_{min,i}$ , $V_{inf,i}$		$H_{v,i}$	$\Theta_{int,i} - \Theta_e$	Návrhová tepelná ztráta větráním $\Phi_{V,i}$ (W)
18,72		6,36	35	222,77

CELKOVÝ NÁVRHOVÝ TEPLENÝ VÝKON :	409,45
----------------------------------	--------

1.1.5.	Pokoj +kk		Výpočtová vnitřní teplota				Výpočtová venkovní teplota	
			20 °C				-15 °C	
Tepelné ztráty přímo do venkovního prostředí								
Ozn.	Popis	A <sub>k</sub>	U <sub>k</sub>	ΔU	U <sub>kc</sub>	e <sub>k</sub>	A <sub>k</sub> * U <sub>kc</sub> * e <sub>k</sub>	
SO	stěna nosná J	11,43	0,172	0,02	0,192	1,00	2,19	
SO	stěna nosná Z	12,10	0,172	0,02	0,192	1,00	2,32	
OZ	okno Z	1,26	0,700	0,00	0,700	1,00	0,88	
OZ	okno J	3,20	0,700	0,00	0,700	1,00	2,24	
OZ	okno J	4,83	0,700	0,00	0,700	1,00	3,38	
Celková měrná tepelná ztráta přímo do venkovního prostředí HT,ie = Σ <sub>k</sub> A <sub>k</sub> * U <sub>kc</sub> * e <sub>k</sub> (W/K)							11,02	
Tepelné ztráty z/do prostorů vytápěných na rozdílné teploty								
Ozn.	Popis	A <sub>k</sub>	U <sub>k</sub>	f <sub>ij</sub>		A <sub>k</sub> * U <sub>k</sub> * f <sub>ij</sub>		
SN	stěna k m.č. 1.1.3	6,33	0,382	-0,114		-0,28		
Celková měrná tepelná ztráta z/do prostorů rozdílných teplot H <sub>t,ij</sub> = Σ <sub>k</sub> A <sub>k</sub> * U <sub>k</sub> * f <sub>ij</sub> (W/K)							-0,28	
Tepelné ztráty nevytápěným prostorem								
Ozn.	Popis	A <sub>k</sub>	U <sub>k</sub>	ΔU	U <sub>kc</sub>	b <sub>u</sub>	A <sub>k</sub> * U <sub>kc</sub> * ek	
Celková měrná tepelná ztráta přes nevytápěný prostor H <sub>T,iue</sub> = Σ <sub>k</sub> A <sub>k</sub> * U <sub>kc</sub> * b <sub>u</sub> (W/K)							0,00	
Tepelné ztráty zeminou								
Ozn.	Popis	A <sub>k</sub>	U <sub>equiv,bf</sub>	A <sub>k</sub> * U <sub>equiv,bf</sub>	f <sub>g1</sub>	f <sub>g2</sub>	G <sub>w</sub>	f <sub>g1</sub> * f <sub>g2</sub> * G <sub>w</sub>
PD	podlaha na zemině	33,33	0,17	5,6661	1,45	0,5	1	0,725
Celková měrná tepelná ztráta zeminou H <sub>T,ig</sub> = (Σ <sub>k</sub> A <sub>k</sub> * U <sub>equiv,bf</sub> ) * f <sub>g1</sub> * f <sub>g2</sub> * G <sub>w</sub> (W/K)							4,11	
Celková měrná tepelná ztráta prostupem H <sub>T,i</sub> = H <sub>T,ie</sub> + H <sub>T,iue</sub> + H <sub>T,ij</sub> + H <sub>T,ig</sub>							14,85	
Θ <sub>int,i</sub>	Θ <sub>e</sub>	Θ <sub>int,i</sub> - Θ <sub>e</sub>	H <sub>t,i</sub>	Návrhová ztráta prostupem Φ <sub>ti</sub> (W)				
20,0	-15,0	35,0	14,85	519,83				

20  
-15

24

P=54,16m  
A=163,44m<sup>2</sup>  
B=6

Objem místnosti V <sub>i</sub>	Výpočtová venkovní teplota $\Theta_e$	Výpočtová vnitřní teplota $\Theta_{int,i}$	Hygienické požadavky	
			n (h <sup>-1</sup> )	V <sub>min,i</sub> (m <sup>3</sup> /h)
93,09	-15	20	0,5	46,545
Počet nechráněných otvorů	n <sub>50</sub>	Činitel zaclonění e	Výškový korekční činitel $\epsilon$	Množství vzduchu infiltrací V <sub>inf,i</sub> (m <sup>3</sup> /h)
2	1	0,05	1	18,618
Výpočet tepelné ztráty větráním				
max. z V <sub>min,i</sub> , V <sub>inf,i</sub>		H <sub>v,i</sub>	$\Theta_{int,i} - \Theta_e$	Návrhová tepelná ztráta větráním $\Phi_{V,i}$ (W)
46,545		15,83	35	553,89
CELKOVÝ NÁVRHOVÝ TEPLENÝ VÝKON :			1 073,72	

1.2.1.	Chodba		Výpočtová vnitřní teplota				Výpočtová venkovní teplota		
			20 °C				-15 °C		
Tepelné ztráty přímo do venkovního prostředí									
Ozn.	Popis	A <sub>k</sub>	U <sub>k</sub>	ΔU	U <sub>kc</sub>	e <sub>k</sub>	A <sub>k</sub> * U <sub>kc</sub> * e <sub>k</sub>		
SO	stěna nosná S	6,72	0,172	0,02	0,192	1,00	1,29		
DO	dveře vstupní	1,80	1,200	0,00	1,200	1,00	2,16		
Celková měrná tepelná ztráta přímo do venkovního prostředí HT,ie = Σ A <sub>k</sub> * U <sub>kc</sub> * e <sub>k</sub> (W/K)							3,45		
Tepelné ztráty z/do prostorů vytápěných na rozdílné teploty									
Ozn.	Popis	A <sub>k</sub>	U <sub>k</sub>		f <sub>ij</sub>		A <sub>k</sub> * U <sub>k</sub> * f <sub>ij</sub>		
SN	stěna k m.č. 1.2.2	3,84	0,495		-0,114		-0,22		
DN	stěna k m.č. 1.2.2	1,38	2,000		-0,114		-0,32		
Celková měrná tepelná ztráta z/do prostorů rozdílných teplot H <sub>t,ij</sub> = Σ A <sub>k</sub> * U <sub>k</sub> * f <sub>ij</sub> (W/K)							-0,53		
Tepelné ztráty nevytápěným prostorem									
Ozn.	Popis	A <sub>k</sub>	U <sub>k</sub>	ΔU	U <sub>kc</sub>	b <sub>u</sub>	A <sub>k</sub> * U <sub>kc</sub> * e <sub>k</sub>		
Celková měrná tepelná ztráta přes nevytápěný prostor H <sub>T,lue</sub> = Σ A <sub>k</sub> * U <sub>kc</sub> * b <sub>u</sub> (W/K)							0,00		
Tepelné ztráty zeminou									
Ozn.	Popis	A <sub>k</sub>	U <sub>equiv,bf</sub>	A <sub>k</sub> * U <sub>equiv,bf</sub>		f <sub>g1</sub>	f <sub>g2</sub>	G <sub>w</sub>	f <sub>g1</sub> * f <sub>g2</sub> * G <sub>w</sub>
PD	podlaha na zemině	9,44	0,17	1,60		1,45	0,5	1	0,725
Celková měrná tepelná ztráta zeminou H <sub>T,ig</sub> = (Σ A <sub>k</sub> * U <sub>equiv,bf</sub> ) * f <sub>g1</sub> * f <sub>g2</sub> * G <sub>w</sub> (W/K)							1,16		
Celková měrná tepelná ztráta prostupem H <sub>T,i</sub> = H <sub>T,ie</sub> + H <sub>T,lue</sub> + H <sub>T,ij</sub> + H <sub>T,ig</sub>							4,08		
Θ <sub>int,i</sub>	Θ <sub>e</sub>	Θ <sub>int,i</sub> - Θ <sub>e</sub>		H <sub>t,i</sub>		Návrhová ztráta prostupem Φ <sub>ti</sub> (W)			
20,0	-15,0	35,0		4,08		142,84			

20

-15

24

24

P=54,16m

A=163,44m<sup>2</sup>

B=6

Objem místnosti $V_i$	Výpočtová venkovní teplota $\theta_e$	Výpočtová vnitřní teplota $\theta_{int,i}$	Hygienické požadavky	
			$n$ (h <sup>-1</sup> )	$V_{min,i}$ (m <sup>3</sup> /h)
0	-15	20	0,5	0
Počet nechráněných otvorů	$n_{50}$	Činitel zaclonění $e$	Výškový korekční činitel $\epsilon$	Množství vzduchu infiltrací $V_{inf,i}$ (m <sup>3</sup> /h)
0	0	0	0	0
Výpočet tepelné ztráty větráním				
max. z $V_{min,i}$ , $V_{inf,i}$		$H_{v,i}$	$\theta_{int,i} - \theta_e$	Návrhová tepelná ztráta větráním $\Phi_{V,i}$ (W)
0		0,00	35	<b>0,00</b>

<b>CELKOVÝ NÁVRHOVÝ TEPLENÝ VÝKON :</b>	<b>142,84</b>
---	---------------

1.2.2.	Koupelna				Výpočtová vnitřní teplota		Výpočtová venkovní teplota	
					24 °C		-15 °C	
Tepelné ztráty přímo do venkovního prostředí								
Ozn.	Popis	A <sub>k</sub>	U <sub>k</sub>	ΔU	U <sub>kc</sub>	e <sub>k</sub>	A <sub>k</sub> * U <sub>kc</sub> * e <sub>k</sub>	
SO	stěna nosná S	5,88	0,172	0,02	0,192	1,00	1,13	
SO	stěna nosná Z	5,78	0,172	0,02	0,192	1,00	1,11	
OZ	okno	0,78	0,700	0,00	0,700	1,00	0,55	
Celková měrná tepelná ztráta přímo do venkovního prostředí HT,ie = Σ <sub>k</sub> A <sub>k</sub> * U <sub>kc</sub> * e <sub>k</sub> (W/K)							2,78	
Tepelné ztráty z/do prostorů vytápěných na rozdílné teploty								
Ozn.	Popis	A <sub>k</sub>	U <sub>k</sub>	f <sub>ij</sub>		A <sub>k</sub> * U <sub>k</sub> * f <sub>ij</sub>		
SN	stěna k m.č. 1.2.1	3,84	0,495		0,103		0,19	
SN	stěna k m.č. 1.2.3	6,66	0,495		0,103		0,34	
DN	dveře k m. č. 1.2.1	1,38	2,000		0,103		0,28	
Celková měrná tepelná ztráta z/do prostorů rozdílných teplot H <sub>t,ij</sub> = Σ <sub>k</sub> A <sub>k</sub> * U <sub>k</sub> * f <sub>ij</sub> (W/K)							0,82	
Tepelné ztráty nevytápěným prostorem								
Ozn.	Popis	A <sub>k</sub>	U <sub>k</sub>	ΔU	U <sub>kc</sub>	b <sub>u</sub>	A <sub>k</sub> * U <sub>kc</sub> * ek	
Celková měrná tepelná ztráta přes nevytápěný prostor H <sub>T,iue</sub> = Σ <sub>k</sub> A <sub>k</sub> * U <sub>kc</sub> * b <sub>u</sub> (W/K)							0,00	
Tepelné ztráty zeminou								
Ozn.	Popis	A <sub>k</sub>	U <sub>equiv,bf</sub>	A <sub>k</sub> * U <sub>equiv,bf</sub>	f <sub>g1</sub>	f <sub>g2</sub>	G <sub>w</sub>	f <sub>g1</sub> * f <sub>g2</sub> * G <sub>w</sub>
PD	podlaha na zemině	4,63	0,17	0,7871	1,45	0,5	1	0,725
Celková měrná tepelná ztráta zeminou H <sub>T,ig</sub> = (Σ <sub>k</sub> A <sub>k</sub> * U <sub>equiv,bf</sub> ) * f <sub>g1</sub> * f <sub>g2</sub> * G <sub>w</sub> (W/K)							0,57	
Celková měrná tepelná ztráta prostupem H <sub>T,i</sub> = H <sub>T,ie</sub> + H <sub>T,iue</sub> + H <sub>T,ij</sub> + H <sub>T,ig</sub>							4,17	
Θ <sub>int,i</sub>	Θ <sub>e</sub>	Θ <sub>int,i</sub> - Θ <sub>e</sub>		H <sub>t,i</sub>	Návrhová ztráta prostupem Φ <sub>ti</sub> (W)			
24,0	-15,0	39,0		4,17	162,69			

24  
-15

20  
20  
20

P=54,16m  
A=163,44m<sup>2</sup>  
B=6

Objem místnosti $V_i$	Výpočtová venkovní teplota $\theta_e$	Výpočtová vnitřní teplota $\theta_{int,i}$	Hygienické požadavky	
			$n$ (h <sup>-1</sup> )	$V_{min,i}$ (m <sup>3</sup> /h)
12,95	-15	24	1,5	19,425
Počet nechráněných otvorů	$n_{50}$	Činitel zaclonění $e$	Výškový korekční činitel $\epsilon$	Množství vzduchu infiltrací $V_{inf,i}$ (m <sup>3</sup> /h)
1	4	0,03	1	3,108
Výpočet tepelné ztráty větráním				
max. z $V_{min,i}$ , $V_{inf,i}$		$H_{v,i}$	$\theta_{int,i} - \theta_e$	Návrhová tepelná ztráta větráním $\Phi_{V,i}$ (W)
19,425		6,60	39	257,58
CELKOVÝ NÁVRHOVÝ TEPLENÝ VÝKON :			420,26	

1.2.3.	WC		Výpočtová vnitřní teplota				Výpočtová venkovní teplota	
			20 °C				-15 °C	
Tepelné ztráty přímo do venkovního prostředí								
Ozn.	Popis	A <sub>k</sub>	U <sub>k</sub>	ΔU	U <sub>kc</sub>	e <sub>k</sub>	A <sub>k</sub> * U <sub>kc</sub> * e <sub>k</sub>	
SO	stěna nosná Z	2,51	0,172	0,02	0,192	1,00	0,48	
Celková měrná tepelná ztráta přímo do venkovního prostředí HT,ie = Σ <sub>k</sub> A <sub>k</sub> * U <sub>kc</sub> * e <sub>k</sub> (W/K)							0,48	
Tepelné ztráty z/do prostorů vytápěných na rozdílné teploty								
Ozn.	Popis	A <sub>k</sub>		U <sub>k</sub>		f <sub>ij</sub>	A <sub>k</sub> * U <sub>k</sub> * f <sub>ij</sub>	
SN	stěna k m.č. 1.2.2	6,16		0,495		-0,114	-0,35	
Celková měrná tepelná ztráta z/do prostorů rozdílných teplot H <sub>t,ij</sub> = Σ <sub>k</sub> A <sub>k</sub> * U <sub>k</sub> * f <sub>ij</sub> (W/K)							-0,35	
Tepelné ztráty nevytápěným prostorem								
Ozn.	Popis	A <sub>k</sub>	U <sub>k</sub>	ΔU	U <sub>kc</sub>	b <sub>u</sub>	A <sub>k</sub> * U <sub>kc</sub> * e <sub>k</sub>	
Celková měrná tepelná ztráta přes nevytápěný prostor H <sub>T,iue</sub> = Σ <sub>k</sub> A <sub>k</sub> * U <sub>kc</sub> * b <sub>u</sub> (W/K)							0,00	
Tepelné ztráty zeminou								
Ozn.	Popis	A <sub>k</sub>	U <sub>equiv,bf</sub>	A <sub>k</sub> * U <sub>equiv,bf</sub>		f <sub>g1</sub>	f <sub>g2</sub>	G <sub>w</sub> f <sub>g1</sub> * f <sub>g2</sub> * G <sub>w</sub>
PD	podlaha na zemině	4,63	0,17	0,7871		1,45	0,5	1      0,725
Celková měrná tepelná ztráta zeminou H <sub>T,ig</sub> = (Σ <sub>k</sub> A <sub>k</sub> * U <sub>equiv,bf</sub> ) * f <sub>g1</sub> * f <sub>g2</sub> * G <sub>w</sub> (W/K)							0,57	
Celková měrná tepelná ztráta prostupem H <sub>T,i</sub> = H <sub>T,ie</sub> + H <sub>T,iue</sub> + H <sub>T,ij</sub> + H <sub>T,ig</sub>							0,70	
Θ <sub>int,i</sub>	Θ <sub>e</sub>	Θ <sub>int,i</sub> - Θ <sub>e</sub>		H <sub>t,i</sub>		Návrhová ztráta prostupem Φ <sub>ti</sub> (W)		
20,0	-15,0	35,0		0,70		24,64		

20

-15

24

P=54,16m

A=163,44m<sup>2</sup>

B=6

Objem místnosti $V_i$	Výpočtová venkovní teplota $\Theta_e$	Výpočtová vnitřní teplota $\Theta_{int,i}$	Hygienické požadavky	
			$n$ (h <sup>-1</sup> )	$V_{min,i}$ (m <sup>3</sup> /h)
0	0	0	0	0
Počet nechráněných otvorů	n50	Činitel zaclonění $e$	Výškový korekční činitel $\epsilon$	Množství vzduchu infiltrací $V_{inf,i}$ (m <sup>3</sup> /h)
0	0	0	0	0

Výpočet tepelné ztráty větráním

max. z $V_{min,i}$ , $V_{inf,i}$	$H_{v,i}$	$\Theta_{int,i} - \Theta_e$	Návrhová tepelná ztráta větráním $\Phi_{V,i}$ (W)	
0	0,00	0	0,00	

CELKOVÝ NÁVRHOVÝ TEPLENÝ VÝKON :	24,64
----------------------------------	-------

1.2.4.	Ložnice			Výpočtová vnitřní teplota			Výpočtová venkovní teplota		
				20 °C			-15 °C		
Tepelné ztráty přímo do venkovního prostředí									
Ozn.	Popis	A <sub>k</sub>	U <sub>k</sub>	ΔU	U <sub>kc</sub>	e <sub>k</sub>	A <sub>k</sub> * U <sub>kc</sub> * e <sub>k</sub>		
SO5	stěna nosná S	11,11	0,172	0,02	0,192	1,00	2,13		
OZ	okno	0,78	0,700	0,00	0,700	1,00	0,55		
Celková měrná tepelná ztráta přímo do venkovního prostředí HT,ie = Σ <sub>k</sub> A <sub>k</sub> * U <sub>kc</sub> * e <sub>k</sub> (W/K)							2,68		
Tepelné ztráty z/do prostorů vytápěných na rozdílné teploty									
Ozn.	Popis	A <sub>k</sub>		U <sub>k</sub>		f <sub>ij</sub>		A <sub>k</sub> * U <sub>k</sub> * f <sub>ij</sub>	
SN	stěna k m.č. 1.1.3.	8,64		0,205		-0,114		-0,20	
Celková měrná tepelná ztráta z/do prostorů rozdílných teplot H <sub>t,ij</sub> =Σ <sub>k</sub> A <sub>k</sub> * U <sub>k</sub> * f <sub>ij</sub> (W/K)							-0,20		
Tepelné ztráty nevytápěným prostorem									
Ozn.	Popis	A <sub>k</sub>	U <sub>k</sub>	ΔU	U <sub>kc</sub>	b <sub>u</sub>	A <sub>k</sub> * U <sub>kc</sub> * e <sub>k</sub>		
Celková měrná tepelná ztráta přes nevytápěný prostor H <sub>T,lue</sub> = Σ <sub>k</sub> A <sub>k</sub> * U <sub>kc</sub> * b <sub>u</sub> (W/K)							0,00		
Tepelné ztráty zeminou									
Ozn.	Popis	A <sub>k</sub>	U <sub>equiv,bf</sub>	A <sub>k</sub> * U <sub>equiv,bf</sub>		f <sub>g1</sub>	f <sub>g2</sub>	G <sub>w</sub>	f <sub>g1</sub> * f <sub>g2</sub> * G <sub>w</sub>
PD	podlaha na zemině	13,17	0,17	2,24		1,45	0,5	1	0,725
Celková měrná tepelná ztráta zeminou H <sub>T,ig</sub> = (Σ <sub>k</sub> A <sub>k</sub> * U <sub>equiv,bf</sub> ) * f <sub>g1</sub> * f <sub>g2</sub> * G <sub>w</sub> (W/K)							1,62		
Celková měrná tepelná ztráta prostupem H <sub>T,i</sub> = H <sub>T,ie</sub> + H <sub>T,lue</sub> + H <sub>T,ij</sub> + H <sub>T,ig</sub>							4,10		
Θ <sub>int,i</sub>	Θ <sub>e</sub>	Θ <sub>int,i</sub> -Θ <sub>e</sub>		H <sub>t,i</sub>		Návrhová ztráta prostupem Φ <sub>ti</sub> (W)			
20,0	-15,0	35,0		4,10		143,50			

20

-15

24

P=54,16m

A=163,44m<sup>2</sup>

B=6

Objem místnosti $V_i$	Výpočtová venkovní teplota $\Theta_e$	Výpočtová vnitřní teplota $\Theta_{int,i}$	Hygienické požadavky	
			$n$ (h <sup>-1</sup> )	$V_{min,i}$ (m <sup>3</sup> /h)
36,79	-15	20	0,5	18,395
Počet nechráněných otvorů	$n_{50}$	Činitel zaclonění $e$	Výškový korekční činitel $\epsilon$	Množství vzduchu infiltrací $V_{inf,i}$ (m <sup>3</sup> /h)
1	1	0,03	1	2,2074
Výpočet tepelné ztráty větráním				
max. z $V_{min,i}$ , $V_{inf,i}$		$H_{v,i}$	$\Theta_{int,i} - \Theta_e$	Návrhová tepelná ztráta větráním $\Phi_{V,i}$ (W)
18,395		6,25	35	218,90

<b>CELKOVÝ NÁVRHOVÝ TEPLENÝ VÝKON :</b>	<b>362,40</b>
---	---------------

1.2.6.	OBÝVACÍ POKOJ		Výpočtová vnitřní teplota			Výpočtová venkovní teplota		
			20 °C			-15 °C		
Tepelné ztráty přímo do venkovního prostředí								
Ozn.	Popis	A <sub>k</sub>	U <sub>k</sub>	ΔU	U <sub>kc</sub>	e <sub>k</sub>	A <sub>k</sub> * U <sub>kc</sub> * e <sub>k</sub>	
S05	stěna nosná J	9,91	0,172	0,02	0,192	1,00	1,90	
OZ	okno na balkon	4,83	0,700	0,00	0,700	1,00	3,38	
OZ	okno	2,70	0,700	0,00	0,700	1,00	1,89	
Celková měrná tepelná ztráta přímo do venkovního prostředí HT,ie = Σ <sub>k</sub> A <sub>k</sub> * U <sub>kc</sub> * e <sub>k</sub> (W/K)							7,17	
Tepelné ztráty z/do prostorů vytápěných na rozdílné teploty								
Ozn.	Popis	A <sub>k</sub>	U <sub>k</sub>	f <sub>ij</sub>		A <sub>k</sub> * U <sub>k</sub> * f <sub>ij</sub>		
SN	stěna k m.č. 1.3.2	2,78	0,107		-0,114		-0,03	
SN	stěna k šachtě	1,40	0,205		0,143		0,04	
Celková měrná tepelná ztráta z/do prostorů rozdílných teplot H <sub>t,ij</sub> = Σ <sub>k</sub> A <sub>k</sub> * U <sub>k</sub> * f <sub>ij</sub> (W/K)						0,01		
Tepelné ztráty nevytápěným prostorem								
Ozn.	Popis	A <sub>k</sub>	U <sub>k</sub>	ΔU	U <sub>kc</sub>	b <sub>u</sub>	A <sub>k</sub> * U <sub>kc</sub> * b <sub>u</sub>	
SN	stěna ke sklepům	6,44	0,179	0,02	0,199	0,143	0,183	
Celková měrná tepelná ztráta přes nevytápěný prostor H <sub>T,iue</sub> = Σ <sub>k</sub> A <sub>k</sub> * U <sub>kc</sub> * b <sub>u</sub> (W/K)						0,183		
Tepelné ztráty zeminou								
Ozn.	Popis	A <sub>k</sub>	U <sub>equiv,bf</sub>	A <sub>k</sub> * U <sub>equiv,bf</sub>	f <sub>g1</sub>	f <sub>g2</sub>	G <sub>w</sub>	f <sub>g1</sub> * f <sub>g2</sub> * G <sub>w</sub>
PD	podlaha na zemině	29,87	0,17	5,08	1,45	0,5	1	0,725
Celková měrná tepelná ztráta zeminou H <sub>T,ig</sub> = (Σ <sub>k</sub> A <sub>k</sub> * U <sub>equiv,bf</sub> ) * f <sub>g1</sub> * f <sub>g2</sub> * G <sub>w</sub> (W/K)						3,68		
Celková měrná tepelná ztráta prostupem H <sub>T,i</sub> = H <sub>T,ie</sub> + H <sub>T,iue</sub> + H <sub>T,ij</sub> + H <sub>T,ig</sub>						11,05		
Θ <sub>int,i</sub>	Θ <sub>e</sub>	Θ <sub>int,i</sub> - Θ <sub>e</sub>	H <sub>t,i</sub>	Návrhová ztráta prostupem Φ <sub>u,i</sub> (W)				
20,0	-15,0	35,0	11,05	386,58				

P=54,16m

A=163,44m<sup>2</sup>

B=6

Objem místnosti V <sub>i</sub>	Výpočtová venkovní teplota $\Theta_e$	Výpočtová vnitřní teplota $\Theta_{int,i}$	Hygienické požadavky	
			n (h <sup>-1</sup> )	V <sub>min,i</sub> (m <sup>3</sup> /h)
83,42	-15	20	0,5	41,71
Počet nechráněných otvorů	n50	Činitel zaclonění e	Výškový korekční činitel $\epsilon$	Množství vzduchu infiltrací V <sub>inf,i</sub> (m <sup>3</sup> /h)
2	1	0,03	1	10,0104
Výpočet tepelné ztráty větráním				
max. z V <sub>min,i</sub> , V <sub>inf,i</sub>		H <sub>v,i</sub>	$\Theta_{int,i} - \Theta_e$	Návrhová tepelná ztráta větráním $\Phi_{V,i}$ (W)
41,71		14,18	35	496,35

<b>CELKOVÝ NÁVRHOVÝ TEPLENÝ VÝKON :</b>	<b>882,93</b>
---	---------------

1.2.7.	POKOJ		Výpočtová vnitřní teplota			Výpočtová venkovní teplota		
			20 °C			-15 °C		
Tepelné ztráty přímo do venkovního prostředí								
Ozn.	Popis	A <sub>k</sub>	U <sub>k</sub>	ΔU	U <sub>kc</sub>	e <sub>k</sub>	A <sub>k</sub> * U <sub>kc</sub> * e <sub>k</sub>	
SO	stěna nosná J	7,21	0,172	0,02	0,192	1,00	1,38	
OZ	okno	2,70	0,700	0,00	0,700	1,00	1,89	
Celková měrná tepelná ztráta přímo do venkovního prostředí HT,ie = Σ <sub>k</sub> A <sub>k</sub> * U <sub>kc</sub> * e <sub>k</sub> (W/K)							3,27	
Tepelné ztráty z/do prostorů vytápěných na rozdílné teploty								
Ozn.	Popis	A <sub>k</sub>		U <sub>k</sub>		f <sub>ij</sub>		A <sub>k</sub> * U <sub>k</sub> * f <sub>ij</sub>
Celková měrná tepelná ztráta z/do prostorů rozdílných teplot H <sub>t,ij</sub> = Σ <sub>k</sub> A <sub>k</sub> * U <sub>k</sub> * f <sub>ij</sub> (W/K)							0,00	
Tepelné ztráty nevytápěným prostorem								
Ozn.	Popis	A <sub>k</sub>	U <sub>k</sub>	ΔU	U <sub>kc</sub>	b <sub>u</sub>	A <sub>k</sub> * U <sub>kc</sub> * e <sub>k</sub>	
Celková měrná tepelná ztráta přes nevytápěný prostor H <sub>T,lue</sub> = Σ <sub>k</sub> A <sub>k</sub> * U <sub>kc</sub> * b <sub>u</sub> (W/K)							0,00	
Tepelné ztráty zeminou								
Ozn.	Popis	A <sub>k</sub>	U <sub>equiv,bf</sub>	A <sub>k</sub> * U <sub>equiv,bf</sub>		f <sub>g1</sub>	f <sub>g2</sub>	G <sub>w</sub> f <sub>g1</sub> * f <sub>g2</sub> * G <sub>w</sub>
PD	podlaha na zemině	13,67	0,17	2,32		1,45	0,5	1      0,725
Celková měrná tepelná ztráta zeminou H <sub>T,ig</sub> = (Σ <sub>k</sub> A <sub>k</sub> * U <sub>equiv,bf</sub> ) * f <sub>g1</sub> * f <sub>g2</sub> * G <sub>w</sub> (W/K)							1,68	
Celková měrná tepelná ztráta prostupem H <sub>T,i</sub> = H <sub>T,ie</sub> + H <sub>T,lue</sub> + H <sub>T,ij</sub> + H <sub>T,ig</sub>							4,96	
Θ <sub>int,i</sub>	Θ <sub>e</sub>	Θ <sub>int,i</sub> - Θ <sub>e</sub>		H <sub>t,i</sub>		Návrhová ztráta prostupem Φ <sub>ti</sub> (W)		
20,0	-15,0	35,0		4,96		173,57		

20

-15

P=54,16m

A=163,44m<sup>2</sup>

B=6

Objem místnosti $V_i$	Výpočtová venkovní teplota $\Theta_e$	Výpočtová vnitřní teplota $\Theta_{int,i}$	Hygienické požadavky	
			$n$ (h <sup>-1</sup> )	$V_{min,i}$ (m <sup>3</sup> /h)
38,19	-15	20	0,5	19,095
Počet nechráněných otvorů	$n_{50}$	Činitel zaclonění $e$	Výškový korekční činitel $\epsilon$	Množství vzduchu infiltrací $V_{inf,i}$ (m <sup>3</sup> /h)
1	1	0,03	1	2,2914
Výpočet tepelné ztráty větráním				
max. z $V_{min,i}$ , $V_{inf,i}$		$H_{v,i}$	$\Theta_{int,i} - \Theta_e$	Návrhová tepelná ztráta větráním $\Phi_{V,i}$ (W)
19,095		6,49	35,0	<b>227,23</b>

<b>CELKOVÝ NÁVRHOVÝ TEPLENÝ VÝKON :</b>	<b>400,80</b>
---	---------------



1.3.1.	Chodba		Výpočtová vnitřní teplota				Výpočtová venkovní teplota	
			20 °C				-15 °C	
Tepelné ztráty přímo do venkovního prostředí								
Ozn.	Popis	A <sub>k</sub>	U <sub>k</sub>	ΔU	U <sub>kc</sub>	e <sub>k</sub>	A <sub>k</sub> * U <sub>kc</sub> * e <sub>k</sub>	
SO	stěna nosná S	4,90	0,164	0,02	0,184	1,00	0,90	
DO	dveře vstupní	1,80	1,200	0,00	1,200	1,00	2,16	
Celková měrná tepelná ztráta přímo do venkovního prostředí HT,ie = Σ <sub>k</sub> A <sub>k</sub> * U <sub>kc</sub> * e <sub>k</sub> (W/K)							3,06	
Tepelné ztráty z/do prostorů vytápěných na rozdílné teploty								
Ozn.	Popis	A <sub>k</sub>	U <sub>k</sub>			f <sub>ij</sub>	A <sub>k</sub> * U <sub>k</sub> * f <sub>ij</sub>	
DN	dveře k m.č. 1.3.2	1,38	2,00		-0,114		-0,32	
SN	stěna k m.č. 1.3.2	3,00	0,495		-0,114		-0,17	
Celková měrná tepelná ztráta z/do prostorů rozdílných teplot H <sub>t,ij</sub> = Σ <sub>k</sub> A <sub>k</sub> * U <sub>k</sub> * f <sub>ij</sub> (W/K)							-0,49	
Tepelné ztráty nevytápěným prostorem								
Ozn.	Popis	A <sub>k</sub>	U <sub>k</sub>	ΔU	U <sub>kc</sub>	b <sub>u</sub>	A <sub>k</sub> * U <sub>kc</sub> * e <sub>k</sub>	
Str	strop nad suterénem	7,07	0,13	0,02	0,15	0,143	0,15	
Celková měrná tepelná ztráta přes nevytápěný prostor H <sub>T,lue</sub> = Σ <sub>k</sub> A <sub>k</sub> * U <sub>kc</sub> * b <sub>u</sub> (W/K)							0,15	
Tepelné ztráty zeminou								
Ozn.	Popis	A <sub>k</sub>	U <sub>equiv,bf</sub>	A <sub>k</sub> * U <sub>equiv,bf</sub>	f <sub>g1</sub>	f <sub>g2</sub>	G <sub>w</sub>	f <sub>g1</sub> * f <sub>g2</sub> * G <sub>w</sub>
Celková měrná tepelná ztráta zeminou H <sub>T,ig</sub> = (Σ <sub>k</sub> A <sub>k</sub> * U <sub>equiv,bf</sub> ) * f <sub>g1</sub> * f <sub>g2</sub> * G <sub>w</sub> (W/K)							0,00	
Celková měrná tepelná ztráta prostupem H <sub>T,i</sub> = H <sub>T,ie</sub> + H <sub>T,lue</sub> + H <sub>T,ij</sub> + H <sub>T,ig</sub>							2,73	
Θ <sub>int,i</sub>	Θ <sub>e</sub>	Θ <sub>int,i</sub> - Θ <sub>e</sub>	H <sub>t,i</sub>	Návrhová ztráta prostupem Φ <sub>t,i</sub> (W)				
20,0	-15,0	35,0	2,73	95,48				

20

-15

24

24

Objem místnosti $V_i$	Výpočtová venkovní teplota $\theta_e$	Výpočtová vnitřní teplota $\theta_{int,i}$	Hygienické požadavky	
			$n$ (h <sup>-1</sup> )	$V_{min,i}$ (m <sup>3</sup> /h)
0	-15	20	0,5	0
Počet nechráněných otvorů	$n_{50}$	Činitel zaclonění $e$	Výškový korekční činitel $\epsilon$	Množství vzduchu infiltrací $V_{inf,i}$ (m <sup>3</sup> /h)
1	1	0,03	1	0
Výpočet tepelné ztráty větráním				
max. z $V_{min,i}$ , $V_{inf,i}$		$H_{v,i}$	$\theta_{int,i} - \theta_e$	Návrhová tepelná ztráta větráním $\Phi_{V,i}$ (W)
0		0,00	35	0,00

CELKOVÝ NÁVRHOVÝ TEPLENÝ VÝKON :	95,48
----------------------------------	-------

1.3.2.	Koupelna		Výpočtová vnitřní teplota			Výpočtová venkovní teplota	
			24 °C			-15 °C	
Tepelné ztráty přímo do venkovního prostředí							
Ozn.	Popis	A <sub>k</sub>	U <sub>k</sub>	ΔU	U <sub>kc</sub>	e <sub>k</sub>	A <sub>k</sub> * U <sub>kc</sub> * e <sub>k</sub>
SO	stěna nosná S	5,76	0,164	0,02	0,184	1,00	1,06
OZ	okno	0,78	0,700	0,00	0,700	1,00	0,55
Celková měrná tepelná ztráta přímo do venkovního prostředí HT,ie = Σ <sub>k</sub> A <sub>k</sub> * U <sub>kc</sub> * e <sub>k</sub> (W/K)							1,61
Tepelné ztráty z/do prostorů vytápěných na rozdílné teploty							
Ozn.	Popis	A <sub>k</sub>	U <sub>k</sub>	f <sub>ij</sub>	A <sub>k</sub> * U <sub>k</sub> * f <sub>ij</sub>		
SN	stěna k m.č. 1.3.3	7,52	0,495	0,103	0,38		
SN	stěna k m.č. 1.3.1	3,02	0,495	0,103	0,15		
SN	stěna k m.č. 1.2.6	4,85	0,11	0,103	0,05		
DN	dveře k m.č. 1.3.1	1,38	0,495	0,103	0,07		
Celková měrná tepelná ztráta z/do prostorů rozdílných teplot H <sub>t,ij</sub> = Σ <sub>k</sub> A <sub>k</sub> * U <sub>k</sub> * f <sub>ij</sub> (W/K)							0,66
Tepelné ztráty nevytápěným prostorem							
Ozn.	Popis	A <sub>k</sub>	U <sub>k</sub>	ΔU	U <sub>kc</sub>	b <sub>u</sub>	A <sub>k</sub> * U <sub>kc</sub> * e <sub>k</sub>
SO	stěna k suterénu	2,58	0,18	0,02	0,2	0,128	0,07
Str	strop nad suterénem	7,07	0,13	0,02	0,15	0,128	0,14
Celková měrná tepelná ztráta přes nevytápěný prostor H <sub>T,iue</sub> = Σ <sub>k</sub> A <sub>k</sub> * U <sub>kc</sub> * b <sub>u</sub> (W/K)							0,21
Tepelné ztráty zeminou							
Ozn.	Popis	A <sub>k</sub>	U <sub>equiv,bf</sub>	A <sub>k</sub> * U <sub>equiv,bf</sub>	f <sub>g1</sub>	f <sub>g2</sub>	G <sub>w</sub>   f <sub>g1</sub> * f <sub>g2</sub> * G <sub>w</sub>
Celková měrná tepelná ztráta zeminou H <sub>T,ig</sub> = (Σ <sub>k</sub> A <sub>k</sub> * U <sub>equiv,bf</sub> ) * f <sub>g1</sub> * f <sub>g2</sub> * G <sub>w</sub> (W/K)							0,00
Celková měrná tepelná ztráta prostupem H <sub>T,i</sub> = H <sub>T,ie</sub> + H <sub>T,iue</sub> + H <sub>T,ij</sub> + H <sub>T,ig</sub>							2,47
Θ <sub>int,i</sub>	Θ <sub>e</sub>	Θ <sub>int,i</sub> - Θ <sub>e</sub>	H <sub>T,i</sub>	Návrhová ztráta prostupem Φ <sub>i</sub> , (W)			
24,0	-15,0	39,0	2,47	96,50			

24  
-15

20  
20  
20  
20

Objem místnosti $V_i$	Výpočtová venkovní teplota $\Theta_e$	Výpočtová vnitřní teplota $\Theta_{int,i}$	Hygienické požadavky	
			$n$ (h <sup>-1</sup> )	$V_{min,i}$ (m <sup>3</sup> /h)
19,73	-15	24	1,5	29,595
Počet nechráněných otvorů	$n_{50}$	Činitel zaclonění $e$	Výškový korekční činitel $\epsilon$	Množství vzduchu infiltrací $V_{inf,i}$ (m <sup>3</sup> /h)
2	1	0,03	1	2,3676
Výpočet tepelné ztráty větráním				
max. z $V_{min,i}$ , $V_{inf,i}$		$H_{v,i}$	$\Theta_{int,i} - \Theta_e$	Návrhová tepelná ztráta větráním $\Phi_{V,i}$ (W)
29,595		10,06	39	392,43
CELKOVÝ NÁVRHOVÝ TEPLENÝ VÝKON :			488,92	

1.3.3.	WC		Výpočtová vnitřní teplota				Výpočtová venkovní teplota			
			20 °C				-15 °C			
Tepelné ztráty přímo do venkovního prostředí										
Ozn.	Popis	A <sub>k</sub>	U <sub>k</sub>	ΔU	U <sub>kc</sub>	e <sub>k</sub>	A <sub>k</sub> * U <sub>kc</sub> * e <sub>k</sub>			
Celková měrná tepelná ztráta přímo do venkovního prostředí HT,ie = Σ <sub>k</sub> A <sub>k</sub> * U <sub>kc</sub> * e <sub>k</sub> (W/K)							0,00			
Tepelné ztráty z/do prostorů vytápěných na rozdílné teploty										
Ozn.	Popis	A <sub>k</sub>	U <sub>k</sub>	f <sub>ij</sub>		A <sub>k</sub> * U <sub>k</sub> * f <sub>ij</sub>				
SN	stěna k šachtě	2,51	0,495	0,143		0,18				
SN	stěna k m.č. 1.3.2	6,04	0,495	-0,114		-0,34				
Celková měrná tepelná ztráta z/do prostorů rozdílných teplot H <sub>t,ij</sub> =Σ <sub>k</sub> A <sub>k</sub> * U <sub>k</sub> * f <sub>ij</sub> (W/K)						-0,16				
Tepelné ztráty nevytápěným prostorem										
Ozn.	Popis	A <sub>k</sub>	U <sub>k</sub>	ΔU	U <sub>kc</sub>	b <sub>u</sub>	A <sub>k</sub> * U <sub>kc</sub> * b <sub>u</sub>			
STR	strop nad suterénem	1,93	0,13	0,02	0,15	0,143	0,04			
Celková měrná tepelná ztráta přes nevytápěný prostor H <sub>T,iue</sub> = Σk A <sub>k</sub> * U <sub>kc</sub> * b <sub>u</sub> (W/K)							0,04			
Tepelné ztráty zeminou										
Ozn.	Popis	A <sub>k</sub>	U <sub>equiv,bf</sub>	A <sub>k</sub> * U <sub>equiv,bf</sub>	f <sub>g1</sub>	f <sub>g2</sub>	G <sub>w</sub>	f <sub>g1</sub> * f <sub>g2</sub> * G <sub>w</sub>		
Celková měrná tepelná ztráta zeminou H <sub>T,ig</sub> = (Σ <sub>k</sub> A <sub>k</sub> * U <sub>equiv,bf</sub> ) * f <sub>g1</sub> * f <sub>g2</sub> * G <sub>w</sub> (W/K)						0,00				
Celková měrná tepelná ztráta prostupem H <sub>T,i</sub> = H <sub>T,ie</sub> + H <sub>T,iue</sub> + H <sub>T,ij</sub> + H <sub>T,ig</sub>						-0,12				
Θ <sub>int,i</sub>	Θ <sub>e</sub>	Θ <sub>int,i</sub> -Θ <sub>e</sub>	H <sub>t,i</sub>	Návrhová ztráta prostupem Φ <sub>t,i</sub> (W)						
20,0	-15,0	35,0	-0,12	-4,15						

Objem místnosti $V_i$	Výpočtová venkovní teplota $\Theta_e$	Výpočtová vnitřní teplota $\Theta_{int,i}$	Hygienické požadavky	
			$n$ (h <sup>-1</sup> )	$V_{min,i}$ (m <sup>3</sup> /h)
0	-15	20	0,5	0
Počet nechráněných otvorů	$n_{50}$	Činitel zaclonění $e$	Výškový korekční činitel $\epsilon$	Množství vzduchu infiltrací $V_{inf,i}$ (m <sup>3</sup> /h)
1	1	0,03	1	0
Výpočet tepelné ztráty větráním				
max. z $V_{min,i}$ , $V_{inf,i}$		$H_{v,i}$	$\Theta_{int,i} - \Theta_e$	Návrhová tepelná ztráta větráním $\Phi_{V,i}$ (W)
0		0,00	35	<b>0,00</b>

<b>CELKOVÝ NÁVRHOVÝ TEPLENÝ VÝKON :</b>	<b>-4,15</b>
---	--------------

1.3.4.	Ložnice		Výpočtová vnitřní teplota				Výpočtová venkovní teplota	
			20 °C				-15 °C	
Tepelné ztráty přímo do venkovního prostředí								
Ozn.	Popis	A <sub>k</sub>	U <sub>k</sub>	ΔU	U <sub>kc</sub>	e <sub>k</sub>	A <sub>k</sub> * U <sub>kc</sub> * e <sub>k</sub>	
SO	stěna nosná S	13,35	0,164	0,02	0,184	1,00	2,46	
OZ	okno	0,78	0,700	0,00	0,700	1,00	0,55	
Celková měrná tepelná ztráta přímo do venkovního prostředí HT,ie = Σ <sub>k</sub> A <sub>k</sub> * U <sub>kc</sub> * e <sub>k</sub> (W/K)							3,00	
Tepelné ztráty z/do prostorů vytápěných na rozdílné teploty								
Ozn.	Popis	A <sub>k</sub>		U <sub>k</sub>		f <sub>ij</sub>		A <sub>k</sub> * U <sub>k</sub> * f <sub>ij</sub>
SN	stěna k m.č. 1.4.3	5,29		0,205		-0,114		-0,12
Celková měrná tepelná ztráta z/do prostorů rozdílných teplot H <sub>t,ij</sub> =Σ <sub>k</sub> A <sub>k</sub> * U <sub>k</sub> * f <sub>ij</sub> (W/K)							-0,12	
Tepelné ztráty nevytápěným prostorem								
Ozn.	Popis	A <sub>k</sub>	U <sub>k</sub>	ΔU	U <sub>kc</sub>	b <sub>u</sub>	A <sub>k</sub> * U <sub>kc</sub> * e <sub>k</sub>	
Str	strop nad suterénem	14,13	0,13	0,02	0,15	0,143	0,30	
Celková měrná tepelná ztráta přes nevytápěný prostor H <sub>T,lue</sub> = Σ <sub>k</sub> A <sub>k</sub> * U <sub>kc</sub> * b <sub>u</sub> (W/K)							0,30	
Tepelné ztráty zeminou								
Ozn.	Popis	A <sub>k</sub>	U <sub>equiv,bf</sub>	A <sub>k</sub> * U <sub>equiv,bf</sub>		f <sub>g1</sub>	f <sub>g2</sub>	G <sub>w</sub> * f <sub>g1</sub> * f <sub>g2</sub> * G <sub>w</sub>
Celková měrná tepelná ztráta zeminou H <sub>T,ig</sub> = (Σ <sub>k</sub> A <sub>k</sub> * U <sub>equiv,bf</sub> ) * f <sub>g1</sub> * f <sub>g2</sub> * G <sub>w</sub> (W/K)							0,00	
Celková měrná tepelná ztráta prostupem H <sub>T,i</sub> = H <sub>T,ie</sub> + H <sub>T,lue</sub> + H <sub>T,ij</sub> + H <sub>T,ig</sub>							3,18	
Θ <sub>int,i</sub>	Θ <sub>e</sub>	Θ <sub>int,i</sub> - Θ <sub>e</sub>		H <sub>t,i</sub>		Návrhová ztráta prostupem Φ <sub>t,i</sub> (W)		
20,0	-15,0	35,0		3,18		111,34		

20

-15

24

Objem místnosti $V_i$	Výpočtová venkovní teplota $\Theta_e$	Výpočtová vnitřní teplota $\Theta_{int,i}$	Hygienické požadavky	
			$n$ (h <sup>-1</sup> )	$V_{min,i}$ (m <sup>3</sup> /h)
39,45	-15	20	0,5	19,725
Počet nechráněných otvorů	$n_{50}$	Činitel zaclonění $e$	Výškový korekční činitel $\epsilon$	Množství vzduchu infiltrací $V_{inf,i}$ (m <sup>3</sup> /h)
1	1	0,03	1	2,367
Výpočet tepelné ztráty větráním				
max. z $V_{min,i}$ , $V_{inf,i}$		$H_{v,i}$	$\Theta_{int,i} - \Theta_e$	Návrhová tepelná ztráta větráním $\Phi_{V,i}$ (W)
19,725		6,71	35	234,73

CELKOVÝ NÁVRHOVÝ TEPLENÝ VÝKON :	346,07
----------------------------------	--------

1.3.6.	Obývací Pokoj		Výpočtová vnitřní teplota			Výpočtová venkovní teplota	
			20 °C			-15 °C	
Tepelné ztráty přímo do venkovního prostředí							
Ozn.	Popis	A <sub>k</sub>	U <sub>k</sub>	ΔU	U <sub>kc</sub>	e <sub>k</sub>	A <sub>k</sub> * U <sub>kc</sub> * e <sub>k</sub>
SO	stěna nosná J	9,48	0,164	0,02	0,184	1,00	1,74
SO	stěna nosná V	6,93	0,164	0,02	0,184	1,00	1,28
OZ	okno na balkon	4,83	0,700	0,00	0,700	1,00	3,38
OZ	okno	2,70	0,700	0,00	0,700	1,00	1,89
Celková měrná tepelná ztráta přímo do venkovního prostředí H <sub>T,ie</sub> = Σ <sub>k</sub> A <sub>k</sub> * U <sub>kc</sub> * e <sub>k</sub> (W/K)							8,29
Tepelné ztráty z/do prostorů vytápěných na rozdílné teploty							
Ozn.	Popis	A <sub>k</sub>		U <sub>k</sub>		f <sub>ij</sub>	A <sub>k</sub> * U <sub>k</sub> * f <sub>ij</sub>
Celková měrná tepelná ztráta z/do prostorů rozdílných teplot H <sub>t,ij</sub> = Σ <sub>k</sub> A <sub>k</sub> * U <sub>k</sub> * f <sub>ij</sub> (W/K)							0,00
Tepelné ztráty nevytápěným prostorem							
Ozn.	Popis	A <sub>k</sub>	U <sub>k</sub>	ΔU	U <sub>kc</sub>	b <sub>u</sub>	A <sub>k</sub> * U <sub>kc</sub> * e <sub>k</sub>
SN	stěna k suterénu	2,94	0,179	0,02	0,199	0,143	0,08
Str	strop nad suterénem	28,83	0,13	0,02	0,15	0,143	0,62
Celková měrná tepelná ztráta přes nevytápěný prostor H <sub>T,iue</sub> = Σ <sub>k</sub> A <sub>k</sub> * U <sub>kc</sub> * b <sub>u</sub> (W/K)							0,70
Tepelné ztráty zeminou							
Ozn.	Popis	A <sub>k</sub>	U <sub>equiv,bf</sub>	A <sub>k</sub> * U <sub>equiv,bf</sub>	f <sub>g1</sub>	f <sub>g2</sub>	G <sub>w</sub>   f <sub>g1</sub> * f <sub>g2</sub> * G <sub>w</sub>
Celková měrná tepelná ztráta zeminou H <sub>T,ig</sub> = (Σ <sub>k</sub> A <sub>k</sub> * U <sub>equiv,bf</sub> ) * f <sub>g1</sub> * f <sub>g2</sub> * G <sub>w</sub> (W/K)							0,00
Celková měrná tepelná ztráta prostupem H <sub>T,i</sub> = H <sub>T,ie</sub> + H <sub>T,iue</sub> + H <sub>T,ij</sub> + H <sub>T,ig</sub>							8,99
Θ <sub>int,i</sub>	Θ <sub>e</sub>	Θ <sub>int,i</sub> - Θ <sub>e</sub>		H <sub>t,i</sub>	Návrhová ztráta prostupem Φ <sub>ti</sub> (W)		
20,0	-15,0	35,0		8,99	314,71		

20  
-15

Objem místnosti $V_i$	Výpočtová venkovní teplota $\Theta_e$	Výpočtová vnitřní teplota $\Theta_{int,i}$	Hygienické požadavky	
			$n$ (h <sup>-1</sup> )	$V_{min,i}$ (m <sup>3</sup> /h)
80,54	-15	20	0,5	40,27
Počet nechráněných otvorů	$n_{50}$	Činitel zaclonění $e$	Výškový korekční činitel $\epsilon$	Množství vzduchu infiltrací $V_{inf,i}$ (m <sup>3</sup> /h)
2	1	0,03	1	9,6648
Výpočet tepelné ztráty větráním				
max. z $V_{min,i}$ , $V_{inf,i}$		$H_{v,i}$	$\Theta_{int,i} - \Theta_e$	Návrhová tepelná ztráta větráním $\Phi_{V,i}$ (W)
40,27		13,69	35	<b>479,21</b>

<b>CELKOVÝ NÁVRHOVÝ TEPLENÝ VÝKON :</b>	<b>793,93</b>
---	---------------

1.3.7.	Pokoj		Výpočtová vnitřní teplota				Výpočtová venkovní teplota	
			20 °C				-15 °C	
Tepelné ztráty přímo do venkovního prostředí								
Ozn.	Popis	A <sub>k</sub>	U <sub>k</sub>	ΔU	U <sub>kc</sub>	e <sub>k</sub>	A <sub>k</sub> * U <sub>kc</sub> * e <sub>k</sub>	
SO	stěna nosná J	7,21	0,164	0,02	0,184	1,00	1,33	
OZ	okno	2,70	0,700	0,00	0,700	1,00	1,89	
Celková měrná tepelná ztráta přímo do venkovního prostředí HT,ie = Σ <sub>k</sub> A <sub>k</sub> * U <sub>kc</sub> * e <sub>k</sub> (W/K)							3,22	
Tepelné ztráty z/do prostorů vytápěných na rozdílné teploty								
Ozn.	Popis	A <sub>k</sub>		U <sub>k</sub>		f <sub>ij</sub>		A <sub>k</sub> * U <sub>k</sub> * f <sub>ij</sub>
Celková měrná tepelná ztráta z/do prostorů rozdílných teplot H <sub>t,ij</sub> =Σ <sub>k</sub> A <sub>k</sub> * U <sub>k</sub> * f <sub>ij</sub> (W/K)							0,00	
Tepelné ztráty nevytápěným prostorem								
Ozn.	Popis	A <sub>k</sub>	U <sub>k</sub>	ΔU	U <sub>kc</sub>	b <sub>u</sub>	A <sub>k</sub> * U <sub>kc</sub> * e <sub>k</sub>	
Str	strop nad suterénem	13,44	0,13	0,02	0,15	0,143	0,29	
Celková měrná tepelná ztráta přes nevytápěný prostor H <sub>T,lue</sub> = Σ <sub>k</sub> A <sub>k</sub> * U <sub>kc</sub> * b <sub>u</sub> (W/K)							0,29	
Tepelné ztráty zeminou								
Ozn.	Popis	A <sub>k</sub>	U <sub>equiv,bf</sub>	A <sub>k</sub> * U <sub>equiv,bf</sub>		f <sub>g1</sub>	f <sub>g2</sub>	G <sub>w</sub>   f <sub>g1</sub> * f <sub>g2</sub> * G <sub>w</sub>
Celková měrná tepelná ztráta zeminou H <sub>T,ig</sub> = (Σ <sub>k</sub> A <sub>k</sub> * U <sub>equiv,bf</sub> ) * f <sub>g1</sub> * f <sub>g2</sub> * G <sub>w</sub> (W/K)							0,00	
Celková měrná tepelná ztráta prostupem H <sub>T,i</sub> = H <sub>T,ie</sub> + H <sub>T,lue</sub> + H <sub>T,ij</sub> + H <sub>T,ig</sub>							3,50	
Θ <sub>int,i</sub>	Θ <sub>e</sub>	Θ <sub>int,i</sub> - Θ <sub>e</sub>	H <sub>t,i</sub>		Návrhová ztráta prostupem Φ <sub>t,i</sub> (W)			
20,0	-15,0	35,0	3,50		122,66			

20  
-15

Objem místnosti $V_i$	Výpočtová venkovní teplota $\Theta_e$	Výpočtová vnitřní teplota $\Theta_{int,i}$	Hygienické požadavky	
			$n$ (h <sup>-1</sup> )	$V_{min,i}$ (m <sup>3</sup> /h)
37,53	-15	20	0,5	18,765
Počet nechráněných otvorů	$n_{50}$	Činitel zaclonění $e$	Výškový korekční činitel $\epsilon$	Množství vzduchu infiltrací $V_{inf,i}$ (m <sup>3</sup> /h)
1	1	0,03	1	2,2518
Výpočet tepelné ztráty větráním				
max. z $V_{min,i}$ , $V_{inf,i}$		$H_{v,i}$	$\Theta_{int,i} - \Theta_e$	Návrhová tepelná ztráta větráním $\Phi_{V,i}$ (W)
18,765		6,38	35	<b>223,30</b>
<b>CELKOVÝ NÁVRHOVÝ TEPLENÝ VÝKON :</b>			<b>345,97</b>	

1.4.1.	Zádveří		Výpočtová vnitřní teplota			Výpočtová venkovní teplota		
			15 °C			-15 °C		
Tepelné ztráty přímo do venkovního prostředí								
Ozn.	Popis	A <sub>k</sub>	U <sub>k</sub>	ΔU	U <sub>kc</sub>	e <sub>k</sub>	A <sub>k</sub> * U <sub>kc</sub> * e <sub>k</sub>	
SO	stěna nosná Z	2,28	0,164	0,02	0,184	1	0,42	
SO	stěna nosná S	5,87	0,164	0,02	0,184	1,00	1,08	
DO	vstupní dveře	1,80	1,200	0,00	1,200	1,00	2,16	
Celková měrná tepelná ztráta přímo do venkovního prostředí HT,ie = Σ <sub>k</sub> A <sub>k</sub> * U <sub>kc</sub> * e <sub>k</sub> (W/K)							3,66	
Tepelné ztráty z/do prostorů vytápěných na rozdílné teploty								
Ozn.	Popis	A <sub>k</sub>	U <sub>k</sub>	f <sub>ij</sub>		A <sub>k</sub> * U <sub>k</sub> * f <sub>ij</sub>		
SN	stěna k m.č. 1.4.2	2,30	0,495		-0,167		-0,190	
DN	dveře k m.č. 1.4.2	1,77	2,00		-0,167		-0,590	
SN	stěna k m.č. 1.4.3	5,87	0,495		-0,300		-0,872	
Celková měrná tepelná ztráta z/do prostorů rozdílných teplot H <sub>t,ij</sub> = Σ <sub>k</sub> A <sub>k</sub> * U <sub>k</sub> * f <sub>ij</sub> (W/K)							-1,65	
Tepelné ztráty nevytápěným prostorem								
Ozn.	Popis	A <sub>k</sub>	U <sub>k</sub>	ΔU	U <sub>kc</sub>	b <sub>u</sub>	A <sub>k</sub> * U <sub>kc</sub> * e <sub>k</sub>	
Str	strop nad suterénem	3,07	0,13	0,02	0,15	0,167	0,08	
Celková měrná tepelná ztráta přes nevytápěný prostor H <sub>T,lue</sub> = Σ <sub>k</sub> A <sub>k</sub> * U <sub>kc</sub> * b <sub>u</sub> (W/K)							0,08	
Tepelné ztráty zeminou								
Ozn.	Popis	A <sub>k</sub>	U <sub>equiv,bf</sub>	A <sub>k</sub> * U <sub>equiv,bf</sub>	f <sub>g1</sub>	f <sub>g2</sub>	G <sub>w</sub>	f <sub>g1</sub> * f <sub>g2</sub> * G <sub>w</sub>
Celková měrná tepelná ztráta zeminou H <sub>T,ig</sub> = (Σ <sub>k</sub> A <sub>k</sub> * U <sub>equiv,bf</sub> ) * f <sub>g1</sub> * f <sub>g2</sub> * G <sub>w</sub> (W/K)							0,00	
Celková měrná tepelná ztráta prostupem H <sub>T,i</sub> = H <sub>T,ie</sub> + H <sub>T,lue</sub> + H <sub>T,ij</sub> + H <sub>T,ig</sub>							2,08	
Θ <sub>int,i</sub>	Θ <sub>e</sub>	Θ <sub>int,i</sub> - Θ <sub>e</sub>	H <sub>t,i</sub>	Návrhová ztráta prostupem Φ <sub>t,i</sub> (W)				
15,0	-15,0	30,0	2,08	62,55				

15

-15

Objem místnosti $V_i$	Výpočtová venkovní teplota $\Theta_e$	Výpočtová vnitřní teplota $\Theta_{int,i}$	Hygienické požadavky	
			$n$ (h <sup>-1</sup> )	$V_{min,i}$ (m <sup>3</sup> /h)
0	-15	15	0,5	0
Počet nechráněných otvorů	$n_{50}$	Činitel zaclonění $e$	Výškový korekční činitel $\epsilon$	Množství vzduchu infiltrací $V_{inf,i}$ (m <sup>3</sup> /h)
1	1	0,03	1	0
Výpočet tepelné ztráty větráním				
max. z $V_{min,i}$ , $V_{inf,i}$		$H_{v,i}$	$\Theta_{int,i} - \Theta_e$	Návrhová tepelná ztráta větráním $\Phi_{V,i}$ (W)
0		0,00	30,0	0,00

<b>CELKOVÝ NÁVRHOVÝ TEPLENÝ VÝKON :</b>	<b>62,55</b>
---	--------------

1.4.2.	Chodba		Výpočtová vnitřní teplota				Výpočtová venkovní teplota	
			20 °C				-15 °C	
Tepelné ztráty přímo do venkovního prostředí								
Ozn.	Popis	A <sub>k</sub>	U <sub>k</sub>	ΔU	U <sub>kc</sub>	e <sub>k</sub>	A <sub>k</sub> * U <sub>kc</sub> * e <sub>k</sub>	
SO	stěna nosná S	3,35	0,164	0,02	0,184	1,00	0,62	
OZ	okno	1,26	0,700	0,00	0,700	1,00	0,88	
Celková měrná tepelná ztráta přímo do venkovního prostředí HT,ie = Σ <sub>k</sub> A <sub>k</sub> * U <sub>kc</sub> * e <sub>k</sub> (W/K)							1,50	
Tepelné ztráty z/do prostorů vytápěných na rozdílné teploty								
Ozn.	Popis	A <sub>k</sub>	U <sub>k</sub>	f <sub>ij</sub>	A <sub>k</sub> * U <sub>k</sub> * f <sub>ij</sub>			
SN	stěna k m.č. 1.4.1	2,30	0,495	0,143	0,163			
SN	stěna k m.č. 1.4.3	2,93	0,495	-0,114	-0,166			
DN	dveře k m.č. 1.4.1	1,77	2,00	0,143	0,506			
DN	dveře k m.č. 1.4.3	1,38	2,00	-0,114	-0,315			
Celková měrná tepelná ztráta z/do prostorů rozdílných teplot H <sub>t,ij</sub> =Σ <sub>k</sub> A <sub>k</sub> * U <sub>k</sub> * f <sub>ij</sub> (W/K)							0,19	
Tepelné ztráty nevytápěným prostorem								
Ozn.	Popis	A <sub>k</sub>	U <sub>k</sub>	ΔU	U <sub>kc</sub>	b <sub>u</sub>	A <sub>k</sub> * U <sub>kc</sub> * ek	
Str	strop nad suterénem	7,33	0,13	0,02	0,15	0,143	0,16	
Celková měrná tepelná ztráta přes nevytápěný prostor H <sub>T,lue</sub> = Σ <sub>k</sub> A <sub>k</sub> * U <sub>kc</sub> * b <sub>u</sub> (W/K)							0,16	
Tepelné ztráty zeminou								
Ozn.	Popis	A <sub>k</sub>	U <sub>equiv,bf</sub>	A <sub>k</sub> * U <sub>equiv,bf</sub>	f <sub>g1</sub>	f <sub>g2</sub>	G <sub>w</sub>	f <sub>g1</sub> * f <sub>g2</sub> * G <sub>w</sub>
Celková měrná tepelná ztráta zeminou H <sub>T,ig</sub> = (Σ <sub>k</sub> A <sub>k</sub> * U <sub>equiv,bf</sub> ) * f <sub>g1</sub> * f <sub>g2</sub> * G <sub>w</sub> (W/K)							0,00	
Celková měrná tepelná ztráta prostupem H <sub>T,i</sub> = H <sub>T,ie</sub> + H <sub>T,lue</sub> + H <sub>T,ij</sub> + H <sub>T,ig</sub>							1,84	
Θ <sub>int,i</sub>	Θ <sub>e</sub>	Θ <sub>int,i</sub> -Θ <sub>e</sub>	H <sub>t,i</sub>	Návrhová ztráta prostupem Φ <sub>i,i</sub> (W)				
20,0	-15,0	35,0	1,84	64,49				

20  
-15

Objem místnosti $V_i$	Výpočtová venkovní teplota $\Theta_e$	Výpočtová vnitřní teplota $\Theta_{int,i}$	Hygienické požadavky	
			$n$ (h <sup>-1</sup> )	$V_{min,i}$ (m <sup>3</sup> /h)
20,46	-15	20	0,5	10,23
Počet nechráněných otvorů	$n_{50}$	Činitel zaclonění $e$	Výškový korekční činitel $\epsilon$	Množství vzduchu infiltrací $V_{inf,i}$ (m <sup>3</sup> /h)
1	1	0,03	1	1,2276
Výpočet tepelné ztráty větráním				
max. z $V_{min,i}$ , $V_{inf,i}$		$H_{v,i}$	$\Theta_{int,i} - \Theta_e$	Návrhová tepelná ztráta větráním $\Phi_{V,i}$ (W)
10,23		3,48	35	<b>121,74</b>
<b>CELKOVÝ NÁVRHOVÝ TEPLENÝ VÝKON :</b>			<b>186,23</b>	



1.4.3.	Koupelna				Výpočtová vnitřní teplota		Výpočtová venkovní teplota	
					24 °C		-15 °C	
Tepelné ztráty přímo do venkovního prostředí								
Ozn.	Popis	A <sub>k</sub>	U <sub>k</sub>	ΔU	U <sub>kc</sub>	e <sub>k</sub>	A <sub>k</sub> * U <sub>kc</sub> * e <sub>k</sub>	
Celková měrná tepelná ztráta přímo do venkovního prostředí HT,ie = Σ <sub>k</sub> A <sub>k</sub> * U <sub>kc</sub> * e <sub>k</sub> (W/K)							0,00	
Tepelné ztráty z/do prostorů vytápěných na rozdílné teploty								
Ozn.	Popis	A <sub>k</sub>	U <sub>k</sub>	f <sub>ij</sub>		A <sub>k</sub> * U <sub>k</sub> * f <sub>ij</sub>		
SN	stěna k m.č. 1.4.1	5,87	0,495	0,257		0,747		
SN	stěna k m.č. 1.4.2	2,95	0,495	0,114		0,167		
DN	dveře k m.č. 1.4.2	1,37	2,000	0,114		0,313		
SN	stěna k m.č. 1.4.4	3,08	0,495	0,114		0,174		
SN	stěna k m.č. 1.3.4	2,93	0,205	0,114		0,069		
Celková měrná tepelná ztráta z/do prostorů rozdílných teplot H <sub>t,ij</sub> = Σ <sub>k</sub> A <sub>k</sub> * U <sub>k</sub> * f <sub>ij</sub> (W/K)							1,47	
Tepelné ztráty nevytápěným prostorem								
Ozn.	Popis	A <sub>k</sub>	U <sub>k</sub>	ΔU	U <sub>kc</sub>	b <sub>u</sub>	A <sub>k</sub> * U <sub>kc</sub> * e <sub>k</sub>	
Str	strop nad suterénem	3,72	0,13	0,02	0,15	0,128	0,07	
Celková měrná tepelná ztráta přes nevytápěný prostor H <sub>T,ue</sub> = Σ <sub>k</sub> A <sub>k</sub> * U <sub>kc</sub> * b <sub>u</sub> (W/K)							0,07	
Tepelné ztráty zeminou								
Ozn.	Popis	A <sub>k</sub>	U <sub>equiv,bf</sub>	A <sub>k</sub> * U <sub>equiv,bf</sub>	f <sub>g1</sub>	f <sub>g2</sub>	G <sub>w</sub>	f <sub>g1</sub> * f <sub>g2</sub> * G <sub>w</sub>
Celková měrná tepelná ztráta zeminou H <sub>T,ig</sub> = (Σ <sub>k</sub> A <sub>k</sub> * U <sub>equiv,bf</sub> ) * f <sub>g1</sub> * f <sub>g2</sub> * G <sub>w</sub> (W/K)							0,00	
Celková měrná tepelná ztráta prostupem H <sub>T,i</sub> = H <sub>T,ie</sub> + H <sub>T,ue</sub> + H <sub>T,ij</sub> + H <sub>T,ig</sub>							1,54	
Θ <sub>int,i</sub>	Θ <sub>e</sub>	Θ <sub>int,i</sub> - Θ <sub>e</sub>	H <sub>t,i</sub>	Návrhová ztráta prostupem Φ <sub>ti</sub> (W)				
24,0	-15,0	39,0	1,54	60,12				

24  
-15

Objem místnosti $V_i$	Výpočtová venkovní teplota $\Theta_e$	Výpočtová vnitřní teplota $\Theta_{int,i}$	Hygienické požadavky	
			$n$ (h <sup>-1</sup> )	$V_{min,i}$ (m <sup>3</sup> /h)
0	-15	24	0,5	0
Počet nechráněných otvorů	$n_{50}$	Činitel zaclonění $e$	Výškový korekční činitel $\epsilon$	Množství vzduchu infiltrací $V_{inf,i}$ (m <sup>3</sup> /h)
1	1	0,03	1	0
Výpočet tepelné ztráty větráním				
max. z $V_{min,i}$ , $V_{inf,i}$		$H_{v,i}$	$\Theta_{int,i} - \Theta_e$	Návrhová tepelná ztráta větráním $\Phi_{V,i}$ (W)
0		0,00	39	<b>0,00</b>

<b>CELKOVÝ NÁVRHOVÝ TEPLENÝ VÝKON :</b>	<b>60,12</b>
---	--------------

1.4.4.	WC		Výpočtová vnitřní teplota				Výpočtová venkovní teplota	
			20 °C				-15 °C	
Tepelné ztráty přímo do venkovního prostředí								
Ozn.	Popis	A <sub>k</sub>	U <sub>k</sub>	ΔU	U <sub>kc</sub>	e <sub>k</sub>	A <sub>k</sub> * U <sub>kc</sub> * e <sub>k</sub>	
Celková měrná tepelná ztráta přímo do venkovního prostředí H <sub>T,ie</sub> = Σ <sub>k</sub> A <sub>k</sub> * U <sub>kc</sub> * e <sub>k</sub> (W/K)							0,00	
Tepelné ztráty z/do prostorů vytápěných na rozdílné teploty								
Ozn.	Popis	A <sub>k</sub>	U <sub>k</sub>	f <sub>ij</sub>		A <sub>k</sub> * U <sub>k</sub> * f <sub>ij</sub>		
SN	stěna k šachtě	2,51	0,495	0,143		0,18		
SN	stěna k m.č. 1.4.2	5,37	0,495	-0,114		-0,30		
Celková měrná tepelná ztráta z/do prostorů rozdílných teplot H <sub>t,ij</sub> =Σ <sub>k</sub> A <sub>k</sub> * U <sub>k</sub> * f <sub>ij</sub> (W/K)						-0,12		
Tepelné ztráty nevytápěným prostorem								
Ozn.	Popis	A <sub>k</sub>	U <sub>k</sub>	ΔU	U <sub>kc</sub>	b <sub>u</sub>	A <sub>k</sub> * U <sub>kc</sub> * b <sub>u</sub>	
STR	strop nad suterénem	1,1	0,13	0,02	0,15	0,143	0,02	
Celková měrná tepelná ztráta přes nevytápěný prostor H <sub>T,iue</sub> = Σ <sub>k</sub> A <sub>k</sub> * U <sub>kc</sub> * b <sub>u</sub> (W/K)							0,02	
Tepelné ztráty zeminou								
Ozn.	Popis	A <sub>k</sub>	U <sub>equiv,bf</sub>	A <sub>k</sub> * U <sub>equiv,bf</sub>	f <sub>g1</sub>	f <sub>g2</sub>	G <sub>w</sub>	f <sub>g1</sub> * f <sub>g2</sub> * G <sub>w</sub>
Celková měrná tepelná ztráta zeminou H <sub>T,ig</sub> = (Σ <sub>k</sub> A <sub>k</sub> * U <sub>equiv,bf</sub> ) * f <sub>g1</sub> * f <sub>g2</sub> * G <sub>w</sub> (W/K)						0,00		
Celková měrná tepelná ztráta prostupem H <sub>T,i</sub> = H <sub>T,ie</sub> + H <sub>T,iue</sub> + H <sub>T,ij</sub> + H <sub>T,ig</sub>						-0,10		
Θ <sub>int,i</sub>	Θ <sub>e</sub>	Θ <sub>int,i</sub> -Θ <sub>e</sub>	H <sub>t,i</sub>	Návrhová ztráta prostupem Φ <sub>t,i</sub> (W)				
20,0	-15,0	35,0	-0,10	-3,38				

Objem místnosti $V_i$	Výpočtová venkovní teplota $\Theta_e$	Výpočtová vnitřní teplota $\Theta_{int,i}$	Hygienické požadavky	
			$n$ (h <sup>-1</sup> )	$V_{min,i}$ (m <sup>3</sup> /h)
0	-15	20	0,5	0
Počet nechráněných otvorů	$n_{50}$	Činitel zaclonění $e$	Výškový korekční činitel $\epsilon$	Množství vzduchu infiltrací $V_{inf,i}$ (m <sup>3</sup> /h)
1	1	0,03	1	0
Výpočet tepelné ztráty větráním				
max. z $V_{min,i}$ , $V_{inf,i}$		$H_{v,i}$	$\Theta_{int,i} - \Theta_e$	Návrhová tepelná ztráta větráním $\Phi_{V,i}$ (W)
0		0,00	35	0,00

CELKOVÝ NÁVRHOVÝ TEPLENÝ VÝKON :	-3,38
----------------------------------	-------

1.4.5.	Ložnice		Výpočtová vnitřní teplota			Výpočtová venkovní teplota	
			20 °C			-15 °C	
Tepelné ztráty přímo do venkovního prostředí							
Ozn.	Popis	A <sub>k</sub>	U <sub>k</sub>	ΔU	U <sub>kc</sub>	e <sub>k</sub>	A <sub>k</sub> * U <sub>kc</sub> * e <sub>k</sub>
SO	stěna nosná V	10,79	0,164	0,02	0,184	1,00	1,99
SO	stěna nosná S	8,15	0,164	0,02	0,184	1,00	1,50
OZ	okno	1,62	0,700	0,00	0,700	1,00	1,13
Celková měrná tepelná ztráta přímo do venkovního prostředí HT,ie = Σ <sub>k</sub> A <sub>k</sub> * U <sub>kc</sub> * e <sub>k</sub> (W/K)							4,62
Tepelné ztráty z/do prostorů vytápěných na rozdílné teploty							
Ozn.	Popis	A <sub>k</sub>	U <sub>k</sub>	f <sub>ij</sub>		A <sub>k</sub> * U <sub>k</sub> * f <sub>ij</sub>	
Celková měrná tepelná ztráta z/do prostorů rozdílných teplot H <sub>t,ij</sub> =Σ <sub>k</sub> A <sub>k</sub> * U <sub>k</sub> * f <sub>ij</sub> (W/K)							0,00
Tepelné ztráty nevytápěným prostorem							
Ozn.	Popis	A <sub>k</sub>	U <sub>k</sub>	ΔU	U <sub>kc</sub>	b <sub>u</sub>	A <sub>k</sub> * U <sub>kc</sub> * e <sub>k</sub>
Str	strop nad suterénem	12,97	0,13	0,02	0,15	0,143	0,28
Celková měrná tepelná ztráta přes nevytápěný prostor H <sub>T,iue</sub> = Σ <sub>k</sub> A <sub>k</sub> * U <sub>kc</sub> * b <sub>u</sub> (W/K)							0,28
Tepelné ztráty zeminou							
Ozn.	Popis	A <sub>k</sub>	U <sub>equiv,bf</sub>	A <sub>k</sub> * U <sub>equiv,bf</sub>	f <sub>g1</sub>	f <sub>g2</sub>	G <sub>w</sub> f <sub>g1</sub> * f <sub>g2</sub> * G <sub>w</sub>
Celková měrná tepelná ztráta zeminou H <sub>T,ig</sub> = (Σ <sub>k</sub> A <sub>k</sub> * U <sub>equiv,bf</sub> ) * f <sub>g1</sub> * f <sub>g2</sub> * G <sub>w</sub> (W/K)							0,00
Celková měrná tepelná ztráta prostupem H <sub>T,j</sub> = H <sub>T,ie</sub> + H <sub>T,iue</sub> + H <sub>T,ij</sub> + H <sub>T,ig</sub>							4,90
Θ <sub>int,i</sub>	Θ <sub>e</sub>	Θ <sub>int,i</sub> - Θ <sub>e</sub>	H <sub>t,i</sub>	Návrhová ztráta prostupem Φ <sub>t,i</sub> (W)			
20,0	-15,0	35,0	4,90	171,39			

20  
-15

Objem místnosti $V_i$	Výpočtová venkovní teplota $\theta_e$	Výpočtová vnitřní teplota $\theta_{int,i}$	Hygienické požadavky	
			$n$ (h <sup>-1</sup> )	$V_{min,i}$ (m <sup>3</sup> /h)
36,22	-15	20	0,5	18,11
Počet nechráněných otvorů	$n_{50}$	Činitel zaclonění $e$	Výškový korekční činitel $\epsilon$	Množství vzduchu infiltrací $V_{inf,i}$ (m <sup>3</sup> /h)
1	1	0,03	1	2,1732
Výpočet tepelné ztráty větráním				
max. z $V_{min,i}$ , $V_{inf,i}$		$H_{v,i}$	$\theta_{int,i} - \theta_e$	Návrhová tepelná ztráta větráním $\Phi_{V,i}$ (W)
18,11		6,16	35	215,51
CELKOVÝ NÁVRHOVÝ TEPLENÝ VÝKON :			386,90	

1.4.6.	Obývací pokoj				Výpočtová vnitřní teplota		Výpočtová venkovní teplota	
					20 °C		-15 °C	
Tepelné ztráty přímo do venkovního prostředí								
Ozn.	Popis	A <sub>k</sub>	U <sub>k</sub>	ΔU	U <sub>kc</sub>	e <sub>k</sub>	A <sub>k</sub> * U <sub>kc</sub> * e <sub>k</sub>	
SO	stěna nosná V	10,97	0,164	0,02	0,184	1,00	2,02	
SO	stěna nosná J	11,65	0,164	0,02	0,184	1,00	2,14	
OZ	okno na balkon	4,83	0,700	0,00	0,700	1,00	3,38	
OZ	okno J	2,70	0,700	0,00	0,700	1,00	1,89	
OZ	okno V	2,25	0,700	0,00	0,700	1,00	1,58	
Celková měrná tepelná ztráta přímo do venkovního prostředí HT,ie = Σk A <sub>k</sub> * U <sub>kc</sub> * e <sub>k</sub> (W/K)							11,01	
Tepelné ztráty z/do prostorů vytápěných na rozdílné teploty								
Ozn.	Popis	A <sub>k</sub>		U <sub>k</sub>		f <sub>ij</sub>		A <sub>k</sub> * U <sub>k</sub> * f <sub>ij</sub>
Celková měrná tepelná ztráta z/do prostorů rozdílných teplot H <sub>T,ij</sub> = Σk A <sub>k</sub> * U <sub>k</sub> * f <sub>ij</sub> (W/K)							0,00	
Tepelné ztráty nevytápěným prostorem								
Ozn.	Popis	A <sub>k</sub>	U <sub>k</sub>	ΔU	U <sub>kc</sub>	b <sub>u</sub>	A <sub>k</sub> * U <sub>kc</sub> * e <sub>k</sub>	
Str	strop nad suterénem	32,51	0,13	0,02	0,15	0,143	0,70	
Celková měrná tepelná ztráta přes nevytápěný prostor H <sub>T,iue</sub> = Σk A <sub>k</sub> * U <sub>kc</sub> * b <sub>u</sub> (W/K)							0,70	
Tepelné ztráty zeminou								
Ozn.	Popis	A <sub>k</sub>	U <sub>equiv,bf</sub>	A <sub>k</sub> * U <sub>equiv,bf</sub>		f <sub>g1</sub>	f <sub>g2</sub>	G <sub>w</sub>   f <sub>g1</sub> * f <sub>g2</sub> * G <sub>w</sub>
Celková měrná tepelná ztráta zeminou H <sub>T,ig</sub> = (Σk A <sub>k</sub> * U <sub>equiv,bf</sub> ) * f <sub>g1</sub> * f <sub>g2</sub> * G <sub>w</sub> (W/K)							0,00	
Celková měrná tepelná ztráta prostupem H <sub>T,i</sub> = H <sub>T,ie</sub> + H <sub>T,iue</sub> + H <sub>T,ij</sub> + H <sub>T,ig</sub>							11,70	
Θ <sub>int,i</sub>	Θ <sub>e</sub>	Θ <sub>int,i</sub> - Θ <sub>e</sub>		H <sub>t,i</sub>		Návrhová ztráta prostupem Φ <sub>q,i</sub> (W)		
20,0	-15,0	35,0		11,70		409,67		

20  
-15

Objem místnosti $V_i$	Výpočtová venkovní teplota $\Theta_e$	Výpočtová vnitřní teplota $\Theta_{int,i}$	Hygienické požadavky	
			$n$ (h <sup>-1</sup> )	$V_{min,i}$ (m <sup>3</sup> /h)
90,8	-15	20	0,5	45,4
Počet nechráněných otvorů	$n_{50}$	Činitel zaclonění $e$	Výškový korekční činitel $\epsilon$	Množství vzduchu infiltrací $V_{inf,i}$ (m <sup>3</sup> /h)
3	1	0,03	1	16,34
Výpočet tepelné ztráty větráním				
max. z $V_{min,i}$ , $V_{inf,i}$		$H_{v,i}$	$\Theta_{int,i} - \Theta_e$	Návrhová tepelná ztráta větráním $\Phi_{V,i}$ (W)
45,4		15,44	35	540,26

CELKOVÝ NÁVRHOVÝ TEPLENÝ VÝKON :	949,93
----------------------------------	--------

2.1.1.	Zádveří		Výpočtová vnitřní teplota				Výpočtová venkovní teplota	
			15 °C				-15 °C	
Tepelné ztráty přímo do venkovního prostředí								
Ozn.	Popis	A <sub>k</sub>	U <sub>k</sub>	ΔU	U <sub>kc</sub>	e <sub>k</sub>	A <sub>k</sub> * U <sub>kc</sub> * e <sub>k</sub>	
SO	stěna nosná V	2,39	0,172	0,02	0,192	1,00	0,46	
SO	stěna nosná S	6,33	0,172	0,02	0,192	1,00	1,22	
DO	vstupní dveře	1,80	1,200	0,00	1,200	1,00	2,16	
Celková měrná tepelná ztráta přímo do venkovního prostředí HT,ie = Σ <sub>k</sub> A <sub>k</sub> * U <sub>kc</sub> * e <sub>k</sub> (W/K)							3,83	
Tepelné ztráty z/do prostorů vytápěných na rozdílne teploty								
Ozn.	Popis	A <sub>k</sub>	U <sub>k</sub>	f <sub>ij</sub>		A <sub>k</sub> * U <sub>k</sub> * f <sub>ij</sub>		
SN	stěna k m.č. 2.4.2	2,39	0,495	-0,167		-0,197		
DN	dveře k m.č. 2.4.2	1,77	2,00	-0,167		-0,590		
SN	stěna k m.č. 2.4.3	5,87	0,495	-0,300		-0,872		
Celková měrná tepelná ztráta z/do prostorů rozdílných teplot H <sub>T,ij</sub> = Σ <sub>k</sub> A <sub>k</sub> * U <sub>k</sub> * f <sub>ij</sub> (W/K)							-1,66	
Tepelné ztráty nevytápěným prostorem								
Ozn.	Popis	A <sub>k</sub>	U <sub>k</sub>	ΔU	U <sub>kc</sub>	b <sub>u</sub>	A <sub>k</sub> * U <sub>kc</sub> * e <sub>k</sub>	
Celková měrná tepelná ztráta přes nevytápěný prostor H <sub>T,iue</sub> = Σ <sub>k</sub> A <sub>k</sub> * U <sub>kc</sub> * b <sub>u</sub> (W/K)							0,00	
Tepelné ztráty zeminou								
Ozn.	Popis	A <sub>k</sub>	U <sub>equiv,bf</sub>	A <sub>k</sub> * U <sub>equiv,bf</sub>	f <sub>g1</sub>	f <sub>g2</sub>	G <sub>w</sub>	f <sub>g1</sub> * f <sub>g2</sub> * G <sub>w</sub>
Celková měrná tepelná ztráta zeminou H <sub>T,ig</sub> = (Σ <sub>k</sub> A <sub>k</sub> * U <sub>equiv,bf</sub> ) * f <sub>g1</sub> * f <sub>g2</sub> * G <sub>w</sub> (W/K)							0,00	
Celková měrná tepelná ztráta prostupem H <sub>T,i</sub> = H <sub>T,ie</sub> + H <sub>T,iue</sub> + H <sub>T,ij</sub> + H <sub>T,ig</sub>							2,18	
Θ <sub>int,i</sub>	Θ <sub>e</sub>	Θ <sub>int,i</sub> - Θ <sub>e</sub>	H <sub>t,i</sub>		Návrhová ztráta prostupem Φ <sub>u,i</sub> (W)			
15,0	-15,0	30,0	2,18		65,26			

15  
-15

Objem místnosti $V_i$	Výpočtová venkovní teplota $\Theta_e$	Výpočtová vnitřní teplota $\Theta_{int,i}$	Hygienické požadavky	
			$n$ (h <sup>-1</sup> )	$V_{min,i}$ (m <sup>3</sup> /h)
0	-15	15	0,5	0
Počet nechráněných otvorů	$n_{50}$	Činitel zaclonění $e$	Výškový korekční činitel $\epsilon$	Množství vzduchu infiltrací $V_{inf,i}$ (m <sup>3</sup> /h)
1	1	0,03	1	0
Výpočet tepelné ztráty větráním				
max. z $V_{min,i}$ , $V_{inf,i}$		$H_{v,i}$	$\Theta_{int,i} - \Theta_e$	Návrhová tepelná ztráta větráním $\Phi_{V,i}$ (W)
0		0,00	30,0	0,00

CELKOVÝ NÁVRHOVÝ TEPLENÝ VÝKON :	65,26
----------------------------------	-------

2.1.2.	Chodba				Výpočtová vnitřní teplota		Výpočtová venkovní teplota	
					20 °C		-15 °C	
Tepelné ztráty přímo do venkovního prostředí								
Ozn.	Popis	A <sub>k</sub>	U <sub>k</sub>	ΔU	U <sub>kc</sub>	e <sub>k</sub>	A <sub>k</sub> * U <sub>kc</sub> * e <sub>k</sub>	
SO	stěna nosná S	4,42	0,172	0,02	0,192	1,00	0,85	
OZ	okno	1,26	0,700	0,00	0,700	1,00	0,88	
Celková měrná tepelná ztráta přímo do venkovního prostředí HT,ie = Σ <sub>k</sub> A <sub>k</sub> * U <sub>kc</sub> * e <sub>k</sub> (W/K)							1,73	
Tepelné ztráty z/do prostorů vytápěných na rozdílné teploty								
Ozn.	Popis	A <sub>k</sub>	U <sub>k</sub>	f <sub>ij</sub>	A <sub>k</sub> * U <sub>k</sub> * f <sub>ij</sub>			
SN	stěna k m.č. 2.1.1	2,42	0,495	0,143	0,171			
DN	dveře k m.č. 2.1.1	1,77	2,00	0,143	0,506			
SN	stěna k m.č. 2.1.3	3,07	0,495	-0,114	-0,174			
DN	dveře k m.č. 2.1.3	1,37	2,00	-0,114	-0,313			
Celková měrná tepelná ztráta z/do prostorů rozdílných teplot H <sub>t,ij</sub> = Σ <sub>k</sub> A <sub>k</sub> * U <sub>k</sub> * f <sub>ij</sub> (W/K)							0,19	
Tepelné ztráty nevytápěným prostorem								
Ozn.	Popis	A <sub>k</sub>	U <sub>k</sub>	ΔU	U <sub>kc</sub>	b <sub>u</sub>	A <sub>k</sub> * U <sub>kc</sub> * e <sub>k</sub>	
Celková měrná tepelná ztráta přes nevytápěný prostor H <sub>T,iue</sub> = Σ <sub>k</sub> A <sub>k</sub> * U <sub>kc</sub> * b <sub>u</sub> (W/K)							0,00	
Tepelné ztráty zeminou								
Ozn.	Popis	A <sub>k</sub>	U <sub>equiv,bf</sub>	A <sub>k</sub> * U <sub>equiv,bf</sub>	f <sub>g1</sub>	f <sub>g2</sub>	G <sub>w</sub>	f <sub>g1</sub> * f <sub>g2</sub> * G <sub>w</sub>
Celková měrná tepelná ztráta zeminou H <sub>T,ig</sub> = (Σ <sub>k</sub> A <sub>k</sub> * U <sub>equiv,bf</sub> ) * f <sub>g1</sub> * f <sub>g2</sub> * G <sub>w</sub> (W/K)							0,00	
Celková měrná tepelná ztráta prostupem H <sub>T,i</sub> = H <sub>T,ie</sub> + H <sub>T,iue</sub> + H <sub>T,ij</sub> + H <sub>T,ig</sub>							1,92	
Θ <sub>int,i</sub>	Θ <sub>e</sub>	Θ <sub>int,i</sub> - Θ <sub>e</sub>	H <sub>t,i</sub>	Návrhová ztráta prostupem Φ <sub>t,i</sub> (W)				
20,0	-15,0	35,0	1,92	67,22				

20  
-15

Objem místnosti $V_i$	Výpočtová venkovní teplota $\Theta_e$	Výpočtová vnitřní teplota $\Theta_{int,i}$	Hygienické požadavky	
			$n$ (h <sup>-1</sup> )	$V_{min,i}$ (m <sup>3</sup> /h)
20,31	-15	20	0,5	10,155
Počet nechráněných otvorů	$n_{50}$	Činitel zaclonění $e$	Výškový korekční činitel $\epsilon$	Množství vzduchu infiltrací $V_{inf,i}$ (m <sup>3</sup> /h)
1	1	0,03	1	1,2186
Výpočet tepelné ztráty větráním				
max. z $V_{min,i}$ , $V_{inf,i}$		$H_{v,i}$	$\Theta_{int,i} - \Theta_e$	Návrhová tepelná ztráta větráním $\Phi_{V,i}$ (W)
10,155		3,45	35	<b>120,84</b>

<b>CELKOVÝ NÁVRHOVÝ TEPLENÝ VÝKON :</b>	<b>188,07</b>
---	---------------

2.1.3.	Koupelna		Výpočtová vnitřní teplota				Výpočtová venkovní teplota	
			24 °C				-15 °C	
Tepelné ztráty přímo do venkovního prostředí								
Ozn.	Popis	A <sub>k</sub>	U <sub>k</sub>	ΔU	U <sub>kc</sub>	e <sub>k</sub>	A <sub>k</sub> * U <sub>kc</sub> * e <sub>k</sub>	
Celková měrná tepelná ztráta přímo do venkovního prostředí HT,ie = Σ <sub>k</sub> A <sub>k</sub> * U <sub>kc</sub> * e <sub>k</sub> (W/K)							0,00	
Tepelné ztráty z/do prostorů vytápěných na rozdílné teploty								
Ozn.	Popis	A <sub>k</sub>	U <sub>k</sub>	f <sub>ij</sub>		A <sub>k</sub> * U <sub>k</sub> * f <sub>ij</sub>		
SN	stěna k m.č. 2.1.1	6,33	0,495	0,257		0,806		
SN	stěna k m.č. 2.1.2	3,07	0,495	0,114		0,174		
DN	dveře k m.č. 2.1.2	1,38	2,000	0,114		0,315		
SN	stěna k m.č. 2.1.4	5,77	0,495	0,114		0,326		
SN	stěna k m.č. 2.2.4	3,33	0,205	0,114		0,078		
Celková měrná tepelná ztráta z/do prostorů rozdílných teplot H <sub>t,ij</sub> =Σ <sub>k</sub> A <sub>k</sub> * U <sub>k</sub> * f <sub>ij</sub> (W/K)							1,70	
Tepelné ztráty nevytápěným prostorem								
Ozn.	Popis	A <sub>k</sub>	U <sub>k</sub>	ΔU	U <sub>kc</sub>	b <sub>u</sub>	A <sub>k</sub> * U <sub>kc</sub> * ek	
Celková měrná tepelná ztráta přes nevytápěný prostor H <sub>T,lue</sub> = Σ <sub>k</sub> A <sub>k</sub> * U <sub>kc</sub> * b <sub>u</sub> (W/K)							0,00	
Tepelné ztráty zeminou								
Ozn.	Popis	A <sub>k</sub>	U <sub>equiv,bf</sub>	A <sub>k</sub> * U <sub>equiv,bf</sub>	f <sub>g1</sub>	f <sub>g2</sub>	G <sub>w</sub>	f <sub>g1</sub> * f <sub>g2</sub> * G <sub>w</sub>
Celková měrná tepelná ztráta zeminou H <sub>T,ig</sub> = (Σ <sub>k</sub> A <sub>k</sub> * U <sub>equiv,bf</sub> ) * f <sub>g1</sub> * f <sub>g2</sub> * G <sub>w</sub> (W/K)							0,00	
Celková měrná tepelná ztráta prostupem H <sub>T,i</sub> = H <sub>T,ie</sub> + H <sub>T,lue</sub> + H <sub>T,ij</sub> + H <sub>T,ig</sub>							1,70	
Θ <sub>int,i</sub>	Θ <sub>e</sub>	Θ <sub>int,i</sub> -Θ <sub>e</sub>	H <sub>t,i</sub>	Návrhová ztráta prostupem Φ <sub>t,i</sub> (W)				
24,0	-15,0	39,0	1,70	66,27				

24  
-15

Objem místnosti $V_i$	Výpočtová venkovní teplota $\theta_e$	Výpočtová vnitřní teplota $\theta_{int,i}$	Hygienické požadavky	
			$n$ (h <sup>-1</sup> )	$V_{min,i}$ (m <sup>3</sup> /h)
0	-15	24	0,5	0
Počet nechráněných otvorů	$n_{50}$	Činitel zaclonění $e$	Výškový korekční činitel $\epsilon$	Množství vzduchu infiltrací $V_{inf,i}$ (m <sup>3</sup> /h)
1	1	0,03	1	0
Výpočet tepelné ztráty větráním				
max. z $V_{min,i}$ , $V_{inf,i}$		$H_{v,i}$	$\theta_{int,i} - \theta_e$	Návrhová tepelná ztráta větráním $\Phi_{V,i}$ (W)
0		0,00	39	0,00
CELKOVÝ NÁVRHOVÝ TEPLENÝ VÝKON :			66,27	

2.1.4.	WC		Výpočtová vnitřní teplota				Výpočtová venkovní teplota	
			20 °C				-15 °C	
Tepelné ztráty přímo do venkovního prostředí								
Ozn.	Popis	A <sub>k</sub>	U <sub>k</sub>	ΔU	U <sub>kc</sub>	e <sub>k</sub>	A <sub>k</sub> * U <sub>kc</sub> * e <sub>k</sub>	
Celková měrná tepelná ztráta přímo do venkovního prostředí HT,ie = Σ <sub>k</sub> A <sub>k</sub> * U <sub>kc</sub> * e <sub>k</sub> (W/K)							0,00	
Tepelné ztráty z/do prostorů vytápěných na rozdílné teploty								
Ozn.	Popis	A <sub>k</sub>	U <sub>k</sub>	f <sub>ij</sub>		A <sub>k</sub> * U <sub>k</sub> * f <sub>ij</sub>		
SN	stěna k šachtě	2,51	0,495	0,143		0,18		
SN	stěna k m.č. 2.1.3	5,77	0,495	-0,114		-0,33		
Celková měrná tepelná ztráta z/do prostorů rozdílných teplot H <sub>t,ij</sub> =Σ <sub>k</sub> A <sub>k</sub> * U <sub>k</sub> * f <sub>ij</sub> (W/K)						-0,15		
Tepelné ztráty nevytápěným prostorem								
Ozn.	Popis	A <sub>k</sub>	U <sub>k</sub>	ΔU	U <sub>kc</sub>	b <sub>u</sub>	A <sub>k</sub> * U <sub>kc</sub> * b <sub>u</sub>	
STR	strop 1.NP	1,84	0,14	0,02	0,16	-0,114	-0,03	
Celková měrná tepelná ztráta přes nevytápěný prostor H <sub>T,iue</sub> = Σk A <sub>k</sub> * U <sub>kc</sub> * b <sub>u</sub> (W/K)							-0,03	
Tepelné ztráty zeminou								
Ozn.	Popis	A <sub>k</sub>	U <sub>equiv,bf</sub>	A <sub>k</sub> * U <sub>equiv,bf</sub>	f <sub>g1</sub>	f <sub>g2</sub>	G <sub>w</sub>	f <sub>g1</sub> * f <sub>g2</sub> * G <sub>w</sub>
Celková měrná tepelná ztráta zeminou H <sub>T,ig</sub> = (Σ <sub>k</sub> A <sub>k</sub> * U <sub>equiv,bf</sub> ) * f <sub>g1</sub> * f <sub>g2</sub> * G <sub>w</sub> (W/K)						0,00		
Celková měrná tepelná ztráta prostupem H <sub>T,i</sub> = H <sub>T,ie</sub> + H <sub>T,iue</sub> + H <sub>T,ij</sub> + H <sub>T,ig</sub>						-0,18		
Θ <sub>int,i</sub>	Θ <sub>e</sub>	Θ <sub>int,i</sub> -Θ <sub>e</sub>	H <sub>t,i</sub>	Návrhová ztráta prostupem Φ <sub>ti</sub> (W)				
20,0	-15,0	35,0	-0,18	-6,39				

20  
-15

15  
24

Objem místnosti $V_i$	Výpočtová venkovní teplota $\Theta_e$	Výpočtová vnitřní teplota $\Theta_{int,i}$	Hygienické požadavky	
			$n$ (h <sup>-1</sup> )	$V_{min,i}$ (m <sup>3</sup> /h)
0	-15	20	0,5	0
Počet nechráněných otvorů	$n_{50}$	Činitel zaclonění $e$	Výškový korekční činitel $\epsilon$	Množství vzduchu infiltrací $V_{inf,i}$ (m <sup>3</sup> /h)
1	1	0,03	1	0
Výpočet tepelné ztráty větráním				
max. z $V_{min,i}$ , $V_{inf,i}$		$H_{v,i}$	$\Theta_{int,i} - \Theta_e$	Návrhová tepelná ztráta větráním $\Phi_{V,i}$ (W)
0		0,00	35	0,00

CELKOVÝ NÁVRHOVÝ TEPLENÝ VÝKON :	-6,39
----------------------------------	-------



2.1.5.	Ložnice		Výpočtová vnitřní teplota				Výpočtová venkovní teplota	
			20 °C				-15 °C	
Tepelné ztráty přímo do venkovního prostředí								
Ozn.	Popis	A <sub>k</sub>	U <sub>k</sub>	ΔU	U <sub>kc</sub>	e <sub>k</sub>	A <sub>k</sub> * U <sub>kc</sub> * e <sub>k</sub>	
SO	stěna nosná S	8,15	0,172	0,02	0,192	1,00	1,56	
SO	stěna nosná Z	10,79	0,172	0,02	0,192	1,00	2,07	
OZ	okno Z	0,78	0,700	0,00	0,700	1,00	0,55	
OZ	okno Z	1,26	0,700	0,00	0,700	1,00	0,88	
Celková měrná tepelná ztráta přímo do venkovního prostředí HT,ie = Σ <sub>k</sub> A <sub>k</sub> * U <sub>kc</sub> * e <sub>k</sub> (W/K)							5,06	
Tepelné ztráty z/do prostorů vytápěných na rozdílné teploty								
Ozn.	Popis	A <sub>k</sub>	U <sub>k</sub>	f <sub>ij</sub>			A <sub>k</sub> * U <sub>k</sub> * f <sub>ij</sub>	
Celková měrná tepelná ztráta z/do prostorů rozdílných teplot H <sub>t,ij</sub> =Σ <sub>k</sub> A <sub>k</sub> * U <sub>k</sub> * f <sub>ij</sub> (W/K)							0,00	
Tepelné ztráty nevytápěným prostorem								
Ozn.	Popis	A <sub>k</sub>	U <sub>k</sub>	ΔU	U <sub>kc</sub>	b <sub>u</sub>	A <sub>k</sub> * U <sub>kc</sub> * e <sub>k</sub>	
Celková měrná tepelná ztráta přes nevytápěný prostor H <sub>T,lue</sub> = Σ <sub>k</sub> A <sub>k</sub> * U <sub>kc</sub> * b <sub>u</sub> (W/K)							0,00	
Tepelné ztráty zeminou								
Ozn.	Popis	A <sub>k</sub>	U <sub>equiv,bf</sub>	A <sub>k</sub> * U <sub>equiv,bf</sub>	f <sub>g1</sub>	f <sub>g2</sub>	G <sub>w</sub>	f <sub>g1</sub> * f <sub>g2</sub> * G <sub>w</sub>
Celková měrná tepelná ztráta zeminou H <sub>T,ig</sub> = (Σ <sub>k</sub> A <sub>k</sub> * U <sub>equiv,bf</sub> ) * f <sub>g1</sub> * f <sub>g2</sub> * G <sub>w</sub> (W/K)							0,00	
Celková měrná tepelná ztráta prostupem H <sub>T,j</sub> = H <sub>T,ie</sub> + H <sub>T,lue</sub> + H <sub>T,ij</sub> + H <sub>T,ig</sub>							5,06	
Θ <sub>int,i</sub>	Θ <sub>e</sub>	Θ <sub>int,i</sub> - Θ <sub>e</sub>	H <sub>t,i</sub>	Návrhová ztráta prostupem Φ <sub>t,i</sub> (W)				
20,0	-15,0	35,0	5,06	177,26				

20

-15

P=54,16m

B=6

Objem místnosti $V_i$	Výpočtová venkovní teplota $\Theta_e$	Výpočtová vnitřní teplota $\Theta_{int,i}$	Hygienické požadavky	
			$n$ (h <sup>-1</sup> )	$V_{min,i}$ (m <sup>3</sup> /h)
37,44	-15	20	0,5	18,72
Počet nechráněných otvorů	n50	Činitel zaclonění $e$	Výškový korekční činitel $\epsilon$	Množství vzduchu infiltrací $V_{inf,i}$ (m <sup>3</sup> /h)
2	1	0,05	1	7,488
Výpočet tepelné ztráty větráním				
max. z $V_{min,i}$ , $V_{inf,i}$		$H_{v,i}$	$\Theta_{int,i} - \Theta_e$	Návrhová tepelná ztráta větráním $\Phi_{V,i}$ (W)
18,72		6,36	35	222,77

<b>CELKOVÝ NÁVRHOVÝ TEPLENÝ VÝKON :</b>	<b>400,02</b>
---	---------------

2.1.6.	Pokoj +kk			Výpočtová vnitřní teplota			Výpočtová venkovní teplota	
				20 °C			-15 °C	
Tepelné ztráty přímo do venkovního prostředí								
Ozn.	Popis	A <sub>k</sub>	U <sub>k</sub>	ΔU	U <sub>kc</sub>	e <sub>k</sub>	A <sub>k</sub> * U <sub>kc</sub> * e <sub>k</sub>	
SO	stěna nosná J	11,43	0,172	0,02	0,192	1,00	2,19	
SO	stěna nosná Z	12,10	0,172	0,02	0,192	1,00	2,32	
OZ	okno Z	1,26	0,700	0,00	0,700	1,00	0,88	
OZ	okno J	3,20	0,700	0,00	0,700	1,00	2,24	
OZ	okno J	4,83	0,700	0,00	0,700	1,00	3,38	
Celková měrná tepelná ztráta přímo do venkovního prostředí H <sub>T,ie</sub> = Σ <sub>k</sub> A <sub>k</sub> * U <sub>kc</sub> * e <sub>k</sub> (W/K)							11,02	
Tepelné ztráty z/do prostorů vytápěných na rozdílné teploty								
Ozn.	Popis	A <sub>k</sub>		U <sub>k</sub>		f <sub>ij</sub>		A <sub>k</sub> * U <sub>k</sub> * f <sub>ij</sub>
Celková měrná tepelná ztráta z/do prostorů rozdílných teplot H <sub>T,ij</sub> = Σ <sub>k</sub> A <sub>k</sub> * U <sub>k</sub> * f <sub>ij</sub> (W/K)							0,00	
Tepelné ztráty nevytápěným prostorem								
Ozn.	Popis	A <sub>k</sub>	U <sub>k</sub>	ΔU	U <sub>kc</sub>	b <sub>u</sub>	A <sub>k</sub> * U <sub>kc</sub> * e <sub>k</sub>	
Celková měrná tepelná ztráta přes nevytápěný prostor H <sub>T,lue</sub> = Σ <sub>k</sub> A <sub>k</sub> * U <sub>kc</sub> * b <sub>u</sub> (W/K)							0,00	
Tepelné ztráty zeminou								
Ozn.	Popis	A <sub>k</sub>	U <sub>equiv,bf</sub>	A <sub>k</sub> * U <sub>equiv,bf</sub>		f <sub>g1</sub>	f <sub>g2</sub>	G <sub>w</sub>   f <sub>g1</sub> * f <sub>g2</sub> * G <sub>w</sub>
Celková měrná tepelná ztráta zeminou H <sub>T,ig</sub> = (Σ <sub>k</sub> A <sub>k</sub> * U <sub>equiv,bf</sub> ) * f <sub>g1</sub> * f <sub>g2</sub> * G <sub>w</sub> (W/K)							0,00	
Celková měrná tepelná ztráta prostupem H <sub>T,i</sub> = H <sub>T,ie</sub> + H <sub>T,lue</sub> + H <sub>T,ij</sub> + H <sub>T,ig</sub>							11,02	
Θ <sub>int,i</sub>	Θ <sub>e</sub>	Θ <sub>int,i</sub> - Θ <sub>e</sub>		H <sub>t,i</sub>		Návrhová ztráta prostupem Φ <sub>q,i</sub> (W)		
20,0	-15,0	35,0		11,02		385,73		

20  
-15

P=54,16m

B=6

Objem místnosti $V_i$	Výpočtová venkovní teplota $\theta_e$	Výpočtová vnitřní teplota $\theta_{int,i}$	Hygienické požadavky	
			$n$ (h <sup>-1</sup> )	$V_{min,i}$ (m <sup>3</sup> /h)
93,09	-15	20	0,5	46,545
Počet nechráněných otvorů	$n_{50}$	Činitel zaclonění $e$	Výškový korekční činitel $\epsilon$	Množství vzduchu infiltrací $V_{inf,i}$ (m <sup>3</sup> /h)
2	1	0,05	1	18,618
Výpočet tepelné ztráty větráním				
max. z $V_{min,i}$ , $V_{inf,i}$		$H_{v,i}$	$\theta_{int,i} - \theta_e$	Návrhová tepelná ztráta větráním $\Phi_{V,i}$ (W)
46,545		15,83	35	553,89

<b>CELKOVÝ NÁVRHOVÝ TEPLENÝ VÝKON :</b>	<b>939,61</b>
---	---------------

2.2.1.	Chodba		Výpočtová vnitřní teplota			Výpočtová venkovní teplota		
			20 °C			-15 °C		
Tepelné ztráty přímo do venkovního prostředí								
Ozn.	Popis	A <sub>k</sub>	U <sub>k</sub>	ΔU	U <sub>kc</sub>	e <sub>k</sub>	A <sub>k</sub> * U <sub>kc</sub> * e <sub>k</sub>	
SO	stěna nosná S	6,72	0,172	0,02	0,192	1,00	1,29	
DO	dveře vstupní	1,80	1,200	0,00	1,200	1,00	2,16	
Celková měrná tepelná ztráta přímo do venkovního prostředí HT,ie = Σ <sub>k</sub> A <sub>k</sub> * U <sub>kc</sub> * e <sub>k</sub> (W/K)							3,45	
Tepelné ztráty z/do prostorů vytápěných na rozdílné teploty								
Ozn.	Popis	A <sub>k</sub>	U <sub>k</sub>	f <sub>ij</sub>	A <sub>k</sub> * U <sub>k</sub> * f <sub>ij</sub>			
SN	stěna k m.č. 2.2.2	3,44	0,495	-0,114	-0,19			
DN	dveře k m.č. 2.2.2	1,38	2,000	-0,114	-0,32			
Celková měrná tepelná ztráta z/do prostorů rozdílných teplot H <sub>t,ij</sub> =Σ <sub>k</sub> A <sub>k</sub> * U <sub>k</sub> * f <sub>ij</sub> (W/K)							-0,51	
Tepelné ztráty nevytápěným prostorem								
Ozn.	Popis	A <sub>k</sub>	U <sub>k</sub>	ΔU	U <sub>kc</sub>	b <sub>u</sub>	A <sub>k</sub> * U <sub>kc</sub> * e <sub>k</sub>	
Celková měrná tepelná ztráta přes nevytápěný prostor H <sub>T,lue</sub> = Σ <sub>k</sub> A <sub>k</sub> * U <sub>kc</sub> * b <sub>u</sub> (W/K)							0,00	
Tepelné ztráty zeminou								
Ozn.	Popis	A <sub>k</sub>	U <sub>equiv,bf</sub>	A <sub>k</sub> * U <sub>equiv,bf</sub>	f <sub>g1</sub>	f <sub>g2</sub>	G <sub>w</sub>	f <sub>g1</sub> * f <sub>g2</sub> * G <sub>w</sub>
Celková měrná tepelná ztráta zeminou H <sub>T,ig</sub> = (Σ <sub>k</sub> A <sub>k</sub> * U <sub>equiv,bf</sub> ) * f <sub>g1</sub> * f <sub>g2</sub> * G <sub>w</sub> (W/K)							0,00	
Celková měrná tepelná ztráta prostupem H <sub>T,i</sub> = H <sub>T,ie</sub> + H <sub>T,lue</sub> + H <sub>T,ij</sub> + H <sub>T,ig</sub>							2,94	
Θ <sub>int,i</sub>	Θ <sub>e</sub>	Θ <sub>int,i</sub> - Θ <sub>e</sub>	H <sub>t,i</sub>	Návrhová ztráta prostupem Φ <sub>t,i</sub> (W)				
20,0	-15,0	35,0	2,94	102,91				

20  
-15

24  
24

P=54,16m

B=6

Objem místnosti $V_i$	Výpočtová venkovní teplota $\theta_e$	Výpočtová vnitřní teplota $\theta_{int,i}$	Hygienické požadavky	
			$n$ (h <sup>-1</sup> )	$V_{min,i}$ (m <sup>3</sup> /h)
0	-15	20	0,5	0
Počet nechráněných otvorů	$n_{50}$	Činitel zaclonění $e$	Výškový korekční činitel $\epsilon$	Množství vzduchu infiltrací $V_{inf,i}$ (m <sup>3</sup> /h)
0	0	0	0	0
Výpočet tepelné ztráty větráním				
max. z $V_{min,i}$ , $V_{inf,i}$		$H_{v,i}$	$\theta_{int,i} - \theta_e$	Návrhová tepelná ztráta větráním $\Phi_{V,i}$ (W)
0		0,00	35	<b>0,00</b>

<b>CELKOVÝ NÁVRHOVÝ TEPLENÝ VÝKON :</b>	<b>102,91</b>
---	---------------

2.2.2.	Koupelna			Výpočtová vnitřní teplota		Výpočtová venkovní teplota	
				24 °C		-15 °C	
Tepelné ztráty přímo do venkovního prostředí							
Ozn.	Popis	A <sub>k</sub>	U <sub>k</sub>	ΔU	U <sub>kc</sub>	e <sub>k</sub>	A <sub>k</sub> * U <sub>kc</sub> * e <sub>k</sub>
SO	stěna nosná S	5,88	0,172	0,02	0,192	1,00	1,13
SO	stěna nosná Z	5,78	0,172	0,02	0,192	1,00	1,11
OZ	okno	0,78	0,700	0,00	0,700	1,00	0,55
Celková měrná tepelná ztráta přímo do venkovního prostředí HT,ie = Σ <sub>k</sub> A <sub>k</sub> * U <sub>kc</sub> * e <sub>k</sub> (W/K)							2,78
Tepelné ztráty z/do prostorů vytápěných na rozdílné teploty							
Ozn.	Popis	A <sub>k</sub>	U <sub>k</sub>	f <sub>ij</sub>		A <sub>k</sub> * U <sub>k</sub> * f <sub>ij</sub>	
SN	stěna k m.č. 2.2.1	3,84	0,495	0,103		0,19	
SN	stěna k m.č. 2.2.3	6,66	0,495	0,103		0,34	
DN	dveře k m. č. 2.2.1	1,38	2,000	0,103		0,28	
Celková měrná tepelná ztráta z/do prostorů rozdílných teplot HT,ij =Σ <sub>k</sub> A <sub>k</sub> * U <sub>k</sub> * f <sub>ij</sub> (W/K)							0,82
Tepelné ztráty nevytápěným prostorem							
Ozn.	Popis	A <sub>k</sub>	U <sub>k</sub>	ΔU	U <sub>kc</sub>	b <sub>u</sub>	A <sub>k</sub> * U <sub>kc</sub> * e <sub>k</sub>
Celková měrná tepelná ztráta přes nevytápěný prostor HT,iue = Σ <sub>k</sub> A <sub>k</sub> * U <sub>kc</sub> * b <sub>u</sub> (W/K)							0,00
Tepelné ztráty zeminou							
Ozn.	Popis	A <sub>k</sub>	U <sub>equiv,bf</sub>	A <sub>k</sub> * U <sub>equiv,bf</sub>	f <sub>g1</sub>	f <sub>g2</sub>	G <sub>w</sub>   f <sub>g1</sub> * f <sub>g2</sub> * G <sub>w</sub>
Celková měrná tepelná ztráta zeminou HT,ig = (Σ <sub>k</sub> A <sub>k</sub> * U <sub>equiv,bf</sub> ) * f <sub>g1</sub> * f <sub>g2</sub> * G <sub>w</sub> (W/K)							0,00
Celková měrná tepelná ztráta prostupem HT,i = HT,ie + HT,iue + HT,ij + HT,ig							3,60
Θ <sub>int,i</sub>	Θ <sub>e</sub>	Θ <sub>int,i</sub> -Θ <sub>e</sub>	H <sub>t,i</sub>		Návrhová ztráta prostupem Φ <sub>t,i</sub> (W)		
24,0	-15,0	39,0	3,60		140,43		

P=54,16m

B=6

Objem místnosti $V_i$	Výpočtová venkovní teplota $\Theta_e$	Výpočtová vnitřní teplota $\Theta_{int,i}$	Hygienické požadavky	
			$n$ (h <sup>-1</sup> )	$V_{min,i}$ (m <sup>3</sup> /h)
12,95	-15	24	1,5	19,425
Počet nechráněných otvorů	$n_{50}$	Činitel zaclonění $e$	Výškový korekční činitel $\epsilon$	Množství vzduchu infiltrací $V_{inf,i}$ (m <sup>3</sup> /h)
1	4	0,03	1	3,108
Výpočet tepelné ztráty větráním				
max. z $V_{min,i}$ , $V_{inf,i}$		$H_{v,i}$	$\Theta_{int,i} - \Theta_e$	Návrhová tepelná ztráta větráním $\Phi_{V,i}$ (W)
19,425		6,60	39	257,58

CELKOVÝ NÁVRHOVÝ TEPLENÝ VÝKON :	398,01
----------------------------------	--------

2.2.3.	WC		Výpočtová vnitřní teplota				Výpočtová venkovní teplota	
			20 °C				-15 °C	
Tepelné ztráty přímo do venkovního prostředí								
Ozn.	Popis	A <sub>k</sub>	U <sub>k</sub>	ΔU	U <sub>kc</sub>	e <sub>k</sub>	A <sub>k</sub> * U <sub>kc</sub> * e <sub>k</sub>	
SO	stěna nosná Z	2,51	0,172	0,02	0,192	1,00	0,48	
Celková měrná tepelná ztráta přímo do venkovního prostředí HT,ie = Σ <sub>k</sub> A <sub>k</sub> * U <sub>kc</sub> * e <sub>k</sub> (W/K)							0,48	
Tepelné ztráty z/do prostorů vytápěných na rozdílné teploty								
Ozn.	Popis	A <sub>k</sub>		U <sub>k</sub>		f <sub>ij</sub>		A <sub>k</sub> * U <sub>k</sub> * f <sub>ij</sub>
SN	stěna k m.č. 2.2.2	6,16		0,495		-0,114		-0,35
Celková měrná tepelná ztráta z/do prostorů rozdílných teplot H <sub>t,ij</sub> = Σ <sub>k</sub> A <sub>k</sub> * U <sub>k</sub> * f <sub>ij</sub> (W/K)							-0,35	
Tepelné ztráty nevytápěným prostorem								
Ozn.	Popis	A <sub>k</sub>	U <sub>k</sub>	ΔU	U <sub>kc</sub>	b <sub>u</sub>	A <sub>k</sub> * U <sub>kc</sub> * e <sub>k</sub>	
Celková měrná tepelná ztráta přes nevytápěný prostor H <sub>T,iue</sub> = Σ <sub>k</sub> A <sub>k</sub> * U <sub>kc</sub> * b <sub>u</sub> (W/K)							0,00	
Tepelné ztráty zeminou								
Ozn.	Popis	A <sub>k</sub>	U <sub>equiv,bf</sub>	A <sub>k</sub> * U <sub>equiv,bf</sub>	f <sub>g1</sub>	f <sub>g2</sub>	G <sub>w</sub>	f <sub>g1</sub> * f <sub>g2</sub> * G <sub>w</sub>
Celková měrná tepelná ztráta zeminou H <sub>T,ig</sub> = (Σ <sub>k</sub> A <sub>k</sub> * U <sub>equiv,bf</sub> ) * f <sub>g1</sub> * f <sub>g2</sub> * G <sub>w</sub> (W/K)							0,00	
Celková měrná tepelná ztráta prostupem H <sub>T,i</sub> = H <sub>T,ie</sub> + H <sub>T,iue</sub> + H <sub>T,ij</sub> + H <sub>T,ig</sub>							0,13	
Θ <sub>int,i</sub>	Θ <sub>e</sub>	Θ <sub>int,i</sub> - Θ <sub>e</sub>	H <sub>t,i</sub>		Návrhová ztráta prostupem Φ <sub>t,i</sub> (W)			
20,0	-15,0	35,0	0,13		4,67			

20  
-15

24

P=54,16m

B=6

Objem místnosti $V_i$	Výpočtová venkovní teplota $\Theta_e$	Výpočtová vnitřní teplota $\Theta_{int,i}$	Hygienické požadavky	
			$n$ (h <sup>-1</sup> )	$V_{min,i}$ (m <sup>3</sup> /h)
0	0	0	0	0
Počet nechráněných otvorů	n50	Činitel zaclonění $e$	Výškový korekční činitel $\epsilon$	Množství vzduchu infiltrací $V_{inf,i}$ (m <sup>3</sup> /h)
0	0	0	0	0
Výpočet tepelné ztráty větráním				
max. z $V_{min,i}$ , $V_{inf,i}$		$H_{v,i}$	$\Theta_{int,i} - \Theta_e$	Návrhová tepelná ztráta větráním $\Phi_{V,i}$ (W)
0		0,00	0	0,00
CELKOVÝ NÁVRHOVÝ TEPLENÝ VÝKON :			4,67	

2.2.4.	Ložnice		Výpočtová vnitřní teplota				Výpočtová venkovní teplota	
			20 °C				-15 °C	
Tepelné ztráty přímo do venkovního prostředí								
Ozn.	Popis	A <sub>k</sub>	U <sub>k</sub>	ΔU	U <sub>kc</sub>	e <sub>k</sub>	A <sub>k</sub> * U <sub>kc</sub> * e <sub>k</sub>	
S05	stěna nosná S	11,11	0,172	0,02	0,192	1,00	2,13	
OZ	okno	0,78	0,700	0,00	0,700	1,00	0,55	
Celková měrná tepelná ztráta přímo do venkovního prostředí HT,ie = Σ <sub>k</sub> A <sub>k</sub> * U <sub>kc</sub> * e <sub>k</sub> (W/K)							2,68	
Tepelné ztráty z/do prostorů vytápěných na rozdílné teploty								
Ozn.	Popis	A <sub>k</sub>		U <sub>k</sub>		f <sub>ij</sub>		A <sub>k</sub> * U <sub>k</sub> * f <sub>ij</sub>
SN	stěna k m.č. 2.1.3.	8,64		0,205		-0,114		-0,20
Celková měrná tepelná ztráta z/do prostorů rozdílných teplot H <sub>t,ij</sub> = Σ <sub>k</sub> A <sub>k</sub> * U <sub>k</sub> * f <sub>ij</sub> (W/K)							-0,20	
Tepelné ztráty nevytápěným prostorem								
Ozn.	Popis	A <sub>k</sub>	U <sub>k</sub>	ΔU	U <sub>kc</sub>	b <sub>u</sub>	A <sub>k</sub> * U <sub>kc</sub> * e <sub>k</sub>	
Celková měrná tepelná ztráta přes nevytápěný prostor H <sub>T,iue</sub> = Σ <sub>k</sub> A <sub>k</sub> * U <sub>kc</sub> * b <sub>u</sub> (W/K)							0,00	
Tepelné ztráty zeminou								
Ozn.	Popis	A <sub>k</sub>	U <sub>equiv,bf</sub>	A <sub>k</sub> * U <sub>equiv,bf</sub>	f <sub>g1</sub>	f <sub>g2</sub>	G <sub>w</sub>	f <sub>g1</sub> * f <sub>g2</sub> * G <sub>w</sub>
Celková měrná tepelná ztráta zeminou H <sub>T,ig</sub> = (Σ <sub>k</sub> A <sub>k</sub> * U <sub>equiv,bf</sub> ) * f <sub>g1</sub> * f <sub>g2</sub> * G <sub>w</sub> (W/K)							0,00	
Celková měrná tepelná ztráta prostupem H <sub>T,i</sub> = H <sub>T,ie</sub> + H <sub>T,iue</sub> + H <sub>T,ij</sub> + H <sub>T,ig</sub>							2,48	
Θ <sub>int,i</sub>	Θ <sub>e</sub>	Θ <sub>int,i</sub> - Θ <sub>e</sub>	H <sub>t,i</sub>		Návrhová ztráta prostupem Φ <sub>ti</sub> (W)			
20,0	-15,0	35,0	2,48		86,68			

20  
-15

24

P=54,16m

B=6

Objem místnosti $V_i$	Výpočtová venkovní teplota $\Theta_e$	Výpočtová vnitřní teplota $\Theta_{int,i}$	Hygienické požadavky	
			$n$ (h <sup>-1</sup> )	$V_{min,i}$ (m <sup>3</sup> /h)
36,79	-15	20	0,5	18,395
Počet nechráněných otvorů	$n_{50}$	Činitel zaclonění $e$	Výškový korekční činitel $\epsilon$	Množství vzduchu infiltrací $V_{inf,i}$ (m <sup>3</sup> /h)
1	1	0,03	1	2,2074
Výpočet tepelné ztráty větráním				
max. z $V_{min,i}$ , $V_{inf,i}$		$H_{v,i}$	$\Theta_{int,i} - \Theta_e$	Návrhová tepelná ztráta větráním $\Phi_{V,i}$ (W)
18,395		6,25	35	218,90

<b>CELKOVÝ NÁVRHOVÝ TEPLENÝ VÝKON :</b>	<b>305,58</b>
---	---------------

2.2.6.	OBÝVACÍ POKOJ			Výpočtová vnitřní teplota			Výpočtová venkovní teplota		
				20 °C			-15 °C		
Tepelné ztráty přímo do venkovního prostředí									
Ozn.	Popis	A <sub>k</sub>	U <sub>k</sub>	ΔU	U <sub>kc</sub>	e <sub>k</sub>	A <sub>k</sub> * U <sub>kc</sub> * e <sub>k</sub>		
S05	stěna nosná J	9,91	0,172	0,02	0,192	1,00	1,90		
OZ	okno na balkon	4,83	0,700	0,00	0,700	1,00	3,38		
OZ	okno	2,70	0,700	0,00	0,700	1,00	1,89		
Celková měrná tepelná ztráta přímo do venkovního prostředí HT,ie = Σ <sub>k</sub> A <sub>k</sub> * U <sub>kc</sub> * e <sub>k</sub> (W/K)							7,17		
Tepelné ztráty z/do prostorů vytápěných na rozdílne teploty									
Ozn.	Popis	A <sub>k</sub>	U <sub>k</sub>	f <sub>ij</sub>		A <sub>k</sub> * U <sub>k</sub> * f <sub>ij</sub>			
SN	stěna k m.č. 2.3.2	5,36	0,107	-0,114		-0,07			
SN	stěna k šachtě	1,40	0,205	0,143		0,04			
Celková měrná tepelná ztráta z/do prostorů rozdílných teplot H <sub>t,ij</sub> =Σ <sub>k</sub> A <sub>k</sub> * U <sub>k</sub> * f <sub>ij</sub> (W/K)							-0,03		
Tepelné ztráty nevytápěným prostorem									
Ozn.	Popis	A <sub>k</sub>	U <sub>k</sub>	ΔU	U <sub>kc</sub>	b <sub>u</sub>	A <sub>k</sub> * U <sub>kc</sub> * b <sub>u</sub>		
Celková měrná tepelná ztráta přes nevytápěný prostor H <sub>T,lue</sub> = Σ <sub>k</sub> A <sub>k</sub> * U <sub>kc</sub> * b <sub>u</sub> (W/K)							0,00		
Tepelné ztráty zeminou									
Ozn.	Popis	A <sub>k</sub>	U <sub>equiv,bf</sub>	A <sub>k</sub> * U <sub>equiv,bf</sub>	f <sub>g1</sub>	f <sub>g2</sub>	G <sub>w</sub>	f <sub>g1</sub> * f <sub>g2</sub> * G <sub>w</sub>	
Celková měrná tepelná ztráta zeminou H <sub>T,ig</sub> = (Σ <sub>k</sub> A <sub>k</sub> * U <sub>equiv,bf</sub> ) * f <sub>g1</sub> * f <sub>g2</sub> * G <sub>w</sub> (W/K)							0,00		
Celková měrná tepelná ztráta prostupem H <sub>T,i</sub> = H <sub>T,ie</sub> + H <sub>T,lue</sub> + H <sub>T,ij</sub> + H <sub>T,ig</sub>							7,14		
Θ <sub>int,i</sub>	Θ <sub>e</sub>	Θ <sub>int,i</sub> -Θ <sub>e</sub>	H <sub>t,i</sub>	Návrhová ztráta prostupem Φ <sub>e,i</sub> (W)					
20,0	-15,0	35,0	7,14	250,03					

20

-15

24

15

P=54,16m

B=6

Objem místnosti $V_i$	Výpočtová venkovní teplota $\theta_e$	Výpočtová vnitřní teplota $\theta_{int,i}$	Hygienické požadavky	
			$n$ (h <sup>-1</sup> )	$V_{min,i}$ (m <sup>3</sup> /h)
83,42	-15	20	0,5	41,71
Počet nechráněných otvorů	$n_{50}$	Činitel zaclonění $e$	Výškový korekční činitel $\epsilon$	Množství vzduchu infiltrací $V_{inf,i}$ (m <sup>3</sup> /h)
3	1	0,03	1	15,0156
Výpočet tepelné ztráty větráním				
max. z $V_{min,i}$ , $V_{inf,i}$		$H_{v,i}$	$\theta_{int,i} - \theta_e$	Návrhová tepelná ztráta větráním $\Phi_{V,i}$ (W)
41,71		14,18	35	496,35

CELKOVÝ NÁVRHOVÝ TEPLENÝ VÝKON :	746,38
----------------------------------	--------

2.2.7.	POKOJ		Výpočtová vnitřní teplota				Výpočtová venkovní teplota	
			20 °C				-15 °C	
Tepelné ztráty přímo do venkovního prostředí								
Ozn.	Popis	A <sub>k</sub>	U <sub>k</sub>	ΔU	U <sub>kc</sub>	e <sub>k</sub>	A <sub>k</sub> * U <sub>kc</sub> * e <sub>k</sub>	
SO	stěna nosná J	7,21	0,172	0,02	0,192	1,00	1,38	
OZ	okno	2,70	0,700	0,00	0,700	1,00	1,89	
Celková měrná tepelná ztráta přímo do venkovního prostředí HT,ie = Σ <sub>k</sub> A <sub>k</sub> * U <sub>kc</sub> * e <sub>k</sub> (W/K)							3,27	
Tepelné ztráty z/do prostorů vytápěných na rozdílné teploty								
Ozn.	Popis	A <sub>k</sub>		U <sub>k</sub>		f <sub>ij</sub>		A <sub>k</sub> * U <sub>k</sub> * f <sub>ij</sub>
Celková měrná tepelná ztráta z/do prostorů rozdílných teplot H <sub>t,ij</sub> = Σ <sub>k</sub> A <sub>k</sub> * U <sub>k</sub> * f <sub>ij</sub> (W/K)							0,00	
Tepelné ztráty nevytápěným prostorem								
Ozn.	Popis	A <sub>k</sub>	U <sub>k</sub>	ΔU	U <sub>kc</sub>	b <sub>u</sub>	A <sub>k</sub> * U <sub>kc</sub> * e <sub>k</sub>	
Celková měrná tepelná ztráta přes nevytápěný prostor H <sub>t,lue</sub> = Σ <sub>k</sub> A <sub>k</sub> * U <sub>kc</sub> * b <sub>u</sub> (W/K)							0,00	
Tepelné ztráty zeminou								
Ozn.	Popis	A <sub>k</sub>	U <sub>equiv,bf</sub>	A <sub>k</sub> * U <sub>equiv,bf</sub>		f <sub>g1</sub>	f <sub>g2</sub>	G <sub>w</sub>   f <sub>g1</sub> * f <sub>g2</sub> * G <sub>w</sub>
Celková měrná tepelná ztráta zeminou H <sub>T,ig</sub> = (Σ <sub>k</sub> A <sub>k</sub> * U <sub>equiv,bf</sub> ) * f <sub>g1</sub> * f <sub>g2</sub> * G <sub>w</sub> (W/K)							0,00	
Celková měrná tepelná ztráta prostupem H <sub>T,i</sub> = H <sub>T,ie</sub> + H <sub>T,lue</sub> + H <sub>T,ij</sub> + H <sub>T,ig</sub>							3,27	
Θ <sub>int,i</sub>	Θ <sub>e</sub>	Θ <sub>int,i</sub> - Θ <sub>e</sub>	H <sub>t,i</sub>		Návrhová ztráta prostupem Φ <sub>t,i</sub> (W)			
20,0	-15,0	35,0	3,27		114,60			

20

-15

P=54,16m

B=6

Objem místnosti $V_i$	Výpočtová venkovní teplota $\theta_e$	Výpočtová vnitřní teplota $\theta_{int,i}$	Hygienické požadavky	
			$n$ (h <sup>-1</sup> )	$V_{min,i}$ (m <sup>3</sup> /h)
38,19	-15	20	0,5	19,095
Počet nechráněných otvorů	$n50$	Činitel zaclonění $e$	Výškový korekční činitel $\epsilon$	Množství vzduchu infiltrací $V_{inf,i}$ (m <sup>3</sup> /h)
1	1	0,03	1	2,2914
Výpočet tepelné ztráty větráním				
max. z $V_{min,i}$ , $V_{inf,i}$		$H_{v,i}$	$\theta_{int,i} - \theta_e$	Návrhová tepelná ztráta větráním $\Phi_{V,i}$ (W)
19,095		6,49	35,0	<b>227,23</b>
<b>CELKOVÝ NÁVRHOVÝ TEPLENÝ VÝKON :</b>			<b>341,83</b>	



2.3.1.	Chodba		Výpočtová vnitřní teplota			Výpočtová venkovní teplota		
			20 °C			-15 °C		
Tepelné ztráty přímo do venkovního prostředí								
Ozn.	Popis	A <sub>k</sub>	U <sub>k</sub>	ΔU	U <sub>kc</sub>	e <sub>k</sub>	A <sub>k</sub> * U <sub>kc</sub> * e <sub>k</sub>	
SO	stěna nosná S	4,90	0,164	0,02	0,184	1,00	0,90	
DO	dveře vstupní	1,80	1,200	0,00	1,200	1,00	2,16	
Celková měrná tepelná ztráta přímo do venkovního prostředí HT,ie = Σ <sub>k</sub> A <sub>k</sub> * U <sub>kc</sub> * e <sub>k</sub> (W/K)							3,06	
Tepelné ztráty z/do prostorů vytápěných na rozdílné teploty								
Ozn.	Popis	A <sub>k</sub>		U <sub>k</sub>		f <sub>ij</sub>		A <sub>k</sub> * U <sub>k</sub> * f <sub>ij</sub>
DN	dveře k m.č. 2.3.2	1,38		2,00		-0,114		-0,32
SN	stěna k m.č. 2.3.2	3,00		0,495		-0,114		-0,17
Celková měrná tepelná ztráta z/do prostorů rozdílných teplot H <sub>t,ij</sub> =Σ <sub>k</sub> A <sub>k</sub> * U <sub>k</sub> * f <sub>ij</sub> (W/K)							-0,49	
Tepelné ztráty nevytápěným prostorem								
Ozn.	Popis	A <sub>k</sub>	U <sub>k</sub>	ΔU	U <sub>kc</sub>	b <sub>u</sub>	A <sub>k</sub> * U <sub>kc</sub> * e <sub>k</sub>	
Celková měrná tepelná ztráta přes nevytápěný prostor H <sub>T,iue</sub> = Σ <sub>k</sub> A <sub>k</sub> * U <sub>kc</sub> * b <sub>u</sub> (W/K)							0,00	
Tepelné ztráty zeminou								
Ozn.	Popis	A <sub>k</sub>	U <sub>equiv,bf</sub>		A <sub>k</sub> * U <sub>equiv,bf</sub>		f <sub>g1</sub>	f <sub>g2</sub> G <sub>w</sub> f <sub>g1</sub> * f <sub>g2</sub> * G <sub>w</sub>
Celková měrná tepelná ztráta zeminou H <sub>T,ig</sub> = (Σ <sub>k</sub> A <sub>k</sub> * U <sub>equiv,bf</sub> ) * f <sub>g1</sub> * f <sub>g2</sub> * G <sub>w</sub> (W/K)							0,00	
Celková měrná tepelná ztráta prostupem H <sub>T,i</sub> = H <sub>T,ie</sub> + H <sub>T,iue</sub> + H <sub>T,ij</sub> + H <sub>T,ig</sub>							2,58	
Θ <sub>int,i</sub>	Θ <sub>e</sub>	Θ <sub>int,i</sub> - Θ <sub>e</sub>		H <sub>t,i</sub>		Návrhová ztráta prostupem Φ <sub>t,i</sub> (W)		
20,0	-15,0	35,0		2,58		90,18		

20  
-15

24  
24

Objem místnosti $V_i$	Výpočtová venkovní teplota $\Theta_e$	Výpočtová vnitřní teplota $\Theta_{int,i}$	Hygienické požadavky	
			$n$ (h <sup>-1</sup> )	$V_{min,i}$ (m <sup>3</sup> /h)
0	-15	20	0,5	0
Počet nechráněných otvorů	$n_{50}$	Činitel zaclonění $e$	Výškový korekční činitel $\epsilon$	Množství vzduchu infiltrací $V_{inf,i}$ (m <sup>3</sup> /h)
1	1	0,03	1	0
Výpočet tepelné ztráty větráním				
max. z $V_{min,i}$ , $V_{inf,i}$		$H_{v,i}$	$\Theta_{int,i} - \Theta_e$	Návrhová tepelná ztráta větráním $\Phi_{V,i}$ (W)
0		0,00	35	<b>0,00</b>

<b>CELKOVÝ NÁVRHOVÝ TEPLENÝ VÝKON :</b>	<b>90,18</b>
---	--------------

2.3.2.	Koupelna				Výpočtová vnitřní teplota		Výpočtová venkovní teplota	
					24 °C		-15 °C	
Tepelné ztráty přímo do venkovního prostředí								
Ozn.	Popis	A <sub>k</sub>	U <sub>k</sub>	ΔU	U <sub>kc</sub>	e <sub>k</sub>	A <sub>k</sub> * U <sub>kc</sub> * e <sub>k</sub>	
SO	stěna nosná S	5,76	0,164	0,02	0,184	1,00	1,06	
OZ	okno	0,78	0,700	0,00	0,700	1,00	0,55	
Celková měrná tepelná ztráta přímo do venkovního prostředí HT,ie = Σ <sub>k</sub> A <sub>k</sub> * U <sub>kc</sub> * e <sub>k</sub> (W/K)							1,61	
Tepelné ztráty z/do prostorů vytápěných na rozdílné teploty								
Ozn.	Popis	A <sub>k</sub>	U <sub>k</sub>	f <sub>ij</sub>		A <sub>k</sub> * U <sub>k</sub> * f <sub>ij</sub>		
SN	stěna k m.č. 2.3.3	7,52	0,495	0,103		0,38		
SN	stěna k m.č. 2.3.1	3,02	0,495	0,103		0,15		
SN	stěna k m.č. 2.2.6	4,85	0,11	0,103		0,05		
DN	dveře k m.č. 2.3.1	1,38	0,495	0,103		0,07		
Celková měrná tepelná ztráta z/do prostorů rozdílných teplot H <sub>t,ij</sub> = Σ <sub>k</sub> A <sub>k</sub> * U <sub>k</sub> * f <sub>ij</sub> (W/K)							0,66	
Tepelné ztráty nevytápěným prostorem								
Ozn.	Popis	A <sub>k</sub>	U <sub>k</sub>	ΔU	U <sub>kc</sub>	b <sub>u</sub>	A <sub>k</sub> * U <sub>kc</sub> * e <sub>k</sub>	
Celková měrná tepelná ztráta přes nevytápěný prostor H <sub>T,iue</sub> = Σ <sub>k</sub> A <sub>k</sub> * U <sub>kc</sub> * b <sub>u</sub> (W/K)							0,00	
Tepelné ztráty zeminou								
Ozn.	Popis	A <sub>k</sub>	U <sub>equiv,bf</sub>	A <sub>k</sub> * U <sub>equiv,bf</sub>	f <sub>g1</sub>	f <sub>g2</sub>	G <sub>w</sub>	f <sub>g1</sub> * f <sub>g2</sub> * G <sub>w</sub>
Celková měrná tepelná ztráta zeminou H <sub>T,ig</sub> = (Σ <sub>k</sub> A <sub>k</sub> * U <sub>equiv,bf</sub> ) * f <sub>g1</sub> * f <sub>g2</sub> * G <sub>w</sub> (W/K)							0,00	
Celková měrná tepelná ztráta prostupem H <sub>T,i</sub> = H <sub>T,ie</sub> + H <sub>T,iue</sub> + H <sub>T,ij</sub> + H <sub>T,ig</sub>							2,26	
Θ <sub>int,i</sub>	Θ <sub>e</sub>	Θ <sub>int,i</sub> - Θ <sub>e</sub>	H <sub>t,i</sub>	Návrhová ztráta prostupem Φ <sub>q,i</sub> (W)				
24,0	-15,0	39,0	2,26	88,31				

24  
-15

20  
20  
20  
20

Objem místnosti $V_i$	Výpočtová venkovní teplota $\Theta_e$	Výpočtová vnitřní teplota $\Theta_{int,i}$	Hygienické požadavky	
			$n$ (h <sup>-1</sup> )	$V_{min,i}$ (m <sup>3</sup> /h)
19,73	-15	24	1,5	29,595
Počet nechráněných otvorů	$n_{50}$	Činitel zaclonění $e$	Výškový korekční činitel $\epsilon$	Množství vzduchu infiltrací $V_{inf,i}$ (m <sup>3</sup> /h)
2	1	0,03	1	2,3676
Výpočet tepelné ztráty větráním				
max. z $V_{min,i}$ , $V_{inf,i}$		$H_{v,i}$	$\Theta_{int,i} - \Theta_e$	Návrhová tepelná ztráta větráním $\Phi_{V,i}$ (W)
29,595		10,06	39	<b>392,43</b>

<b>CELKOVÝ NÁVRHOVÝ TEPLENÝ VÝKON :</b>	<b>480,73</b>
---	---------------

2.3.3.	WC		Výpočtová vnitřní teplota				Výpočtová venkovní teplota	
			20 °C				-15 °C	
Tepelné ztráty přímo do venkovního prostředí								
Ozn.	Popis	A <sub>k</sub>	U <sub>k</sub>	ΔU	U <sub>kc</sub>	e <sub>k</sub>	A <sub>k</sub> * U <sub>kc</sub> * e <sub>k</sub>	
Celková měrná tepelná ztráta přímo do venkovního prostředí H <sub>T,ie</sub> = Σ <sub>k</sub> A <sub>k</sub> * U <sub>kc</sub> * e <sub>k</sub> (W/K)							0,00	
Tepelné ztráty z/do prostorů vytápěných na rozdílné teploty								
Ozn.	Popis	A <sub>k</sub>	U <sub>k</sub>	f <sub>ij</sub>	A <sub>k</sub> * U <sub>k</sub> * f <sub>ij</sub>			
SN	stěna k šachtě	2,51	0,495	0,143	0,18			
SN	stěna k m.č. 2.3.2	6,04	0,495	-0,114	-0,34			
Celková měrná tepelná ztráta z/do prostorů rozdílných teplot H <sub>t,ij</sub> = Σ <sub>k</sub> A <sub>k</sub> * U <sub>k</sub> * f <sub>ij</sub> (W/K)						-0,16		
Tepelné ztráty nevytápěným prostorem								
Ozn.	Popis	A <sub>k</sub>	U <sub>k</sub>	ΔU	U <sub>kc</sub>	b <sub>u</sub>	A <sub>k</sub> * U <sub>kc</sub> * b <sub>u</sub>	
Celková měrná tepelná ztráta přes nevytápěný prostor H <sub>T,iue</sub> = Σ <sub>k</sub> A <sub>k</sub> * U <sub>kc</sub> * b <sub>u</sub> (W/K)							0,00	
Tepelné ztráty zeminou								
Ozn.	Popis	A <sub>k</sub>	U <sub>equiv,bf</sub>	A <sub>k</sub> * U <sub>equiv,bf</sub>	f <sub>g1</sub>	f <sub>g2</sub>	G <sub>w</sub>	f <sub>g1</sub> * f <sub>g2</sub> * G <sub>w</sub>
Celková měrná tepelná ztráta zeminou H <sub>T,ig</sub> = (Σ <sub>k</sub> A <sub>k</sub> * U <sub>equiv,bf</sub> ) * f <sub>g1</sub> * f <sub>g2</sub> * G <sub>w</sub> (W/K)							0,00	
Celková měrná tepelná ztráta prostupem H <sub>T,i</sub> = H <sub>T,ie</sub> + H <sub>T,iue</sub> + H <sub>T,ij</sub> + H <sub>T,ig</sub>							-0,16	
Θ <sub>int,i</sub>	Θ <sub>e</sub>	Θ <sub>int,i</sub> - Θ <sub>e</sub>	H <sub>t,i</sub>	Návrhová ztráta prostupem Φ <sub>t,i</sub> (W)				
20,0	-15,0	35,0	-0,16	-5,60				

20  
-15

15  
24

Objem místnosti $V_i$	Výpočtová venkovní teplota $\Theta_e$	Výpočtová vnitřní teplota $\Theta_{int,i}$	Hygienické požadavky	
			$n$ (h <sup>-1</sup> )	$V_{min,i}$ (m <sup>3</sup> /h)
0	-15	20	0,5	0
Počet nechráněných otvorů	$n50$	Činitel zaclonění $e$	Výškový korekční činitel $\epsilon$	Množství vzduchu infiltrací $V_{inf,i}$ (m <sup>3</sup> /h)
1	1	0,03	1	0
Výpočet tepelné ztráty větráním				
max. z $V_{min,i}$ , $V_{inf,i}$		$H_{v,i}$	$\Theta_{int,i} - \Theta_e$	Návrhová tepelná ztráta větráním $\Phi_{V,i}$ (W)
0		0,00	35	<b>0,00</b>
<b>CELKOVÝ NÁVRHOVÝ TEPLENÝ VÝKON :</b>			<b>-5,60</b>	

2.3.4.	Ložnice		Výpočtová vnitřní teplota				Výpočtová venkovní teplota	
			20 °C				-15 °C	
Tepelné ztráty přímo do venkovního prostředí								
Ozn.	Popis	A <sub>k</sub>	U <sub>k</sub>	ΔU	U <sub>kc</sub>	e <sub>k</sub>	A <sub>k</sub> * U <sub>kc</sub> * e <sub>k</sub>	
SO	stěna nosná S	13,35	0,164	0,02	0,184	1,00	2,46	
OZ	okno	0,78	0,700	0,00	0,700	1,00	0,55	
Celková měrná tepelná ztráta přímo do venkovního prostředí HT,ie = Σ <sub>k</sub> A <sub>k</sub> * U <sub>kc</sub> * e <sub>k</sub> (W/K)							3,00	
Tepelné ztráty z/do prostorů vytápěných na rozdílné teploty								
Ozn.	Popis	A <sub>k</sub>		U <sub>k</sub>		f <sub>ij</sub>		A <sub>k</sub> * U <sub>k</sub> * f <sub>ij</sub>
SN	stěna k m.č. 2.4.3	5,29		0,205		-0,114		-0,12
Celková měrná tepelná ztráta z/do prostorů rozdílných teplot H <sub>t,ij</sub> = Σ <sub>k</sub> A <sub>k</sub> * U <sub>k</sub> * f <sub>ij</sub> (W/K)							-0,12	
Tepelné ztráty nevytápěným prostorem								
Ozn.	Popis	A <sub>k</sub>	U <sub>k</sub>	ΔU	U <sub>kc</sub>	b <sub>u</sub>	A <sub>k</sub> * U <sub>kc</sub> * e <sub>k</sub>	
Celková měrná tepelná ztráta přes nevytápěný prostor H <sub>T,iue</sub> = Σ <sub>k</sub> A <sub>k</sub> * U <sub>kc</sub> * b <sub>u</sub> (W/K)							0,00	
Tepelné ztráty zeminou								
Ozn.	Popis	A <sub>k</sub>	U <sub>equiv,bf</sub>	A <sub>k</sub> * U <sub>equiv,bf</sub>		f <sub>g1</sub>	f <sub>g2</sub>	G <sub>w</sub>   f <sub>g1</sub> * f <sub>g2</sub> * G <sub>w</sub>
Celková měrná tepelná ztráta zeminou H <sub>T,ig</sub> = (Σ <sub>k</sub> A <sub>k</sub> * U <sub>equiv,bf</sub> ) * f <sub>g1</sub> * f <sub>g2</sub> * G <sub>w</sub> (W/K)							0,00	
Celková měrná tepelná ztráta prostupem H <sub>T,i</sub> = H <sub>T,ie</sub> + H <sub>T,iue</sub> + H <sub>T,ij</sub> + H <sub>T,ig</sub>							2,88	
Θ <sub>int,i</sub>	Θ <sub>e</sub>	Θ <sub>int,i</sub> - Θ <sub>e</sub>		H <sub>t,i</sub>		Návrhová ztráta prostupem Φ <sub>ti</sub> (W)		
20,0	-15,0	35,0		2,88		100,75		

20  
-15

24

Objem místnosti $V_i$	Výpočtová venkovní teplota $\Theta_e$	Výpočtová vnitřní teplota $\Theta_{int,i}$	Hygienické požadavky	
			$n$ (h <sup>-1</sup> )	$V_{min,i}$ (m <sup>3</sup> /h)
39,45	-15	20	0,5	19,725
Počet nechráněných otvorů	$n_{50}$	Činitel zaclonění $e$	Výškový korekční činitel $\epsilon$	Množství vzduchu infiltrací $V_{inf,i}$ (m <sup>3</sup> /h)
1	1	0,03	1	2,367
Výpočet tepelné ztráty větráním				
max. z $V_{min,i}$ , $V_{inf,i}$		$H_{v,i}$	$\Theta_{int,i} - \Theta_e$	Návrhová tepelná ztráta větráním $\Phi_{V,i}$ (W)
19,725		6,71	35	<b>234,73</b>
<b>CELKOVÝ NÁVRHOVÝ TEPLENÝ VÝKON :</b>			<b>335,47</b>	

2.3.6.	Pokoj+kk		Výpočtová vnitřní teplota				Výpočtová venkovní teplota	
			20 °C				-15 °C	
Tepelné ztráty přímo do venkovního prostředí								
Ozn.	Popis	A <sub>k</sub>	U <sub>k</sub>	ΔU	U <sub>kc</sub>	e <sub>k</sub>	A <sub>k</sub> * U <sub>kc</sub> * e <sub>k</sub>	
SO	stěna nosná J	9,48	0,164	0,02	0,184	1,00	1,74	
SO	stěna nosná V	6,93	0,164	0,02	0,184	1,00	1,28	
OZ	okno na balkon	4,83	0,700	0,00	0,700	1,00	3,38	
OZ	okno	2,70	0,700	0,00	0,700	1,00	1,89	
Celková měrná tepelná ztráta přímo do venkovního prostředí HT,ie = Σ <sub>k</sub> A <sub>k</sub> * U <sub>kc</sub> * e <sub>k</sub> (W/K)							8,29	
Tepelné ztráty z/do prostorů vytápěných na rozdílne teploty								
Ozn.	Popis	A <sub>k</sub>	U <sub>k</sub>	f <sub>ij</sub>			A <sub>k</sub> * U <sub>k</sub> * f <sub>ij</sub>	
Celková měrná tepelná ztráta z/do prostorů rozdílných teplot H <sub>t,ij</sub> =Σ <sub>k</sub> A <sub>k</sub> * U <sub>k</sub> * f <sub>ij</sub> (W/K)							0,00	
Tepelné ztráty nevytápěným prostorem								
Ozn.	Popis	A <sub>k</sub>	U <sub>k</sub>	ΔU	U <sub>kc</sub>	b <sub>u</sub>	A <sub>k</sub> * U <sub>kc</sub> * e <sub>k</sub>	
Celková měrná tepelná ztráta přes nevytápěný prostor H <sub>T,lue</sub> = Σ <sub>k</sub> A <sub>k</sub> * U <sub>kc</sub> * b <sub>u</sub> (W/K)							0,00	
Tepelné ztráty zeminou								
Ozn.	Popis	A <sub>k</sub>	U <sub>equiv,bf</sub>	A <sub>k</sub> * U <sub>equiv,bf</sub>	f <sub>g1</sub>	f <sub>g2</sub>	G <sub>w</sub>	f <sub>g1</sub> * f <sub>g2</sub> * G <sub>w</sub>
Celková měrná tepelná ztráta zeminou H <sub>T,ig</sub> = (Σ <sub>k</sub> A <sub>k</sub> * U <sub>equiv,bf</sub> ) * f <sub>g1</sub> * f <sub>g2</sub> * G <sub>w</sub> (W/K)							0,00	
Celková měrná tepelná ztráta prostupem H <sub>T,j</sub> = H <sub>T,ie</sub> + H <sub>T,lue</sub> + H <sub>T,ij</sub> + H <sub>T,ig</sub>							8,29	
Θ <sub>int,i</sub>	Θ <sub>e</sub>	Θ <sub>int,i</sub> - Θ <sub>e</sub>		H <sub>t,i</sub>	Návrhová ztráta prostupem Φ <sub>t,i</sub> (W)			
20,0	-15,0	35,0		8,29	290,17			

20  
-15

Objem místnosti $V_i$	Výpočtová venkovní teplota $\Theta_e$	Výpočtová vnitřní teplota $\Theta_{int,i}$	Hygienické požadavky	
			$n$ (h <sup>-1</sup> )	$V_{min,i}$ (m <sup>3</sup> /h)
80,54	-15	20	0,5	40,27
Počet nechráněných otvorů	n50	Činitel zaclonění $e$	Výškový korekční činitel $\epsilon$	Množství vzduchu infiltrace $V_{inf,i}$ (m <sup>3</sup> /h)
2	1	0,03	1	9,6648
Výpočet tepelné ztráty větráním				
max. z $V_{min,i}$ , $V_{inf,i}$		$H_{v,i}$	$\Theta_{int,i} - \Theta_e$	Návrhová tepelná ztráta větráním $\Phi_{V,i}$ (W)
40,27		13,69	35	479,21
CELKOVÝ NÁVRHOVÝ TEPLENÝ VÝKON :			769,38	

1.3.7.	Pokoj		Výpočtová vnitřní teplota				Výpočtová venkovní teplota	
			20 °C				-15 °C	
Tepelné ztráty přímo do venkovního prostředí								
Ozn.	Popis	A <sub>k</sub>	U <sub>k</sub>	ΔU	U <sub>kc</sub>	e <sub>k</sub>	A <sub>k</sub> * U <sub>kc</sub> * e <sub>k</sub>	
SO	stěna nosná J	7,21	0,164	0,02	0,184	1,00	1,33	
OZ	okno	2,70	0,700	0,00	0,700	1,00	1,89	
Celková měrná tepelná ztráta přímo do venkovního prostředí HT,ie = Σ <sub>k</sub> A <sub>k</sub> * U <sub>kc</sub> * e <sub>k</sub> (W/K)							3,22	
Tepelné ztráty z/do prostorů vytápěných na rozdílné teploty								
Ozn.	Popis	A <sub>k</sub>		U <sub>k</sub>		f <sub>ij</sub>		A <sub>k</sub> * U <sub>k</sub> * f <sub>ij</sub>
Celková měrná tepelná ztráta z/do prostorů rozdílných teplot H <sub>t,ij</sub> =Σ <sub>k</sub> A <sub>k</sub> * U <sub>k</sub> * f <sub>ij</sub> (W/K)							0,00	
Tepelné ztráty nevytápěným prostorem								
Ozn.	Popis	A <sub>k</sub>	U <sub>k</sub>	ΔU	U <sub>kc</sub>	b <sub>u</sub>	A <sub>k</sub> * U <sub>kc</sub> * e <sub>k</sub>	
Str	strop nad suterénem	13,44	0,13	0,02	0,15	0,143	0,29	
Celková měrná tepelná ztráta přes nevytápěný prostor H <sub>T,lue</sub> = Σ <sub>k</sub> A <sub>k</sub> * U <sub>kc</sub> * b <sub>u</sub> (W/K)							0,29	
Tepelné ztráty zeminou								
Ozn.	Popis	A <sub>k</sub>	U <sub>equiv,bf</sub>	A <sub>k</sub> * U <sub>equiv,bf</sub>		f <sub>g1</sub>	f <sub>g2</sub>	G <sub>w</sub>   f <sub>g1</sub> * f <sub>g2</sub> * G <sub>w</sub>
Celková měrná tepelná ztráta zeminou H <sub>T,ig</sub> = (Σ <sub>k</sub> A <sub>k</sub> * U <sub>equiv,bf</sub> ) * f <sub>g1</sub> * f <sub>g2</sub> * G <sub>w</sub> (W/K)							0,00	
Celková měrná tepelná ztráta prostupem H <sub>T,i</sub> = H <sub>T,ie</sub> + H <sub>T,lue</sub> + H <sub>T,ij</sub> + H <sub>T,ig</sub>							3,50	
Θ <sub>int,i</sub>	Θ <sub>e</sub>	Θ <sub>int,i</sub> - Θ <sub>e</sub>	H <sub>t,i</sub>		Návrhová ztráta prostupem Φ <sub>t,i</sub> (W)			
20,0	-15,0	35,0	3,50		122,66			

20  
-15

Objem místnosti $V_i$	Výpočtová venkovní teplota $\Theta_e$	Výpočtová vnitřní teplota $\Theta_{int,i}$	Hygienické požadavky	
			$n$ (h <sup>-1</sup> )	$V_{min,i}$ (m <sup>3</sup> /h)
37,53	-15	20	0,5	18,765
Počet nechráněných otvorů	$n_{50}$	Činitel zaclonění $e$	Výškový korekční činitel $\epsilon$	Množství vzduchu infiltrací $V_{inf,i}$ (m <sup>3</sup> /h)
1	1	0,03	1	2,2518
Výpočet tepelné ztráty větráním				
max. z $V_{min,i}$ , $V_{inf,i}$		$H_{v,i}$	$\Theta_{int,i} - \Theta_e$	Návrhová tepelná ztráta větráním $\Phi_{V,i}$ (W)
18,765		6,38	35	<b>223,30</b>

<b>CELKOVÝ NÁVRHOVÝ TEPLENÝ VÝKON :</b>	<b>345,97</b>
---	---------------

2.4.1.	Zádveří			Výpočtová vnitřní teplota		Výpočtová venkovní teplota	
				15 °C		-15 °C	
Tepelné ztráty přímo do venkovního prostředí							
Ozn.	Popis	A <sub>k</sub>	U <sub>k</sub>	ΔU	U <sub>kc</sub>	e <sub>k</sub>	A <sub>k</sub> * U <sub>kc</sub> * e <sub>k</sub>
SO	stěna nosná Z	2,28	0,164	0,02	0,184	1	0,42
SO	stěna nosná S	5,87	0,164	0,02	0,184	1,00	1,08
DO	vstupní dveře	1,80	1,200	0,00	1,200	1,00	2,16
Celková měrná tepelná ztráta přímo do venkovního prostředí HT,ie = Σ <sub>k</sub> A <sub>k</sub> * U <sub>kc</sub> * e <sub>k</sub> (W/K)							3,66
Tepelné ztráty z/do prostorů vytápěných na rozdílné teploty							
Ozn.	Popis	A <sub>k</sub>	U <sub>k</sub>	f <sub>ij</sub>		A <sub>k</sub> * U <sub>k</sub> * f <sub>ij</sub>	
SN	stěna k m.č. 2.4.2	2,30	0,495	-0,167		-0,190	
DN	dveře k m.č. 2.4.2	1,77	2,00	-0,167		-0,590	
SN	stěna k m.č. 2.4.3	5,87	0,495	-0,300		-0,872	
Celková měrná tepelná ztráta z/do prostorů rozdílných teplot H <sub>t,ij</sub> =Σ <sub>k</sub> A <sub>k</sub> * U <sub>k</sub> * f <sub>ij</sub> (W/K)							-1,65
Tepelné ztráty nevytápěným prostorem							
Ozn.	Popis	A <sub>k</sub>	U <sub>k</sub>	ΔU	U <sub>kc</sub>	b <sub>u</sub>	A <sub>k</sub> * U <sub>kc</sub> * e <sub>k</sub>
Celková měrná tepelná ztráta přes nevytápěný prostor H <sub>T,iue</sub> = Σ <sub>k</sub> A <sub>k</sub> * U <sub>kc</sub> * b <sub>u</sub> (W/K)							0,00
Tepelné ztráty zeminou							
Ozn.	Popis	A <sub>k</sub>	U <sub>equiv,bf</sub>	A <sub>k</sub> * U <sub>equiv,bf</sub>	f <sub>g1</sub>	f <sub>g2</sub>	G <sub>w</sub>   f <sub>g1</sub> * f <sub>g2</sub> * G <sub>w</sub>
Celková měrná tepelná ztráta zeminou H <sub>T,ig</sub> = (Σ <sub>k</sub> A <sub>k</sub> * U <sub>equiv,bf</sub> ) * f <sub>g1</sub> * f <sub>g2</sub> * G <sub>w</sub> (W/K)							0,00
Celková měrná tepelná ztráta prostupem H <sub>T,i</sub> = H <sub>T,ie</sub> + H <sub>T,iue</sub> + H <sub>T,ij</sub> + H <sub>T,ig</sub>							2,01
Θ <sub>int,i</sub>	Θ <sub>e</sub>	Θ <sub>int,i</sub> -Θ <sub>e</sub>	H <sub>t,i</sub>	Návrhová ztráta prostupem Φ <sub>t,i</sub> (W)			
15,0	-15,0	30,0	2,01	60,24			

15

-15

Objem místnosti $V_i$	Výpočtová venkovní teplota $\Theta_e$	Výpočtová vnitřní teplota $\Theta_{int,i}$	Hygienické požadavky	
			$n$ (h <sup>-1</sup> )	$V_{min,i}$ (m <sup>3</sup> /h)
0	-15	15	0,5	0
Počet nechráněných otvorů	$n_{50}$	Činitel zaclonění $e$	Výškový korekční činitel $\epsilon$	Množství vzduchu infiltrací $V_{inf,i}$ (m <sup>3</sup> /h)
1	1	0,03	1	0
Výpočet tepelné ztráty větráním				
max. z $V_{min,i}$ , $V_{inf,i}$		$H_{v,i}$	$\Theta_{int,i} - \Theta_e$	Návrhová tepelná ztráta větráním $\Phi_{V,i}$ (W)
0		0,00	30,0	0,00

CELKOVÝ NÁVRHOVÝ TEPLENÝ VÝKON :	60,24
----------------------------------	-------

2.4.2.	Chodba		Výpočtová vnitřní teplota			Výpočtová venkovní teplota	
			20 °C			-15 °C	
Tepelné ztráty přímo do venkovního prostředí							
Ozn.	Popis	A <sub>k</sub>	U <sub>k</sub>	ΔU	U <sub>kc</sub>	e <sub>k</sub>	A <sub>k</sub> * U <sub>kc</sub> * e <sub>k</sub>
SO	stěna nosná S	3,35	0,164	0,02	0,184	1,00	0,62
OZ	okno	1,26	0,700	0,00	0,700	1,00	0,88
Celková měrná tepelná ztráta přímo do venkovního prostředí HT,ie = Σ <sub>k</sub> A <sub>k</sub> * U <sub>kc</sub> * e <sub>k</sub> (W/K)							1,50
Tepelné ztráty z/do prostorů vytápěných na rozdílné teploty							
Ozn.	Popis	A <sub>k</sub>	U <sub>k</sub>	f <sub>ij</sub>	A <sub>k</sub> * U <sub>k</sub> * f <sub>ij</sub>		
SN	stěna k m.č. 2.4.1	2,30	0,495	0,143	0,163		
SN	stěna k m.č. 2.4.3	2,93	0,495	-0,114	-0,166		
DN	dveře k m.č. 2.4.1	1,77	2,00	0,143	0,506		
DN	dveře k m.č. 2.4.3	1,38	2,00	-0,114	-0,315		
Celková měrná tepelná ztráta z/do prostorů rozdílných teplot H <sub>t,ij</sub> = Σ <sub>k</sub> A <sub>k</sub> * U <sub>k</sub> * f <sub>ij</sub> (W/K)							0,19
Tepelné ztráty nevytápěným prostorem							
Ozn.	Popis	A <sub>k</sub>	U <sub>k</sub>	ΔU	U <sub>kc</sub>	b <sub>u</sub>	A <sub>k</sub> * U <sub>kc</sub> * e <sub>k</sub>
Celková měrná tepelná ztráta přes nevytápěný prostor H <sub>T,iue</sub> = Σ <sub>k</sub> A <sub>k</sub> * U <sub>kc</sub> * b <sub>u</sub> (W/K)							0,00
Tepelné ztráty zeminou							
Ozn.	Popis	A <sub>k</sub>	U <sub>equiv,bf</sub>	A <sub>k</sub> * U <sub>equiv,bf</sub>	f <sub>g1</sub>	f <sub>g2</sub>	G <sub>w</sub> f <sub>g1</sub> * f <sub>g2</sub> * G <sub>w</sub>
Celková měrná tepelná ztráta zeminou H <sub>T,ig</sub> = (Σ <sub>k</sub> A <sub>k</sub> * U <sub>equiv,bf</sub> ) * f <sub>g1</sub> * f <sub>g2</sub> * G <sub>w</sub> (W/K)							0,00
Celková měrná tepelná ztráta prostupem H <sub>T,i</sub> = H <sub>T,ie</sub> + H <sub>T,iue</sub> + H <sub>T,ij</sub> + H <sub>T,ig</sub>							1,69
Θ <sub>int,i</sub>	Θ <sub>e</sub>	Θ <sub>int,i</sub> - Θ <sub>e</sub>	H <sub>t,i</sub>	Návrhová ztráta prostupem Φ <sub>t,i</sub> (W)			
20,0	-15,0	35,0	1,69	59,00			

20  
-15

Objem místnosti $V_i$	Výpočtová venkovní teplota $\Theta_e$	Výpočtová vnitřní teplota $\Theta_{int,i}$	Hygienické požadavky	
			$n$ (h <sup>-1</sup> )	$V_{min,i}$ (m <sup>3</sup> /h)
20,46	-15	20	0,5	10,23
Počet nechráněných otvorů	$n_{50}$	Činitel zaclonění $e$	Výškový korekční činitel $\epsilon$	Množství vzduchu infiltrací $V_{inf,i}$ (m <sup>3</sup> /h)
1	1	0,03	1	1,2276
Výpočet tepelné ztráty větráním				
max. z $V_{min,i}$ , $V_{inf,i}$		$H_{v,i}$	$\Theta_{int,i} - \Theta_e$	Návrhová tepelná ztráta větráním $\Phi_{V,i}$ (W)
10,23		3,48	35	<b>121,74</b>

<b>CELKOVÝ NÁVRHOVÝ TEPLENÝ VÝKON :</b>	<b>180,73</b>
---	---------------



2.4.3.	Koupelna			Výpočtová vnitřní teplota			Výpočtová venkovní teplota		
				24 °C			-15 °C		
Tepelné ztráty přímo do venkovního prostředí									
Ozn.	Popis	A <sub>k</sub>	U <sub>k</sub>	ΔU	U <sub>kc</sub>	e <sub>k</sub>	A <sub>k</sub> * U <sub>kc</sub> * e <sub>k</sub>		
Celková měrná tepelná ztráta přímo do venkovního prostředí HT,ie = Σ <sub>k</sub> A <sub>k</sub> * U <sub>kc</sub> * e <sub>k</sub> (W/K)							0,00		
Tepelné ztráty z/do prostorů vytápěných na rozdílné teploty									
Ozn.	Popis	A <sub>k</sub>		U <sub>k</sub>		f <sub>ij</sub>		A <sub>k</sub> * U <sub>k</sub> * f <sub>ij</sub>	
SN	stěna k m.č. 2.4.1	5,87		0,495		0,257		0,747	
SN	stěna k m.č. 2.4.2	2,95		0,495		0,114		0,167	
DN	dveře k m.č. 2.4.2	1,37		2,000		0,114		0,313	
SN	stěna k m.č. 2.4.4	3,08		0,495		0,114		0,174	
SN	stěna k m.č. 2.3.4	2,93		0,205		0,114		0,069	
Celková měrná tepelná ztráta z/do prostorů rozdílných teplot HT,ij =Σ <sub>k</sub> A <sub>k</sub> * U <sub>k</sub> * f <sub>ij</sub> (W/K)							1,47		
Tepelné ztráty nevytápěným prostorem									
Ozn.	Popis	A <sub>k</sub>	U <sub>k</sub>	ΔU	U <sub>kc</sub>	b <sub>u</sub>	A <sub>k</sub> * U <sub>kc</sub> * e <sub>k</sub>		
Celková měrná tepelná ztráta přes nevytápěný prostor HT,lue = Σ <sub>k</sub> A <sub>k</sub> * U <sub>kc</sub> * b <sub>u</sub> (W/K)							0,00		
Tepelné ztráty zeminou									
Ozn.	Popis	A <sub>k</sub>	U <sub>equiv,bf</sub>	A <sub>k</sub> * U <sub>equiv,bf</sub>	f <sub>g1</sub>	f <sub>g2</sub>	G <sub>w</sub>	f <sub>g1</sub> * f <sub>g2</sub> * G <sub>w</sub>	
Celková měrná tepelná ztráta zeminou HT,ig = (Σ <sub>k</sub> A <sub>k</sub> * U <sub>equiv,bf</sub> ) * f <sub>g1</sub> * f <sub>g2</sub> * G <sub>w</sub> (W/K)							0,00		
Celková měrná tepelná ztráta prostupem HT,i = HT,ie + HT,lue + HT,ij + HT,ig							1,47		
Θ <sub>int,i</sub>	Θ <sub>e</sub>	Θ <sub>int,i</sub> -Θ <sub>e</sub>		HT,i		Návrhová ztráta prostupem Φ <sub>i,i</sub> (W)			
24,0	-15,0	39,0		1,47		57,33			

24  
-15

Objem místnosti $V_i$	Výpočtová venkovní teplota $\theta_e$	Výpočtová vnitřní teplota $\theta_{int,i}$	Hygienické požadavky	
			$n$ (h <sup>-1</sup> )	$V_{min,i}$ (m <sup>3</sup> /h)
0	-15	24	0,5	0
Počet nechráněných otvorů	$n_{50}$	Činitel zaclonění $e$	Výškový korekční činitel $\epsilon$	Množství vzduchu infiltrací $V_{inf,i}$ (m <sup>3</sup> /h)
1	1	0,03	1	0
Výpočet tepelné ztráty větráním				
max. z $V_{min,i}$ , $V_{inf,i}$		$H_{v,i}$	$\theta_{int,i} - \theta_e$	Návrhová tepelná ztráta větráním $\Phi_{V,i}$ (W)
0		0,00	39	0,00

CELKOVÝ NÁVRHOVÝ TEPLENÝ VÝKON :	57,33
----------------------------------	-------

2.4.4.	WC		Výpočtová vnitřní teplota				Výpočtová venkovní teplota	
			20 °C				-15 °C	
Tepelné ztráty přímo do venkovního prostředí								
Ozn.	Popis	A <sub>k</sub>	U <sub>k</sub>	ΔU	U <sub>kc</sub>	e <sub>k</sub>	A <sub>k</sub> * U <sub>kc</sub> * e <sub>k</sub>	
Celková měrná tepelná ztráta přímo do venkovního prostředí H <sub>T,ie</sub> = Σ <sub>k</sub> A <sub>k</sub> * U <sub>kc</sub> * e <sub>k</sub> (W/K)							0,00	
Tepelné ztráty z/do prostorů vytápěných na rozdílné teploty								
Ozn.	Popis	A <sub>k</sub>		U <sub>k</sub>		f <sub>ij</sub>	A <sub>k</sub> * U <sub>k</sub> * f <sub>ij</sub>	
SN	stěna k šachtě	2,51		0,495		0,143	0,18	
SN	stěna k m.č. 2.4.2	5,37		0,495		-0,114	-0,30	
Celková měrná tepelná ztráta z/do prostorů rozdílných teplot H <sub>t,ij</sub> = Σ <sub>k</sub> A <sub>k</sub> * U <sub>k</sub> * f <sub>ij</sub> (W/K)							-0,12	
Tepelné ztráty nevytápěným prostorem								
Ozn.	Popis	A <sub>k</sub>	U <sub>k</sub>	ΔU	U <sub>kc</sub>	b <sub>u</sub>	A <sub>k</sub> * U <sub>kc</sub> * b <sub>u</sub>	
Celková měrná tepelná ztráta přes nevytápěný prostor H <sub>T,iue</sub> = Σ <sub>k</sub> A <sub>k</sub> * U <sub>kc</sub> * b <sub>u</sub> (W/K)							0,00	
Tepelné ztráty zeminou								
Ozn.	Popis	A <sub>k</sub>	U <sub>equiv,bf</sub>	A <sub>k</sub> * U <sub>equiv,bf</sub>		f <sub>g1</sub>	f <sub>g2</sub>	G <sub>w</sub> * f <sub>g1</sub> * f <sub>g2</sub> * G <sub>w</sub>
Celková měrná tepelná ztráta zeminou H <sub>T,ig</sub> = (Σ <sub>k</sub> A <sub>k</sub> * U <sub>equiv,bf</sub> ) * f <sub>g1</sub> * f <sub>g2</sub> * G <sub>w</sub> (W/K)							0,00	
Celková měrná tepelná ztráta prostupem H <sub>T,i</sub> = H <sub>T,ie</sub> + H <sub>T,iue</sub> + H <sub>T,ij</sub> + H <sub>T,ig</sub>							-0,12	
Θ <sub>int,i</sub>	Θ <sub>e</sub>	Θ <sub>int,i</sub> - Θ <sub>e</sub>	H <sub>t,i</sub>		Návrhová ztráta prostupem Φ <sub>t,i</sub> (W)			
20,0	-15,0	35,0	-0,12		-4,20			

20  
-15

15  
24

Objem místnosti $V_i$	Výpočtová venkovní teplota $\Theta_e$	Výpočtová vnitřní teplota $\Theta_{int,i}$	Hygienické požadavky	
			$n$ (h <sup>-1</sup> )	$V_{min,i}$ (m <sup>3</sup> /h)
0	-15	20	0,5	0
Počet nechráněných otvorů	$n_{50}$	Činitel zaclonění $e$	Výškový korekční činitel $\epsilon$	Množství vzduchu infiltrací $V_{inf,i}$ (m <sup>3</sup> /h)
1	1	0,03	1	0
Výpočet tepelné ztráty větráním				
max. z $V_{min,i}$ , $V_{inf,i}$		$H_{v,i}$	$\Theta_{int,i} - \Theta_e$	Návrhová tepelná ztráta větráním $\Phi_{V,i}$ (W)
0		0,00	35	0,00
CELKOVÝ NÁVRHOVÝ TEPLENÝ VÝKON :			-4,20	

2.4.5.	Ložnice		Výpočtová vnitřní teplota				Výpočtová venkovní teplota	
			20 °C				-15 °C	
Tepelné ztráty přímo do venkovního prostředí								
Ozn.	Popis	A <sub>k</sub>	U <sub>k</sub>	ΔU	U <sub>kc</sub>	e <sub>k</sub>	A <sub>k</sub> * U <sub>kc</sub> * e <sub>k</sub>	
SO	stěna nosná V	10,79	0,164	0,02	0,184	1,00	1,99	
SO	stěna nosná S	8,15	0,164	0,02	0,184	1,00	1,50	
OZ	okno	1,62	0,700	0,00	0,700	1,00	1,13	
Celková měrná tepelná ztráta přímo do venkovního prostředí HT,ie = Σ <sub>k</sub> A <sub>k</sub> * U <sub>kc</sub> * e <sub>k</sub> (W/K)							4,62	
Tepelné ztráty z/do prostorů vytápěných na rozdílné teploty								
Ozn.	Popis	A <sub>k</sub>		U <sub>k</sub>		f <sub>ij</sub>		A <sub>k</sub> * U <sub>k</sub> * f <sub>ij</sub>
Celková měrná tepelná ztráta z/do prostorů rozdílných teplot H <sub>t,ij</sub> = Σ <sub>k</sub> A <sub>k</sub> * U <sub>k</sub> * f <sub>ij</sub> (W/K)							0,00	
Tepelné ztráty nevytápěným prostorem								
Ozn.	Popis	A <sub>k</sub>	U <sub>k</sub>	ΔU	U <sub>kc</sub>	b <sub>u</sub>	A <sub>k</sub> * U <sub>kc</sub> * e <sub>k</sub>	
Celková měrná tepelná ztráta přes nevytápěný prostor H <sub>T,lue</sub> = Σ <sub>k</sub> A <sub>k</sub> * U <sub>kc</sub> * b <sub>u</sub> (W/K)							0,00	
Tepelné ztráty zeminou								
Ozn.	Popis	A <sub>k</sub>	U <sub>equiv,bf</sub>	A <sub>k</sub> * U <sub>equiv,bf</sub>		f <sub>g1</sub>	f <sub>g2</sub>	G <sub>w</sub>   f <sub>g1</sub> * f <sub>g2</sub> * G <sub>w</sub>
Celková měrná tepelná ztráta zeminou H <sub>T,ig</sub> = (Σ <sub>k</sub> A <sub>k</sub> * U <sub>equiv,bf</sub> ) * f <sub>g1</sub> * f <sub>g2</sub> * G <sub>w</sub> (W/K)							0,00	
Celková měrná tepelná ztráta prostupem H <sub>T,i</sub> = H <sub>T,ie</sub> + H <sub>T,lue</sub> + H <sub>T,ij</sub> + H <sub>T,ig</sub>							4,62	
Θ <sub>int,i</sub>	Θ <sub>e</sub>	Θ <sub>int,i</sub> - Θ <sub>e</sub>		H <sub>T,i</sub>		Návrhová ztráta prostupem Φ <sub>ti</sub> (W)		
20,0	-15,0	35,0		4,62		161,66		

20  
-15

Objem místnosti $V_i$	Výpočtová venkovní teplota $\Theta_e$	Výpočtová vnitřní teplota $\Theta_{int,i}$	Hygienické požadavky	
			$n$ (h <sup>-1</sup> )	$V_{min,i}$ (m <sup>3</sup> /h)
36,22	-15	20	0,5	18,11
Počet nechráněných otvorů	$n_{50}$	Činitel zaclonění $e$	Výškový korekční činitel $\epsilon$	Množství vzduchu infiltrací $V_{inf,i}$ (m <sup>3</sup> /h)
1	1	0,03	1	2,1732
Výpočet tepelné ztráty větráním				
max. z $V_{min,i}$ , $V_{inf,i}$		$H_{v,i}$	$\Theta_{int,i} - \Theta_e$	Návrhová tepelná ztráta větráním $\Phi_{V,i}$ (W)
18,11		6,16	35	215,51
CELKOVÝ NÁVRHOVÝ TEPLENÝ VÝKON :			377,17	

2.4.6.	Obývací pokoj		Výpočtová vnitřní teplota				Výpočtová venkovní teplota	
			20 °C				-15 °C	
Tepelné ztráty přímo do venkovního prostředí								
Ozn.	Popis	A <sub>k</sub>	U <sub>k</sub>	ΔU	U <sub>kc</sub>	e <sub>k</sub>	A <sub>k</sub> * U <sub>kc</sub> * e <sub>k</sub>	
SO	stěna nosná Z	10,97	0,164	0,02	0,184	1,00	2,02	
SO	stěna nosná J	11,65	0,164	0,02	0,184	1,00	2,14	
OZ	okno na balkon	4,83	0,700	0,00	0,700	1,00	3,38	
OZ	okno J	2,70	0,700	0,00	0,700	1,00	1,89	
OZ	okno Z	2,25	0,700	0,00	0,700	1,00	1,58	
Celková měrná tepelná ztráta přímo do venkovního prostředí H <sub>T,ie</sub> = Σ <sub>k</sub> A <sub>k</sub> * U <sub>kc</sub> * e <sub>k</sub> (W/K)							11,01	
Tepelné ztráty z/do prostorů vytápěných na rozdílné teploty								
Ozn.	Popis	A <sub>k</sub>		U <sub>k</sub>		f <sub>ij</sub>		A <sub>k</sub> * U <sub>k</sub> * f <sub>ij</sub>
Celková měrná tepelná ztráta z/do prostorů rozdílných teplot H <sub>T,ij</sub> = Σ <sub>k</sub> A <sub>k</sub> * U <sub>k</sub> * f <sub>ij</sub> (W/K)							0,00	
Tepelné ztráty nevytápěným prostorem								
Ozn.	Popis	A <sub>k</sub>	U <sub>k</sub>	ΔU	U <sub>kc</sub>	b <sub>u</sub>	A <sub>k</sub> * U <sub>kc</sub> * e <sub>k</sub>	
Celková měrná tepelná ztráta přes nevytápěný prostor H <sub>T,lue</sub> = Σ <sub>k</sub> A <sub>k</sub> * U <sub>kc</sub> * b <sub>u</sub> (W/K)							0,00	
Tepelné ztráty zeminou								
Ozn.	Popis	A <sub>k</sub>	U <sub>equiv,bf</sub>	A <sub>k</sub> * U <sub>equiv,bf</sub>		f <sub>g1</sub>	f <sub>g2</sub>	G <sub>w</sub>   f <sub>g1</sub> * f <sub>g2</sub> * G <sub>w</sub>
Celková měrná tepelná ztráta zeminou H <sub>T,ig</sub> = (Σ <sub>k</sub> A <sub>k</sub> * U <sub>equiv,bf</sub> ) * f <sub>g1</sub> * f <sub>g2</sub> * G <sub>w</sub> (W/K)							0,00	
Celková měrná tepelná ztráta prostupem H <sub>T,i</sub> = H <sub>T,ie</sub> + H <sub>T,lue</sub> + H <sub>T,ij</sub> + H <sub>T,ig</sub>							11,01	
Θ <sub>int,i</sub>	Θ <sub>e</sub>	Θ <sub>int,i</sub> - Θ <sub>e</sub>		H <sub>t,i</sub>		Návrhová ztráta prostupem Φ <sub>q,i</sub> (W)		
20,0	-15,0	35,0		11,01		385,28		

20  
-15

Objem místnosti $V_i$	Výpočtová venkovní teplota $\theta_e$	Výpočtová vnitřní teplota $\theta_{int,i}$	Hygienické požadavky	
			$n$ (h <sup>-1</sup> )	$V_{min,i}$ (m <sup>3</sup> /h)
90,8	-15	20	0,5	45,4
Počet nechráněných otvorů	$n_{50}$	Činitel zaclonění $e$	Výškový korekční činitel $\epsilon$	Množství vzduchu infiltrací $V_{inf,i}$ (m <sup>3</sup> /h)
3	1	0,03	1	16,34
Výpočet tepelné ztráty větráním				
max. z $V_{min,i}$ , $V_{inf,i}$		$H_{v,i}$	$\theta_{int,i} - \theta_e$	Návrhová tepelná ztráta větráním $\Phi_{V,i}$ (W)
45,4		15,44	35	540,26
CELKOVÝ NÁVRHOVÝ TEPLENÝ VÝKON :			925,54	

3.1.1.	Zádveří		Výpočtová vnitřní teplota				Výpočtová venkovní teplota	
			15 °C				-15 °C	
Tepelné ztráty přímo do venkovního prostředí								
Ozn.	Popis	A <sub>k</sub>	U <sub>k</sub>	ΔU	U <sub>kc</sub>	e <sub>k</sub>	A <sub>k</sub> * U <sub>kc</sub> * e <sub>k</sub>	
SO	stěna nosná V	2,39	0,172	0,02	0,192	1,00	0,46	
SO	stěna nosná S	6,33	0,172	0,02	0,192	1,00	1,22	
DO	vstupní dveře	1,80	1,200	0,00	1,200	1,00	2,16	
STR	strop+střecha	3,40	0,108	0,02	0,128	1,00	0,44	
Celková měrná tepelná ztráta přímo do venkovního prostředí HT,ie = Σ <sub>k</sub> A <sub>k</sub> * U <sub>kc</sub> * e <sub>k</sub> (W/K)							4,27	
Tepelné ztráty z/do prostorů vytápěných na rozdílné teploty								
Ozn.	Popis	A <sub>k</sub>	U <sub>k</sub>	f <sub>ij</sub>	A <sub>k</sub> * U <sub>k</sub> * f <sub>ij</sub>			
SN	stěna k m.č. 3.4.2	2,39	0,495	-0,167	-0,197			
DN	dveře k m.č. 3.4.2	1,77	2,00	-0,167	-0,590			
SN	stěna k m.č. 3.4.3	5,87	0,495	-0,300	-0,872			
Celková měrná tepelná ztráta z/do prostorů rozdílných teplot H <sub>t,ij</sub> =Σ <sub>k</sub> A <sub>k</sub> * U <sub>k</sub> * f <sub>ij</sub> (W/K)							-1,66	
Tepelné ztráty nevytápěným prostorem								
Ozn.	Popis	A <sub>k</sub>	U <sub>k</sub>	ΔU	U <sub>kc</sub>	b <sub>u</sub>	A <sub>k</sub> * U <sub>kc</sub> * e <sub>k</sub>	
Celková měrná tepelná ztráta přes nevytápěný prostor H <sub>T,lue</sub> = Σ <sub>k</sub> A <sub>k</sub> * U <sub>kc</sub> * b <sub>u</sub> (W/K)							0,00	
Tepelné ztráty zeminou								
Ozn.	Popis	A <sub>k</sub>	U <sub>equiv,bf</sub>	A <sub>k</sub> * U <sub>equiv,bf</sub>	f <sub>g1</sub>	f <sub>g2</sub>	G <sub>w</sub>	f <sub>g1</sub> * f <sub>g2</sub> * G <sub>w</sub>
Celková měrná tepelná ztráta zeminou H <sub>T,ig</sub> = (Σ <sub>k</sub> A <sub>k</sub> * U <sub>equiv,bf</sub> ) * f <sub>g1</sub> * f <sub>g2</sub> * G <sub>w</sub> (W/K)							0,00	
Celková měrná tepelná ztráta prostupem H <sub>T,i</sub> = H <sub>T,ie</sub> + H <sub>T,lue</sub> + H <sub>T,ij</sub> + H <sub>T,ig</sub>							2,61	
Θ <sub>int,i</sub>	Θ <sub>e</sub>	Θ <sub>int,i</sub> - Θ <sub>e</sub>	H <sub>t,i</sub>	Návrhová ztráta prostupem Φ <sub>t,i</sub> (W)				
15,0	-15,0	30,0	2,61	78,32				

15

-15

Objem místnosti $V_i$	Výpočtová venkovní teplota $\Theta_e$	Výpočtová vnitřní teplota $\Theta_{int,i}$	Hygienické požadavky	
			$n$ (h <sup>-1</sup> )	$V_{min,i}$ (m <sup>3</sup> /h)
0	-15	15	0,5	0
Počet nechráněných otvorů	$n_{50}$	Činitel zaclonění $e$	Výškový korekční činitel $\epsilon$	Množství vzduchu infiltrací $V_{inf,i}$ (m <sup>3</sup> /h)
1	1	0,03	1	0
Výpočet tepelné ztráty větráním				
max. z $V_{min,i}$ , $V_{inf,i}$		$H_{v,i}$	$\Theta_{int,i} - \Theta_e$	Návrhová tepelná ztráta větráním $\Phi_{V,i}$ (W)
0		0,00	30,0	<b>0,00</b>
<b>CELKOVÝ NÁVRHOVÝ TEPLENÝ VÝKON :</b>			<b>78,32</b>	

3.1.2.	Chodba		Výpočtová vnitřní teplota				Výpočtová venkovní teplota	
			20 °C				-15 °C	
Tepelné ztráty přímo do venkovního prostředí								
Ozn.	Popis	A <sub>k</sub>	U <sub>k</sub>	ΔU	U <sub>kc</sub>	e <sub>k</sub>	A <sub>k</sub> * U <sub>kc</sub> * e <sub>k</sub>	
SO	stěna nosná S	4,42	0,172	0,02	0,192	1,00	0,85	
OZ	okno	1,26	0,700	0,00	0,700	1,00	0,88	
STR	strop+střecha	7,27	0,108	0,02	0,128	1,00	0,93	
Celková měrná tepelná ztráta přímo do venkovního prostředí HT,ie = Σ <sub>k</sub> A <sub>k</sub> * U <sub>kc</sub> * e <sub>k</sub> (W/K)							2,66	
Tepelné ztráty z/do prostorů vytápěných na rozdílné teploty								
Ozn.	Popis	A <sub>k</sub>	U <sub>k</sub>	f <sub>ij</sub>		A <sub>k</sub> * U <sub>k</sub> * f <sub>ij</sub>		
SN	stěna k m.č. 3.1.1	2,42	0,495		0,143		0,171	
DN	dveře k m.č. 3.1.1	1,77	2,00		0,143		0,506	
SN	stěna k m.č. 3.1.3	3,07	0,495		-0,114		-0,174	
DN	dveře k m.č. 3.1.3	1,37	2,00		-0,114		-0,313	
Celková měrná tepelná ztráta z/do prostorů rozdílných teplot H <sub>t,ij</sub> =Σ <sub>k</sub> A <sub>k</sub> * U <sub>k</sub> * f <sub>ij</sub> (W/K)							0,19	
Tepelné ztráty nevytápěným prostorem								
Ozn.	Popis	A <sub>k</sub>	U <sub>k</sub>	ΔU	U <sub>kc</sub>	b <sub>u</sub>	A <sub>k</sub> * U <sub>kc</sub> * e <sub>k</sub>	
Celková měrná tepelná ztráta přes nevytápěný prostor H <sub>T,lue</sub> = Σ <sub>k</sub> A <sub>k</sub> * U <sub>kc</sub> * b <sub>u</sub> (W/K)							0,00	
Tepelné ztráty zeminou								
Ozn.	Popis	A <sub>k</sub>	U <sub>equiv,bf</sub>	A <sub>k</sub> * U <sub>equiv,bf</sub>	f <sub>g1</sub>	f <sub>g2</sub>	G <sub>w</sub>	f <sub>g1</sub> * f <sub>g2</sub> * G <sub>w</sub>
Celková měrná tepelná ztráta zeminou H <sub>T,ig</sub> = (Σ <sub>k</sub> A <sub>k</sub> * U <sub>equiv,bf</sub> ) * f <sub>g1</sub> * f <sub>g2</sub> * G <sub>w</sub> (W/K)							0,00	
Celková měrná tepelná ztráta prostupem H <sub>T,i</sub> = H <sub>T,ie</sub> + H <sub>T,lue</sub> + H <sub>T,ij</sub> + H <sub>T,ig</sub>							2,85	
Θ <sub>int,i</sub>	Θ <sub>e</sub>	Θ <sub>int,i</sub> - Θ <sub>e</sub>	H <sub>t,i</sub>	Návrhová ztráta prostupem Φ <sub>t,i</sub> (W)				
20,0	-15,0	35,0	2,85	99,79				

20  
-15

Objem místnosti $V_i$	Výpočtová venkovní teplota $\theta_e$	Výpočtová vnitřní teplota $\theta_{int,i}$	Hygienické požadavky	
			$n$ (h <sup>-1</sup> )	$V_{min,i}$ (m <sup>3</sup> /h)
20,31	-15	20	0,5	10,155
Počet nechráněných otvorů	$n_{50}$	Činitel zaclonění $e$	Výškový korekční činitel $\epsilon$	Množství vzduchu infiltrací $V_{inf,i}$ (m <sup>3</sup> /h)
1	1	0,03	1	1,2186
Výpočet tepelné ztráty větráním				
max. z $V_{min,i}$ , $V_{inf,i}$		$H_{v,i}$	$\theta_{int,i} - \theta_e$	Návrhová tepelná ztráta větráním $\Phi_{V,i}$ (W)
10,155		3,45	35	120,84
CELKOVÝ NÁVRHOVÝ TEPLENÝ VÝKON :			220,64	

3.1.3.	Koupelna				Výpočtová vnitřní teplota		Výpočtová venkovní teplota	
					24 °C		-15 °C	
Tepelné ztráty přímo do venkovního prostředí								
Ozn.	Popis	A <sub>k</sub>	U <sub>k</sub>	ΔU	U <sub>kc</sub>	e <sub>k</sub>	A <sub>k</sub> * U <sub>kc</sub> * e <sub>k</sub>	
STR	strop+střecha	4,88	0,108	0,02	0,128	1	0,62	
Celková měrná tepelná ztráta přímo do venkovního prostředí HT,ie = Σ <sub>k</sub> A <sub>k</sub> * U <sub>kc</sub> * e <sub>k</sub> (W/K)							0,62	
Tepelné ztráty z/do prostorů vytápěných na rozdílné teploty								
Ozn.	Popis	A <sub>k</sub>		U <sub>k</sub>		f <sub>ij</sub>		A <sub>k</sub> * U <sub>k</sub> * f <sub>ij</sub>
SN	stěna k m.č. 3.1.1	6,33		0,495		0,257		0,806
SN	stěna k m.č. 3.1.2	3,07		0,495		0,114		0,174
DN	dveře k m.č. 3.1.2	1,38		2,000		0,114		0,315
SN	stěna k m.č. 3.1.4	5,77		0,495		0,114		0,326
SN	stěna k m.č. 3.2.4	3,33		0,205		0,114		0,078
Celková měrná tepelná ztráta z/do prostorů rozdílných teplot H <sub>t,ij</sub> = Σ <sub>k</sub> A <sub>k</sub> * U <sub>k</sub> * f <sub>ij</sub> (W/K)							1,70	
Tepelné ztráty nevytápěným prostorem								
Ozn.	Popis	A <sub>k</sub>	U <sub>k</sub>	ΔU	U <sub>kc</sub>	b <sub>u</sub>	A <sub>k</sub> * U <sub>kc</sub> * e <sub>k</sub>	
Celková měrná tepelná ztráta přes nevytápěný prostor H <sub>T,iue</sub> = Σ <sub>k</sub> A <sub>k</sub> * U <sub>kc</sub> * b <sub>u</sub> (W/K)							0,00	
Tepelné ztráty zeminou								
Ozn.	Popis	A <sub>k</sub>	U <sub>equiv,bf</sub>	A <sub>k</sub> * U <sub>equiv,bf</sub>		f <sub>g1</sub>	f <sub>g2</sub>	G <sub>w</sub> * f <sub>g1</sub> * f <sub>g2</sub> * G <sub>w</sub>
Celková měrná tepelná ztráta zeminou H <sub>T,ig</sub> = (Σ <sub>k</sub> A <sub>k</sub> * U <sub>equiv,bf</sub> ) * f <sub>g1</sub> * f <sub>g2</sub> * G <sub>w</sub> (W/K)							0,00	
Celková měrná tepelná ztráta prostupem H <sub>T,i</sub> = H <sub>T,ie</sub> + H <sub>T,iue</sub> + H <sub>T,ij</sub> + H <sub>T,ig</sub>							2,32	
Θ <sub>int,i</sub>	Θ <sub>e</sub>	Θ <sub>int,i</sub> - Θ <sub>e</sub>	H <sub>t,i</sub>	Návrhová ztráta prostupem Φ <sub>t,i</sub> (W)				
24,0	-15,0	39,0	2,32	90,63				

24  
-15

Objem místnosti $V_i$	Výpočtová venkovní teplota $\Theta_e$	Výpočtová vnitřní teplota $\Theta_{int,i}$	Hygienické požadavky	
			$n$ (h <sup>-1</sup> )	$V_{min,i}$ (m <sup>3</sup> /h)
0	-15	24	0	0
Počet nechráněných otvorů	n50	Činitel zaclonění $\epsilon$	Výškový korekční činitel $\epsilon$	Množství vzduchu infiltrací $V_{inf,i}$ (m <sup>3</sup> /h)
1	1	0,03	1	0
Výpočet tepelné ztráty větráním				
max. z $V_{min,i}$ , $V_{inf,i}$		$H_{v,i}$	$\Theta_{int,i} - \Theta_e$	Návrhová tepelná ztráta větráním $\Phi_{V,i}$ (W)
0		0,00	39	<b>0,00</b>

<b>CELKOVÝ NÁVRHOVÝ TEPLENÝ VÝKON :</b>	<b>90,63</b>
---	--------------

3.1.4.	WC		Výpočtová vnitřní teplota				Výpočtová venkovní teplota	
			20 °C				-15 °C	
Tepelné ztráty přímo do venkovního prostředí								
Ozn.	Popis	A <sub>k</sub>	U <sub>k</sub>	ΔU	U <sub>kc</sub>	e <sub>k</sub>	A <sub>k</sub> * U <sub>kc</sub> * e <sub>k</sub>	
STR	strop+střecha	2,32	0,108	0,02	0,128	1	0,30	
Celková měrná tepelná ztráta přímo do venkovního prostředí HT,ie = Σ <sub>k</sub> A <sub>k</sub> * U <sub>kc</sub> * e <sub>k</sub> (W/K)							0,30	
Tepelné ztráty z/do prostorů vytápěných na rozdílné teploty								
Ozn.	Popis	A <sub>k</sub>		U <sub>k</sub>		f <sub>ij</sub>		A <sub>k</sub> * U <sub>k</sub> * f <sub>ij</sub>
SN	stěna k šachtě	2,51		0,495		0,143		0,18
SN	stěna k m.č. 3.1.3	5,77		0,495		-0,114		-0,33
Celková měrná tepelná ztráta z/do prostorů rozdílných teplot H <sub>t,ij</sub> =Σ <sub>k</sub> A <sub>k</sub> * U <sub>k</sub> * f <sub>ij</sub> (W/K)							-0,15	
Tepelné ztráty nevytápěným prostorem								
Ozn.	Popis	A <sub>k</sub>	U <sub>k</sub>	ΔU	U <sub>kc</sub>	b <sub>u</sub>	A <sub>k</sub> * U <sub>kc</sub> * b <sub>u</sub>	
Celková měrná tepelná ztráta přes nevytápěný prostor H <sub>T,iue</sub> = Σ <sub>k</sub> A <sub>k</sub> * U <sub>kc</sub> * b <sub>u</sub> (W/K)							0,00	
Tepelné ztráty zeminou								
Ozn.	Popis	A <sub>k</sub>	U <sub>equiv,bf</sub>	A <sub>k</sub> * U <sub>equiv,bf</sub>		f <sub>g1</sub>	f <sub>g2</sub>	G <sub>w</sub> * f <sub>g1</sub> * f <sub>g2</sub> * G <sub>w</sub>
Celková měrná tepelná ztráta zeminou H <sub>T,ig</sub> = (Σ <sub>k</sub> A <sub>k</sub> * U <sub>equiv,bf</sub> ) * f <sub>g1</sub> * f <sub>g2</sub> * G <sub>w</sub> (W/K)							0,00	
Celková měrná tepelná ztráta prostupem H <sub>T,i</sub> = H <sub>T,ie</sub> + H <sub>T,iue</sub> + H <sub>T,ij</sub> + H <sub>T,ig</sub>							0,15	
Θ <sub>int,i</sub>	Θ <sub>e</sub>	Θ <sub>int,i</sub> -Θ <sub>e</sub>	H <sub>t,i</sub>		Návrhová ztráta prostupem Φ <sub>t,i</sub> (W)			
20,0	-15,0	35,0	0,15		5,18			

Objem místnosti $V_i$	Výpočtová venkovní teplota $\Theta_e$	Výpočtová vnitřní teplota $\Theta_{int,i}$	Hygienické požadavky	
			$n \text{ (h}^{-1} \text{)}$	$V_{min,i} \text{ (m}^3 \text{/h)}$
0	-15	20	0,5	0
Počet nechráněných otvorů	$n_{50}$	Činitel zaclonění $e$	Výškový korekční činitel $\epsilon$	Množství vzduchu infiltrací $V_{inf,i} \text{ (m}^3 \text{/h)}$
1	1	0,03	1	0
Výpočet tepelné ztráty větráním				
max. z $V_{min,i}$ , $V_{inf,i}$		$H_{v,i}$	$\Theta_{int,i} - \Theta_e$	Návrhová tepelná ztráta větráním $\Phi_{V,i} \text{ (W)}$
0		0,00	35	<b>0,00</b>

<b>CELKOVÝ NÁVRHOVÝ TEPLENÝ VÝKON :</b>	<b>5,18</b>
---	-------------



3.1.5.	Ložnice		Výpočtová vnitřní teplota				Výpočtová venkovní teplota	
			20 °C				-15 °C	
Tepelné ztráty přímo do venkovního prostředí								
Ozn.	Popis	A <sub>k</sub>	U <sub>k</sub>	ΔU	U <sub>kc</sub>	e <sub>k</sub>	A <sub>k</sub> * U <sub>kc</sub> * e <sub>k</sub>	
SO	stěna nosná S	8,15	0,172	0,02	0,192	1,00	1,56	
SO	stěna nosná Z	10,79	0,172	0,02	0,192	1,00	2,07	
OZ	okno Z	0,78	0,700	0,00	0,700	1,00	0,55	
OZ	okno Z	1,26	0,700	0,00	0,700	1,00	0,88	
STR	strop+střecha	13,41	0,108	0,02	0,128	1,00	1,72	
Celková měrná tepelná ztráta přímo do venkovního prostředí H <sub>T,ie</sub> = Σ <sub>k</sub> A <sub>k</sub> * U <sub>kc</sub> * e <sub>k</sub> (W/K)							6,78	
Tepelné ztráty z/do prostorů vytápěných na rozdílné teploty								
Ozn.	Popis	A <sub>k</sub>		U <sub>k</sub>		f <sub>ij</sub>		A <sub>k</sub> * U <sub>k</sub> * f <sub>ij</sub>
Celková měrná tepelná ztráta z/do prostorů rozdílných teplot H <sub>T,ij</sub> = Σ <sub>k</sub> A <sub>k</sub> * U <sub>k</sub> * f <sub>ij</sub> (W/K)							0,00	
Tepelné ztráty nevytápěným prostorem								
Ozn.	Popis	A <sub>k</sub>	U <sub>k</sub>	ΔU	U <sub>kc</sub>	b <sub>u</sub>	A <sub>k</sub> * U <sub>kc</sub> * e <sub>k</sub>	
Celková měrná tepelná ztráta přes nevytápěný prostor H <sub>T,lue</sub> = Σ <sub>k</sub> A <sub>k</sub> * U <sub>kc</sub> * b <sub>u</sub> (W/K)							0,00	
Tepelné ztráty zeminou								
Ozn.	Popis	A <sub>k</sub>	U <sub>equiv,bf</sub>	A <sub>k</sub> * U <sub>equiv,bf</sub>		f <sub>g1</sub>	f <sub>g2</sub>	G <sub>w</sub>   f <sub>g1</sub> * f <sub>g2</sub> * G <sub>w</sub>
Celková měrná tepelná ztráta zeminou H <sub>T,ig</sub> = (Σ <sub>k</sub> A <sub>k</sub> * U <sub>equiv,bf</sub> ) * f <sub>g1</sub> * f <sub>g2</sub> * G <sub>w</sub> (W/K)							0,00	
Celková měrná tepelná ztráta prostupem H <sub>T,i</sub> = H <sub>T,ie</sub> + H <sub>T,lue</sub> + H <sub>T,ij</sub> + H <sub>T,ig</sub>							6,78	
Θ <sub>int,i</sub>	Θ <sub>e</sub>	Θ <sub>int,i</sub> - Θ <sub>e</sub>		H <sub>t,i</sub>		Návrhová ztráta prostupem Φ <sub>t,i</sub> (W)		
20,0	-15,0	35,0		6,78		237,33		

20

-15

P=54,16m

B=6

Objem místnosti $V_i$	Výpočtová venkovní teplota $\theta_e$	Výpočtová vnitřní teplota $\theta_{int,i}$	Hygienické požadavky	
			$n$ (h <sup>-1</sup> )	$V_{min,i}$ (m <sup>3</sup> /h)
37,44	-15	20	0,5	18,72
Počet nechráněných otvorů	$n_{50}$	Činitel zaclonění $e$	Výškový korekční činitel $\epsilon$	Množství vzduchu infiltrací $V_{inf,i}$ (m <sup>3</sup> /h)
2	1	0,05	1	7,488
Výpočet tepelné ztráty větráním				
max. z $V_{min,i}$ , $V_{inf,i}$		$H_{v,i}$	$\theta_{int,i} - \theta_e$	Návrhová tepelná ztráta větráním $\Phi_{V,i}$ (W)
18,72		6,36	35	222,77

<b>CELKOVÝ NÁVRHOVÝ TEPLENÝ VÝKON :</b>	<b>460,10</b>
---	---------------

3.1.6.	Pokoj +kk		Výpočtová vnitřní teplota				Výpočtová venkovní teplota	
			20 °C				-15 °C	
Tepelné ztráty přímo do venkovního prostředí								
Ozn.	Popis	A <sub>k</sub>	U <sub>k</sub>	ΔU	U <sub>kc</sub>	e <sub>k</sub>	A <sub>k</sub> * U <sub>kc</sub> * e <sub>k</sub>	
SO	stěna nosná J	11,43	0,172	0,02	0,192	1,00	2,19	
SO	stěna nosná Z	12,10	0,172	0,02	0,192	1,00	2,32	
OZ	okno Z	1,26	0,700	0,00	0,700	1,00	0,88	
OZ	okno J	3,20	0,700	0,00	0,700	1,00	2,24	
OZ	okno J	4,83	0,700	0,00	0,700	1,00	3,38	
STR	strop+střecha	33,33	0,108	0,02	0,128	1,00	4,27	
Celková měrná tepelná ztráta přímo do venkovního prostředí HT,ie = Σ <sub>k</sub> A <sub>k</sub> * U <sub>kc</sub> * e <sub>k</sub> (W/K)							15,29	
Tepelné ztráty z/do prostorů vytápěných na rozdílné teploty								
Ozn.	Popis	A <sub>k</sub>	U <sub>k</sub>		f <sub>ij</sub>		A <sub>k</sub> * U <sub>k</sub> * f <sub>ij</sub>	
Celková měrná tepelná ztráta z/do prostorů rozdílných teplot H <sub>T,ij</sub> =Σ <sub>k</sub> A <sub>k</sub> * U <sub>k</sub> * f <sub>ij</sub> (W/K)							0,00	
Tepelné ztráty nevytápěným prostorem								
Ozn.	Popis	A <sub>k</sub>	U <sub>k</sub>	ΔU	U <sub>kc</sub>	b <sub>u</sub>	A <sub>k</sub> * U <sub>kc</sub> * e <sub>k</sub>	
Celková měrná tepelná ztráta přes nevytápěný prostor H <sub>T,iue</sub> = Σ <sub>k</sub> A <sub>k</sub> * U <sub>kc</sub> * b <sub>u</sub> (W/K)							0,00	
Tepelné ztráty zeminou								
Ozn.	Popis	A <sub>k</sub>	U <sub>equiv,bf</sub>	A <sub>k</sub> * U <sub>equiv,bf</sub>	f <sub>g1</sub>	f <sub>g2</sub>	G <sub>w</sub>	f <sub>g1</sub> * f <sub>g2</sub> * G <sub>w</sub>
Celková měrná tepelná ztráta zeminou H <sub>T,ig</sub> = (Σ <sub>k</sub> A <sub>k</sub> * U <sub>equiv,bf</sub> ) * f <sub>g1</sub> * f <sub>g2</sub> * G <sub>w</sub> (W/K)							0,00	
Celková měrná tepelná ztráta prostupem H <sub>T,i</sub> = H <sub>T,ie</sub> + H <sub>T,iue</sub> + H <sub>T,ij</sub> + H <sub>T,ig</sub>							15,29	
Θ <sub>int,i</sub>	Θ <sub>e</sub>	Θ <sub>int,i</sub> - Θ <sub>e</sub>		H <sub>t,i</sub>	Návrhová ztráta prostupem Φ <sub>ti</sub> (W)			
20,0	-15,0	35,0		15,29	535,05			

20  
-15

P=54,16m

B=6

Objem místnosti $V_i$	Výpočtová venkovní teplota $\Theta_e$	Výpočtová vnitřní teplota $\Theta_{int,i}$	Hygienické požadavky	
			$n$ (h <sup>-1</sup> )	$V_{min,i}$ (m <sup>3</sup> /h)
93,09	-15	20	0,5	46,545
Počet nechráněných otvorů	$n_{50}$	Činitel zaclonění $e$	Výškový korekční činitel $\epsilon$	Množství vzduchu infiltrací $V_{inf,i}$ (m <sup>3</sup> /h)
3	1	0,05	1	27,927
Výpočet tepelné ztráty větráním				
max. z $V_{min,i}$ , $V_{inf,i}$		$H_{v,i}$	$\Theta_{int,i} - \Theta_e$	Návrhová tepelná ztráta větráním $\Phi_{V,i}$ (W)
46,545		15,83	35	553,89

CELKOVÝ NÁVRHOVÝ TEPLENÝ VÝKON :	1 088,93
----------------------------------	----------

3.2.1.	Chodba		Výpočtová vnitřní teplota				Výpočtová venkovní teplota	
			20 °C				-15 °C	
Tepelné ztráty přímo do venkovního prostředí								
Ozn.	Popis	A <sub>k</sub>	U <sub>k</sub>	ΔU	U <sub>kc</sub>	e <sub>k</sub>	A <sub>k</sub> * U <sub>kc</sub> * e <sub>k</sub>	
SO	stěna nosná S	6,72	0,172	0,02	0,192	1,00	1,29	
DO	dveře vstupní	1,80	1,200	0,00	1,200	1,00	2,16	
Celková měrná tepelná ztráta přímo do venkovního prostředí H <sub>T,ie</sub> = Σ <sub>k</sub> A <sub>k</sub> * U <sub>kc</sub> * e <sub>k</sub> (W/K)							3,45	
Tepelné ztráty z/do prostorů vytápěných na rozdílné teploty								
Ozn.	Popis	A <sub>k</sub>	U <sub>k</sub>			f <sub>ij</sub>	A <sub>k</sub> * U <sub>k</sub> * f <sub>ij</sub>	
SN	stěna k m.č. 3.2.2	3,84			0,495	-0,114	-0,22	
DN	stěna k m.č. 3.2.2	1,38			2,000	-0,114	-0,32	
STR	strop ke kotelně	9,44			0,088	0,286	0,24	
Celková měrná tepelná ztráta z/do prostorů rozdílných teplot H <sub>T,ij</sub> = Σ <sub>k</sub> A <sub>k</sub> * U <sub>k</sub> * f <sub>ij</sub> (W/K)							-0,30	
Tepelné ztráty nevytápěným prostorem								
Ozn.	Popis	A <sub>k</sub>	U <sub>k</sub>	ΔU	U <sub>kc</sub>	b <sub>u</sub>	A <sub>k</sub> * U <sub>kc</sub> * e <sub>k</sub>	
Celková měrná tepelná ztráta přes nevytápěný prostor H <sub>T,lue</sub> = Σ <sub>k</sub> A <sub>k</sub> * U <sub>kc</sub> * b <sub>u</sub> (W/K)							0,00	
Tepelné ztráty zeminou								
Ozn.	Popis	A <sub>k</sub>	U <sub>equiv,bf</sub>	A <sub>k</sub> * U <sub>equiv,bf</sub>	f <sub>g1</sub>	f <sub>g2</sub>	G <sub>w</sub>	f <sub>g1</sub> * f <sub>g2</sub> * G <sub>w</sub>
Celková měrná tepelná ztráta zeminou H <sub>T,ig</sub> = (Σ <sub>k</sub> A <sub>k</sub> * U <sub>equiv,bf</sub> ) * f <sub>g1</sub> * f <sub>g2</sub> * G <sub>w</sub> (W/K)							0,00	
Celková měrná tepelná ztráta prostupem H <sub>T,i</sub> = H <sub>T,ie</sub> + H <sub>T,lue</sub> + H <sub>T,ij</sub> + H <sub>T,ig</sub>							3,15	
Θ <sub>int,i</sub>	Θ <sub>e</sub>	Θ <sub>int,i</sub> - Θ <sub>e</sub>	H <sub>t,i</sub>	Návrhová ztráta prostupem Φ <sub>e,i</sub> (W)				
20,0	-15,0	35,0	3,15	110,42				

20

-15

24

24

10

P=54,16m

B=6

Objem místnosti $V_i$	Výpočtová venkovní teplota $\theta_e$	Výpočtová vnitřní teplota $\theta_{int,i}$	Hygienické požadavky	
			$n$ (h <sup>-1</sup> )	$V_{min,i}$ (m <sup>3</sup> /h)
0	-15	20	0,5	0
Počet nechráněných otvorů	$n_{50}$	Činitel zaclonění $e$	Výškový korekční činitel $\epsilon$	Množství vzduchu infiltrací $V_{inf,i}$ (m <sup>3</sup> /h)
0	0	0	0	0
Výpočet tepelné ztráty větráním				
max. z $V_{min,i}$ , $V_{inf,i}$		$H_{v,i}$	$\theta_{int,i} - \theta_e$	Návrhová tepelná ztráta větráním $\Phi_{V,i}$ (W)
0		0,00	35	0,00

<b>CELKOVÝ NÁVRHOVÝ TEPLENÝ VÝKON :</b>	<b>110,42</b>
---	---------------

3.2.2.	Koupelna				Výpočtová vnitřní teplota		Výpočtová venkovní teplota	
					24 °C		-15 °C	
Tepelné ztráty přímo do venkovního prostředí								
Ozn.	Popis	A <sub>k</sub>	U <sub>k</sub>	ΔU	U <sub>kc</sub>	e <sub>k</sub>	A <sub>k</sub> * U <sub>kc</sub> * e <sub>k</sub>	
SO	stěna nosná S	5,88	0,172	0,02	0,192	1,00	1,13	
SO	stěna nosná Z	5,78	0,172	0,02	0,192	1,00	1,11	
OZ	okno	0,78	0,700	0,00	0,700	1,00	0,55	
Celková měrná tepelná ztráta přímo do venkovního prostředí HT,ie = Σ <sub>k</sub> A <sub>k</sub> * U <sub>kc</sub> * e <sub>k</sub> (W/K)							2,78	
Tepelné ztráty z/do prostorů vytápěných na rozdílné teploty								
Ozn.	Popis	A <sub>k</sub>	U <sub>k</sub>	f <sub>ij</sub>		A <sub>k</sub> * U <sub>k</sub> * f <sub>ij</sub>		
SN	stěna k m.č. 3.2.1	3,84	0,495		0,103		0,19	
SN	stěna k m.č. 3.2.3	6,66	0,495		0,103		0,34	
DN	dveře k m. č. 3.2.1	1,38	2,000		0,103		0,28	
STR	strop+střecha	4,64	0,088		0,359		0,15	
Celková měrná tepelná ztráta z/do prostorů rozdílných teplot H <sub>t,ij</sub> =Σ <sub>k</sub> A <sub>k</sub> * U <sub>k</sub> * f <sub>ij</sub> (W/K)							0,96	
Tepelné ztráty nevytápěným prostorem								
Ozn.	Popis	A <sub>k</sub>	U <sub>k</sub>	ΔU	U <sub>kc</sub>	b <sub>u</sub>	A <sub>k</sub> * U <sub>kc</sub> * e <sub>k</sub>	
Celková měrná tepelná ztráta přes nevytápěný prostor H <sub>t,lue</sub> = Σ <sub>k</sub> A <sub>k</sub> * U <sub>kc</sub> * b <sub>u</sub> (W/K)							0,00	
Tepelné ztráty zeminou								
Ozn.	Popis	A <sub>k</sub>	U <sub>equiv,bf</sub>	A <sub>k</sub> * U <sub>equiv,bf</sub>	f <sub>g1</sub>	f <sub>g2</sub>	G <sub>w</sub>	f <sub>g1</sub> * f <sub>g2</sub> * G <sub>w</sub>
Celková měrná tepelná ztráta zeminou H <sub>t,ig</sub> = (Σ <sub>k</sub> A <sub>k</sub> * U <sub>equiv,bf</sub> ) * f <sub>g1</sub> * f <sub>g2</sub> * G <sub>w</sub> (W/K)							0,00	
Celková měrná tepelná ztráta prostupem H <sub>T,i</sub> = H <sub>T,ie</sub> + H <sub>T,lue</sub> + H <sub>T,ij</sub> + H <sub>T,ig</sub>							3,75	
Θ <sub>int,i</sub>	Θ <sub>e</sub>	Θ <sub>int,i</sub> -Θ <sub>e</sub>	H <sub>t,i</sub>	Návrhová ztráta prostupem Φ <sub>u,i</sub> (W)				
24,0	-15,0	39,0	3,75	146,15				

24  
-15

20  
20  
20  
10

P=54,16m

B=6

Objem místnosti $V_i$	Výpočtová venkovní teplota $\Theta_e$	Výpočtová vnitřní teplota $\Theta_{int,i}$	Hygienické požadavky	
			$n$ (h <sup>-1</sup> )	$V_{min,i}$ (m <sup>3</sup> /h)
12,95	-15	24	1,5	19,425
Počet nechráněných otvorů	$n_{50}$	Činitel zaclonění $e$	Výškový korekční činitel $\epsilon$	Množství vzduchu infiltrací $V_{inf,i}$ (m <sup>3</sup> /h)
1	4	0,03	1	3,108
Výpočet tepelné ztráty větráním				
max. z $V_{min,i}$ , $V_{inf,i}$		$H_{v,i}$	$\Theta_{int,i} - \Theta_e$	Návrhová tepelná ztráta větráním $\Phi_{V,i}$ (W)
19,425		6,60	39	<b>257,58</b>
<b>CELKOVÝ NÁVRHOVÝ TEPLENÝ VÝKON :</b>			<b>403,73</b>	

3.2.3.	WC		Výpočtová vnitřní teplota				Výpočtová venkovní teplota	
			20 °C				-15 °C	
Tepelné ztráty přímo do venkovního prostředí								
Ozn.	Popis	A <sub>k</sub>	U <sub>k</sub>	ΔU	U <sub>kc</sub>	e <sub>k</sub>	A <sub>k</sub> * U <sub>kc</sub> * e <sub>k</sub>	
SO	stěna nosná Z	2,51	0,172	0,02	0,192	1,00	0,48	
Celková měrná tepelná ztráta přímo do venkovního prostředí HT,ie = Σ <sub>k</sub> A <sub>k</sub> * U <sub>kc</sub> * e <sub>k</sub> (W/K)							0,48	
Tepelné ztráty z/do prostorů vytápěných na rozdílné teploty								
Ozn.	Popis	A <sub>k</sub>		U <sub>k</sub>		f <sub>ij</sub>	A <sub>k</sub> * U <sub>k</sub> * f <sub>ij</sub>	
SN	stěna k m.č. 3.2.2	6,16		0,495		-0,114	-0,35	
STR	strop+střecha	1,92		0,088		0,286	0,05	
Celková měrná tepelná ztráta z/do prostorů rozdílných teplot H <sub>t,ij</sub> = Σ <sub>k</sub> A <sub>k</sub> * U <sub>k</sub> * f <sub>ij</sub> (W/K)							-0,30	
Tepelné ztráty nevytápěným prostorem								
Ozn.	Popis	A <sub>k</sub>	U <sub>k</sub>	ΔU	U <sub>kc</sub>	b <sub>u</sub>	A <sub>k</sub> * U <sub>kc</sub> * e <sub>k</sub>	
Celková měrná tepelná ztráta přes nevytápěný prostor H <sub>T,iue</sub> = Σ <sub>k</sub> A <sub>k</sub> * U <sub>kc</sub> * b <sub>u</sub> (W/K)							0,00	
Tepelné ztráty zeminou								
Ozn.	Popis	A <sub>k</sub>	U <sub>equiv,bf</sub>	A <sub>k</sub> * U <sub>equiv,bf</sub>		f <sub>g1</sub>	f <sub>g2</sub>	G <sub>w</sub>   f <sub>g1</sub> * f <sub>g2</sub> * G <sub>w</sub>
Celková měrná tepelná ztráta zeminou H <sub>T,ig</sub> = (Σ <sub>k</sub> A <sub>k</sub> * U <sub>equiv,bf</sub> ) * f <sub>g1</sub> * f <sub>g2</sub> * G <sub>w</sub> (W/K)							0,00	
Celková měrná tepelná ztráta prostupem H <sub>T,i</sub> = H <sub>T,ie</sub> + H <sub>T,iue</sub> + H <sub>T,ij</sub> + H <sub>T,ig</sub>							0,18	
Θ <sub>int,i</sub>	Θ <sub>e</sub>	Θ <sub>int,i</sub> - Θ <sub>e</sub>	H <sub>t,i</sub>		Návrhová ztráta prostupem Φ <sub>u,i</sub> (W)			
20,0	-15,0	35,0	0,18		6,36			

20  
-15

24  
10

P=54,16m

B=6

Objem místnosti $V_i$	Výpočtová venkovní teplota $\Theta_e$	Výpočtová vnitřní teplota $\Theta_{int,i}$	Hygienické požadavky	
			$n$ (h <sup>-1</sup> )	$V_{min,i}$ (m <sup>3</sup> /h)
0	0	0	0	0
Počet nechráněných otvorů	n50	Činitel zaclonění $e$	Výškový korekční činitel $\epsilon$	Množství vzduchu infiltrací $V_{inf,i}$ (m <sup>3</sup> /h)
0	0	0	0	0

Výpočet tepelné ztráty větráním

max. z $V_{min,i}$ , $V_{inf,i}$	$H_{v,i}$	$\Theta_{int,i} - \Theta_e$	Návrhová tepelná ztráta větráním $\Phi_{V,i}$ (W)	
0	0,00	0	0,00	

CELKOVÝ NÁVRHOVÝ TEPLENÝ VÝKON :	6,36
----------------------------------	------

3.2.4.	Ložnice		Výpočtová vnitřní teplota				Výpočtová venkovní teplota	
			20 °C				-15 °C	
Tepelné ztráty přímo do venkovního prostředí								
Ozn.	Popis	A <sub>k</sub>	U <sub>k</sub>	ΔU	U <sub>kc</sub>	e <sub>k</sub>	A <sub>k</sub> * U <sub>kc</sub> * e <sub>k</sub>	
S05	stěna nosná S	11,11	0,172	0,02	0,192	1,00	2,13	
OZ	okno	0,78	0,700	0,00	0,700	1,00	0,55	
STR	strop+střecha	13,17	0,108	0,02	0,128	1,00	1,69	
Celková měrná tepelná ztráta přímo do venkovního prostředí HT,ie = Σ <sub>k</sub> A <sub>k</sub> * U <sub>kc</sub> * e <sub>k</sub> (W/K)							4,36	
Tepelné ztráty z/do prostorů vytápěných na rozdílné teploty								
Ozn.	Popis	A <sub>k</sub>	U <sub>k</sub>	f <sub>ij</sub>		A <sub>k</sub> * U <sub>k</sub> * f <sub>ij</sub>		
SN	stěna k m.č. 3.1.3.	8,64	0,205		-0,114		-0,20	
Celková měrná tepelná ztráta z/do prostorů rozdílných teplot H <sub>t,ij</sub> =Σ <sub>k</sub> A <sub>k</sub> * U <sub>k</sub> * f <sub>ij</sub> (W/K)							-0,20	
Tepelné ztráty nevytápěným prostorem								
Ozn.	Popis	A <sub>k</sub>	U <sub>k</sub>	ΔU	U <sub>kc</sub>	b <sub>u</sub>	A <sub>k</sub> * U <sub>kc</sub> * e <sub>k</sub>	
Celková měrná tepelná ztráta přes nevytápěný prostor H <sub>T,iue</sub> = Σ <sub>k</sub> A <sub>k</sub> * U <sub>kc</sub> * b <sub>u</sub> (W/K)							0,00	
Tepelné ztráty zeminou								
Ozn.	Popis	A <sub>k</sub>	U <sub>equiv,bf</sub>	A <sub>k</sub> * U <sub>equiv,bf</sub>	f <sub>g1</sub>	f <sub>g2</sub>	G <sub>w</sub>	f <sub>g1</sub> * f <sub>g2</sub> * G <sub>w</sub>
Celková měrná tepelná ztráta zeminou H <sub>T,ig</sub> = (Σ <sub>k</sub> A <sub>k</sub> * U <sub>equiv,bf</sub> ) * f <sub>g1</sub> * f <sub>g2</sub> * G <sub>w</sub> (W/K)							0,00	
Celková měrná tepelná ztráta prostupem H <sub>T,i</sub> = H <sub>T,ie</sub> + H <sub>T,iue</sub> + H <sub>T,ij</sub> + H <sub>T,ig</sub>							4,16	
Θ <sub>int,i</sub>	Θ <sub>e</sub>	Θ <sub>int,i</sub> - Θ <sub>e</sub>	H <sub>t,i</sub>	Návrhová ztráta prostupem Φ <sub>ti</sub> (W)				
20,0	-15,0	35,0	4,16	145,69				

20

-15

24

P=54,16m

B=6

Objem místnosti $V_i$	Výpočtová venkovní teplota $\theta_e$	Výpočtová vnitřní teplota $\theta_{int,i}$	Hygienické požadavky	
			$n$ (h <sup>-1</sup> )	$V_{min,i}$ (m <sup>3</sup> /h)
36,79	-15	20	0,5	18,395
Počet nechráněných otvorů	$n_{50}$	Činitel zaclonění $e$	Výškový korekční činitel $\epsilon$	Množství vzduchu infiltrací $V_{inf,i}$ (m <sup>3</sup> /h)
1	1	0,03	1	2,2074
Výpočet tepelné ztráty větráním				
max. z $V_{min,i}$ , $V_{inf,i}$		$H_{v,i}$	$\theta_{int,i} - \theta_e$	Návrhová tepelná ztráta větráním $\Phi_{V,i}$ (W)
18,395		6,25	35	218,90

<b>CELKOVÝ NÁVRHOVÝ TEPLENÝ VÝKON :</b>	<b>364,59</b>
---	---------------

3.2.6.	OBÝVACÍ POKOJ				Výpočtová vnitřní teplota		Výpočtová venkovní teplota	
					20 °C		-15 °C	
Tepelné ztráty přímo do venkovního prostředí								
Ozn.	Popis	A <sub>k</sub>	U <sub>k</sub>	ΔU	U <sub>kc</sub>	e <sub>k</sub>	A <sub>k</sub> * U <sub>kc</sub> * e <sub>k</sub>	
S05	stěna nosná J	9,91	0,172	0,02	0,192	1,00	1,90	
OZ	okno na balkon	4,83	0,700	0,00	0,700	1,00	3,38	
OZ	okno	2,70	0,700	0,00	0,700	1,00	1,89	
STR	strop+střecha	2,87	0,108	0,02	0,128	1,00	0,37	
Celková měrná tepelná ztráta přímo do venkovního prostředí HT,ie = Σ <sub>k</sub> A <sub>k</sub> * U <sub>kc</sub> * e <sub>k</sub> (W/K)							7,54	
Tepelné ztráty z/do prostorů vytápěných na rozdílné teploty								
Ozn.	Popis	A <sub>k</sub>	U <sub>k</sub>	f <sub>ij</sub>	A <sub>k</sub> * U <sub>k</sub> * f <sub>ij</sub>			
SN	stěna k m.č. 3.3.2	2,78	0,107	-0,114	-0,03			
SN	stěna k šachtě	1,40	0,205	0,143	0,04			
STR	strop ke kotelně	27,00	0,088	0,286	0,68			
Celková měrná tepelná ztráta z/do prostorů rozdílných teplot H <sub>t,ij</sub> =Σ <sub>k</sub> A <sub>k</sub> * U <sub>k</sub> * f <sub>ij</sub> (W/K)							0,69	
Tepelné ztráty nevytápěným prostorem								
Ozn.	Popis	A <sub>k</sub>	U <sub>k</sub>	ΔU	U <sub>kc</sub>	b <sub>u</sub>	A <sub>k</sub> * U <sub>kc</sub> * b <sub>u</sub>	
Celková měrná tepelná ztráta přes nevytápěný prostor H <sub>T,iue</sub> = Σ <sub>k</sub> A <sub>k</sub> * U <sub>kc</sub> * b <sub>u</sub> (W/K)							0,000	
Tepelné ztráty zeminou								
Ozn.	Popis	A <sub>k</sub>	U <sub>equiv,bf</sub>	A <sub>k</sub> * U <sub>equiv,bf</sub>	f <sub>g1</sub>	f <sub>g2</sub>	G <sub>w</sub>	f <sub>g1</sub> * f <sub>g2</sub> * G <sub>w</sub>
Celková měrná tepelná ztráta zeminou H <sub>T,ig</sub> = (Σ <sub>k</sub> A <sub>k</sub> * U <sub>equiv,bf</sub> ) * f <sub>g1</sub> * f <sub>g2</sub> * G <sub>w</sub> (W/K)							0,00	
Celková měrná tepelná ztráta prostupem H <sub>T,i</sub> = H <sub>T,ie</sub> + H <sub>T,iue</sub> + H <sub>T,ij</sub> + H <sub>T,ig</sub>							8,23	
Θ <sub>int,i</sub>	Θ <sub>e</sub>	Θ <sub>int,i</sub> -Θ <sub>e</sub>	H <sub>t,i</sub>	Návrhová ztráta prostupem Φ <sub>u,i</sub> (W)				
20,0	-15,0	35,0	8,23	287,94				

20  
-15

24  
15  
10

P=54,16m

B=6

Objem místnosti $V_i$	Výpočtová venkovní teplota $\Theta_e$	Výpočtová vnitřní teplota $\Theta_{int,i}$	Hygienické požadavky	
			$n$ (h <sup>-1</sup> )	$V_{min,i}$ (m <sup>3</sup> /h)
83,42	-15	20	0,5	41,71
Počet nechráněných otvorů	$n_{50}$	Činitel zaclonění $e$	Výškový korekční činitel $\epsilon$	Množství vzduchu infiltrací $V_{inf,i}$ (m <sup>3</sup> /h)
2	1	0,03	1	10,0104
Výpočet tepelné ztráty větráním				
max. z $V_{min,i}$ , $V_{inf,i}$		$H_{v,i}$	$\Theta_{int,i} - \Theta_e$	Návrhová tepelná ztráta větráním $\Phi_{V,i}$ (W)
41,71		14,18	35	496,35
CELKOVÝ NÁVRHOVÝ TEPLENÝ VÝKON :			784,29	

3.2.7.	POKOJ		Výpočtová vnitřní teplota			Výpočtová venkovní teplota		
			20 °C			-15 °C		
Tepelné ztráty přímo do venkovního prostředí								
Ozn.	Popis	A <sub>k</sub>	U <sub>k</sub>	ΔU	U <sub>kc</sub>	e <sub>k</sub>	A <sub>k</sub> * U <sub>kc</sub> * e <sub>k</sub>	
SO	stěna nosná J	7,21	0,172	0,02	0,192	1,00	1,38	
OZ	okno	2,70	0,700	0,00	0,700	1,00	1,89	
STR	strop+střecha	13,67	0,108	0,02	0,128	1,00	1,75	
Celková měrná tepelná ztráta přímo do venkovního prostředí HT,ie = Σ <sub>k</sub> A <sub>k</sub> * U <sub>kc</sub> * e <sub>k</sub> (W/K)							5,02	
Tepelné ztráty z/do prostorů vytápěných na rozdílné teploty								
Ozn.	Popis	A <sub>k</sub>		U <sub>k</sub>		f <sub>ij</sub>		A <sub>k</sub> * U <sub>k</sub> * f <sub>ij</sub>
Celková měrná tepelná ztráta z/do prostorů rozdílných teplot H <sub>t,ij</sub> =Σ <sub>k</sub> A <sub>k</sub> * U <sub>k</sub> * f <sub>ij</sub> (W/K)							0,00	
Tepelné ztráty nevytápěným prostorem								
Ozn.	Popis	A <sub>k</sub>	U <sub>k</sub>	ΔU	U <sub>kc</sub>	b <sub>u</sub>	A <sub>k</sub> * U <sub>kc</sub> * e <sub>k</sub>	
Celková měrná tepelná ztráta přes nevytápěný prostor H <sub>T,iue</sub> = Σ <sub>k</sub> A <sub>k</sub> * U <sub>kc</sub> * b <sub>u</sub> (W/K)							0,00	
Tepelné ztráty zeminou								
Ozn.	Popis	A <sub>k</sub>	U <sub>equiv,bf</sub>	A <sub>k</sub> * U <sub>equiv,bf</sub>		f <sub>g1</sub>	f <sub>g2</sub>	G <sub>w</sub>   f <sub>g1</sub> * f <sub>g2</sub> * G <sub>w</sub>
Celková měrná tepelná ztráta zeminou H <sub>T,ig</sub> = (Σ <sub>k</sub> A <sub>k</sub> * U <sub>equiv,bf</sub> ) * f <sub>g1</sub> * f <sub>g2</sub> * G <sub>w</sub> (W/K)							0,00	
Celková měrná tepelná ztráta prostupem H <sub>T,i</sub> = H <sub>T,ie</sub> + H <sub>T,iue</sub> + H <sub>T,ij</sub> + H <sub>T,ig</sub>							5,02	
Θ <sub>int,i</sub>	Θ <sub>e</sub>	Θ <sub>int,i</sub> - Θ <sub>e</sub>		H <sub>t,i</sub>		Návrhová ztráta prostupem Φ <sub>ti</sub> (W)		
20,0	-15,0	35,0		5,02		175,84		

20

-15

P=54,16m

B=6

Objem místnosti $V_i$	Výpočtová venkovní teplota $\Theta_e$	Výpočtová vnitřní teplota $\Theta_{int,i}$	Hygienické požadavky	
			$n$ (h <sup>-1</sup> )	$V_{min,i}$ (m <sup>3</sup> /h)
38,19	-15	20	0,5	19,095
Počet nechráněných otvorů	$n_{50}$	Činitel zaclonění $e$	Výškový korekční činitel $\epsilon$	Množství vzduchu infiltrací $V_{inf,i}$ (m <sup>3</sup> /h)
1	1	0,03	1	2,2914
Výpočet tepelné ztráty větráním				
max. z $V_{min,i}$ , $V_{inf,i}$		$H_{v,i}$	$\Theta_{int,i} - \Theta_e$	Návrhová tepelná ztráta větráním $\Phi_{V,i}$ (W)
19,095		6,49	35,0	227,23

<b>CELKOVÝ NÁVRHOVÝ TEPLENÝ VÝKON :</b>	<b>403,07</b>
---	---------------



3.3.1.	Chodba		Výpočtová vnitřní teplota				Výpočtová venkovní teplota	
			20 °C				-15 °C	
Tepelné ztráty přímo do venkovního prostředí								
Ozn.	Popis	A <sub>k</sub>	U <sub>k</sub>	ΔU	U <sub>kc</sub>	e <sub>k</sub>	A <sub>k</sub> * U <sub>kc</sub> * e <sub>k</sub>	
SO	stěna nosná S	4,90	0,164	0,02	0,184	1,00	0,90	
DO	dveře vstupní	1,80	1,200	0,00	1,200	1,00	2,16	
STR	strop+střecha	7,06	0,108	0,02	0,128	1,00	0,90	
Celková měrná tepelná ztráta přímo do venkovního prostředí HT,ie = Σ <sub>k</sub> A <sub>k</sub> * U <sub>kc</sub> * e <sub>k</sub> (W/K)							3,97	
Tepelné ztráty z/do prostorů vytápěných na rozdílne teploty								
Ozn.	Popis	A <sub>k</sub>	U <sub>k</sub>	f <sub>ij</sub>		A <sub>k</sub> * U <sub>k</sub> * f <sub>ij</sub>		
DN	dveře k m.č. 3.3.2	1,38	2,00	-0,114		-0,32		
SN	stěna k m.č. 3.3.2	3,00	0,495	-0,114		-0,17		
Celková měrná tepelná ztráta z/do prostorů rozdílných teplot H <sub>t,ij</sub> =Σ <sub>k</sub> A <sub>k</sub> * U <sub>k</sub> * f <sub>ij</sub> (W/K)							-0,49	
Tepelné ztráty nevytápěným prostorem								
Ozn.	Popis	A <sub>k</sub>	U <sub>k</sub>	ΔU	U <sub>kc</sub>	b <sub>u</sub>	A <sub>k</sub> * U <sub>kc</sub> * e <sub>k</sub>	
Celková měrná tepelná ztráta přes nevytápěný prostor H <sub>T,lue</sub> = Σ <sub>k</sub> A <sub>k</sub> * U <sub>kc</sub> * b <sub>u</sub> (W/K)							0,00	
Tepelné ztráty zeminou								
Ozn.	Popis	A <sub>k</sub>	U <sub>equiv,bf</sub>	A <sub>k</sub> * U <sub>equiv,bf</sub>	f <sub>g1</sub>	f <sub>g2</sub>	G <sub>w</sub>	f <sub>g1</sub> * f <sub>g2</sub> * G <sub>w</sub>
Celková měrná tepelná ztráta zeminou H <sub>T,ig</sub> = (Σ <sub>k</sub> A <sub>k</sub> * U <sub>equiv,bf</sub> ) * f <sub>g1</sub> * f <sub>g2</sub> * G <sub>w</sub> (W/K)							0,00	
Celková měrná tepelná ztráta prostupem H <sub>T,i</sub> = H <sub>T,ie</sub> + H <sub>T,lue</sub> + H <sub>T,ij</sub> + H <sub>T,ig</sub>							3,48	
Θ <sub>int,i</sub>	Θ <sub>e</sub>	Θ <sub>int,i</sub> -Θ <sub>e</sub>	H <sub>t,i</sub>	Návrhová ztráta prostupem Φ <sub>t,i</sub> (W)				
20,0	-15,0	35,0	3,48	121,80				

20  
-15

24  
24

Objem místnosti $V_i$	Výpočtová venkovní teplota $\theta_e$	Výpočtová vnitřní teplota $\theta_{int,i}$	Hygienické požadavky	
			$n$ (h <sup>-1</sup> )	$V_{min,i}$ (m <sup>3</sup> /h)
0	-15	20	0,5	0
	$n_{50}$	Činitel zaclonění $e$	Výškový korekční činitel $\epsilon$	Množství vzduchu infiltrací $V_{inf,i}$ (m <sup>3</sup> /h)
1	1	0,03	1	0
Výpočet tepelné ztráty větráním				
max. z $V_{min,i}$ , $V_{inf,i}$		$H_{v,i}$	$\theta_{int,i} - \theta_e$	Návrhová tepelná ztráta větráním $\Phi_{V,i}$ (W)
0		0,00	35	0,00

CELKOVÝ NÁVRHOVÝ TEPLENÝ VÝKON :	121,80
----------------------------------	--------

3.3.2.	Koupelna				Výpočtová vnitřní teplota		Výpočtová venkovní teplota	
					24 °C		-15 °C	
Tepelné ztráty přímo do venkovního prostředí								
Ozn.	Popis	A <sub>k</sub>	U <sub>k</sub>	ΔU	U <sub>kc</sub>	e <sub>k</sub>	A <sub>k</sub> * U <sub>kc</sub> * e <sub>k</sub>	
SO	stěna nosná S	5,76	0,164	0,02	0,184	1,00	1,06	
OZ	okno	0,78	0,700	0,00	0,700	1,00	0,55	
STR	strop+střecha	7,06	0,108	0,02	0,128	1,00	0,90	
Celková měrná tepelná ztráta přímo do venkovního prostředí HT,ie = Σ <sub>k</sub> A <sub>k</sub> * U <sub>kc</sub> * e <sub>k</sub> (W/K)							2,51	
Tepelné ztráty z/do prostorů vytápěných na rozdílné teploty								
Ozn.	Popis	A <sub>k</sub>	U <sub>k</sub>	f <sub>ij</sub>		A <sub>k</sub> * U <sub>k</sub> * f <sub>ij</sub>		
SN	stěna k m.č. 3.3.3	7,52	0,495		0,103		0,38	
SN	stěna k m.č. 3.3.1	3,02	0,495		0,103		0,15	
SN	stěna k m.č. 3.2.6	4,85	0,11		0,103		0,05	
DN	dveře k m.č. 3.3.1	1,38	0,495		0,103		0,07	
Celková měrná tepelná ztráta z/do prostorů rozdílných teplot H <sub>t,ij</sub> = Σ <sub>k</sub> A <sub>k</sub> * U <sub>k</sub> * f <sub>ij</sub> (W/K)							0,66	
Tepelné ztráty nevytápěným prostorem								
Ozn.	Popis	A <sub>k</sub>	U <sub>k</sub>	ΔU	U <sub>kc</sub>	b <sub>u</sub>	A <sub>k</sub> * U <sub>kc</sub> * e <sub>k</sub>	
Celková měrná tepelná ztráta přes nevytápěný prostor H <sub>T,lue</sub> = Σ <sub>k</sub> A <sub>k</sub> * U <sub>kc</sub> * b <sub>u</sub> (W/K)							0,00	
Tepelné ztráty zeminou								
Ozn.	Popis	A <sub>k</sub>	U <sub>equiv,bf</sub>	A <sub>k</sub> * U <sub>equiv,bf</sub>	f <sub>g1</sub>	f <sub>g2</sub>	G <sub>w</sub>	f <sub>g1</sub> * f <sub>g2</sub> * G <sub>w</sub>
Celková měrná tepelná ztráta zeminou H <sub>T,ig</sub> = (Σ <sub>k</sub> A <sub>k</sub> * U <sub>equiv,bf</sub> ) * f <sub>g1</sub> * f <sub>g2</sub> * G <sub>w</sub> (W/K)							0,00	
Celková měrná tepelná ztráta prostupem H <sub>T,i</sub> = H <sub>T,ie</sub> + H <sub>T,lue</sub> + H <sub>T,ij</sub> + H <sub>T,ig</sub>							3,17	
Θ <sub>int,i</sub>	Θ <sub>e</sub>	Θ <sub>int,i</sub> - Θ <sub>e</sub>	H <sub>t,i</sub>	Návrhová ztráta prostupem Φ <sub>t,i</sub> (W)				
24,0	-15,0	39,0	3,17	123,55				

24  
-15

20  
20  
20  
20

Objem místnosti $V_i$	Výpočtová venkovní teplota $\Theta_e$	Výpočtová vnitřní teplota $\Theta_{int,i}$	Hygienické požadavky	
			$n$ (h <sup>-1</sup> )	$V_{min,i}$ (m <sup>3</sup> /h)
19,73	-15	24	1,5	29,595
Počet nechráněných otvorů	$n_{50}$	Činitel zaclonění $e$	Výškový korekční činitel $\epsilon$	Množství vzduchu infiltrací $V_{inf,i}$ (m <sup>3</sup> /h)
2	1	0,03	1	2,3676
Výpočet tepelné ztráty větráním				
max. z $V_{min,i}$ , $V_{inf,i}$		$H_{v,i}$	$\Theta_{int,i} - \Theta_e$	Návrhová tepelná ztráta větráním $\Phi_{V,i}$ (W)
29,595		10,06	39	392,43
CELKOVÝ NÁVRHOVÝ TEPLENÝ VÝKON :			515,98	

3.3.3.	WC		Výpočtová vnitřní teplota				Výpočtová venkovní teplota	
			20 °C				-15 °C	
Tepelné ztráty přímo do venkovního prostředí								
Ozn.	Popis	A <sub>k</sub>	U <sub>k</sub>	ΔU	U <sub>kc</sub>	e <sub>k</sub>	A <sub>k</sub> * U <sub>kc</sub> * e <sub>k</sub>	
STR	strop+střecha	1,93	0,108	0,02	0,128	1,00	0,25	
Celková měrná tepelná ztráta přímo do venkovního prostředí HT,ie = Σ <sub>k</sub> A <sub>k</sub> * U <sub>kc</sub> * e <sub>k</sub> (W/K)							0,25	
Tepelné ztráty z/do prostorů vytápěných na rozdílné teploty								
Ozn.	Popis	A <sub>k</sub>		U <sub>k</sub>	f <sub>ij</sub>		A <sub>k</sub> * U <sub>k</sub> * f <sub>ij</sub>	
SN	stěna k šachtě	2,51		0,495	0,143		0,18	
SN	stěna k m.č. 3.3.2	6,04		0,495	-0,114		-0,34	
Celková měrná tepelná ztráta z/do prostorů rozdílných teplot H <sub>t,ij</sub> =Σ <sub>k</sub> A <sub>k</sub> * U <sub>k</sub> * f <sub>ij</sub> (W/K)							-0,16	
Tepelné ztráty nevytápěným prostorem								
Ozn.	Popis	A <sub>k</sub>	U <sub>k</sub>	ΔU	U <sub>kc</sub>	b <sub>u</sub>	A <sub>k</sub> * U <sub>kc</sub> * b <sub>u</sub>	
Celková měrná tepelná ztráta přes nevytápěný prostor H <sub>T,iue</sub> = Σ <sub>k</sub> A <sub>k</sub> * U <sub>kc</sub> * b <sub>u</sub> (W/K)							0,00	
Tepelné ztráty zeminou								
Ozn.	Popis	A <sub>k</sub>	U <sub>equiv,bf</sub>	A <sub>k</sub> * U <sub>equiv,bf</sub>		f <sub>g1</sub>	f <sub>g2</sub>	G <sub>w</sub> * f <sub>g1</sub> * f <sub>g2</sub> * G <sub>w</sub>
Celková měrná tepelná ztráta zeminou H <sub>T,ig</sub> = (Σ <sub>k</sub> A <sub>k</sub> * U <sub>equiv,bf</sub> ) * f <sub>g1</sub> * f <sub>g2</sub> * G <sub>w</sub> (W/K)							0,00	
Celková měrná tepelná ztráta prostupem H <sub>T,i</sub> = H <sub>T,ie</sub> + H <sub>T,iue</sub> + H <sub>T,ij</sub> + H <sub>T,ig</sub>							0,09	
Θ <sub>int,i</sub>	Θ <sub>e</sub>	Θ <sub>int,i</sub> -Θ <sub>e</sub>	H <sub>t,i</sub>		Návrhová ztráta prostupem Φ <sub>t,i</sub> (W)			
20,0	-15,0	35,0	0,09		3,05			

Objem místnosti $V_i$	Výpočtová venkovní teplota $\Theta_e$	Výpočtová vnitřní teplota $\Theta_{int,i}$	Hygienické požadavky	
			$n$ (h <sup>-1</sup> )	$V_{min,i}$ (m <sup>3</sup> /h)
0	-15	20	0,5	0
Počet nechráněných otvorů	$n_{50}$	Činitel zaclonění $e$	Výškový korekční činitel $\epsilon$	Množství vzduchu infiltrací $V_{inf,i}$ (m <sup>3</sup> /h)
1	1	0,03	1	0
Výpočet tepelné ztráty větráním				
max. z $V_{min,i}$ , $V_{inf,i}$		$H_{v,i}$	$\Theta_{int,i} - \Theta_e$	Návrhová tepelná ztráta větráním $\Phi_{V,i}$ (W)
0		0,00	35	<b>0,00</b>

<b>CELKOVÝ NÁVRHOVÝ TEPLENÝ VÝKON :</b>	<b>3,05</b>
---	-------------

3.3.4.	Ložnice		Výpočtová vnitřní teplota				Výpočtová venkovní teplota	
			20 °C				-15 °C	
Tepelné ztráty přímo do venkovního prostředí								
Ozn.	Popis	A <sub>k</sub>	U <sub>k</sub>	ΔU	U <sub>kc</sub>	e <sub>k</sub>	A <sub>k</sub> * U <sub>kc</sub> * e <sub>k</sub>	
SO	stěna nosná S	13,35	0,164	0,02	0,184	1,00	2,46	
OZ	okno	0,78	0,700	0,00	0,700	1,00	0,55	
STR	strop+střecha	14,13	0,108	0,02	0,128	1,00	1,81	
Celková měrná tepelná ztráta přímo do venkovního prostředí HT,ie = Σ <sub>k</sub> A <sub>k</sub> * U <sub>kc</sub> * e <sub>k</sub> (W/K)							4,81	
Tepelné ztráty z/do prostorů vytápěných na rozdílné teploty								
Ozn.	Popis	A <sub>k</sub>	U <sub>k</sub>	f <sub>ij</sub>		A <sub>k</sub> * U <sub>k</sub> * f <sub>ij</sub>		
SN	stěna k m.č. 3.4.3	5,29	0,205		-0,114		-0,12	
Celková měrná tepelná ztráta z/do prostorů rozdílných teplot H <sub>t,ij</sub> =Σ <sub>k</sub> A <sub>k</sub> * U <sub>k</sub> * f <sub>ij</sub> (W/K)							-0,12	
Tepelné ztráty nevytápěným prostorem								
Ozn.	Popis	A <sub>k</sub>	U <sub>k</sub>	ΔU	U <sub>kc</sub>	b <sub>u</sub>	A <sub>k</sub> * U <sub>kc</sub> * e <sub>k</sub>	
Celková měrná tepelná ztráta přes nevytápěný prostor H <sub>T,lue</sub> = Σ <sub>k</sub> A <sub>k</sub> * U <sub>kc</sub> * b <sub>u</sub> (W/K)							0,00	
Tepelné ztráty zeminou								
Ozn.	Popis	A <sub>k</sub>	U <sub>equiv,bf</sub>	A <sub>k</sub> * U <sub>equiv,bf</sub>	f <sub>g1</sub>	f <sub>g2</sub>	G <sub>w</sub>	f <sub>g1</sub> * f <sub>g2</sub> * G <sub>w</sub>
Celková měrná tepelná ztráta zeminou H <sub>T,ig</sub> = (Σ <sub>k</sub> A <sub>k</sub> * U <sub>equiv,bf</sub> ) * f <sub>g1</sub> * f <sub>g2</sub> * G <sub>w</sub> (W/K)							0,00	
Celková měrná tepelná ztráta prostupem H <sub>T,j</sub> = H <sub>T,ie</sub> + H <sub>T,lue</sub> + H <sub>T,ij</sub> + H <sub>T,ig</sub>							4,69	
Θ <sub>int,i</sub>	Θ <sub>e</sub>	Θ <sub>int,i</sub> - Θ <sub>e</sub>	H <sub>t,i</sub>	Návrhová ztráta prostupem Φ <sub>t,i</sub> (W)				
20,0	-15,0	35,0	4,69	164,05				

20

-15

24

Objem místnosti $V_i$	Výpočtová venkovní teplota $\Theta_e$	Výpočtová vnitřní teplota $\Theta_{int,i}$	Hygienické požadavky	
			$n$ (h <sup>-1</sup> )	$V_{min,i}$ (m <sup>3</sup> /h)
39,45	-15	20	0,5	19,725
Počet nechráněných otvorů	$n_{50}$	Činitel zaclonění $e$	Výškový korekční činitel $\epsilon$	Množství vzduchu infiltrací $V_{inf,i}$ (m <sup>3</sup> /h)
1	1	0,03	1	2,367
Výpočet tepelné ztráty větráním				
max. z $V_{min,i}$ , $V_{inf,i}$		$H_{v,i}$	$\Theta_{int,i} - \Theta_e$	Návrhová tepelná ztráta větráním $\Phi_{V,i}$ (W)
19,725		6,71	35	234,73
CELKOVÝ NÁVRHOVÝ TEPLENÝ VÝKON :			398,78	

20  
-15

3.3.6.		Obývací Pokoj		Výpočtová vnitřní teplota		Výpočtová venkovní teplota		
				20 °C		-15 °C		
Tepelné ztráty přímo do venkovního prostředí								
Ozn.	Popis	A <sub>k</sub>	U <sub>k</sub>	ΔU	U <sub>kc</sub>	e <sub>k</sub>	A <sub>k</sub> * U <sub>kc</sub> * e <sub>k</sub>	
SO	stěna nosná J	9,48	0,164	0,02	0,184	1,00	1,74	
SO	stěna nosná V	6,93	0,164	0,02	0,184	1,00	1,28	
OZ	okno na balkon	4,83	0,700	0,00	0,700	1,00	3,38	
OZ	okno	2,70	0,700	0,00	0,700	1,00	1,89	
STR	strop+střecha	28,84	0,108	0,02	0,128	1,00	3,69	
Celková měrná tepelná ztráta přímo do venkovního prostředí HT,ie = Σ <sub>k</sub> A <sub>k</sub> * U <sub>kc</sub> * e <sub>k</sub> (W/K)							11,98	
Tepelné ztráty z/do prostorů vytápěných na rozdílné teploty								
Ozn.	Popis	A <sub>k</sub>	U <sub>k</sub>	f <sub>ij</sub>		A <sub>k</sub> * U <sub>k</sub> * f <sub>ij</sub>		
Celková měrná tepelná ztráta z/do prostorů rozdílných teplot HT,ij =Σ <sub>k</sub> A <sub>k</sub> * U <sub>k</sub> * f <sub>ij</sub> (W/K)							0,00	
Tepelné ztráty nevytápěným prostorem								
Ozn.	Popis	A <sub>k</sub>	U <sub>k</sub>	ΔU	U <sub>kc</sub>	b <sub>u</sub>	A <sub>k</sub> * U <sub>kc</sub> * e <sub>k</sub>	
Celková měrná tepelná ztráta přes nevytápěný prostor HT,lue = Σ <sub>k</sub> A <sub>k</sub> * U <sub>kc</sub> * b <sub>u</sub> (W/K)							0,00	
Tepelné ztráty zeminou								
Ozn.	Popis	A <sub>k</sub>	U <sub>equiv,bf</sub>	A <sub>k</sub> * U <sub>equiv,bf</sub>	f <sub>g1</sub>	f <sub>g2</sub>	G <sub>w</sub>	f <sub>g1</sub> * f <sub>g2</sub> * G <sub>w</sub>
Celková měrná tepelná ztráta zeminou HT,ig = (Σ <sub>k</sub> A <sub>k</sub> * U <sub>equiv,bf</sub> ) * f <sub>g1</sub> * f <sub>g2</sub> * G <sub>w</sub> (W/K)							0,00	
Celková měrná tepelná ztráta prostupem HT,i = HT,ie + HT,lue + HT,ij + HT,ig							11,98	
Θ <sub>int,i</sub>	Θ <sub>e</sub>	Θ <sub>int,i</sub> -Θ <sub>e</sub>	HT,i	Návrhová ztráta prostupem Φ <sub>t,i</sub> (W)				
20,0	-15,0	35,0	11,98	419,37				

Objem místnosti $V_i$	Výpočtová venkovní teplota $\Theta_e$	Výpočtová vnitřní teplota $\Theta_{int,i}$	Hygienické požadavky	
			$n$ (h <sup>-1</sup> )	$V_{min,i}$ (m <sup>3</sup> /h)
80,54	-15	20	0,5	40,27
Počet nechráněných otvorů	$n_{50}$	Činitel zaclonění $e$	Výškový korekční činitel $\epsilon$	Množství vzduchu infiltrace $V_{inf,i}$ (m <sup>3</sup> /h)
2	1	0,03	1	9,6648
Výpočet tepelné ztráty větráním				
max. z $V_{min,i}$ , $V_{inf,i}$		$H_{v,i}$	$\Theta_{int,i} - \Theta_e$	Návrhová tepelná ztráta větráním $\Phi_{V,i}$ (W)
40,27		13,69	35	<b>479,21</b>

<b>CELKOVÝ NÁVRHOVÝ TEPLENÝ VÝKON :</b>	<b>898,58</b>
---	---------------

3.3.7.	Pokoj		Výpočtová vnitřní teplota			Výpočtová venkovní teplota		
			20 °C			-15 °C		
Tepelné ztráty přímo do venkovního prostředí								
Ozn.	Popis	A <sub>k</sub>	U <sub>k</sub>	ΔU	U <sub>kc</sub>	e <sub>k</sub>	A <sub>k</sub> * U <sub>kc</sub> * e <sub>k</sub>	
SO	stěna nosná J	7,21	0,164	0,02	0,184	1,00	1,33	
OZ	okno	2,70	0,700	0,00	0,700	1,00	1,89	
STR	strop+střecha	13,44	0,108	0,02	0,128	1,00	1,72	
Celková měrná tepelná ztráta přímo do venkovního prostředí HT,ie = Σ <sub>k</sub> A <sub>k</sub> * U <sub>kc</sub> * e <sub>k</sub> (W/K)							4,94	
Tepelné ztráty z/do prostorů vytápěných na rozdílné teploty								
Ozn.	Popis	A <sub>k</sub>		U <sub>k</sub>		f <sub>ij</sub>		A <sub>k</sub> * U <sub>k</sub> * f <sub>ij</sub>
Celková měrná tepelná ztráta z/do prostorů rozdílných teplot H <sub>t,ij</sub> =Σ <sub>k</sub> A <sub>k</sub> * U <sub>k</sub> * f <sub>ij</sub> (W/K)							0,00	
Tepelné ztráty nevytápěným prostorem								
Ozn.	Popis	A <sub>k</sub>	U <sub>k</sub>	ΔU	U <sub>kc</sub>	b <sub>u</sub>	A <sub>k</sub> * U <sub>kc</sub> * e <sub>k</sub>	
Celková měrná tepelná ztráta přes nevytápěný prostor H <sub>T,iue</sub> = Σ <sub>k</sub> A <sub>k</sub> * U <sub>kc</sub> * b <sub>u</sub> (W/K)							0,00	
Tepelné ztráty zeminou								
Ozn.	Popis	A <sub>k</sub>	U <sub>equiv,bf</sub>	A <sub>k</sub> * U <sub>equiv,bf</sub>		f <sub>g1</sub>	f <sub>g2</sub>	G <sub>w</sub>   f <sub>g1</sub> * f <sub>g2</sub> * G <sub>w</sub>
Celková měrná tepelná ztráta zeminou H <sub>T,ig</sub> = (Σ <sub>k</sub> A <sub>k</sub> * U <sub>equiv,bf</sub> ) * f <sub>g1</sub> * f <sub>g2</sub> * G <sub>w</sub> (W/K)							0,00	
Celková měrná tepelná ztráta prostupem H <sub>T,i</sub> = H <sub>T,ie</sub> + H <sub>T,iue</sub> + H <sub>T,ij</sub> + H <sub>T,ig</sub>							4,94	
Θ <sub>int,i</sub>	Θ <sub>e</sub>	Θ <sub>int,i</sub> - Θ <sub>e</sub>	H <sub>t,i</sub>		Návrhová ztráta prostupem Φ <sub>t,i</sub> (W)			
20,0	-15,0	35,0	4,94		172,79			

20  
-15

Objem místnosti $V_i$	Výpočtová venkovní teplota $\Theta_e$	Výpočtová vnitřní teplota $\Theta_{int,i}$	Hygienické požadavky	
			$n$ (h <sup>-1</sup> )	$V_{min,i}$ (m <sup>3</sup> /h)
37,53	-15	20	0,5	18,765
Počet nechráněných otvorů	$n_{50}$	Činitel zaclonění $e$	Výškový korekční činitel $\epsilon$	Množství vzduchu infiltrací $V_{inf,i}$ (m <sup>3</sup> /h)
1	1	0,03	1	2,2518
Výpočet tepelné ztráty větráním				
max. z $V_{min,i}$ , $V_{inf,i}$		$H_{v,i}$	$\Theta_{int,i} - \Theta_e$	Návrhová tepelná ztráta větráním $\Phi_{V,i}$ (W)
18,765		6,38	35	<b>223,30</b>
<b>CELKOVÝ NÁVRHOVÝ TEPLENÝ VÝKON :</b>			<b>396,10</b>	

3.4.1.	Zádveří			Výpočtová vnitřní teplota		Výpočtová venkovní teplota	
				15 °C		-15 °C	
Tepelné ztráty přímo do venkovního prostředí							
Ozn.	Popis	A <sub>k</sub>	U <sub>k</sub>	ΔU	U <sub>kc</sub>	e <sub>k</sub>	A <sub>k</sub> * U <sub>kc</sub> * e <sub>k</sub>
SO	stěna nosná Z	2,28	0,164	0,02	0,184	1	0,42
SO	stěna nosná S	5,87	0,164	0,02	0,184	1,00	1,08
DO	vstupní dveře	1,80	1,200	0,00	1,200	1,00	2,16
STR	strop+střecha	3,07	0,108	0,02	0,128	1,00	0,39
Celková měrná tepelná ztráta přímo do venkovního prostředí HT,ie = Σ <sub>k</sub> A <sub>k</sub> * U <sub>kc</sub> * e <sub>k</sub> (W/K)							4,05
Tepelné ztráty z/do prostorů vytápěných na rozdílné teploty							
Ozn.	Popis	A <sub>k</sub>	U <sub>k</sub>	f <sub>ij</sub>	A <sub>k</sub> * U <sub>k</sub> * f <sub>ij</sub>		
SN	stěna k m.č. 3.4.2	2,30	0,495	-0,167	-0,190		
DN	dveře k m.č. 3.4.2	1,77	2,00	-0,167	-0,590		
SN	stěna k m.č. 3.4.3	5,87	0,495	-0,300	-0,872		
Celková měrná tepelná ztráta z/do prostorů rozdílných teplot H <sub>t,ij</sub> =Σ <sub>k</sub> A <sub>k</sub> * U <sub>k</sub> * f <sub>ij</sub> (W/K)					-1,65		
Tepelné ztráty nevytápěným prostorem							
Ozn.	Popis	A <sub>k</sub>	U <sub>k</sub>	ΔU	U <sub>kc</sub>	b <sub>u</sub>	A <sub>k</sub> * U <sub>kc</sub> * e <sub>k</sub>
Celková měrná tepelná ztráta přes nevytápěný prostor H <sub>T,lue</sub> = Σ <sub>k</sub> A <sub>k</sub> * U <sub>kc</sub> * b <sub>u</sub> (W/K)					0,00		
Tepelné ztráty zeminou							
Ozn.	Popis	A <sub>k</sub>	U <sub>equiv,bf</sub>	A <sub>k</sub> * U <sub>equiv,bf</sub>	f <sub>g1</sub>	f <sub>g2</sub>	G <sub>w</sub>   f <sub>g1</sub> * f <sub>g2</sub> * G <sub>w</sub>
Celková měrná tepelná ztráta zeminou H <sub>T,ig</sub> = (Σ <sub>k</sub> A <sub>k</sub> * U <sub>equiv,bf</sub> ) * f <sub>g1</sub> * f <sub>g2</sub> * G <sub>w</sub> (W/K)					0,00		
Celková měrná tepelná ztráta prostupem H <sub>T,i</sub> = H <sub>T,ie</sub> + H <sub>T,lue</sub> + H <sub>T,ij</sub> + H <sub>T,ig</sub>					2,40		
Θ <sub>int,i</sub>	Θ <sub>e</sub>	Θ <sub>int,i</sub> -Θ <sub>e</sub>	H <sub>t,i</sub>	Návrhová ztráta prostupem Φ <sub>t,i</sub> (W)			
15,0	-15,0	30,0	2,40	72,03			

15

-15

Objem místnosti $V_i$	Výpočtová venkovní teplota $\Theta_e$	Výpočtová vnitřní teplota $\Theta_{int,i}$	Hygienické požadavky	
			$n$ (h <sup>-1</sup> )	$V_{min,i}$ (m <sup>3</sup> /h)
0	-15	15	0,5	0
Počet nechráněných otvorů	$n_{50}$	Činitel zaclonění $e$	Výškový korekční činitel $\epsilon$	Množství vzduchu infiltrací $V_{inf,i}$ (m <sup>3</sup> /h)
1	1	0,03	1	0
Výpočet tepelné ztráty větráním				
max. z $V_{min,i}$ , $V_{inf,i}$		$H_{v,i}$	$\Theta_{int,i} - \Theta_e$	Návrhová tepelná ztráta větráním $\Phi_{V,i}$ (W)
0		0,00	30,0	0,00
CELKOVÝ NÁVRHOVÝ TEPLENÝ VÝKON :			72,03	

3.4.2.	Chodba		Výpočtová vnitřní teplota				Výpočtová venkovní teplota	
			20 °C				-15 °C	
Tepelné ztráty přímo do venkovního prostředí								
Ozn.	Popis	A <sub>k</sub>	U <sub>k</sub>	ΔU	U <sub>kc</sub>	e <sub>k</sub>	A <sub>k</sub> * U <sub>kc</sub> * e <sub>k</sub>	
SO	stěna nosná S	3,35	0,164	0,02	0,184	1,00	0,62	
OZ	okno	1,26	0,700	0,00	0,700	1,00	0,88	
STR	strop+střecha	7,33	0,108	0,02	0,128	1,00	0,94	
Celková měrná tepelná ztráta přímo do venkovního prostředí HT,ie = Σ <sub>k</sub> A <sub>k</sub> * U <sub>kc</sub> * e <sub>k</sub> (W/K)							2,44	
Tepelné ztráty z/do prostorů vytápěných na rozdílné teploty								
Ozn.	Popis	A <sub>k</sub>	U <sub>k</sub>	f <sub>ij</sub>		A <sub>k</sub> * U <sub>k</sub> * f <sub>ij</sub>		
SN	stěna k m.č. 3.4.1	2,30	0,495		0,143		0,163	
SN	stěna k m.č. 3.4.3	2,93	0,495		-0,114		-0,166	
DN	dveře k m.č. 3.4.1	1,77	2,00		0,143		0,506	
DN	dveře k m.č. 3.4.3	1,38	2,00		-0,114		-0,315	
Celková měrná tepelná ztráta z/do prostorů rozdílných teplot H <sub>t,ij</sub> =Σ <sub>k</sub> A <sub>k</sub> * U <sub>k</sub> * f <sub>ij</sub> (W/K)							0,19	
Tepelné ztráty nevytápěným prostorem								
Ozn.	Popis	A <sub>k</sub>	U <sub>k</sub>	ΔU	U <sub>kc</sub>	b <sub>u</sub>	A <sub>k</sub> * U <sub>kc</sub> * e <sub>k</sub>	
Celková měrná tepelná ztráta přes nevytápěný prostor H <sub>T,lue</sub> = Σ <sub>k</sub> A <sub>k</sub> * U <sub>kc</sub> * b <sub>u</sub> (W/K)							0,00	
Tepelné ztráty zeminou								
Ozn.	Popis	A <sub>k</sub>	U <sub>equiv,bf</sub>	A <sub>k</sub> * U <sub>equiv,bf</sub>	f <sub>g1</sub>	f <sub>g2</sub>	G <sub>w</sub>	f <sub>g1</sub> * f <sub>g2</sub> * G <sub>w</sub>
Celková měrná tepelná ztráta zeminou H <sub>T,ig</sub> = (Σ <sub>k</sub> A <sub>k</sub> * U <sub>equiv,bf</sub> ) * f <sub>g1</sub> * f <sub>g2</sub> * G <sub>w</sub> (W/K)							0,00	
Celková měrná tepelná ztráta prostupem H <sub>T,i</sub> = H <sub>T,ie</sub> + H <sub>T,lue</sub> + H <sub>T,ij</sub> + H <sub>T,ig</sub>							2,62	
Θ <sub>int,i</sub>	Θ <sub>e</sub>	Θ <sub>int,i</sub> -Θ <sub>e</sub>	H <sub>t,i</sub>	Návrhová ztráta prostupem Φ <sub>u,i</sub> (W)				
20,0	-15,0	35,0	2,62	91,83				

20  
-15

Objem místnosti $V_i$	Výpočtová venkovní teplota $\theta_e$	Výpočtová vnitřní teplota $\theta_{int,i}$	Hygienické požadavky	
			$n$ (h <sup>-1</sup> )	$V_{min,i}$ (m <sup>3</sup> /h)
20,46	-15	20	0,5	10,23
Počet nechráněných otvorů	$n_{50}$	Činitel zaclonění $e$	Výškový korekční činitel $\epsilon$	Množství vzduchu infiltrací $V_{inf,i}$ (m <sup>3</sup> /h)
1	1	0,03	1	1,2276
Výpočet tepelné ztráty větráním				
max. z $V_{min,i}$ , $V_{inf,i}$		$H_{v,i}$	$\theta_{int,i} - \theta_e$	Návrhová tepelná ztráta větráním $\Phi_{V,i}$ (W)
10,23		3,48	35	<b>121,74</b>
<b>CELKOVÝ NÁVRHOVÝ TEPLENÝ VÝKON :</b>			<b>213,57</b>	



1.4.3.	Koupelna		Výpočtová vnitřní teplota				Výpočtová venkovní teplota	
			24 °C				-15 °C	
Tepelné ztráty přímo do venkovního prostředí								
Ozn.	Popis	A <sub>k</sub>	U <sub>k</sub>	ΔU	U <sub>kc</sub>	e <sub>k</sub>	A <sub>k</sub> * U <sub>kc</sub> * e <sub>k</sub>	
STR	strop+střecha	3,72	0,108	0,02	0,128	1,00	0,48	
Celková měrná tepelná ztráta přímo do venkovního prostředí HT,ie = Σ <sub>k</sub> A <sub>k</sub> * U <sub>kc</sub> * e <sub>k</sub> (W/K)							0,48	
Tepelné ztráty z/do prostorů vytápěných na rozdílné teploty								
Ozn.	Popis	A <sub>k</sub>	U <sub>k</sub>	f <sub>ij</sub>	A <sub>k</sub> * U <sub>k</sub> * f <sub>ij</sub>			
SN	stěna k m.č. 3.4.1	5,87	0,495	0,257	0,747			
SN	stěna k m.č. 3.4.2	2,95	0,495	0,114	0,167			
DN	dveře k m.č. 3.4.2	1,37	2,000	0,114	0,313			
SN	stěna k m.č. 3.4.4	3,08	0,495	0,114	0,174			
SN	stěna k m.č. 3.3.4	2,93	0,205	0,114	0,069			
Celková měrná tepelná ztráta z/do prostorů rozdílných teplot H <sub>t,ij</sub> = Σ <sub>k</sub> A <sub>k</sub> * U <sub>k</sub> * f <sub>ij</sub> (W/K)							1,47	
Tepelné ztráty nevytápěným prostorem								
Ozn.	Popis	A <sub>k</sub>	U <sub>k</sub>	ΔU	U <sub>kc</sub>	b <sub>u</sub>	A <sub>k</sub> * U <sub>kc</sub> * e <sub>k</sub>	
Celková měrná tepelná ztráta přes nevytápěný prostor H <sub>T,iue</sub> = Σ <sub>k</sub> A <sub>k</sub> * U <sub>kc</sub> * b <sub>u</sub> (W/K)							0,00	
Tepelné ztráty zeminou								
Ozn.	Popis	A <sub>k</sub>	U <sub>equiv,bf</sub>	A <sub>k</sub> * U <sub>equiv,bf</sub>	f <sub>g1</sub>	f <sub>g2</sub>	G <sub>w</sub>	f <sub>g1</sub> * f <sub>g2</sub> * G <sub>w</sub>
Celková měrná tepelná ztráta zeminou H <sub>T,ig</sub> = (Σ <sub>k</sub> A <sub>k</sub> * U <sub>equiv,bf</sub> ) * f <sub>g1</sub> * f <sub>g2</sub> * G <sub>w</sub> (W/K)							0,00	
Celková měrná tepelná ztráta prostupem H <sub>T,i</sub> = H <sub>T,ie</sub> + H <sub>T,iue</sub> + H <sub>T,ij</sub> + H <sub>T,ig</sub>							1,95	
Θ <sub>int,i</sub>	Θ <sub>e</sub>	Θ <sub>int,i</sub> - Θ <sub>e</sub>	H <sub>t,i</sub>	Návrhová ztráta prostupem Φ <sub>t,i</sub> (W)				
24,0	-15,0	39,0	1,95	75,90				

24  
-15

Objem místnosti $V_i$	Výpočtová venkovní teplota $\Theta_e$	Výpočtová vnitřní teplota $\Theta_{int,i}$	Hygienické požadavky	
			$n$ (h <sup>-1</sup> )	$V_{min,i}$ (m <sup>3</sup> /h)
0	-15	24	0,5	0
Počet nechráněných otvorů	$n_{50}$	Činitel zaclonění $e$	Výškový korekční činitel $\epsilon$	Množství vzduchu infiltrací $V_{inf,i}$ (m <sup>3</sup> /h)
1	1	0,03	1	0
Výpočet tepelné ztráty větráním				
max. z $V_{min,i}$ , $V_{inf,i}$		$H_{v,i}$	$\Theta_{int,i} - \Theta_e$	Návrhová tepelná ztráta větráním $\Phi_{V,i}$ (W)
0		0,00	39	<b>0,00</b>

<b>CELKOVÝ NÁVRHOVÝ TEPLENÝ VÝKON :</b>	<b>75,90</b>
---	--------------

3.4.4.	WC		Výpočtová vnitřní teplota				Výpočtová venkovní teplota	
			20 °C				-15 °C	
Tepelné ztráty přímo do venkovního prostředí								
Ozn.	Popis	A <sub>k</sub>	U <sub>k</sub>	ΔU	U <sub>kc</sub>	e <sub>k</sub>	A <sub>k</sub> * U <sub>kc</sub> * e <sub>k</sub>	
STR	strop+střecha	1,10	0,108	0,02	0,128	1,00	0,14	
Celková měrná tepelná ztráta přímo do venkovního prostředí HT,ie = Σ <sub>k</sub> A <sub>k</sub> * U <sub>kc</sub> * e <sub>k</sub> (W/K)							0,14	
Tepelné ztráty z/do prostorů vytápěných na rozdílné teploty								
Ozn.	Popis	A <sub>k</sub>		U <sub>k</sub>		f <sub>ij</sub>		A <sub>k</sub> * U <sub>k</sub> * f <sub>ij</sub>
SN	stěna k šachtě	2,51		0,495		0,143		0,18
SN	stěna k m.č. 3.4.2	5,37		0,495		-0,114		-0,30
Celková měrná tepelná ztráta z/do prostorů rozdílných teplot H <sub>t,ij</sub> =Σ <sub>k</sub> A <sub>k</sub> * U <sub>k</sub> * f <sub>ij</sub> (W/K)							-0,12	
Tepelné ztráty nevytápěným prostorem								
Ozn.	Popis	A <sub>k</sub>	U <sub>k</sub>	ΔU	U <sub>kc</sub>	b <sub>u</sub>	A <sub>k</sub> * U <sub>kc</sub> * b <sub>u</sub>	
Celková měrná tepelná ztráta přes nevytápěný prostor H <sub>T,iue</sub> = Σ <sub>k</sub> A <sub>k</sub> * U <sub>kc</sub> * b <sub>u</sub> (W/K)							0,00	
Tepelné ztráty zeminou								
Ozn.	Popis	A <sub>k</sub>	U <sub>equiv,bf</sub>	A <sub>k</sub> * U <sub>equiv,bf</sub>		f <sub>g1</sub>	f <sub>g2</sub>	G <sub>w</sub> * f <sub>g1</sub> * f <sub>g2</sub> * G <sub>w</sub>
Celková měrná tepelná ztráta zeminou H <sub>T,ig</sub> = (Σ <sub>k</sub> A <sub>k</sub> * U <sub>equiv,bf</sub> ) * f <sub>g1</sub> * f <sub>g2</sub> * G <sub>w</sub> (W/K)							0,00	
Celková měrná tepelná ztráta prostupem H <sub>T,i</sub> = H <sub>T,ie</sub> + H <sub>T,iue</sub> + H <sub>T,ij</sub> + H <sub>T,ig</sub>							0,02	
Θ <sub>int,i</sub>	Θ <sub>e</sub>	Θ <sub>int,i</sub> -Θ <sub>e</sub>	H <sub>T,i</sub>		Návrhová ztráta prostupem Φ <sub>t,i</sub> (W)			
20,0	-15,0	35,0	0,02		0,73			

Objem místnosti $V_i$	Výpočtová venkovní teplota $\Theta_e$	Výpočtová vnitřní teplota $\Theta_{int,i}$	Hygienické požadavky	
			$n$ (h <sup>-1</sup> )	$V_{min,i}$ (m <sup>3</sup> /h)
0	-15	20	0,5	0
Počet nechráněných otvorů	$n_{50}$	Činitel zaclonění $e$	Výškový korekční činitel $\epsilon$	Množství vzduchu infiltrací $V_{inf,i}$ (m <sup>3</sup> /h)
1	1	0,03	1	0
Výpočet tepelné ztráty větráním				
max. z $V_{min,i}$ , $V_{inf,i}$		$H_{v,i}$	$\Theta_{int,i} - \Theta_e$	Návrhová tepelná ztráta větráním $\Phi_{V,i}$ (W)
0		0,00	35	<b>0,00</b>

<b>CELKOVÝ NÁVRHOVÝ TEPLENÝ VÝKON :</b>	<b>0,73</b>
---	-------------

3.4.5.	Ložnice		Výpočtová vnitřní teplota				Výpočtová venkovní teplota	
			20 °C				-15 °C	
Tepelné ztráty přímo do venkovního prostředí								
Ozn.	Popis	A <sub>k</sub>	U <sub>k</sub>	ΔU	U <sub>kc</sub>	e <sub>k</sub>	A <sub>k</sub> * U <sub>kc</sub> * e <sub>k</sub>	
SO	stěna nosná V	10,79	0,164	0,02	0,184	1,00	1,99	
SO	stěna nosná S	8,15	0,164	0,02	0,184	1,00	1,50	
OZ	okno	1,62	0,700	0,00	0,700	1,00	1,13	
STR	strop+střecha	12,97	0,108	0,02	0,128	1,00	1,66	
Celková měrná tepelná ztráta přímo do venkovního prostředí HT,ie = Σ <sub>k</sub> A <sub>k</sub> * U <sub>kc</sub> * e <sub>k</sub> (W/K)							6,28	
Tepelné ztráty z/do prostorů vytápěných na rozdílné teploty								
Ozn.	Popis	A <sub>k</sub>	U <sub>k</sub>	f <sub>ij</sub>			A <sub>k</sub> * U <sub>k</sub> * f <sub>ij</sub>	
Celková měrná tepelná ztráta z/do prostorů rozdílných teplot H <sub>t,ij</sub> =Σ <sub>k</sub> A <sub>k</sub> * U <sub>k</sub> * f <sub>ij</sub> (W/K)							0,00	
Tepelné ztráty nevytápěným prostorem								
Ozn.	Popis	A <sub>k</sub>	U <sub>k</sub>	ΔU	U <sub>kc</sub>	b <sub>u</sub>	A <sub>k</sub> * U <sub>kc</sub> * e <sub>k</sub>	
Celková měrná tepelná ztráta přes nevytápěný prostor H <sub>T,lue</sub> = Σ <sub>k</sub> A <sub>k</sub> * U <sub>kc</sub> * b <sub>u</sub> (W/K)							0,00	
Tepelné ztráty zeminou								
Ozn.	Popis	A <sub>k</sub>	U <sub>equiv,bf</sub>	A <sub>k</sub> * U <sub>equiv,bf</sub>	f <sub>g1</sub>	f <sub>g2</sub>	G <sub>w</sub>	f <sub>g1</sub> * f <sub>g2</sub> * G <sub>w</sub>
Celková měrná tepelná ztráta zeminou H <sub>T,ig</sub> = (Σ <sub>k</sub> A <sub>k</sub> * U <sub>equiv,bf</sub> ) * f <sub>g1</sub> * f <sub>g2</sub> * G <sub>w</sub> (W/K)							0,00	
Celková měrná tepelná ztráta prostupem H <sub>T,j</sub> = H <sub>T,ie</sub> + H <sub>T,lue</sub> + H <sub>T,ij</sub> + H <sub>T,ig</sub>							6,28	
Θ <sub>int,i</sub>	Θ <sub>e</sub>	Θ <sub>int,i</sub> - Θ <sub>e</sub>	H <sub>t,i</sub>	Návrhová ztráta prostupem Φ <sub>t,i</sub> (W)				
20,0	-15,0	35,0	6,28	219,77				

20  
-15

Objem místnosti $V_i$	Výpočtová venkovní teplota $\theta_e$	Výpočtová vnitřní teplota $\theta_{int,i}$	Hygienické požadavky	
			$n$ (h <sup>-1</sup> )	$V_{min,i}$ (m <sup>3</sup> /h)
36,22	-15	20	0,5	18,11
Počet nechráněných otvorů	n50	Činitel zaclonění $e$	Výškový korekční činitel $\epsilon$	Množství vzduchu infiltrací $V_{inf,i}$ (m <sup>3</sup> /h)
1	1	0,03	1	2,1732
Výpočet tepelné ztráty větráním				
max. z $V_{min,i}$ , $V_{inf,i}$		$H_{v,i}$	$\theta_{int,i} - \theta_e$	Návrhová tepelná ztráta větráním $\Phi_{V,i}$ (W)
18,11		6,16	35	<b>215,51</b>
CELKOVÝ NÁVRHOVÝ TEPLENÝ VÝKON :			<b>435,28</b>	

3.4.6.	Obývací pokoj		Výpočtová vnitřní teplota			Výpočtová venkovní teplota		
			20 °C			-15 °C		
Tepelné ztráty přímo do venkovního prostředí								
Ozn.	Popis	A <sub>k</sub>	U <sub>k</sub>	ΔU	U <sub>kc</sub>	e <sub>k</sub>	A <sub>k</sub> * U <sub>kc</sub> * e <sub>k</sub>	
SO	stěna nosná V	10,97	0,164	0,02	0,184	1,00	2,02	
SO	stěna nosná J	11,65	0,164	0,02	0,184	1,00	2,14	
OZ	okno na balkon	4,83	0,700	0,00	0,700	1,00	3,38	
OZ	okno J	2,70	0,700	0,00	0,700	1,00	1,89	
OZ	okno V	2,25	0,700	0,00	0,700	1,00	1,58	
STR	strop+střecha	32,51	0,108	0,02	0,128	1,00	4,16	
Celková měrná tepelná ztráta přímo do venkovního prostředí HT,ie = Σ <sub>k</sub> A <sub>k</sub> * U <sub>kc</sub> * e <sub>k</sub> (W/K)							15,17	
Tepelné ztráty z/do prostorů vytápěných na rozdílné teploty								
Ozn.	Popis	A <sub>k</sub>		U <sub>k</sub>		f <sub>ij</sub>		A <sub>k</sub> * U <sub>k</sub> * f <sub>ij</sub>
Celková měrná tepelná ztráta z/do prostorů rozdílných teplot H <sub>t,ij</sub> =Σ <sub>k</sub> A <sub>k</sub> * U <sub>k</sub> * f <sub>ij</sub> (W/K)							0,00	
Tepelné ztráty nevytápěným prostorem								
Ozn.	Popis	A <sub>k</sub>	U <sub>k</sub>	ΔU	U <sub>kc</sub>	b <sub>u</sub>	A <sub>k</sub> * U <sub>kc</sub> * e <sub>k</sub>	
Celková měrná tepelná ztráta přes nevytápěný prostor H <sub>T,iue</sub> = Σ <sub>k</sub> A <sub>k</sub> * U <sub>kc</sub> * b <sub>u</sub> (W/K)							0,00	
Tepelné ztráty zeminou								
Ozn.	Popis	A <sub>k</sub>	U <sub>equiv,bf</sub>	A <sub>k</sub> * U <sub>equiv,bf</sub>		f <sub>g1</sub>	f <sub>g2</sub>	G <sub>w</sub>   f <sub>g1</sub> * f <sub>g2</sub> * G <sub>w</sub>
Celková měrná tepelná ztráta zeminou H <sub>T,ig</sub> = (Σ <sub>k</sub> A <sub>k</sub> * U <sub>equiv,bf</sub> ) * f <sub>g1</sub> * f <sub>g2</sub> * G <sub>w</sub> (W/K)							0,00	
Celková měrná tepelná ztráta prostupem H <sub>T,i</sub> = H <sub>T,ie</sub> + H <sub>T,iue</sub> + H <sub>T,ij</sub> + H <sub>T,ig</sub>							15,17	
Θ <sub>int,i</sub>	Θ <sub>e</sub>	Θ <sub>int,i</sub> -Θ <sub>e</sub>		H <sub>t,i</sub>		Návrhová ztráta prostupem Φ <sub>t,i</sub> (W)		
20,0	-15,0	35,0		15,17		530,93		

20

-15

Objem místnosti $V_i$	Výpočtová venkovní teplota $\Theta_e$	Výpočtová vnitřní teplota $\Theta_{int,i}$	Hygienické požadavky	
			$n$ (h <sup>-1</sup> )	$V_{min,i}$ (m <sup>3</sup> /h)
90,8	-15	20	0,5	45,4
Počet nechráněných otvorů	$n_{50}$	Činitel zaclonění $e$	Výškový korekční činitel $\epsilon$	Množství vzduchu infiltrací $V_{inf,i}$ (m <sup>3</sup> /h)
3	1	0,03	1	16,34
Výpočet tepelné ztráty větráním				
max. z $V_{min,i}$ , $V_{inf,i}$		$H_{v,i}$	$\Theta_{int,i} - \Theta_e$	Návrhová tepelná ztráta větráním $\Phi_{V,i}$ (W)
45,4		15,44	35	540,26

CELKOVÝ NÁVRHOVÝ TEPLENÝ VÝKON :	1 071,19
----------------------------------	----------

4.1.1.	Kotelna		Výpočtová vnitřní teplota				Výpočtová venkovní teplota	
			10 °C				-15 °C	
Tepelné ztráty přímo do venkovního prostředí								
Ozn.	Popis	A <sub>k</sub>	U <sub>k</sub>	ΔU	U <sub>kc</sub>	e <sub>k</sub>	A <sub>k</sub> * U <sub>kc</sub> * e <sub>k</sub>	
SO	stěna nosná J	15,63	0,172	0,02	0,192	1,00	3,00	
SO	stěna nosná Z	14,52	0,172	0,02	0,192	1,00	2,79	
SO	stěna nosná V	14,52	0,172	0,02	0,192	1,00	2,79	
OZ	okno Z	1,26	0,700	0,00	0,700	1,00	0,88	
STR	strop+střecha	27,25	0,108	0,02	0,128	1,00	3,49	
Celková měrná tepelná ztráta přímo do venkovního prostředí H <sub>T,ie</sub> = Σ <sub>k</sub> A <sub>k</sub> * U <sub>kc</sub> * e <sub>k</sub> (W/K)							12,95	
Tepelné ztráty z/do prostorů vytápěných na rozdílné teploty								
Ozn.	Popis	A <sub>k</sub>		U <sub>k</sub>		f <sub>ij</sub>		A <sub>k</sub> * U <sub>k</sub> * f <sub>ij</sub>
Celková měrná tepelná ztráta z/do prostorů rozdílných teplot H <sub>T,ij</sub> =Σ <sub>k</sub> A <sub>k</sub> * U <sub>k</sub> * f <sub>ij</sub> (W/K)							0,00	
Tepelné ztráty nevytápěným prostorem								
Ozn.	Popis	A <sub>k</sub>	U <sub>k</sub>	ΔU	U <sub>kc</sub>	b <sub>u</sub>	A <sub>k</sub> * U <sub>kc</sub> * ek	
Celková měrná tepelná ztráta přes nevytápěný prostor H <sub>T,lue</sub> = Σ <sub>k</sub> A <sub>k</sub> * U <sub>kc</sub> * b <sub>u</sub> (W/K)							0,00	
Tepelné ztráty zeminou								
Ozn.	Popis	A <sub>k</sub>	U <sub>equiv,bf</sub>	A <sub>k</sub> * U <sub>equiv,bf</sub>		f <sub>g1</sub>	f <sub>g2</sub>	G <sub>w</sub>   f <sub>g1</sub> * f <sub>g2</sub> * G <sub>w</sub>
Celková měrná tepelná ztráta zeminou H <sub>T,ig</sub> = (Σ <sub>k</sub> A <sub>k</sub> * U <sub>equiv,bf</sub> ) * f <sub>g1</sub> * f <sub>g2</sub> * G <sub>w</sub> (W/K)							0,00	
Celková měrná tepelná ztráta prostupem H <sub>T,i</sub> = H <sub>T,ie</sub> + H <sub>T,lue</sub> + H <sub>T,ij</sub> + H <sub>T,ig</sub>							12,95	
Θ <sub>int,i</sub>	Θ <sub>e</sub>	Θ <sub>int,i</sub> -Θ <sub>e</sub>		H <sub>t,i</sub>		Návrhová ztráta prostupem Φ <sub>q,i</sub> (W)		
10,0	-15,0	25,0		12,95		323,67		

10  
-15

Objem místnosti $V_i$	Výpočtová venkovní teplota $\theta_e$	Výpočtová vnitřní teplota $\theta_{int,i}$	Hygienické požadavky	
			$n$ (h <sup>-1</sup> )	$V_{min,i}$ (m <sup>3</sup> /h)
81,75	-15	10	0,5	40,875
Počet nechráněných otvorů	$n_{50}$	Činitel zaclonění $e$	Výškový korekční činitel $\epsilon$	Množství vzduchu infiltrací $V_{inf,i}$ (m <sup>3</sup> /h)
1	1	0,03	1	4,905
Výpočet tepelné ztráty větráním				
max. z $V_{min,i}$ , $V_{inf,i}$		$H_{v,i}$	$\theta_{int,i} - \theta_e$	Návrhová tepelná ztráta větráním $\Phi_{V,i}$ (W)
40,875		13,90	25	<b>347,44</b>

<b>CELKOVÝ NÁVRHOVÝ TEPLENÝ VÝKON :</b>	<b>671,10</b>
---	---------------

# **Příloha bakalářské práce č.9**

Výpočet jednotlivých dimenzí a tlakových ztrát

V Brně dne 22.5.2019

Vypracoval: Marek Rušíň

## Dimenzování větve 1 (60/50)

DIMENZOVÁNÍ HLAVNÍ VĚTVE- BYTY 1 K TĚLESU 1.1.5												
Číslo úseku	Q [W]	m [kg/h]	l [m]	DN Dxt	v [m/s]	R [Pa/m]	R.l [Pa]	Σξ [-]	Z [Pa]	Δp <sub>v</sub> [Pa]	R.l+Z+Δp <sub>v</sub> [Pa]	Δp <sub>dis</sub>
1	1083	93	21,44	15x1	0,20	58,9	1262,82	15,14	298,47	2500	4061	4061
2	1571	135	17,00	18x1	0,19	41,2	700,40	6,10	108,53	0	809	4870
3	2024	174	6,50	18x1	0,24	62,0	403,00	7,32	207,80	0	611	5481
4	3899	335	6,50	22x1	0,30	69,1	449,15	0,90	39,92	0	489	5970
5	5915	509	37,82	22x1	0,46	148,6	5620,05	30,42	3172,41	8098	16890	22861
Přednastavení ventilu u OT 1.1.5 (TRV 8)												

Tvarovky úseků

Σξ<sub>1</sub> (OT, 9x koleno, 2xzúžení a rozšíření)= 3+9x1,3+2x0,22= 15,14

Σξ<sub>2</sub> (4x koleno, odbočka-průchod-dělení, spojení)= 4x1,3+0,9= 6,1

Σξ<sub>3</sub> (2x koleno, odbočka-protiproud-dělení, spojení, zúžení a rozšíření)= 2x1,3+4,5= 7,32

Σξ<sub>4</sub> (odbočka-průchod-dělení, spojení)= 0,9= 0,9

Σξ<sub>5</sub> (odbočka-průchod-dělení, spojení, zúžení a rozšíření, 12x koleno, 4x KK, 4x VK, filtr, ZK, rozdělovač výstup, sběrač vstup)=  
0,9+0,22+12x1,3+4x0,5+4x0,5+0,5+7,7+0,5+1= 30,42

Δp<sub>v</sub> trojcestného směšovacího ventilu= 4145 Pa

Δp<sub>v</sub> vyvažovacího ventilu= 3953 Pa

DIMENZOVÁNÍ VEDLEJŠÍ VĚTVE- BYTY 1 K TĚLESU 1.1.4												
Číslo úseku	Q [W]	m [kg/h]	l [m]	DN Dxt	v [m/s]	R [Pa/m]	R.l [Pa]	Σξ [-]	Z [Pa]	Δp <sub>v</sub> [Pa]	R.l+Z+Δp <sub>v</sub> [Pa]	Δp <sub>dis</sub>
1	488	42	6,00	12x1	0,15	36,6	219,60	9,72	107,79	0	327	4061
Přednastavení ventilu u OT 1.1.4				4057-327= 3730 Pa, 42 kg/h			Přednastavení 4					

Tvarovky úseků

Σξ<sub>1</sub> (OT, 5x koleno, zúžení a rozšíření)= 3+5x1,3+0,22= 9,72

DIMENZOVÁNÍ VEDLEJŠÍ VĚTVY- BYTY 1 K TĚLESU 1.1.3												
Číslo úseku	Q [W]	m [kg/h]	l [m]	DN Dxt	v [m/s]	R [Pa/m]	R.l [Pa]	Σξ [-]	Z [Pa]	Δp <sub>v</sub> [Pa]	R.l+Z+Δp <sub>v</sub> [Pa]	Δp <sub>dis</sub>
1	453	39	6,88	12x1	0,14	30,2	207,78	5,67	54,77	UŠ(0,5) 3207	1663	4870
Přednastavení ventilu u OT 1.1.3				TRV(8) 1400			Přednastavení 0,5					

Tvarovky úseků

$$\Sigma \xi_1 \quad (\text{ČT, 4x koleno, zúžení a rozšíření}) = 2,5 + 4 \times 1,3 + 0,22 = 5,67$$

DIMENZOVÁNÍ VEDLEJŠÍ VĚTVY- BYTY 1 K TĚLESU 2.1.6												
Číslo úseku	Q [W]	m [kg/h]	l [m]	DN Dxt	v [m/s]	R [Pa/m]	R.l [Pa]	Σξ [-]	Z [Pa]	Δp <sub>v</sub> [Pa]	R.l+Z+Δp <sub>v</sub> [Pa]	Δp <sub>dis</sub>
1	1004	86	15,92	15x1	0,18	49,0	780,08	12,54	200,24	TRV(7) 3513	980	5481
2	1422	122	10,20	18x1	0,17	33,9	345,78	3,50	49,85	0	396	5085
3	1875	161	7,64	18x1	0,23	57,5	439,30	6,1	159,04	0	598	4487
Přednastavení ventilu u OT 2.1.6				5481-1974=3513 Pa, 86 kg/h			Přednastavení 7					

Tvarovky úseků

$$\Sigma \xi_1 \quad (\text{OT, 7x koleno, 2xzúžení a rozšíření}) = 3 + 7 \times 1,3 + 2 \times 0,22 = 12,54$$

$$\Sigma \xi_2 \quad (2x \text{ koleno, odbočka-průchod-dělení, spojení}) = 2 \times 1,3 + 0,9 = 3,50$$

$$\Sigma \xi_3 \quad (4x \text{ koleno, odbočka-průchod-dělení, spojení}) = 4 \times 1,3 + 0,9 = 6,10$$

DIMENZOVÁNÍ VEDLEJŠÍ VĚTVY- BYTY 1 K TĚLESU 2.1.5												
Číslo úseku	Q [W]	m [kg/h]	l [m]	DN Dxt	v [m/s]	R [Pa/m]	R.l [Pa]	Σξ [-]	Z [Pa]	Δp <sub>v</sub> [Pa]	R.l+Z+Δp <sub>v</sub> [Pa]	Δp <sub>dis</sub>
1	418	37	6,34	12x1	0,14	30,2	191,47	9,72	93,89	0	1279	5481
Přednastavení ventilu u OT 2.1.5				5481-2846=2635 Pa, 37 kg/h			Přednastavení 4					

Tvarovky úseků

$$\Sigma \xi_1 \quad (\text{OT, 5x koleno, zúžení a rozšíření}) = 3 + 5 \times 1,3 + 0,22 = 9,72$$



DIMENZOVÁNÍ VEDLEJŠÍ VĚTVY- BYTY 1 K TĚLESU 2.1.3												
Číslo úseku	Q [W]	m [kg/h]	l [m]	DN Dxt	v [m/s]	R [Pa/m]	R.l [Pa]	Σξ [-]	Z [Pa]	Δp <sub>v</sub> [Pa]	R.l+Z+Δp <sub>v</sub> [Pa]	Δp <sub>dis</sub>
1	453	39	6,88	12x1	0,14	30,2	207,78	10,52	101,62	UŠ(0,5) 3173	2308	5481
Přednastavení ventilu u OT 2.1.3				TRV(8) 1400			Přednastavení 0,5					

Tvarovky úseků

$$\Sigma \xi_1 \quad (\text{ČT, 6x koleno, zúžení a rozšíření}) = 2,5 + 6 \times 1,3 + 0,22 = 10,52$$

DIMENZOVÁNÍ VEDLEJŠÍ VĚTVY- BYTY 1 K TĚLESU 3.1.6												
Číslo úseku	Q [W]	m [kg/h]	l [m]	DN Dxt	v [m/s]	R [Pa/m]	R.l [Pa]	Σξ [-]	Z [Pa]	Δp <sub>v</sub> [Pa]	R.l+Z+Δp <sub>v</sub> [Pa]	Δp <sub>dis</sub>
1	1083	93	11,82	15x1	0,20	58,9	696,20	12,54	247,21	TRV (7) 3723	943	5970
2	1563	134	14,52	18x1	0,19	41,2	598,22	3,50	62,27	0	660	5310
3	2016	173	7,64	18x1	0,24	62	473,68	6,10	173,17	0	647	4663
Přednastavení ventilu u OT 3.1.6				5970-2250=3726 Pa, 93 kg/h			Přednastavení 7					

Tvarovky úseků

$$\Sigma \xi_1 \quad (\text{OT, 7x koleno, 2x zúžení a rozšíření}) = 3 + 7 \times 1,3 + 2 \times 0,22 = 12,54$$

$$\Sigma \xi_2 \quad (2x \text{ koleno, odbočka-průchod-dělení, spojení}) = 2 \times 1,3 + 0,9 = 3,5$$

$$\Sigma \xi_3 \quad (4x \text{ koleno, odbočka-průchod-dělení, spojení}) = 4 \times 1,3 + 0,9 = 6,1$$

DIMENZOVÁNÍ VEDLEJŠÍ VĚTVY- BYTY 1 K TĚLESU 3.1.5												
Číslo úseku	Q [W]	m [kg/h]	l [m]	DN Dxt	v [m/s]	R [Pa/m]	R.l [Pa]	Σξ [-]	Z [Pa]	Δp <sub>v</sub> [Pa]	R.l+Z+Δp <sub>v</sub> [Pa]	Δp <sub>dis</sub>
1	480	41	5,94	12x1	0,15	36,6	217,40	9,72	107,79	0	1633	5970
Přednastavení ventilu u OT 3.1.5				5970-3746=2224 Pa, 41 kg/h			Přednastavení 4					

Tvarovky úseků

$$\Sigma \xi_1 \quad (\text{OT, 5x koleno, zúžení a rozšíření}) = 3 + 5 \times 1,3 + 0,22 = 9,72$$

DIMENZOVÁNÍ VEDLEJŠÍ VĚTVE- BYTY 1 K TĚLESU 3.1.3												
Číslo úseku	Q [W]	m [kg/h]	l [m]	DN Dxt	v [m/s]	R [Pa/m]	R.l [Pa]	Σξ [-]	Z [Pa]	Δp <sub>v</sub> [Pa]	R.l+Z+Δp <sub>v</sub> [Pa]	Δp <sub>dis</sub>
1	453	39	6,88	12x1	0,14	30,2	207,78	10,52	101,62	UŠ(0,5) 3614	2356	5970
Přednastavení ventilu u OT 3.1.3				TRV(8) 1400			Přednastavení 0,5					

Tvarovky úseků

Σξ<sub>1</sub> (ČT, 6x koleno, zúžení a rozšíření)= 2,5+6x1,3+0,22=10,52

## Dimenzování větve 2 (60/50)

DIMENZOVÁNÍ HLAVNÍ VĚTVE- BYTY 2 K TĚLESU 1.2.6												
Číslo úseku	Q [W]	m [kg/h]	l [m]	DN Dxt	v [m/s]	R [Pa/m]	R.l [Pa]	Σξ [-]	Z [Pa]	Δp <sub>v</sub> [Pa]	R.l+Z+Δp <sub>v</sub> [Pa]	Δp <sub>dis</sub>
1	948	82	18,50	15x1	0,17	44,4	821,40	12,54	178,61	1900	2900	2900
2	1400	120	25,16	18x1	0,17	33,9	852,92	6,10	86,88	0	940	3840
3	1888	162	9,16	18x1	0,23	57,5	526,70	0,90	23,46	0	550	4390
4	2431	209	6,50	18x1	0,29	86,6	562,90	7,32	303,40	0	866	5256
5	4723	406	6,50	22x1	0,36	95,7	622,05	1,12	71,54	0	694	5950
6	7085	609	21,05	28x1,5	0,35	68,6	1444,03	27,02	1631,31	9435	12510	18460
Přednastavení ventilu u OT 1.2.6 (TRV 8)												

Tvarovky úseků

Σξ<sub>1</sub> (OT, 7x koleno, 2x zúžení a rozšíření)= 3+7x1,3+2x0,22= 12,54

Σξ<sub>2</sub> (4x koleno, odbočka-průchod-dělení, spojení)= 4x1,3+0,9= 6,1

Σξ<sub>3</sub> (odbočka-průchod-dělení, spojení)=0,9

Σξ<sub>4</sub> (2x koleno, odbočka-protiproud-dělení, spojení, zúžení a rozšíření)= 2x1,3+4,5+0,22= 7,32

Σξ<sub>5</sub> (odbočka-průchod-dělení, spojení, zúžení a rozšíření)=0,9+0,22=1,12

Σξ<sub>6</sub> (odbočka-průchod-dělení, spojení, zúžení a rozšíření, 12x koleno, 4x KK, 4x VK, filtr, ZK, rozdělovač výstup, sběrač vstup)=  
0,9+0,22+12x1,3+4x0,5+4x0,5+0,5+4,3+0,5+1= 27,02

Δp<sub>v</sub> trojcestného směšovacího ventilu= 5924 Pa

Δp<sub>v</sub> vyvažovací ventilu= 3511 Pa



Číslo úseku	Q [W]	m [kg/h]	l [m]	DN Dxt	v [m/s]	R [Pa/m]	R.l [Pa]	$\Sigma \xi$ [-]	Z [Pa]	$\Delta p_v$ [Pa]	R.l+Z+ $\Delta p_v$ [Pa]	$\Delta p_{dis}$
1	879	76	18,50	15x1	0,16	40,0	740,00	12,54	158,22	TRV(7) 2947	898	5256
2	1331	114	25,16	18x1	0,16	30,5	767,38	6,10	76,96	0	844	4412
3	1749	150	9,00	18x1	0,21	49,0	441,00	0,90	19,56	0	461	3951
4	1749	150	0,16	18x1	0,21	49,0	7,84	4,50	97,81	0	106	3845
Přednastavení ventilu u OT 2.2.6				5256-2309= 2947 Pa, 76 kg/h			Přednastavení 7					

Tvarovky úseků

$\Sigma \xi_1$  (OT, 7x koleno, 2x zúžení a rozšíření)= 3+7x1,3+2x0,22= 12,54

$\Sigma \xi_2$  (4x koleno, odbočka-průchod-dělení, spojení)= 4x1,3+0,9= 6,1

$\Sigma \xi_3$  (odbočka-průchod-dělení, spojení)= 0,9

$\Sigma \xi_4$  (odbočka-protiproud-dělení, spojení)= 4,5

DIMENZOVÁNÍ VEDLEJŠÍ VĚTVE- BYTY 2 K TĚLESU 2.2.7												
Číslo úseku	Q [W]	m [kg/h]	l [m]	DN Dxt	v [m/s]	R [Pa/m]	R.l [Pa]	$\Sigma \xi$ [-]	Z [Pa]	$\Delta p_v$ [Pa]	R.l+Z+ $\Delta p_v$ [Pa]	$\Delta p_{dis}$
1	452	39	6,26	12x1	0,14	30,2	189,05	9,72	93,89	0	1693	5256
Přednastavení ventilu u OT 2.2.7				5256-1693= 3563 Pa, 39 kg/h			Přednastavení 5					

Tvarovky úseků

$\Sigma \xi_1$  (OT, 5x koleno, zúžení a rozšíření)= 3+5x1,3+0,22= 9,72

DIMENZOVÁNÍ VEDLEJŠÍ VĚTVE- BYTY 2 K TĚLESU 2.2.4												
Číslo úseku	Q [W]	m [kg/h]	l [m]	DN Dxt	v [m/s]	R [Pa/m]	R.l [Pa]	$\Sigma \xi$ [-]	Z [Pa]	$\Delta p_v$ [Pa]	R.l+Z+ $\Delta p_v$ [Pa]	$\Delta p_{dis}$
1	418	37	6,04	12x1	0,14	30,2	182,41	9,72	93,89	0	843	5256
Přednastavení ventilu u OT 2.2.4				5256-843= 4413 Pa, 37 kg/h			Přednastavení 4					

Tvarovky úseků

$\Sigma \xi_1$  (OT, 5x koleno, zúžení a rozšíření)= 3+5x1,3+0,22= 9,72

DIMENZOVÁNÍ VEDLEJŠÍ VĚTVY- BYTY 2 K TĚLESU 2.2.2												
Číslo úseku	Q [W]	m [kg/h]	l [m]	DN Dxt	v [m/s]	R [Pa/m]	R.l [Pa]	Σξ [-]	Z [Pa]	Δp <sub>v</sub> [Pa]	R.l+Z+Δp <sub>v</sub> [Pa]	Δp <sub>dis</sub>
1	543	47	10,68	12x1	0,17	51,7	552,16	9,37	133,46	UŠ(0,5) 2670	686	5256
Přednastavení ventilu u OT 2.2.2				TRV(8) 1900			Přednastavení 0,5					

Tvarovky úseků

Σξ<sub>1</sub> (ČT, 4x koleno, zúžení a rozšíření, odbočka-protiproud-dělení, spojení)= 2,5+4x1,3+0,22+ 1,45= 9,37

DIMENZOVÁNÍ VEDLEJŠÍ VĚTVY- BYTY 2 K TĚLESU 3.2.6												
Číslo úseku	Q [W]	m [kg/h]	l [m]	DN Dxt	v [m/s]	R [Pa/m]	R.l [Pa]	Σξ [-]	Z [Pa]	Δp <sub>v</sub> [Pa]	R.l+Z+Δp <sub>v</sub> [Pa]	Δp <sub>dis</sub>
1	879	76	18,50	15x1	0,16	40,0	740,00	12,54	158,22	TRV(6) 3577	898	5936
2	1331	114	25,16	18x1	0,16	30,5	767,38	6,10	76,96	0	844	5092
3	1819	156	9,00	18x1	0,22	53,2	478,80	0,90	21,47	0	500	4591
4	1819	156	0,16	18x1	0,22	53,2	8,51	4,50	107,34	0	116	4476
Přednastavení ventilu u OT 3.2.6				5936-2359= 3577 Pa, 76 kg/h			Přednastavení 6					

Tvarovky úseků

Σξ<sub>1</sub> (OT, 7x koleno, 2x zúžení a rozšíření)= 3+7x1,3+2x0,22= 12,54

Σξ<sub>2</sub> (4x koleno, odbočka-průchod-dělení, spojení)= 4x1,3+0,9= 6,1

Σξ<sub>3</sub> (odbočka-průchod-dělení, spojení)= 0,9

Σξ<sub>4</sub> (odbočka-průchod-dělení, spojení)= 0,9

Σξ<sub>5</sub> (odbočka-protiproud-dělení, spojení)= 4,5

DIMENZOVÁNÍ VEDLEJŠÍ VĚTVY- BYTY 2 K TĚLESU 3.2.7												
Číslo úseku	Q [W]	m [kg/h]	l [m]	DN Dxt	v [m/s]	R [Pa/m]	R.l [Pa]	Σξ [-]	Z [Pa]	Δp <sub>v</sub> [Pa]	R.l+Z+Δp <sub>v</sub> [Pa]	Δp <sub>dis</sub>
1	452	39	6,26	12x1	0,14	30,2	189,05	9,72	93,89	0	1743	5936
Přednastavení ventilu u OT 3.2.7				5936-1743= 4193 Pa, 39 kg/h			Přednastavení 3					

Tvarovky úseků

Σξ<sub>1</sub> (OT, 5x koleno, zúžení a rozšíření)= 3+5x1,3+0,22= 9,72



Tvarovky úseků

$$\sum \xi_1 \quad (\text{OT, 5x koleno, 2x zúžení a rozšíření}) = 3 + 5 \times 1,3 + 2 \times 0,22 = 9,94$$

$$\sum \xi_2 \quad (4x koleno, odbočka-průchod-dělení, spojení) = 4 \times 1,3 + 0,9 = 6,1$$

$$\sum \xi_3 \quad (\text{odbočka-průchod-dělení, spojení}) = 0,9$$

$$\sum \xi_4 \quad (2x koleno, odbočka-protiproud-dělení, spojení, zúžení a rozšíření) = 2 \times 1,3 + 4,5 + 0,22 = 7,32$$

$$\sum \xi_5 \quad (\text{odbočka-průchod-dělení, spojení, zúžení a rozšíření}) = 0,9 + 0,22 = 1,12$$

$$\sum \xi_6 \quad (\text{odbočka-průchod-dělení, spojení, zúžení a rozšíření, 12x koleno, 4x KK, 4x VK, filtr, ZK, rozdělovač výstup, sběrač vstup}) = 0,9 + 0,22 + 12 \times 1,3 + 4 \times 0,5 + 4 \times 0,5 + 0,5 + 4,3 + 0,5 + 1 = 27,02$$

$\Delta p_v$  trojcestného směšovacího ventilu = 6091 Pa

$\Delta p_v$  vyvažovacího ventilu = 3604 Pa

DIMENZOVÁNÍ VEDLEJŠÍ VĚTVE- BYTY 3 K TĚLESU 1.3.7												
Číslo úseku	Q [W]	m [kg/h]	l [m]	DN Dxt	v [m/s]	R [Pa/m]	R.l [Pa]	$\sum \xi$ [-]	Z [Pa]	$\Delta p_v$ [Pa]	R.l+Z+ $\Delta p_v$ [Pa]	$\Delta p_{dis}$
1	452	39	19,76	12x1	0,14	30,2	596,75	16,82	162,48	0	759	2051
Přednastavení ventilu u OT 1.3.7				2051-759= 1292 Pa, 39 kg/h			Přednastavení 6					

Tvarovky úseků

$$\sum \xi_1 \quad (\text{OT, 7x koleno, zúžení a rozšíření, odbočka-protiproud-dělení, spojení}) = 3 + 7 \times 1,3 + 0,22 + 4,5 = 16,82$$

DIMENZOVÁNÍ VEDLEJŠÍ VĚTVE- BYTY 3 K TĚLESU 1.3.2												
Číslo úseku	Q [W]	m [kg/h]	l [m]	DN Dxt	v [m/s]	R [Pa/m]	R.l [Pa]	$\sum \xi$ [-]	Z [Pa]	$\Delta p_v$ [Pa]	R.l+Z+ $\Delta p_v$ [Pa]	$\Delta p_{dis}$
1	554	48	9,93	12x1	0,17	51,7	513,38	10,52	149,84	UŠ(2) 241	2563	2804
Přednastavení ventilu u OT 1.3.2				TRV(8) 1900			Přednastavení 2					

Tvarovky úseků

$$\sum \xi_1 \quad (\text{ČT, 6x koleno, zúžení a rozšíření}) = 2,5 + 6 \times 1,3 + 0,22 = 10,52$$

DIMENZOVÁNÍ VEDLEJŠÍ VĚTVY- BYTY 3 K TĚLESU 1.3.4												
Číslo úseku	Q [W]	m [kg/h]	l [m]	DN Dxt	v [m/s]	R [Pa/m]	R.l [Pa]	$\Sigma \xi$ [-]	Z [Pa]	$\Delta p_v$ [Pa]	R.l+Z+ $\Delta p_v$ [Pa]	$\Delta p_{dis}$
1	418	37	13,92	12x1	0,14	30,2	420,38	12,32	119,01	0	539	2866
Přednastavení ventilu u OT 1.3.4				2866-539= 2327 Pa, 37 kg/h				Přednastavení 4				

Tvarovky úseků

$\Sigma \xi_1$  (OT, 7x koleno, zúžení a rozšíření)= 3+7x1,3+0,22= 12,32

DIMENZOVÁNÍ VEDLEJŠÍ VĚTVY- BYTY 3 K TĚLESU 2.3.7												
Číslo úseku	Q [W]	m [kg/h]	l [m]	DN Dxt	v [m/s]	R [Pa/m]	R.l [Pa]	$\Sigma \xi$ [-]	Z [Pa]	$\Delta p_v$ [Pa]	R.l+Z+ $\Delta p_v$ [Pa]	$\Delta p_{dis}$
1	452	39	19,72	12x1	0,14	30,2	595,54	12,54	121,13	TRV(5) 2027	717	3678
2	1331	114	22,16	18x1	0,16	30,5	675,88	6,10	76,96	0	753	2926
3	1885	162	0,52	18x1	0,23	57,5	29,90	0,90	23,46	0	53	2872
4	1885	162	0,18	18x1	0,23	57,5	10,35	4,5	117,32	0	128	2744
Přednastavení ventilu u OT 2.3.7				3678-1651= 2027 Pa, 39 kg/h				Přednastavení 5				

Tvarovky úseků

$\Sigma \xi_1$  (OT, 7x koleno, 2x zúžení a rozšíření)= 3+7x1,3+2x0,22= 12,54

$\Sigma \xi_2$  (4x koleno, odbočka-průchod-dělení, spojení)= 4x1,3+0,9= 6,1

$\Sigma \xi_3$  (odbočka-průchod-dělení, spojení)= 0,9

$\Sigma \xi_4$  (odbočka-protiproud-dělení, spojení)= 4,5

DIMENZOVÁNÍ VEDLEJŠÍ VĚTVY- BYTY 3 K TĚLESU 2.3.6												
Číslo úseku	Q [W]	m [kg/h]	l [m]	DN Dxt	v [m/s]	R [Pa/m]	R.l [Pa]	$\Sigma \xi$ [-]	Z [Pa]	$\Delta p_v$ [Pa]	R.l+Z+ $\Delta p_v$ [Pa]	$\Delta p_{dis}$
1	879	76	6,28	15x1	0,16	40,0	251,20	9,72	122,64	0	1180	3678
Přednastavení ventilu u OT 2.3.6				3678-1180= 2498 Pa, 76 kg/h				Přednastavení 7				

Tvarovky úseků

$\Sigma \xi_1$  (OT, 5x koleno, zúžení a rozšíření)= 3+5x1,3+0,22= 9,72



DIMENZOVÁNÍ VEDLEJŠÍ VĚTVY- BYTY 3 K TĚLESU 2.3.2												
Číslo úseku	Q [W]	m [kg/h]	l [m]	DN Dxt	v [m/s]	R [Pa/m]	R.l [Pa]	Σξ [-]	Z [Pa]	Δp <sub>v</sub> [Pa]	R.l+Z+Δp <sub>v</sub> [Pa]	Δp <sub>dis</sub>
1	554	48	10,29	12x1	0,17	51,7	531,99	10,52	149,84	UŠ(1) 1043	2635	3678
Přednastavení ventilu u OT 2.3.2				TRV(8) 1900			Přednastavení 1					

Tvarovky úseků

$$\Sigma \xi_1 \quad (\text{ČT, 6x koleno, zúžení a rozšíření}) = 2,5 + 6 \times 1,3 + 0,22 = 10,52$$

DIMENZOVÁNÍ VEDLEJŠÍ VĚTVY- BYTY 3 K TĚLESU 2.3.4												
Číslo úseku	Q [W]	m [kg/h]	l [m]	DN Dxt	v [m/s]	R [Pa/m]	R.l [Pa]	Σξ [-]	Z [Pa]	Δp <sub>v</sub> [Pa]	R.l+Z+Δp <sub>v</sub> [Pa]	Δp <sub>dis</sub>
1	418	37	13,92	12x1	0,14	30,2	420,38	12,32	119,01	0	539	3678
Přednastavení ventilu u OT 2.3.4				3678-539= 3139 Pa, 37 kg/h			Přednastavení 4					

Tvarovky úseků

$$\Sigma \xi_1 \quad (\text{OT, 7x koleno, zúžení a rozšíření}) = 3 + 7 \times 1,3 + 0,22 = 12,32$$

DIMENZOVÁNÍ VEDLEJŠÍ VĚTVY- BYTY 3 K TĚLESU 3.3.7												
Číslo úseku	Q [W]	m [kg/h]	l [m]	DN Dxt	v [m/s]	R [Pa/m]	R.l [Pa]	Σξ [-]	Z [Pa]	Δp <sub>v</sub> [Pa]	R.l+Z+Δp <sub>v</sub> [Pa]	Δp <sub>dis</sub>
1	452	39	19,72	12x1	0,14	30,2	595,54	12,54	121,13	TRV(4) 2604	717	4372
2	1400	120	22,16	18x1	0,17	33,9	751,22	6,10	86,88	0	838	3534
3	2080	179	0,52	18x1	0,25	66,6	34,63	0,90	27,72	0	62	3471
4	2080	179	0,18	18x1	0,25	66,6	11,99	4,50	138,61	0	151	3321
Přednastavení ventilu u OT 3.3.7				4372-1768= 2604 Pa, 39 kg/h			Přednastavení 4					

Tvarovky úseků

$$\Sigma \xi_1 \quad (\text{OT, 7x koleno, 2x zúžení a rozšíření}) = 3 + 7 \times 1,3 + 2 \times 0,22 = 12,54$$

$$\Sigma \xi_2 \quad (4x koleno, odbočka-průchod-dělení, spojení) = 4 \times 1,3 + 0,9 = 6,1$$

$$\Sigma \xi_3 \quad (\text{odbočka-průchod-dělení, spojení}) = 0,9$$

$$\Sigma \xi_4 \quad (\text{odbočka-protiproud-dělení, spojení}) = 4,5$$

DIMENZOVÁNÍ VEDLEJŠÍ VĚTVY- BYTY 3 K TĚLESU 3.3.6												
Číslo úseku	Q [W]	m [kg/h]	l [m]	DN Dxt	v [m/s]	R [Pa/m]	R.l [Pa]	Σξ [-]	Z [Pa]	Δp <sub>v</sub> [Pa]	R.l+Z+Δp <sub>v</sub> [Pa]	Δp <sub>dis</sub>
1	948	82	6,28	15x1	0,17	44,4	278,83	9,72	138,45	0	1318	4372
Přednastavení ventilu u OT 3.3.6				4372-1318= 3054 Pa, 82 kg/h				Přednastavení 7				

Tvarovky úseků

$$\Sigma \xi_1 \quad (\text{OT, 5x koleno, zúžení a rozšíření}) = 3 + 5 \times 1,3 + 0,22 = 9,72$$

DIMENZOVÁNÍ VEDLEJŠÍ VĚTVY- BYTY 3 K TĚLESU 3.3.2												
Číslo úseku	Q [W]	m [kg/h]	l [m]	DN Dxt	v [m/s]	R [Pa/m]	R.l [Pa]	Σξ [-]	Z [Pa]	Δp <sub>v</sub> [Pa]	R.l+Z+Δp <sub>v</sub> [Pa]	Δp <sub>dis</sub>
1	554	48	10,29	12x1	0,17	51,7	531,99	10,52	149,84	UŠ(1) 1728	2644	4372
Přednastavení ventilu u OT 3.3.2				TRV(8) 1900				Přednastavení 1				

Tvarovky úseků

$$\Sigma \xi_1 \quad (\text{ČT, 6x koleno, zúžení a rozšíření}) = 2,5 + 6 \times 1,3 + 0,22 = 10,52$$

$$\Sigma \xi_2 \quad (\text{odbočka-průchod-dělení, spojení}) = 0,9$$

DIMENZOVÁNÍ VEDLEJŠÍ VĚTVY- BYTY 3 K TĚLESU 3.3.4												
Číslo úseku	Q [W]	m [kg/h]	l [m]	DN Dxt	v [m/s]	R [Pa/m]	R.l [Pa]	Σξ [-]	Z [Pa]	Δp <sub>v</sub> [Pa]	R.l+Z+Δp <sub>v</sub> [Pa]	Δp <sub>dis</sub>
1	488	42	13,92	12x1	0,15	36,6	509,47	12,32	136,62	0	646	4372
Přednastavení ventilu u OT 3.3.4				4372-646= 3726 Pa, 42 kg/h				Přednastavení 4				

Tvarovky úseků

$$\Sigma \xi_1 \quad (\text{OT, 7x koleno, zúžení a rozšíření}) = 3 + 7 \times 1,3 + 0,22 = 12,32$$

## Dimenzování větve 4 (60/50)

DIMENZOVÁNÍ HLAVNÍ VĚTVE- BYTY 4 K TĚLESU 1.4.6												
Číslo úseku	Q [W]	m [kg/h]	l [m]	DN Dxt	v [m/s]	R [Pa/m]	R.l [Pa]	$\Sigma \xi [-]$	Z [Pa]	$\Delta p_v$ [Pa]	R.l+Z+ $\Delta p_v$ [Pa]	$\Delta p_{dis}$
1	1083	93	12,86	15x1	0,20	58,9	757,45	12,54	247,21	2600	3605	3605
2	1535	132	9,08	18x1	0,19	41,2	374,10	3,50	62,27	0	436	4041
3	1943	167	6,50	18x1	0,23	57,5	373,75	7,10	185,11	0	559	4600
4	3796	326	6,50	22x1	0,29	65,1	423,15	1,12	46,42	0	470	5070
5	5784	497	48,4	28x1,5	0,29	49	2371,60	27,02	1119,94	7721	11213	16282
Přednastavení ventilu u OT 1.4.6 (TRV 8)												

Tvarovky úseků

$\Sigma \xi_1$  (OT, 7x koleno, zúžení a rozšíření)=  $3+7 \times 1,3+0,22= 12,54$

$\Sigma \xi_2$  (2x koleno, odbočka-průchod-dělení, spojení)=  $2 \times 1,3+0,9= 3,5$

$\Sigma \xi_3$  (2x koleno, odbočka-protiproud-dělení, spojení, zúžení a rozšíření)=  $2 \times 1,3+4,5= 7,1$

$\Sigma \xi_4$  (odbočka-průchod-dělení, spojení, zúžení a rozšíření)=  $0,9+0,22= 1,12$

$\Sigma \xi_5$  (odbočka-průchod-dělení, spojení, zúžení a rozšíření, 12x koleno, 4x KK, 4x VK, filtr, ZK, rozdělovač výstup, sběrač vstup)=  
 $0,9+0,22+12 \times 1,3+4 \times 0,5+4 \times 0,5+0,5+4,3+0,5+1= 27,02$

$\Delta p_v$  trojcestného směšovacího ventilu= 3952 Pa

$\Delta p_v$  vyvažovacího ventilu= 3769 Pa

DIMENZOVÁNÍ VEDLEJŠÍ VĚTVE- BYTY 4 K TĚLESU 1.4.5												
Číslo úseku	Q [W]	m [kg/h]	l [m]	DN Dxt	v [m/s]	R [Pa/m]	R.l [Pa]	$\Sigma \xi [-]$	Z [Pa]	$\Delta p_v$ [Pa]	R.l+Z+ $\Delta p_v$ [Pa]	$\Delta p_{dis}$
1	452	39	6,30	12x1	0,14	30,2	190,26	9,72	93,89	0	284	3605
Přednastavení ventilu u OT 1.4.5				3605-284= 3321 Pa, 39 kg/h			Přednastavení 4					

Tvarovky úseků

$\Sigma \xi_1$  (OT, 5x koleno, zúžení a rozšíření)=  $3+5 \times 1,3+0,22= 9,72$

DIMENZOVÁNÍ VEDLEJŠÍ VĚTVE- BYTY 4 K TĚLESU 1.4.3												
Číslo úseku	Q [W]	m [kg/h]	l [m]	DN Dxt	v [m/s]	R [Pa/m]	R.l [Pa]	$\Sigma \xi$ [-]	Z [Pa]	$\Delta p_v$ [Pa]	R.l+Z+ $\Delta p_v$ [Pa]	$\Delta p_{dis}$
1	408	35	16,00	12x1	0,13	24,7	395,20	10,52	87,62	UŠ(0,5) 2508	1533	4041
Přednastavení ventilu u OT 1.4.3				TRV(8) 1050			Přednastavení 0,5					

Tvarovky úseků

$$\Sigma \xi_1 \quad (\text{ČT, 6x koleno, zúžení a rozšíření}) = 2,5 + 6 \times 1,3 + 0,22 = 10,52$$

DIMENZOVÁNÍ VEDLEJŠÍ VĚTVE- BYTY 4 K TĚLESU 2.4.6												
Číslo úseku	Q [W]	m [kg/h]	l [m]	DN Dxt	v [m/s]	R [Pa/m]	R.l [Pa]	$\Sigma \xi$ [-]	Z [Pa]	$\Delta p_v$ [Pa]	R.l+Z+ $\Delta p_v$ [Pa]	$\Delta p_{dis}$
1	948	82	12,86	15x1	0,17	44,4	570,98	12,54	178,61	TRV(7) 3484	750	4600
2	1400	120	8,78	18x1	0,17	33,9	297,64	3,50	49,85	0	347	4253
3	1400	120	0,18	18x1	0,17	33,9	6,10	0,90	12,82	0	19	4234
Přednastavení ventilu u OT 2.4.6				4600-1116= 3484 Pa, 82 kg/h			Přednastavení 7					

Tvarovky úseků

$$\Sigma \xi_1 \quad (\text{OT, 7x koleno, 2x zúžení a rozšíření}) = 3 + 7 \times 1,3 + 2 \times 0,22 = 12,54$$

$$\Sigma \xi_2 \quad (2x koleno, odbočka-průchod-dělení, spojení) = 2 \times 1,3 + 0,9 = 3,5$$

$$\Sigma \xi_3 \quad (\text{odbočka-protiproud-dělení, spojení}) = 0,9$$

DIMENZOVÁNÍ VEDLEJŠÍ VĚTVE- BYTY 4 K TĚLESU 2.4.5												
Číslo úseku	Q [W]	m [kg/h]	l [m]	DN Dxt	v [m/s]	R [Pa/m]	R.l [Pa]	$\Sigma \xi$ [-]	Z [Pa]	$\Delta p_v$ [Pa]	R.l+Z+ $\Delta p_v$ [Pa]	$\Delta p_{dis}$
1	452	39	6,30	12x1	0,14	30,2	190,26	9,72	93,89	0	651	4600
Přednastavení ventilu u OT 2.4.5				4600-651= 3949 Pa, 39 kg/h			Přednastavení 4					

Tvarovky úseků

$$\Sigma \xi_1 \quad (\text{OT, 5x koleno, zúžení a rozšíření}) = 3 + 5 \times 1,3 + 0,22 = 9,72$$

DIMENZOVÁNÍ VEDLEJŠÍ VĚTVE- BYTY 4 K TĚLESU 2.4.3												
Číslo úseku	Q [W]	m [kg/h]	l [m]	DN Dxt	v [m/s]	R [Pa/m]	R.l [Pa]	Σξ [-]	Z [Pa]	Δp <sub>v</sub> [Pa]	R.l+Z+Δp <sub>v</sub> [Pa]	Δp <sub>dis</sub>
1	453	39	16,00	12x1	0,14	30,2	483,20	11,97	115,63	UŠ(0,5) 2601	1999	4600
Přednastavení ventilu u OT 2.4.3				TRV(8) 1400			Přednastavení 0,5					

Tvarovky úseků

Σξ<sub>1</sub> (ČT, 6x koleno, zúžení a rozšíření, odbočka-protiproud-dělení, spojení)= 2,5+6x1,3+0,22+ 1,45= 11,97

DIMENZOVÁNÍ VEDLEJŠÍ VĚTVE- BYTY 4 K TĚLESU 3.4.6												
Číslo úseku	Q [W]	m [kg/h]	l [m]	DN Dxt	v [m/s]	R [Pa/m]	R.l [Pa]	Σξ [-]	Z [Pa]	Δp <sub>v</sub> [Pa]	R.l+Z+Δp <sub>v</sub> [Pa]	Δp <sub>dis</sub>
1	1083	93	3,09	15x1	0,20	58,9	182,00	14,92	294,13	TRV(7) 3332	476	5070
2	1535	132	8,78	15x1	0,28	106,3	933,31	3,50	135,24	0	1069	4001
3	1535	132	0,18	15x1	0,28	106,3	19,13	4,50	173,88	0	193	3808
Přednastavení ventilu u OT 3.4.6				5070-1738= 3332 Pa, 93 kg/h			Přednastavení 7					

Tvarovky úseků

Σξ<sub>1</sub> (OT, 9x koleno, zúžení a rozšíření)= 3+9x1,3+0,22= 14,92

Σξ<sub>2</sub> (2x koleno, odbočka-průchod-dělení, spojení)= 2x1,3+0,9= 3,5

Σξ<sub>3</sub> (odbočka-protiproud-dělení, spojení)=4,5

DIMENZOVÁNÍ VEDLEJŠÍ VĚTVE- BYTY 4 K TĚLESU 3.4.5												
Číslo úseku	Q [W]	m [kg/h]	l [m]	DN Dxt	v [m/s]	R [Pa/m]	R.l [Pa]	Σξ [-]	Z [Pa]	Δp <sub>v</sub> [Pa]	R.l+Z+Δp <sub>v</sub> [Pa]	Δp <sub>dis</sub>
1	452	39	6,18	12x1	0,14	30,2	186,64	9,72	93,89	0	1542	5070
Přednastavení ventilu u OT 3.4.5				5070-1542= 3528 Pa, 39 kg/h			Přednastavení 4					

Tvarovky úseků

Σξ<sub>1</sub> (OT, 5x koleno, zúžení a rozšíření)= 3+5x1,3+0,22= 9,72

DIMENZOVÁNÍ VEDLEJŠÍ VĚTVY- BYTY 4 K TĚLESU 3.4.3												
Číslo úseku	Q [W]	m [kg/h]	l [m]	DN Dxt	v [m/s]	R [Pa/m]	R.l [Pa]	$\Sigma \xi$ [-]	Z [Pa]	$\Delta p_v$ [Pa]	R.l+Z+ $\Delta p_v$ [Pa]	$\Delta p_{dis}$
1	453	39	8,90	12x1	0,14	30,2	268,78	11,97	115,63	UŠ(0,5) 3286	384	5070
Přednastavení ventilu u OT 3.4.3				TRV(8) 1400			Přednastavení 0,5					

Tvarovky úseků

$\Sigma \xi_1$  (ČT, 6x koleno, zúžení a rozšíření, odbočka-protiproud-dělení, spojení)= 2,5+6x1,3+0,22+ 1,45= 11,97

## Dimenzování kotlového okruhu (70/50)

DIMENZOVÁNÍ K HVDT												
Číslo úseku	Q [W]	m [kg/h]	l [m]	DN Dxt	v [m/s]	R [Pa/m]	R.l [Pa]	$\Sigma \xi$ [-]	Z [Pa]	$\Delta p_v$ [Pa]	R.l+Z+ $\Delta p_v$ [Pa]	$\Delta p_{dis}$
1	38000	1634	11,06	42x1,5	0,39	45,3	501,02	13,80	1034,48	0	1536	1536

Tvarovky úseků

$\Sigma \xi_1$  (odvod-rozdělovač, přívod-sběrač, 9x koleno, 2xKK)=1,5+1,3x9+2x0,3= 13,8

DIMENZOVÁNÍ KE KOTLI K1, K2												
Číslo úseku	Q [W]	m [kg/h]	l [m]	DN Dxt	v [m/s]	R [Pa/m]	R.l [Pa]	$\Sigma \xi$ [-]	Z [Pa]	$\Delta p_v$ [Pa]	R.l+Z+ $\Delta p_v$ [Pa]	$\Delta p_{dis}$
1	19000	817	3,70	35x1,5	0,29	33,9	125,43	7,40	306,72	0	432	432
2	38000	1634	1,39	42x1,5	0,39	45,3	62,97	11,90	892,05	0	955	1387

Tvarovky úseků

$\Sigma \xi_1$  (2x koleno, 4xKK, 2xVK, filtr, kotel)= 2x1,3+4x0,3+2x0,3+0,5+2,5= 7,4

$\Sigma \xi_2$  (5x koleno, 6xKK, 2xVK, filtr, kotel)= 5x1,3+6x0,3+2x0,3+0,5+2,5= 11,9

DIMENZOVÁNÍ K AKUMULAČNÍMU ZÁSOBNÍKU												
Číslo úseku	$Q [W]$	$m [kg/h]$	$l [m]$	$DN Dxt$	$v [m/s]$	$R [Pa/m]$	$R.l [Pa]$	$\Sigma \xi [-]$	$Z [Pa]$	$\Delta p_v [Pa]$	$R.l + Z + \Delta p_v [Pa]$	$\Delta p_{dis}$
1	3570	153	5,70	18X1	0,22	49,9	284,43	12,80	305,33	8240	590	8830

Tvarovky úseků

$\Sigma \xi_1$  (6x koleno, 6xKK, 4xVK, filtr, rozdělovač-výstup, sběrač-vstup)= $6 \times 1,3 + 6 \times 0,3 + 4 \times 0,3 + 0,5 + 1,5 = 12,8$

$\Delta p_v$  výměníku v zásobníku= 5000 Pa

$\Delta p_v$  vyvažovacího ventilu= 3240 Pa

# **Přílohy technických listů č. 10-24**

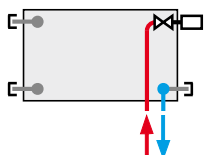




## Technické údaje

<b>Výška H</b>	300, 400, 500, 600, 700, 900 mm
<b>Délka L</b>	400, 500, 600, 700, 800, 900, 1000, 1100, 1200, 1400, 1600, 1800, 2000, 2300, 2600, 3000 mm
<b>Hloubka B</b>	
Typ 10 VK	47 mm
Typ 11 VK	63 mm
Typ 20 VK	66 mm
Typ 21 VK	66 mm
Typ 22 VK	100 mm
Typ 33 VK	155 mm
<b>Připojovací rozteč</b>	50 mm
<b>Připojovací závit</b>	6 x G1/2 vnitřní
<b>Nejvyšší přípustný provozní přetlak</b>	1,0 MPa
<b>Nejvyšší přípustná provozní teplota</b>	110 °C
<b>Připojení otopného tělesa</b>	pravé spodní

## Způsoby připojení na otopnou soustavu

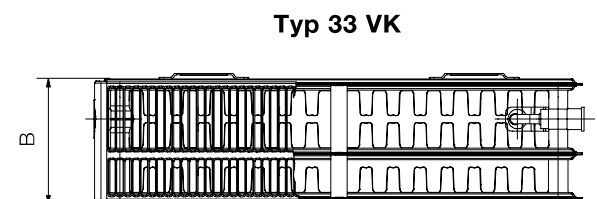
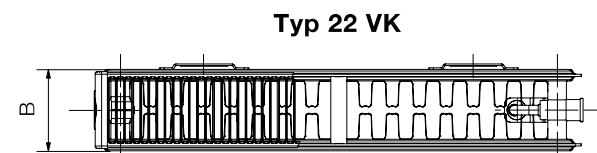
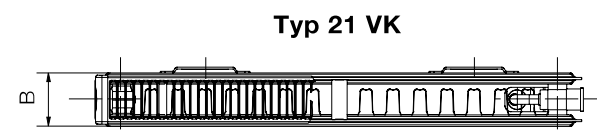
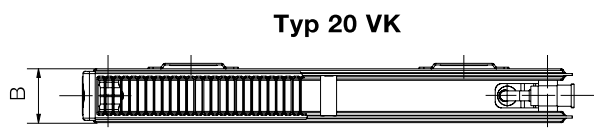
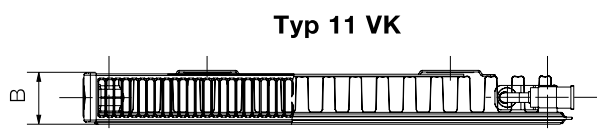
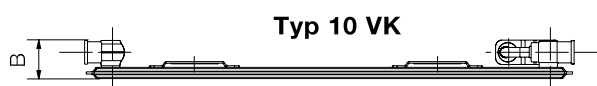
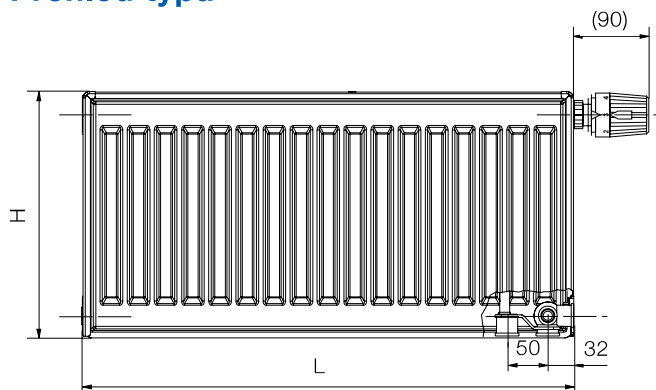


pravé spodní  
 $\phi = 1$

## Popis

Model **RADIK VK** je deskové otopné těleso v provedení VENTIL KOMPAKT, které umožňuje **pravé spodní připojení** na otopnou soustavu s nuceným oběhem. Ze zadní strany jsou přivařeny dvě horní a dolní příchytky, otopná tělesa o délce 1800 mm a delší mají navařených šest příchyttek.

## Přehled typů

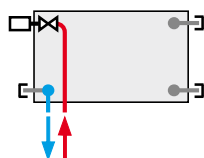




## Technické údaje

<b>Výška H</b>	300, 400, 500, 600, 700, 900 mm
<b>Délka L</b>	400, 500, 600, 700, 800, 900, 1000, 1100, 1200, 1400, 1600, 1800, 2000, 2300, 2600, 3000 mm
<b>Hloubka B</b>	
Typ 10 VKL	47 mm
Typ 11 VKL	63 mm
Typ 21 VKL	66 mm
Typ 22 VKL	100 mm
Typ 33 VKL	155 mm
<b>Připojovací rozteč</b>	50 mm
<b>Připojovací závit</b>	6 x G1/2 vnitřní
<b>Nejvyšší přípustný provozní přetlak</b>	1,0 MPa
<b>Nejvyšší přípustná provozní teplota</b>	110 °C
<b>Připojení otopného tělesa</b>	levé spodní

## Způsoby připojení na otopnou soustavu

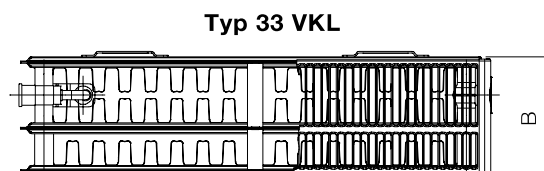
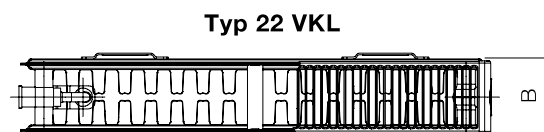
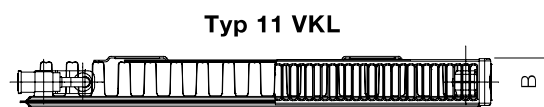
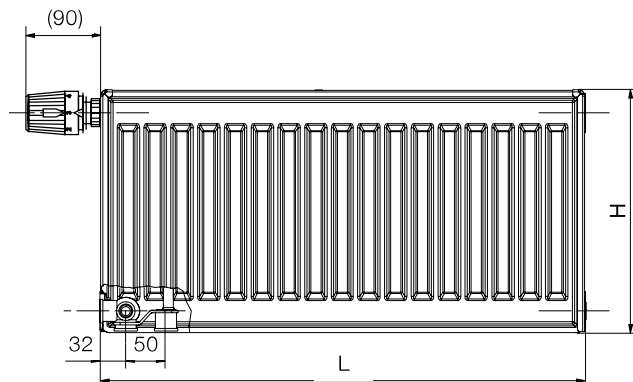


levé spodní  
 $\varphi = 1$

## Popis

Model **RADIK VKL** je deskové otopné těleso v provedení VENTIL KOMPAKT, které umožňuje **levé spodní připojení** na otopnou soustavu s nuceným oběhem. Ze zadní strany jsou přivařeny dvě horní a dolní příchytky, otopná tělesa o délce 1800 mm a delší mají navařených šest příchyttek.

## Přehled typů



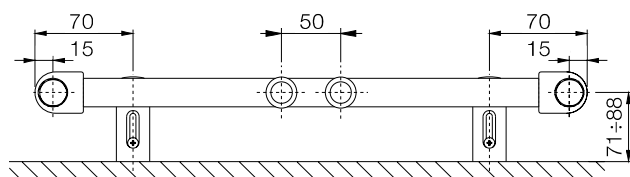
# KORALUX LINEAR MAX, LINEAR MAX - M



## Technické údaje

Výška H	690, 900, 1215, 1495, 1810 mm
Délka L	450, 600, 750 mm
Hloubka B	35 mm
Připojovací rozteč (KLM)	$h = L - 30$ mm
Připojovací rozteč (KLMM)	50 mm
Připojovací závit (KLM)	4 x G 1/2 vnitřní
Připojovací závit (KLMM)	6 x G 1/2 vnitřní
Nejvyšší přípustný provozní tlak	1,0 MPa
Zkušební tlak	1,3 MPa
Nejvyšší přípustná provozní teplota	110 °C
Průtokový součinitel (KLM)	$A_T = 2,1 \times 10^{-4} \text{ m}^2$
Průtokový součinitel (KLMM)	$A_T = 9,3 \times 10^{-5} \text{ m}^2$
Součinitel odporu (KLM)	$\xi_T = 1,8$
Součinitel odporu (KLMM)	$\xi_T = 9,3$

## Upevnění



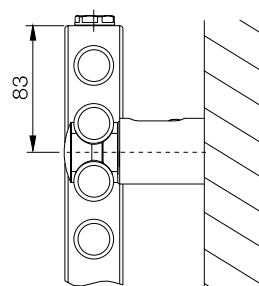
Dodávaná souprava pro upevnění otopného tělesa na stěnu obsahuje 4 ks speciálních konzol z plastu, vruty, hmoždinky a návod na montáž.

## Konstrukce

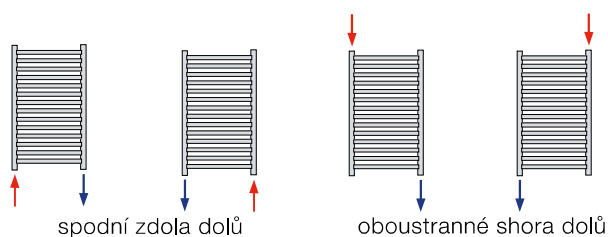
**KORALUX LINEAR MAX (KLM)** je trubkové otopné těleso se **spodním připojením zdola dolů** s připojovací roztečí **h** odvozenou z jeho délky **L**. Konstrukce tělesa rovněž umožňuje **oboustranné připojení shora dolů**.

**KORALUX LINEAR MAX - M (KLMM)** je trubkové otopné těleso upravené pro **spodní středové připojení** s připojovací roztečí 50 mm.

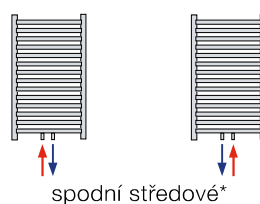
Ocelové trubky Ø 24 mm  
Ocelový profil 41 x 35 mm



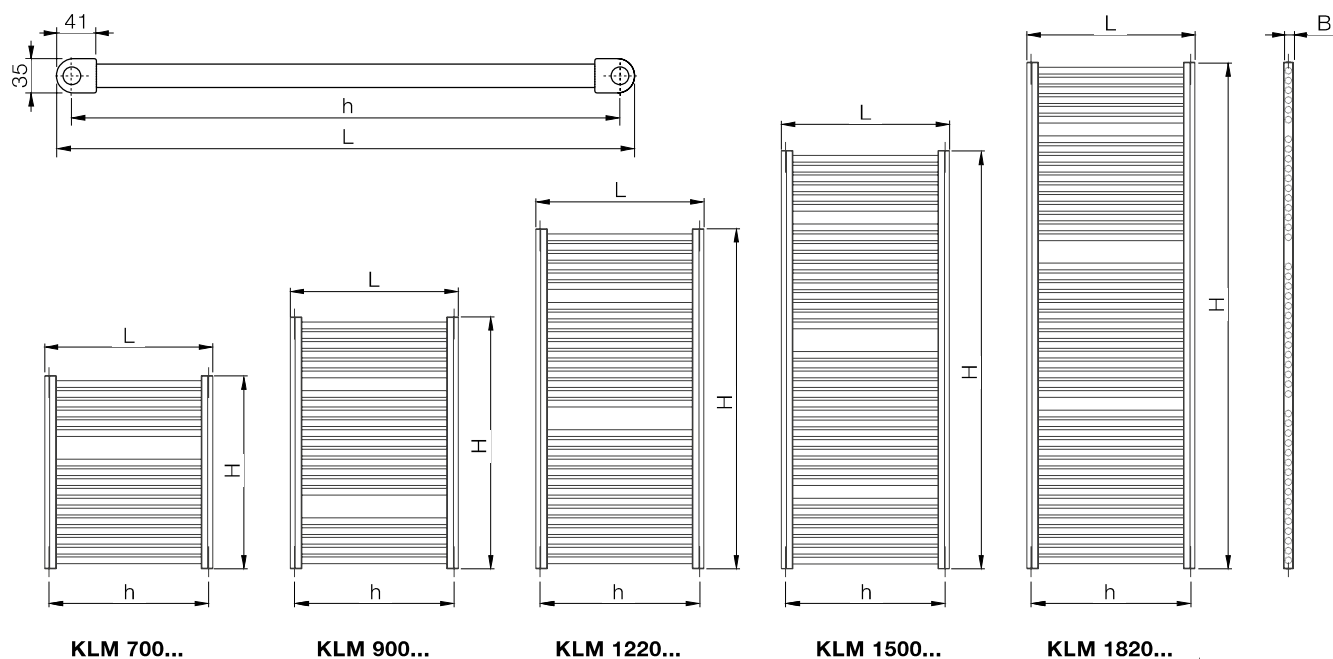
## Způsob připojení KORALUX LINEAR MAX



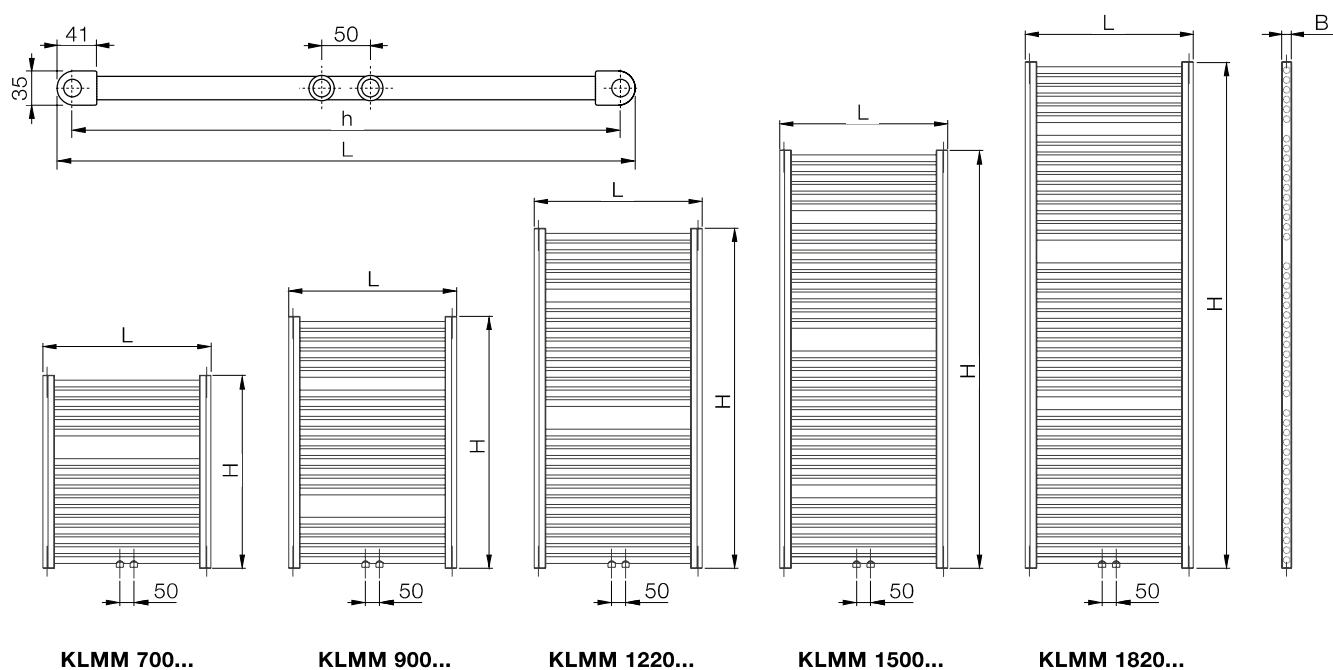
## Způsob připojení KORALUX LINEAR MAX - M



\* u spodního středového připojení lze použít integrovanou armaturu HM dodávanou včetně termostatické hlavice (viz str. 39).



## KORALUX LINEAR MAX - M



## KORALUX LINEAR MAX - E přímotopná elektrická otopná tělesa

Typové označení	Elektrický příkon P [W]	M <sub>c</sub> [kg]
KLME 700.450	300	10,0
KLME 700.600	400	12,3
KLME 700.750	500	14,7
KLME 900.450	300	12,8
KLME 900.600	500	15,9
KLME 900.750	600	19,0
KLME 1220.450	500	17,6
KLME 1220.600	700	22,0

Typové označení	Elektrický příkon P [W]	M <sub>c</sub> [kg]
KLME 1220.750	800	26,3
KLME 1500.450	600	21,6
KLME 1500.600	800	27,0
KLME 1500.750	1000	32,3
KLME 1820.450	700	26,3
KLME 1820.600	1000	33,0
KLME 1820.750	1200	39,8

M<sub>c</sub> = celková hmotnost otopného tělesa včetně elektrické topné tyče a náplně

Technické změny vyhrazeny.



## TEPELNÝ VÝKON Q [W]

PRO TEPLONOSNOU LÁTKU VODA PODLE EN 442

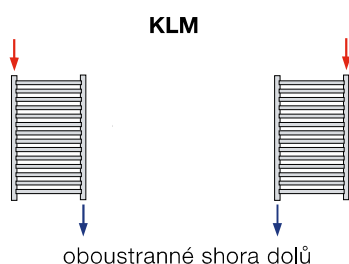
## ZÁKLADNÍ TECHNICKÉ PARAMETRY

Typové označení	H [mm]	L [mm]	h [mm]	t <sub>1</sub> /t <sub>2</sub> [°C]	Q [W] pro t <sub>1</sub> [°C]					Jmenovitý tepelný výkon Q <sub>n</sub> [W] (75/65/20°C)	Teplotní exponent n [-]	Hmotnost tělesa M <sub>r</sub> [kg]	Vodní objem tělesa V <sub>r</sub> [l]	Max. výkon el. top. tělesa P [W]*
					15	18	20	22	24					
<b>KLM 700.450</b>	690	450	420	75/65	385	359	341	324	307	341	1,2765	5,8	3,9	300
				70/55	319	294	277	261	244					
				55/45	216	193	178	163	148					
<b>KLM 700.600</b>	690	600	570	75/65	512	477	454	431	409	454	1,2651	7,3	4,9	400
				70/55	425	392	370	348	326					
				55/45	289	258	238	218	199					
<b>KLM 700.750</b>	690	750	720	75/65	639	596	567	539	511	567	1,2537	8,8	5,8	500
				70/55	532	490	462	435	409					
				55/45	363	324	299	274	250					
<b>KLM 900.450</b>	900	450	420	75/65	493	458	436	414	392	436	1,2816	7,5	5,1	300
				70/55	408	376	354	333	312					
				55/45	276	246	227	207	189					
<b>KLM 900.600</b>	900	600	570	75/65	655	610	580	551	522	580	1,2694	9,4	6,3	500
				70/55	543	500	472	444	416					
				55/45	369	329	303	278	253					
<b>KLM 900.750</b>	900	750	720	75/65	817	762	725	689	653	725	1,2572	11,3	7,6	600
				70/55	680	626	591	556	522					
				55/45	463	414	381	350	319					
<b>KLM 1220.450</b>	1215	450	420	75/65	669	623	592	562	532	592	1,2896	10,4	7,0	500
				70/55	554	509	480	451	423					
				55/45	374	333	306	280	255					
<b>KLM 1220.600</b>	1215	600	570	75/65	891	829	789	749	709	789	1,2762	13,0	8,8	700
				70/55	739	680	641	603	565					
				55/45	500	446	411	376	342					
<b>KLM 1220.750</b>	1215	750	720	75/65	1111	1035	985	936	887	985	1,2627	15,7	10,6	800
				70/55	923	850	802	755	708					
				55/45	628	561	517	474	431					
<b>KLM 1500.450</b>	1495	450	420	75/65	832	773	735	697	660	735	1,2967	12,7	8,6	600
				70/55	688	632	595	559	524					
				55/45	463	412	379	347	315					
<b>KLM 1500.600</b>	1495	600	570	75/65	1106	1029	979	929	880	979	1,2821	15,9	10,8	800
				70/55	917	843	795	747	700					
				55/45	620	552	509	466	423					
<b>KLM 1500.750</b>	1495	750	720	75/65	1379	1284	1222	1160	1099	1222	1,2676	19,2	13,0	1000
				70/55	1145	1054	994	936	877					
				55/45	778	694	640	586	533					
<b>KLM 1820.450</b>	1810	450	420	75/65	1026	954	906	859	813	906	1,3048	15,5	10,6	700
				70/55	847	778	733	688	644					
				55/45	569	506	465	425	386					
<b>KLM 1820.600</b>	1810	600	570	75/65	1364	1269	1206	1144	1083	1206	1,2890	19,6	13,3	1000
				70/55	1129	1038	978	919	861					
				55/45	762	678	624	571	519					
<b>KLM 1820.750</b>	1810	750	720	75/65	1701	1584	1507	1431	1355	1507	1,2731	23,6	15,9	1200
				70/55	1412	1299	1225	1152	1080					
				55/45	957	854	786	720	655					

\* Uvedené hodnoty maximálního výkonu elektrického topného tělesa platí pro kombinované vytápění s použitím tělesa EL.07 (v nabídce od 1.8.2017) viz str. 38.

Charakteristická rovnice: $\Phi = K_r \cdot L^a \cdot H^b \cdot \Delta T^{(c_0+c_1 \cdot H)}$	K <sub>r</sub>	a	b	c <sub>0</sub>	c <sub>1</sub>
	1,79486 x 10 <sup>-5</sup>	0,9970127	0,8795569	1,2322031	3,12713 x 10 <sup>-5</sup>

**Uvedené hodnoty tepelných výkonů platí pro znázorněné typy připojení otopných těles:**



# KATALOG VÝROBKŮ

Thermona®



Český výrobce kotlů

2018-2019

# LEGENDA



Spotřebič s nejvyšší třídou NOx 6



Kotle určené pro vytápění



Kotle s průtokovým ohřevem teplé vody



Kotle s přípravou teplé vody v zabudovaném nebo externím zásobníku  
Zásobníky pro nepřímý ohřev teplé vody



Kondenzační kotle



Elektrokotle



Solární systémy THERMONA



Kotle s možností zapojení do kaskády



Ekvitermní regulace



Komunikace mezi kotlem a regulátorem pomocí protokolu OpenTherm+



Regulace plynových kotlů, elektrokotlů a kaskádových kotlen



Odtahy spalin pro kondenzační kotle



Komunikace pomocí WiFi



Komunikace pomocí LAN



Komunikace pomocí GSM

Veškeré ceny uvedené v tomto katalogu jsou doporučené v Kč, bez DPH s platností od 1. 9. 2018.



# KOTLE THERM

Vážený zákazníku,

společnost Thermona stále připravuje pro své odběratele řadu novinek a snaží se přizpůsobit moderním trendům ve vytápění. Pro zpřehlednění jsme sortiment kondenzačních kotlů rozdělili do řad, které se liší konstrukcí i zpracováním a přináší řadu výhod, které bychom Vám rádi představili.

## Řada **PREMIUM** *Condens*

Plynové kondenzační kotle řady **PREMIUM Condens** jsou kotle na zemní plyn či propan určené pro vytápění topného systému a ohřev užitkové vody. Tato řada kotlů přináší špičkovou technologii, která vychází z posledních poznatků v oboru. Kotel je složen z nejmodernějších komponentů umožňujících aktivní řízení spalovacího procesu. Zákazník si může vybírat ze dvou výkonových řad **25 kW** (již v prodeji) a **18 kW** (novinka od srpna 2018).

Kotle mají nerezový výměník s dochlazovanou čelní hořákovou stěnou. Nový typ plynového ventilu ve spolupráci s hořákem BLUEJET® vyniká vysokým stupněm modulace. Umožňuje tak provoz a kvalitní spalování i při nízkých rychlostech proudění plynu. Regulační poměr tohoto typu kotle je pak 1:10 a minimální výkon je od 1,8 kW. Plynový ventil navíc umožňuje optimalizovat proces hoření a spotřebu plynu tak, aby nedocházelo ke zbytečným ztrátám energie. Tato řada vyniká velmi tichým provozem díky novému vícefázovému ventilátoru.

Kotle jsou vhodné, díky širokému rozsahu modulace výkonu od 1,8 do 19,0 kW (příp. 2,65 – 24,9 kW), zejména pro použití do nízkoenergetických staveb s nízkými tepelnými ztrátami. Kotle lze také využívat pro ohřev užitkové vody. K tomu se vždy využívá maximálně možný tepelný výkon kotle. Samozřejmostí je u těchto kotlů ekvitermní regulace včetně servisního nastavení požadovaného výkonového rozsahu.

Řada kotlů THERM 18 KDx svým výkonovým rozsahem nahrazuje řadu kotlů THERM 14 KDx.A a THERM 17 KDx.A, jejichž výroba byla ukončena.

## Řada **OPTIMUM** *Condens*

Plynové kondenzační kotle řady **OPTIMUM Condens** jsou kotle na zemní plyn či propan určené pro vytápění topného systému a ohřev užitkové vody. Nabízíme v současnosti dvě výkonové řady – **24 kW** (v prodeji od r. 2017) a nově i **14 kW** (v prodeji od září 2018). Kotle této řady jsou složeny z komponentů, které umožňují nabídnout alternativu kotle s optimálním poměrem cena/výkon. Za velice příznivou cenu tak nabízíme zákazníkovi velmi kvalitní kondenzační kotel s širokou možností využití.

Základ kotle tvoří kondenzační těleso s nerezovým výměníkem, zaručující dlouhou životnost, se špičkovým hořákem s vysokou účinností a ekologickým provozem. Tvar a rozměry trubkovnice výměníku omezují usazování vodního kamene a zanášení výměníku.

Kotle mají vestavěnou ekvitermní regulaci umožňující optimalizovat teplotu topné vody na základě venkovní teploty a snižovat tak náklady na vytápění. Kotle řady THERM 24 KDxN mají zvýšený výkon na výrobu teplé vody a splňují tak náročné nároky současných zákazníků na komfort v tomto směru.

Výhodou kotlů je také velmi tichý provoz a malé kompaktní rozměry umožňující instalaci kotle i v interiérech rodinných domů a bytů. Ideální je např. spojení s podlahovým vytápěním v těchto objektech.

## Řada **CLASSIC** *Condens*

Plynové kondenzační kotle řady **CLASSIC Condens** jsou kotle na zemní plyn či propan určené pro vytápění topného systému a ohřev užitkové vody. Nabízíme v současnosti tři výkonové řady – **28 kW**, **45 kW** a **90 kW**. Jedná se o kondenzační kotle osvědčené konstrukce určené pro vytápění větších objektů. Tyto typy kotlů také tvoří základ kondenzačních kaskádových kotlen pro vytápění bytových domů, školských, zdravotních či ubytovacích zařízení nebo i průmyslových objektů.

Základ kotle tvoří kondenzační těleso s nerezovým výměníkem a dalšími kvalitními komponenty, které zaručují bezpečný provoz s nízkými náklady. Kotle mají vestavěnou ekvitermní regulaci umožňující optimalizovat teplotu topné vody na základě venkovní teploty a snižovat tak náklady na vytápění.

Kotle řady THERM 28 KDx.A zaručují velmi komfortní dodávku teplé vody, ať už průtokově pomocí deskového výměníku, nebo v zásobníku. U kotlů THERM 45 KD.A a THERM 90 KD.A je třeba pro ohřev teplé vody v externím zásobníku použít externí trojcestný ventil.





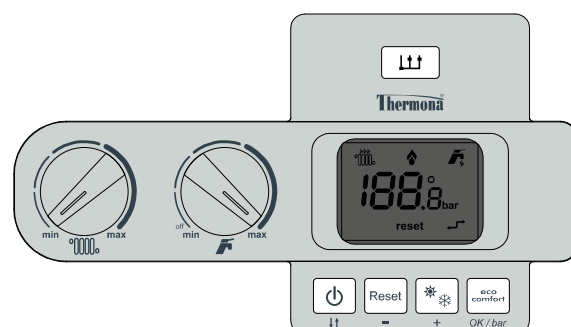
# KOTLE THERM kondenzační kotle pro vytápění

**THERM 18 KD** 

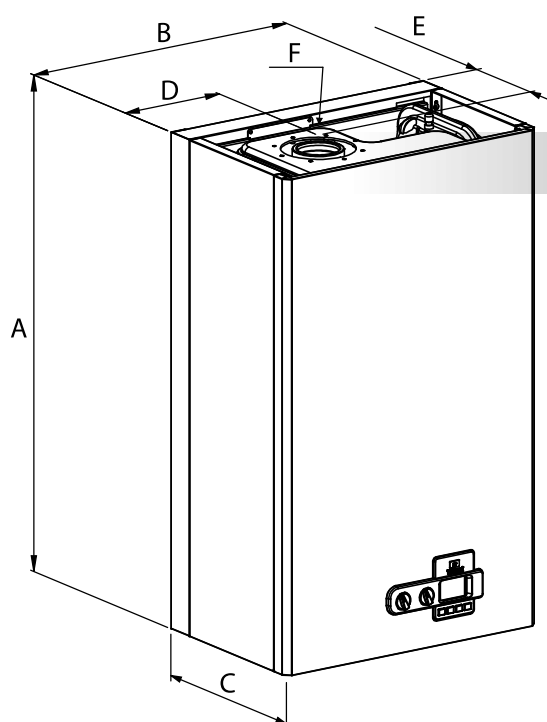
**THERM 25 KD** 

Kotle jsou určeny pouze pro vytápění topného systému. Jsou vhodné všude tam, kde je ohřev vody vyřešen jiným způsobem např. pomocí elektrického zásobníku. Dodatečně mohou být doplněny o ohřev vody v nepřímotopném externím zásobníku použitím externího trojcestného ventilu.

- Mimořádně ekologický provoz – třída NOx 6
- Kondenzační těleso se zcela novým typem hořáku BLUEJET®
- Široký rozsah modulace výkonu kotle
- Nová koncepce vícefázového ventilátoru
- Omezení hlučnosti při vyšších otáčkách
- Elektricky modulovaný SGV plynový ventil
- Modulované oběhové čerpadlo s vysokou účinností
- Nová řídicí jednotka s autodiagnostikou
- Elektronika získává zpětnovazební informace o stavu hoření a provádí vlastní optimalizaci programové mapy
- Možnost doplnit o ohřev vody v externím zásobníku pomocí externího trojcestného ventilu
- Komunikace kotle a regulátoru pomocí systému OpenTherm+
- Vhodná kombinace se systémem podlahového vytápění



Ovládací panel



## ROZMĚRY KOTLE

ROZMĚRY KOTLE (mm)	TYP KOTLE
	18 KD, 25 KD
A	725
B	430
C	280
D	160
E	130
F	60/100

# NÁVOD K OBSLUZE A INSTALACI

## Zásobníky teplé vody stacionární

OKC 160 NTR/BP  
OKC 200 NTR/BP  
OKC 250 NTR/BP  
OKC 200 NTRR/BP  
OKC 250 NTRR/ BP

OKC 300 NTR/BP  
OKC 300 NTRR/BP  
OKC 400 NTR/ BP  
OKC 400 NTRR/BP  
OKC 500 NTR/BP  
OKC 500 NTRR/BP

OKC 750 NTR/BP  
OKC 750 NTRR/BP  
OKC 1000 NTR/BP  
OKC 1000 NTRR/BP



Družstevní závody Dražice - strojírna s.r.o.  
Dražice 69, 294 71 Benátky nad Jizerou  
tel: +420 / 326 370 990  
fax: +420 / 326 370 980  
e-mail: [prodej@dzd.cz](mailto:prodej@dzd.cz)

 **DRAŽICE**  
ČLEN SKUPINY NIBE

## PŘED INSTALACÍ ZÁSObNÍKU SI POZORNĚ PŘEČTĚTE TENTO NÁVOD!

Vážený zákazníku,

Družstevní závody Dražice - strojírna s.r.o. Vám děkují za rozhodnutí používat výrobek naší značky. Těmito předpisy Vás seznámíme s použitím, konstrukcí, údržbou a dalšími informacemi o elektrických zásobnících vody.



Výrobek není určen pro ovládání

- a) osobami (včetně dětí) se sníženými fyzickými, smyslovými nebo duševními schopnostmi nebo
- b) s nedostatečnými znalostmi a zkušenostmi, nejsou-li pod dohledem zodpovědné osoby nebo nebyly-li jí řádně proškoleny.

Výrobce si vyhrazuje právo na technickou změnu výrobku. Výrobek je určen pro trvalý styk s pitnou vodou.

Výrobek doporučujeme používat ve vnitřním prostředí s teplotou vzduchu +2°C až +45°C a relativní vlhkostí max. 80%.

Funkce a bezpečnost výrobku byla prověřena Strojírenským zkušebním ústavem v Brně.

Vyrobeno v České republice.

### Význam piktogramů použitých v návodu



**Důležité informace pro uživatele zásobníku.**



**Doporučení výrobce, jehož dodržování Vám zaručí bezproblémový provoz a dlouhodobou životnost výrobku.**



**POZOR!**  
**Důležité upozornění, které musí být dodrženo.**

## 1.4 NÁVOD K OBSLUZE A INSTALACI TYPŮ: OKC 750 NTR / BP, OKC 1000 NTR / BP, OKC 750 NTRR / BP, OKC 1000 NTRR / BP

### 1.4.1 POPIS VÝROBKU

Nádoba zásobníku je svařena z ocelového plechu, výměníky z ocelové trubky a jako celek posmaltována smaltem odolávajícím teplé vodě. Jako dodatečná ochrana proti korozi je v horní části zásobníku vmontována hořčíková anoda, která upravuje elektrický potenciál vnitřku nádoby a snižuje tak nebezpečí jejího prorozavění. Do nádoby jsou přivařeny vývody teplé, studené vody a cirkulační otvor. U zásobníků na boku se pod plastovým krytem nachází čistící a revizní otvor zakončený přírubou, do otvoru lze namontovat topnou jednotku o různém výkonu. Zásobník má otvor G 6/4" kam lze namontovat topné těleso řady TJ G 6/4".

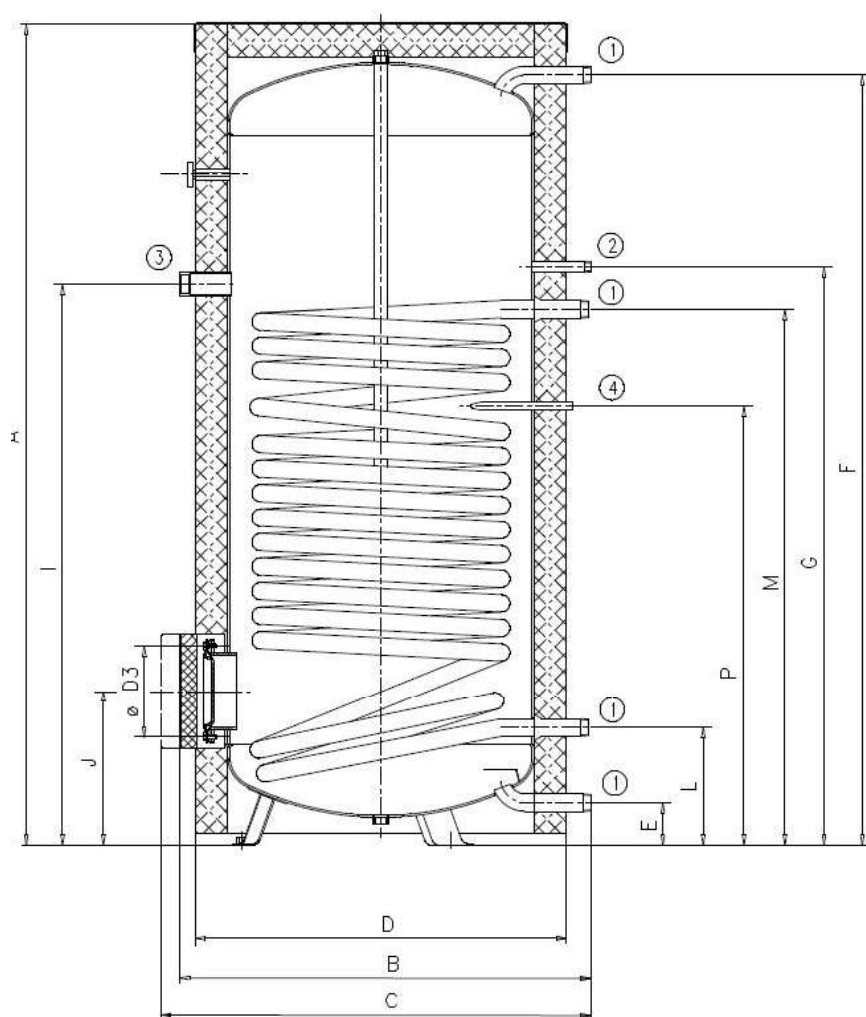
To se používá, je-li zásobník zapojen v solárním systému nebo v systému s tepelným čerpadlem, pro dohřátí vody v horní části zásobníku na požadovanou teplotu. Zásobník se umísťuje na zem vedle zdroje topné vody nebo v jeho blízkosti. Nádoba i výměníky jsou zkoušeny 1,5 násobkem provozního tlaku. Indikátor teploty je umístěn na plášti ohřívače. Izolaci nádoby tvoří NEODUL 80 mm.

Verze NTR má jeden výměník umístěný v dolní části zásobníku a k ohřevu se využívá jeden zdroj topné vody.

Verze NTRR je vybavena dvěma výměníky pro libovolnou kombinaci dvou zdrojů topné vody, je možné zapojit oba výměníky do série. Typy NTR/BP a NTRR/BP nemají topné těleso. Zásobník nelze použít pro průtočný ohřev teplé vody ve výměníku.

## 1.4.3 KONSTRUKCE A ZÁKLADNÍ ROZMĚRY ZÁSOBNÍKU

OKC 750 NTR/BP, OKC 1000 NTR/BP



Obrázek 5

①	5/4" vnější
②	3/4" vnější
③	6/4" vnitřní
④	1/2" vnitřní

	OKC 750 NTR/BP	OKC 1000 NTR/BP
<b>A</b>	2030	2050
<b>B</b>	1030	1130
<b>C</b>	max. 1140	max. 1240
<b>D</b>	910	1010
<b>D3</b>	225	225
<b>E</b>	106	103
<b>F</b>	1890	1900
<b>G</b>	1422	1490
<b>I</b>	1380	1375
<b>J</b>	383	386
<b>L</b>	293	296
<b>M</b>	1319	1324
<b>P</b>	1081	1088

Tabulka 7

## 1.4.4 TECHNICKÉ PARAMETRY

MODEL		OKC 750 NTR/BP	OKC 1000 NTR/BP	OKC 750 NTRR/BP	OKC 1000 NTRR/BP
OBJEM ZÁSOBNÍKU	l	725	945	710	930
PRŮMĚR	mm	950	1010	950	1010
HMOTNOST	Kg	208	260	197	248
PROVOZNÍ TLAK TEPLÉ VODY	MPa	1	1	1	1
PROVOZNÍ TLAK TOPNÉ VODY	MPa	1	1	1	1
MAX. PROVOZNÍ TEPLOTA VE VÝMĚNÍKU	°C	110	110	110	110
MAX. PROVOZNÍ TEPLOTA V NÁDOBĚ	°C	95	95	95	95
VÝHŘEVNÁ PLOCHA HORNÍHO VÝMĚNÍKU	m <sup>2</sup>	-	-	1,17	1,12
VÝHŘEVNÁ PLOCHA SPODNÍHO VÝMĚNÍKU	m <sup>2</sup>	3,7	4,5	1,93	2,45
VÝKON SPODNÍHO / HORNÍHO VÝMĚNÍKU PŘI TEPLOTNÍM SPÁDU 80/60 °C	kW	99	110	60/33	76/32
VÝKONNOSTNÍ ČÍSLO DLE DIN 4708 HORNÍHO VÝMĚNÍKU	NL	-	-	6,2	7,1
VÝKONNOSTNÍ ČÍSLO DLE DIN 4708 SPODNÍHO VÝMĚNÍKU	NL	30,5	38,8	21	26
TRVALÝ VÝKON TEPLÉ VODY SPODNÍHO VÝMĚNÍKU	l/h	2440	2715	1460	1490
TRVALÝ VÝKON TEPLÉ VODY HORNÍHO VÝMĚNÍKU	l/h	-	-	815	780
DOBA OHŘEVU TEPLÉ VODY* VÝMĚNÍKEM PŘI TEPLOTNÍM SPÁDU 80/60°C (DOLNÍM/HORNÍM)	min	24	26	37/28	43/37
STATICKÉ ZTRÁTY	W	127	140	127	142

\* Teplá voda 45 °C

Tabulka 9

# V-exact II



## **Termostatické ventily**

Termostatický ventil s plynulým  
přesným přednastavením



*Engineering  
GREAT Solutions*

# V-exact II

Termostatické radiátorové ventily V-exact II jsou určeny pro dvoutrubkové soustavy s nuceným oběhem s běžnými i velkými teplotními spády. Integrované plynulé nastavení umožňuje přesné hydronické vyvážení jednotlivých otopných těles s cílem zajistit požadovaný průtok dle výkonových požadavků. Ventil s velkým průtokovým rozsahem vyniká optimalizovaným tvarem tělesa pro velmi tichý provoz a velmi malé průtokové tolerance.

## Klíčové vlastnosti

- > **Optimalizovaná hlučnost**  
Díky speciálně navrženému profilu proudění
- > **Těsnění dvojitém O-kroužkem**  
Pro dlouhodobý a bezúdržbový provoz
- > **Vysoký průtokový rozsah**  
Pro různé aplikace
- > **Těleso ventilu z bronzu**  
V korozivzdorném a bezpečném provedení



## Technický popis

### Použití:

Vytápěcí a chladicí soustavy

### Funkce:

Regulace  
Plynulé nastavení  
Uzavírání

### Rozměry:

DN 10-20

### Tlaková třída:

PN 10

### Teplota:

Maximální provozní teplota: 120°C, s montážní krytkou nebo pohonem max. 100 °C, s lisovacím připojením max. 110°C.  
Minimální provozní teplota: -10°C

### Materiál:

Těleso ventilu: korozivzdorný bronz.  
O-kroužky: EPDM  
Kuželka ventilu: EPDM  
Zpětná pružina: nerez  
Ventilová vložka: mosaz, PPS (polyfenylsulfid)  
Kompletní ventilová vložka může být vyměněna pomocí montážního přípravku Heimeier bez vypouštění soustavy.  
Dřík: Niro-ocelový dřík se dvěma těsnícími O kroužky.

### Povrchová úprava:

Tělo ventilu a šroubení jsou poniklované

### Značení:

THE, kód země, šipka směru toku, DN a označení KEYMARK. Označení- II+.  
Bílá montážní krytka.

### Normy:

Ventily V-exact II splňují tyto požadavky:  
– KEYMARK certifikace a zkoušky podle DIN EN 215



– “velmi rozšířená verze” a “standardní verze” specifikace FW 507 vypracované Arbeitsgemeinschaft Fernwärme (AGFW) (Pracovní skupina pro teplárny).



### Připojení potrubí:

Těleso je určeno pro připojení k závitovým trubkám nebo pomocí svěrného šroubení k měděným, přesným ocelovým a vícevrstvným trubkám (pouze DN 15). Provedení s vnějším závitem umožňuje připojení k plastovým trubkám při použití vhodného svěrného šroubení. Provedení s lisovacím připojením Viega (15 mm) s SC-Contur jsou vhodná pro měděné trubky, nerezové trubky Viega Sanpress a ocelové trubky Prestabo.

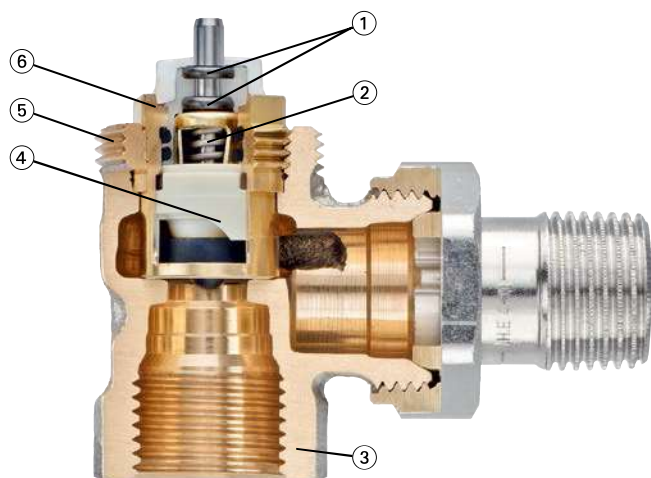
### Připojení pro termostatické hlavice a pohony:

IMI Heimeier M30x1.5



## Konstrukce

### V-exact II



1. Trvanlivé těsnění dvojitém O-kroužkem.
2. Silná vratná pružina spolu s velkou montážní silou zajišťují, že ventil v průběhu času nezeslábně.
3. Těleso ventilu z korozivzdorného bronzu.
4. Táhl ovládání pro přesné a plynulé přednastavení.
5. Připojení M30x1,5 pro termostatické hlavice IMI Heimeier a servopohony IMI Heimeier a IMI TA.
6. Horní díl vyměnitelný pomocí montážního přípravku IMI Heimeier bez vypouštění systému.

## Použití

Spodní díl termostatického ventilu V-exact II je určen pro dvourubkové teplovodní otopné soustavy s normálními až vysokými teplotními spády a rovněž pro systémy chlazení. Ventil se vyznačuje širokým průtokovým rozsahem, optimalizovanou hlučností a velmi malými tolerancemi průtoku.

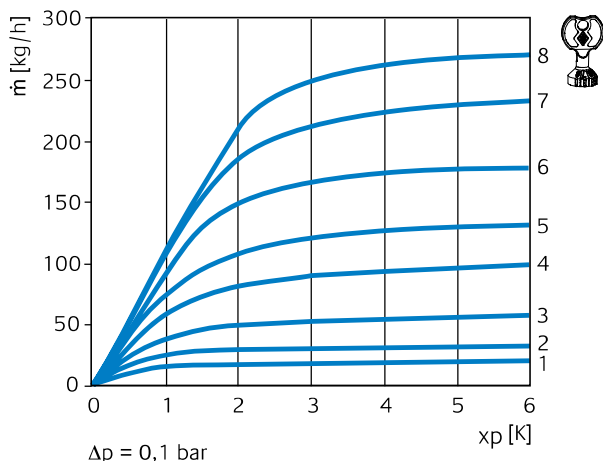
Ve velkých soustavách by se mělo udržovat rovnoměrné hydraulické vyvážení systému. To platí nejen za nominálního provozu, ale i při poklesu pokojové teploty nebo při nábězích

systému, aby nedocházelo ke vzniku podprůtoků nebo nadprůtoků v jednotlivých částech systému. Z toho důvodu je charakteristika ventilu optimalizována tak, že průtok do otopných těles nepřekročí 1,3 násobek nominálního průtoku ani při nastavení 8 a zcela otevřeném ventilu.

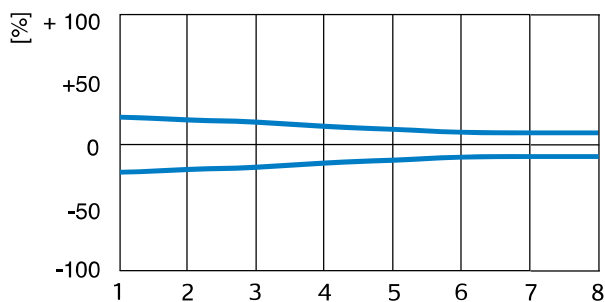
V souladu s EnEV nebo DIN V 4701-10 lze spodní díl termostatického ventilu V-exakt nastavit tak, aby pracoval s maximální tlakovou diferencí 1 K nebo 2 K.

### Optimalizované omezení průtoku

$\dot{m}$  [kg/h] = Jmenovitý průtok



### Minimální tolerance průtoku [%]



### Hlučnost

Aby byl zaručen bezhlučný provoz, je třeba splnit tyto podmínky:

- Na základě zkušeností by tlaková diference na termostatickém ventilu neměla přesáhnout  $20 \text{ kPa} = 200 \text{ mbar} = 0,2 \text{ bar}$ . Pokud při projektování systému hrozí vyšší přechodné tlakové diference při nižším průtoku, je vhodné použít regulátory tlakové diference (např. STAP) nebo přepouštěcí ventily (např. Hydrolux) (křivka charakteristiky hluku – viz diagram).

- Hmotnostní průtok musí být správně seřízen.
- Systém musí být řádně odvzdušněn.

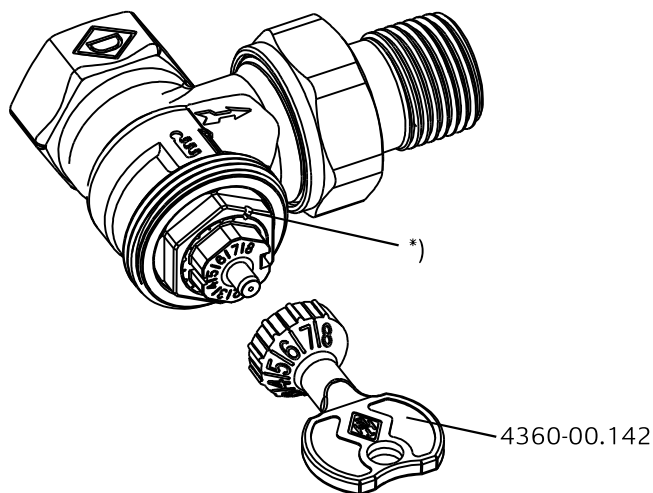
## Obsluha

### Nastavení

Nastavení lze plynule provést v rozmezí 1 až 8. Mezi uvedenými hodnotami nastavení je 7 dalších značek pro přesnější nastavení. Hodnota 8 je standardní nastavení z výroby. Nastavení můžete změnit pomocí nastavovacího klíče nebo stranového klíče 13 mm. Tím je zamezen třetím osobám neoprávněný zásah do nastavení ventilu.

- Nasadte nastavovací klíč na horní díl ventilu.
- Otáčejte klíčem až se požadovaná hodnota nastavení kryje s drážkou na tělese ventilu.
- Sejměte klíč. Hodnota nastavení se zobrazí na horním dílu ventilu (viz obrázek).

### Odečitelnost z přední strany

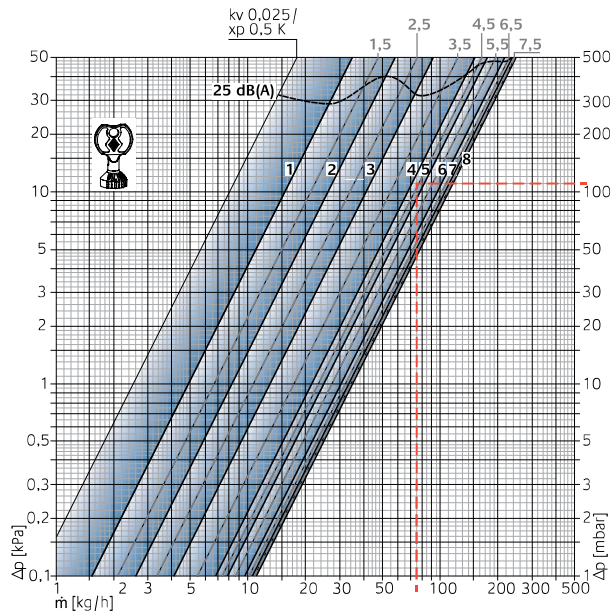


\*) Značka pro nastavení ventilové vložky

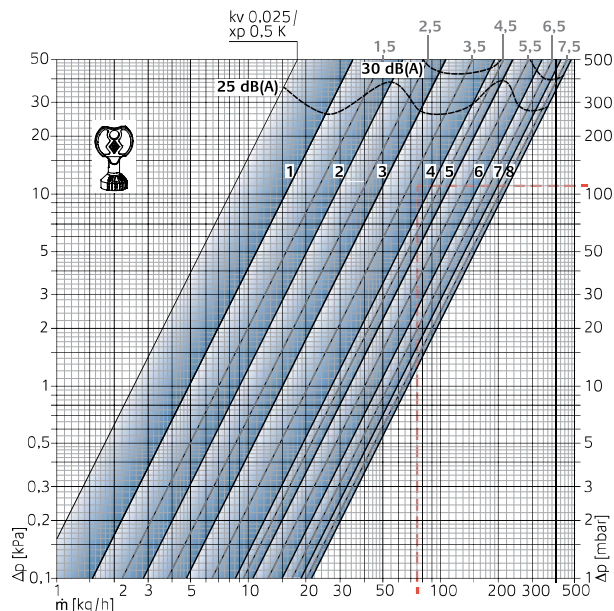
## Technická data

### Diagram, radiátorový ventil s termostatickou hlavicí

Pásmo proporcionality [xp] **1,0 K**



Pásmo proporcionality [xp] **2,0 K**



### Radiátorový ventil (DN 10/15/20) s termostatickou hlavicí

		Nastavení								Max. tlaková diference při níž se ventil ještě uzavírá Δp [bar]	
		1	2	3	4	5	6	7	8	Term. hlavice	EMO T-TM EMOtec EMO 3 TA-Slider 160
Pásmo proporcionality xp <b>1,0 K</b>	kv-hodnota	0,049	0,082	0,130	0,215	0,246	0,303	0,335	0,343	1,0	3,5
Pásmo proporcionality xp <b>2,0 K</b>	kv-hodnota	0,049	0,090	0,150	0,265	0,330	0,470	0,590	0,670		
	Kvs	0,049	0,102	0,185	0,313	0,420	0,565	0,740	0,860		
	Tolerance průtoku ± [%]	20	18	16	14	12	10	10	10		

$K_v/K_{vs} = m^3/h$  při tlakové ztrátě 1 bar.

### Příklad výpočtu

Hledáno:

Nastavení radiátorového ventilu

Zadáno:

Tepelný výkon  $Q = 1308 \text{ W}$ ,

Teplotní spád  $\Delta T = 15 \text{ K}$  (65/50 °C)

Tlaková ztráta radiátorového ventilu  $\Delta p_V = 110 \text{ mbar}$

Řešení:

hmotnostní tok  $m = Q / (c \cdot \Delta T) = 1308 / (1,163 \cdot 15) = 75 \text{ kg/h}$

Nastavení z diagramu:

s pásmem proporcionality **max. 1,0 K**: 4,5

s pásmem proporcionality **max. 2,0 K**: 4

## Tabulka nastavení

Nastavení pro různé výkony otopných těles, tlakové ztráty ventilů a teplotní spády

Q [W]		200 250 300 400 500	600 700 800 900 1000	1200 1400 1600 1800 2000	2200 2400 2600 2800 3000	3200 3400 3600 3800 4000	4800 5300 6500 6800 8400 9000 12000
ΔT [K]	Δp [kPa]						
10	5	2 3 3 4 4	4 5 5 6 6	6 7 8			
	10	2 2 2 3 3	4 4 4 4 5	5 6 6 7 7	8 8		
	15	2 2 2 3 3	3 4 4 4 4	5 5 6 6 6	7 7 7 8 8		
15	5	2 2 2 3 3	4 4 4 4 4	5 6 6 6 7	7 7 8		
	10	1 1 2 2 3	3 3 3 4 4	4 4 5 5 6	6 6 7 7 7	7 8 8	
	15	1 1 1 2 2	3 3 3 3 3	4 4 4 5 5	5 6 6 6 6	7 7 7 7 8	
20	5	1 1 2 2 3	3 3 4 4 4	4 5 5 6 6	6 6 7 7 7	8 8	
	10	1 1 1 2 2	2 3 3 3 3	4 4 4 4 5	5 5 6 6 6	6 6 7 7 7	8
	15	1 1 1 2	2 2 3 3 3	3 4 4 4 4	4 5 5 5 6	6 6 6 6 6	7 8
40	5	1 1 1	2 2 2 2 3	3 3 4 4 4	4 4 4 5 5	5 5 6 6 6	6 7 8 8
	10	1 1	1 1 2 2 2	2 3 3 3 3	4 4 4 4 4	4 4 4 5 5	5 6 6 6 7 7
	15	1	1 1 1 2 2	2 2 2 3 3	3 3 3 4 4	4 4 4 4 4	5 5 6 6 6 7 8

10 kPa = 100 mbar = 1 mm v.sl.

Nastavení pro pásmo propocionality max. 2 K.

Q = výkon otopného tělesa

$\Delta T$  = teplotní spád

$\Delta p$  = tlaková ztráta ventilu

### Příklad:

Q = 1000 W,  $\Delta T$  = 15 K,  $\Delta p$  = 10 kPa

Nastavení: **4**

### Tipy:

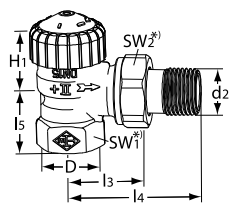
Pro přibližné určení nastavení pro daný tepelný výkon a teplotní spád se doporučuje použít průměrnou tlakovou diferenci 10 kPa.

U rozsáhlých horizontálních systémů je tlaková diference před ventilem závislá na umístění ventilu v soustavě a na vzdálenosti od čerpadla:

např. 15 kPa pro ventily blízko čerpadla, 10 kPa pro ventily ve středu soustavy a 5 kPa pro ventily na vzdálených otopných tělesech.

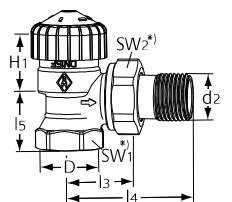
Přesné hodnoty lze získat pouze výpočtem tlakových ztrát s použitím diagramu nebo výpočetního programu.

## Provedení



## Rohové

DN	D	d2	I3	I4	I5	H1	kv pásmo proporcionality max. 2 K	Kvs	Objednací č.
10	Rp3/8	R3/8	26	52	23,5	23,5	0,025 – 0,670	0,86	3711-01.000
15	Rp1/2	R1/2	29	58	27	23,5	0,025 – 0,670	0,86	3711-02.000
20	Rp3/4	R3/4	34	66	29	21,5	0,025 – 0,670	0,86	3711-03.000

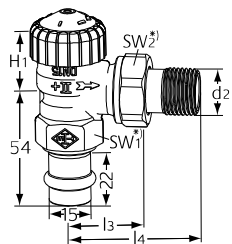


## Rohové

se zkrácenými rozměry.

Mosaz. Nelze použít svěrné šroubení pro vícevrstvé potrubí.

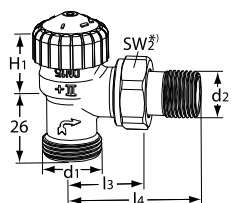
DN	D	d2	I3	I4	I5	H1	kv pásmo proporcionality max. 2 K	Kvs	Objednací č.
10	Rp3/8	R3/8	24	49	20	24	0,025 – 0,670	0,86	3451-01.000
15	Rp1/2	R1/2	26	53	23	23,5	0,025 – 0,670	0,86	3451-02.000
20	Rp3/4	R3/4	30	63	26	21,5	0,025 – 0,670	0,86	3451-03.000



## Rohové

s lisovacím připojením Viega 15 mm

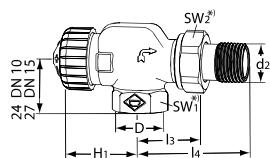
DN	d2	I3	I4	H1	kv pásmo proporcionality max. 2 K	Kvs	Objednací č.
15	R1/2	29	58	23,5	0,025 – 0,670	0,86	3717-15.000



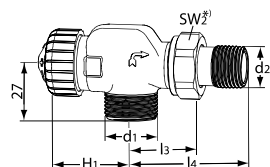
## Rohové

s vnějším závitem G3/4

DN	d1	d2	I3	I4	H1	kv pásmo proporcionality max. 2 K	Kvs	Objednací č.
15	G3/4	R1/2	29	58	21,5	0,025 – 0,670	0,86	3719-02.000

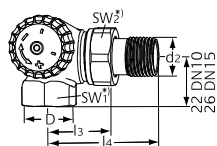
**Axiální**

DN	D	d2	l3	l4	H1	kv pásmo proporcionality max. 2 K	Kvs	Objednací č.
10	Rp3/8	R3/8	26	52	31,5	0,025 – 0,670	0,86	3710-01.000
15	Rp1/2	R1/2	29	58	31,5	0,025 – 0,670	0,86	3710-02.000

**Axiální**

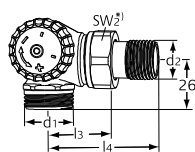
s vnějším závitem G3/4

DN	d1	d2	l3	l4	H1	kv pásmo proporcionality max. 2 K	Kvs	Objednací č.
15	G3/4	R1/2	29	58	31,5	0,025 – 0,670	0,86	3730-02.000

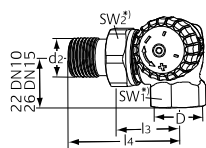
**Úhlové**

Připojení vlevo

DN	D	d2	l3	l4	kv pásmo proporcionality max. 2 K	Kvs	Objednací č.
10	Rp3/8	R3/8	26	52	0,025 – 0,670	0,86	3713-01.000
15	Rp1/2	R1/2	29	58	0,025 – 0,670	0,86	3713-02.000

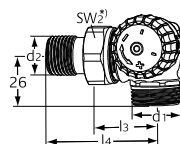
**Úhlové**s vnějším závitem G3/4  
Připojení vlevo

DN	d1	d2	l3	l4	kv pásmo proporcionality max. 2 K	Kvs	Objednací č.
15	G3/4	R1/2	29	58	0,025 – 0,670	0,86	3733-02.000

**Úhlové**

Připojení vpravo

DN	D	d2	l3	l4	kv pásmo proporcionality max. 2 K	Kvs	Objednací č.
10	Rp3/8	R3/8	26	52	0,025 – 0,670	0,86	3714-01.000
15	Rp1/2	R1/2	29	58	0,025 – 0,670	0,86	3714-02.000

**Úhlové**s vnějším závitem G3/4  
Připojení vpravo

DN	d1	d2	l3	l4	Kv pásmo proporcionality max. 2 K	Kvs	Objednací č.
15	G3/4	R1/2	29	58	0,025 – 0,670	0,86	3734-02.000

\*) SW1: DN 10 = 22 mm, DN 15 = 27 mm, DN 20 = 32 mm

SW2: DN 10 = 27 mm, DN 15 = 30 mm, DN 20 = 37 mm

Hodnoty H1 a H2 jsou délky vztažené k dosedací ploše termostatické hlavice nebo nastavovacího klíče.

Kvs = m³/h při tlakové ztrátě 1 bar a plně otevřeném ventilu.

Kv [xp] max. 2 K = m³/h při tlakové ztrátě 1 bar s termostatickou hlavicí.

## Příslušenství

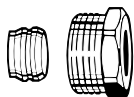


### Nastavovací klíč

Pro V-exact II od 2012.

**Objednací č.**

4360-00.142



### Svěrné šroubení

pro měděné a přesné ocelové trubky podle DIN EN 1057/10305-1/2.

Připojení – vnitřní závit Rp3/8 – Rp3/4.

Spojení kov na kov.

Poniklovaná mosaz.

U trubek se silou stěny 0,8 – 1 mm je třeba použít opěrná pouzdra. Říďte se pokyny výrobce trubek.

Ø trubky	DN	Objednací č.
12	10 (3/8")	2201-12.351
14	15 (1/2")	2201-14.351
15	15 (1/2")	2201-15.351
16	15 (1/2")	2201-16.351
18	20 (3/4")	2201-18.351

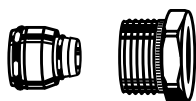


### Opěrné pouzdro

Pro měděné a přesné ocelové trubky se silou stěny 1 mm.

Mosaz.

Ø trubky	L [mm]	Objednací č.
12	25,0	1300-12.170
15	26,0	1300-15.170
16	26,3	1300-16.170
18	26,8	1300-18.170



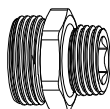
### Svěrné šroubení

Pro vícevrstvé trubky podle DIN 16836.

Pro vnitřní závit Rp1/2.

Poniklovaná mosaz.

Ø trubky	Objednací č.
16 x 2	1335-16.351

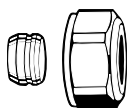


### Redukovaná vsuvka

pro připojení měděné, přesné ocelové, plastové nebo vícevrstvé trubky.

Poniklovaná mosaz.

	L [mm]	Objednací č.
G3/4 x R1/2	26	1321-12.083



### Svěrné šroubení

pro měděné a přesné ocelové trubky podle DIN EN 1057/10305-1/2.

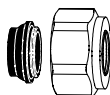
Připojení – vnější závit G3/4 podle DIN EN 16313 (Eurokonus).

Spojení kov na kov.

Poniklovaná mosaz.

U trubek se silou stěny 0,8 – 1 mm je třeba použít opěrná pouzdra. Říďte se pokyny výrobce trubek.

Ø trubky	Objednací č.
12	3831-12.351
14	3831-14.351
15	3831-15.351
16	3831-16.351
18	3831-18.351



### Svěrné šroubení

pro měděné a přesné ocelové trubky podle DIN EN 1057/10305-1/2.

Pro připojení na vnější závit G3/4 podle DIN EN 16313 (Eurokonus).

Měkce těsnící.

Poniklovaná mosaz.

Ø trubky	Objednací č.
15	1313-15.351
18	1313-18.351

**Svěrné šroubení**

pro plastové trubky podle DIN 4726, ISO 10508. *PE-X*: DIN 16892/16893, EN ISO 15875; *PB*: DIN 16968/16969. Pro připojení na vnější závit G3/4 podle DIN EN 16313 (Eurocone). Poniklovaná mosaz.

**Ø trubky****Objednací č.**

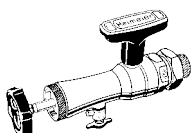
12x1,1	1315-12.351
14x2	1311-14.351
16x1,5	1315-16.351
16x2	1311-16.351
17x2	1311-17.351
18x2	1311-18.351
20x2	1311-20.351

**Svěrné šroubení**

Pro vícevrstvé trubky podle DIN 16836. Připojení vnějším závitěm G3/4 podle DIN EN 16313 (Eurokonus). Poniklovaná mosaz.

**Ø trubky****Objednací č.**

16x2	1331-16.351
18x2	1331-18.351

**Montážní přípravek**

pro výměnu vrchních dílů radiátorových ventilů bez vypouštění otopné soustavy komplet vč. kufru, nástrčkového klíče a náhradních těsnění.

**Objednací č.**

Montážní přípravek	9721-00.000
Náhradní těsnění k montážnímu přípravku	9721-00.514

Další příslušenství viz. katalog "Příslušenství a vyměnitelné díly pro termostatické radiátorové ventily".



# Multilux 4 – Set s hlavicí Halo



## Design-Edition

Pro dvoubodové připojení otopných těles v 1-trubkových i 2-trubkových soustavách, přímé i rohové provedení, s připojením R1/2 nebo G3/4



Engineering  
**GREAT** Solutions

# Multilux 4 – Set s hlavicí Halo

Multilux 4 – Set je určen pro připojení otopných těles s připojovací roztečí 50mm bez integrované ventilové vložky, např. koupelnová otopná tělesa, speciální provedení deskových otopných těles. Ventilová vložka i uzavírací šroubení lze navzájem zaměnit a tím elegantně vyřešit záměnu přívodu a zpátečky nebo změnit pozici termostatické hlavice z levé na pravou stranu.

## Klíčové vlastnosti

- > **Provedení s možností přestavby z 2-trubkového na 1-trubkové provedení**  
Speciální univerzální provedení, vhodné např. pro napojení otopných těles do smyčky podlahového vytápění
- > **Přímé i rohové provedení - dle volby**  
Variabilní provedení pro montáž na potrubí ze zdi nebo z podlahy
- > **Termostatická hlavice na levé nebo pravé straně**  
Ventilovou vložku a uzavírací šroubení lze navzájem zaměnit
- > **Směr toku je libovolný**  
Elegantní řešení pro jakoukoliv montážní situaci



## Technický popis

### Oblast použití:

Pro dvoutrubkové a jednotrubkové vytápěcí soustavy.

### Funkce:

Regulace  
Plynulé nastavení  
Uzavírání

### Rozměry:

DN 15

### Tlaková třída:

PN 10

### Teploty:

Max. pracovní teplota: 120 °C, s krytkou 90 °C.

Min. pracovní teplota: -10 °C.

### Materiál:

Tělo ventilu: koroziodolný bronz.  
O-kroužky: EPDM  
Kušelka ventilu: EPDM  
Zpětná pružina: nerez  
Ventilová vložka: mosaz, PPS (polyfenylsulfid)  
Kompletní ventilová vložka může být vyměněna pomocí montážního přípravku IMI Heimeier bez vypouštění soustavy.  
Dřík: Niro-ocelový dřík se dvěma těsnícími O kroužky. Vnější O-kroužek lze vyměnit pod tlakem.  
Krytka: ABS

### Povrchová úprava:

Tělo ventilu z korozivzdorného bronzu a příslušenství poniklované.

### Značení:

TAH a II+-symbol. Bílá ochranná krytka. Dvě horizontální šipky u TAH značky u objednáček čísel 9690-42.000 a 9690-43.000.

### Připojení k otopnému tělesu:

Redukce R1/2 a G3/4, pro připojení k otopnému tělesu. Tolerance  $\pm 1,0$  mm se speciálním svěrným šroubením a flexibilním těsnícím kroužkem pro montáž bez pnutí.

### Připojení k potrubí:

G3/4 vnější závit s kónusem pro připojení k měděným, přesným ocelovým, plastovým a vícevrstevným plastovým trubkám pomocí svěrných šroubení.

### Připojení pro termostatickou hlavici:

M30x1.5

### Termostatická hlavice Halo:

Termostatická hlavice Halo s kapalinovým čidlem. Vysoká uzavírací síla, minimální hystereze a optimální uzavírací čas. Stabilní regulace i při nízkém pásmu proporcionality (1K). V souladu s německou normou EnEV a/nebo DIN 4701-10. Nastavení v rozsahu 8-28. Ochrana proti zamrznutí. Rozsah nastavení teploty 6-28 °C.

## Konstrukce

### Multilux 4

Montáž jako rohové / přímé provedení



1. R1/2 Připojení otopného tělesa
2. G3/4 Připojení otopného tělesa
3. G3/4 Uzavírací víčka
4. Ventilová vložka V-exact II s plynulým nastavením
5. Zkrat
6. Uzavírací šroubení

### Multilux 4 lze přestavit z 2-trubkového na 1-trubkové provedení



### Multilux 4 2-trubkové provedení



## Použití

Multilux 4 – Set je určen pro 2-trubkové i 1-trubkové soustavy s otopným tělesy s dvoubodovým připojením s roztečí 50mm, např. desková otopná tělesa se středovým připojením bez ventilové vložky nebo koupelnová otopná tělesa se středovým připojením.

Provedení pro dvoutrubkové soustavy je vhodné pro soustavy s běžnými teplotními spády s nuceným oběhem teplotnosné látky. Ventilová vložka s plynulým nastavením umožňuje plynulé a přesné nastavení požadovaného průtoku, čímž se zajišťuje hydronické vyvážení vytápěcí soustavy.

Nastavitelné provedení s možností nastavení pro 2-trubkové i 1-trubkové soustavy je univerzální a může být použito i pro systémy se sériovým napojením otopných těles na jedno potrubí. Při výpočtu průtoků berte v potaz, že rozdělení průtoků v armatuře je 35% pro otopné těleso a 65% protéká zkratem. Pokud je těleso demontováno a Multilux 4 je uzavřen, zůstává zkrat stále průtočný, aby byla zajištěna správná funkce jednotrubkového okruhu. Koupelnová otopná tělesa lze také sériově zapojit přímo smyčky podlahového vytápění.

Multilux 4 má uzavírací funkci. V případě potřeby lze uzavřít přívod i zpátečku, demontovat otopné těleso (rekonstrukce, malování), bez narušení provozu ostatních částí vytápěcí soustavy.

Přívod a zpátečka může být zapojena v libovolném směru. Při záměně přívodu a zpátečky, je opačný průtok přes ventilovou vložku akceptovatelný do tlakové difference 20 kPa. Při větších tlakových differencech je nutno navzájem zaměnit ventilovou vložku a uzavírací šroubení.

Multilux 4 – Set nabízí univerzální připojení ke všem typům otopných těles s vnitřním závitem Rp 1/2 nebo vnějším závitem G3/4 s kónusem.

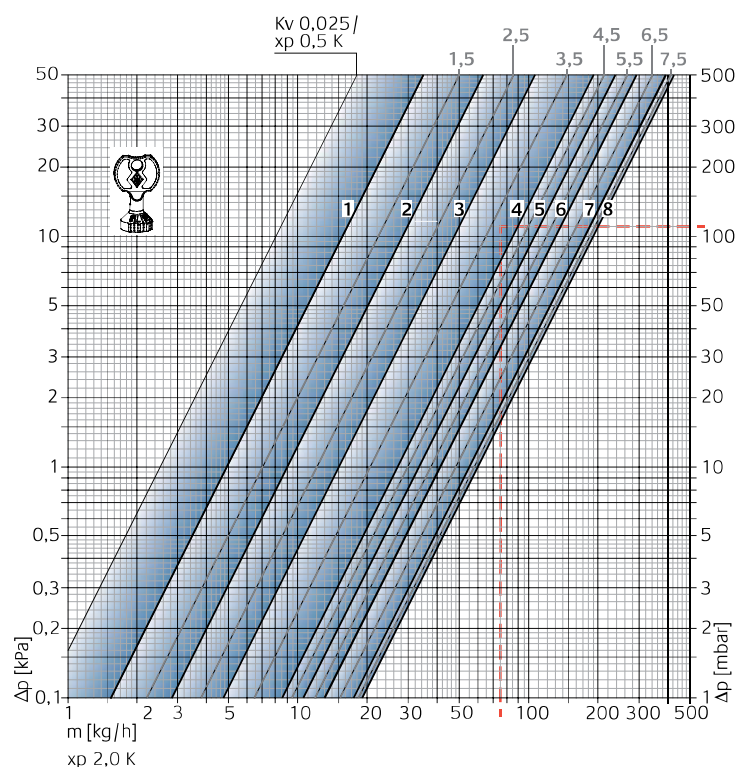
Termostatickou hlavici lze instalovat na levou i pravou stranu. Pro montáž na pravé straně je nutno provést záměnu ventilové vložky a uzavíracího šroubení.

### Příklad použití

Koupelnové otopné těleso



## Technická data – 2-trubkové provedení



### Radiátorový ventil s termostatickou hlavicí

		Nastavení								Max. tlaková diference při níž se ventil ještě uzavírá Δp [bar]	
		1	2	3	4	5	6	7	8	Term. hlavice	EMO T EMOtec EMO 3 TA-Slider 160
Pásmo proporcionality xp <b>1,0 K</b>	kv-hodnota	0,049	0,082	0,130	0,215	0,246	0,303	0,335	0,343	1,0	3,5
Pásmo proporcionality xp <b>2,0 K</b>	kv-hodnota	0,049	0,090	0,150	0,265	0,330	0,409	0,560	0,600		
Kvs		0,049	0,102	0,185	0,313	0,332	0,518	0,619	0,670		

$K_v/K_{vs} = m^3/h$  při tlakové ztrátě 1 bar.

### Příklad výpočtu

Hledáno:

Nastavení radiátorového ventilu

Zadáno:

Tepelný výkon  $Q = 1308 \text{ W}$ ,

Teplotní spád  $\Delta T = 15 \text{ K}$  (65/50 °C)

Tlaková ztráta radiátorového ventilu  $\Delta p_v = 110 \text{ mbar}$

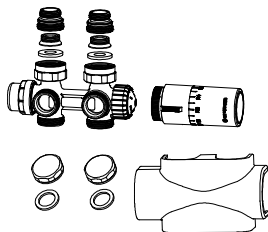
Řešení:

hmotnostní tok  $m = Q / (c \cdot \Delta T) = 1308 / (1,163 \cdot 15) = 75 \text{ kg/h}$

Nastavení z diagramu:

s pásmem proporcionality **max. 2,0 K**: 4

## Provedení



### Multilux 4 – Set

Multilux 4 set se skládá z:

- Multilux 4 termostatické ventilové vložky
- R1/2 redukce pro připojení otopného tělesa
- G3/4 redukce pro připojení otopného tělesa
- Krytky pro zaslepení volných vývodů, G3/4
- Kryt
- Termostatická hlavice Halo

### Nastavitelný pro 2-trubkové i 1-trubkové soustavy

	Objednací č.
<b>Bílá RAL 9016</b>	9690-42.800
<b>Chromované</b>	9690-43.800

### 2-trubkové

	Objednací č.
<b>Bílá RAL 9016</b>	9690-27.800
<b>Chromované</b>	9690-28.800

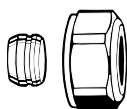
## Příslušenství



### Nastavovací klíč

pro Multilux 4 a V-exact II.

	Objednací č.
	4360-00.142



### Svěrné šroubení

pro měděné a přesné ocelové trubky podle DIN EN 1057/10305-1/2.

Připojení – vnější závit G3/4 podle DIN EN 16313 (Eurokonus).

Spojení kov na kov.

Poniklovaná mosaz.

U trubek se silou stěny 0,8 – 1 mm je třeba použít opěrná pouzdra. Řiďte se pokyny výrobce trubek.

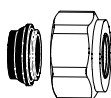
Ø trubky	Objednací č.
12	3831-12.351
14	3831-14.351
15	3831-15.351
16	3831-16.351
18	3831-18.351



### Opěrná pouzdra

Pro měděné a přesné ocelové trubky se silou stěny 1 mm.

Ø trubky	L	Objednací č.
12	25,0	1300-12.170
15	26,0	1300-15.170
16	26,3	1300-16.170
18	26,8	1300-18.170



### Svěrné šroubení

pro měděné a přesné ocelové trubky podle DIN EN 1057/10305-1/2.

Pro připojení na vnější závit G3/4 podle DIN EN 16313 (Eurokonus).

Měkce těsnící.

Poniklovaná mosaz.

Ø trubky	Objednací č.
15	1313-15.351
18	1313-18.351



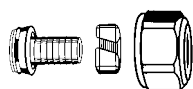
### Svěrné šroubení

Pro vícevrstvé trubky podle DIN 16836.

Připojení vnějším závitěm G3/4 podle DIN EN 16313 (Eurokonus).

Poniklovaná mosaz.

Ø trubky	Objednací č.
16x2	1331-16.351

**Svěrné šroubení**

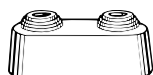
pro plastové trubky podle DIN 4726, ISO 10508, PE-X: DIN 16892/16893, EN ISO 15875; PB: DIN 16968/16969.

Pro připojení na vnější závit G3/4 podle DIN EN 16313 (Eurokonus).

Poniklovaná mosaz.

**Ø trubky****Objednací č.**

12x1,1	1315-12.351
14x2	1311-14.351
16x1,5	1315-16.351
16x2	1311-16.351
17x2	1311-17.351
18x2	1311-18.351
20x2	1311-20.351

**Dvojitá růžice**

Z bílého plastu, středem dělitelná pro různé průměry potrubí, rozteč os 50 mm, celková výška max. 31 mm.

**Objednací č.**

0520-00.093

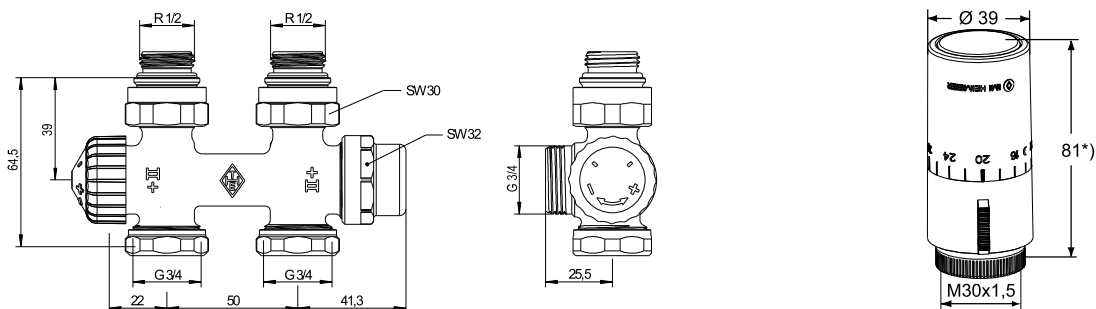
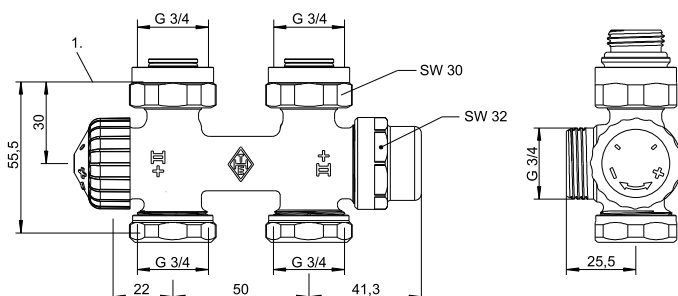
**Termostatická vložka**

V-exact II s přesným nastavením.

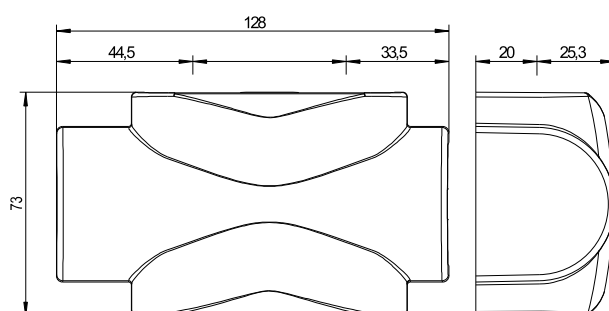
Pro ventilová tělesa s označením II+.

**Objednací č.**

3700-24.300

**Rozměry****R1/2 připojení****G3/4 připojení**

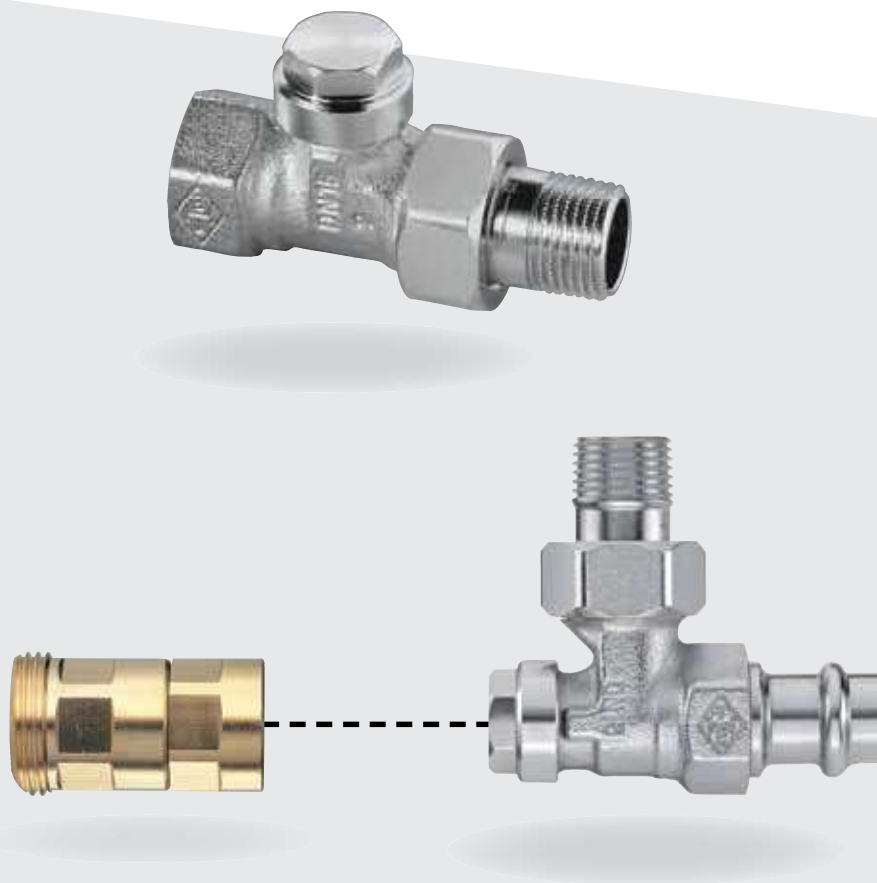
\*) při nastavení 20



1. Kontaktní plocha s otopným tělesem, horní část těsnění

1 mm = 0,0394 inch

# Regulux



## **Uzavírací šroubení**

Radiátorové uzavírací na regulační šroubení s vypouštěním

*Engineering  
GREAT Solutions*



# Regulux

Regulux je regulační uzavíratelné šroubení s paměti nastavení vhodné pro teplovodní soustavy s nuceným oběhem. Uzavírací funkce s vypouštěním umožňuje uzavřít a vypustit otopné těleso za provozu soustavy a provést jeho demontáž. Uzavírání neovlivňuje nastavení, hydronické vyvážení soustavy je zachováno i o opětovném napuštění a uvedení otopného tělesa do provozu.

## Klíčové vlastnosti

- > Snadné vypouštění a napouštění
- > Plynulé a reprodukovatelné přednastavení
- > Tělo z korozivzdorného bronzu
- > Připojení pro lisování s Viega SC-Contur



## Popis

Uzavírací a regulační radiátorové šroubení Regulux slouží k nastavení hydraulických poměrů okruhu otopného tělesa, k uzavírání, vypouštění a napouštění otopných těles.

Nastavení je reprodukovatelné.

Samostatná kuželka pouze pro nastavení je nastavitelná šroubovákem.

Šroubení lze uzavřít uzavírací kuželkou pomocí šestihranného klíče 5 mm (SW 5). Při otevírání a uzavírání šroubení se nemění jeho nastavení (tzv. reprodukovatelné nastavení).

Šroubení se vyrábí s vnitřním závitem DN 10 až DN 20 a a DN 15 s vnějším závitem G 3/4 v rohovém a přímém provedení. Stavební rozměry odpovídají DIN 3842.

Vypouštění a napouštění se provádí pomocí adaptéru pro připojení hadice 1/2". Tělo z korozivzdorného bronzu. Provedení s vnitřním závitem je vhodné pro závitové trubky, spolu se svěrným šroubením pro měděné, přesné ocelové a vícevrstvé trubky. Provedení s vnějším závitem je v kombinaci se svěrným

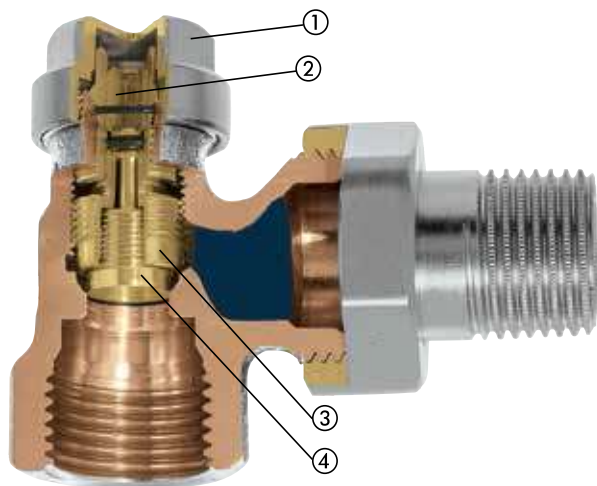
šroubením vhodné pro trubky plastové. Provedení s lisovacím připojením Viega s SC-Contur (15 mm) je určeno pro měděné trubky a pro nerezové trubky Viega Sanpress nebo ocelové trubky Prestabo.

Se šroubením Regulux je nutno použít výhradně příslušně označená svěrná šroubení IMI Heimeier (označená např. 15 THE).

Maximální provozní teplota 120 °C, s lisovacím připojením 110 °C. Maximální provozní tlak 10 bar.

## Konstrukce

### Regulux



1. Uzavírací krytka
2. Vypouštěcí šroub
3. Uzavírací kuželka
4. Regulační kuželka



## Použití

Radiátorové šroubení Regulux firmy HEIMEIER je určeno k použití v otopných soustavách s nuceným oběhem. Šroubení se vyrábí s vnitřním závitem DN 10 až DN 20, s vnějším závitem DN 15 / G3/4 a s lisovacím připojením Viega SC-Contur DN 15 / 15 mm v rohovém a přímém provedení. Umožňuje uzavírání, vypouštění a napouštění. Např. otopná tělesa tak lze odstavit od soustavy a zajistit jejich údržbu. Kuželka pro přednastavení je integrována do kuželky uzavírací. Díky možnosti přednastavení umožňuje základní vyvážení potrubní sítě. Přednastavení je reprodukovatelné (tzn. že se při uzavírání a otevírání šroubení nemění).

### Lisovací připojení s Viega SC-Contur

Šroubení Regulux s lisovacím připojením Viega je určeno pro měděné trubky odpovídající EN 1057 a pro nerezové trubky Viega Sanpress nebo ocelové trubky Prestabo.

Lisovací koncovka je stejně jako tělo Reguluxu vyrobeno z korozivzdorného bronzu.

Vzhledem k typu lisovacího spoje Viega lze použít všech fitinek pro tento typ spojení a není nutno používat jiné lisovací čelisti. Lisovací spoj je prováděn šestihrannými čelistmi s přesně definovanými úhly před a za těsněním z EPDM což dodává spoji potřebnou pevnost. Úhel zalomení lisovaného spoje je proveden tak, že je dosaženo vysokého stupně těsnění pomocí EPDM kroužku.

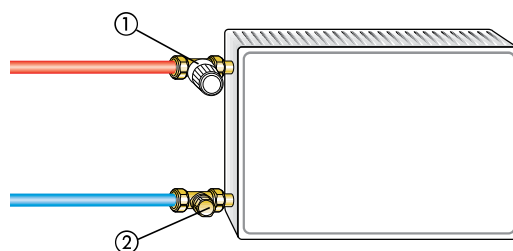
Pro zajištění vysoké kvality při provádění montáže jsou lisovací koncovky opatřeny speciálním těsněním s SC-Contur (SC = safety connection, bezpečné spojení), které umožňuje zjistit nezalisované spoje díky viditelným únikům při napouštění soustavy.

### Doporučení

Aby nedošlo k poškození teplovodní otopné soustavy a ke tvorbě usazenin, musí být otopná soustava provozována dle ČSN 06 0310 a kvalita teplosné látky musí po celou dobu provozu odpovídat ČSN 07 7401 a VDI 2035.

Minerální oleje, obsažené v teplosné látce (zejména pak maziva s obsahem minerálních olejů jakéhokoli druhu), způsobují bobtnání a následné poškození těsnění z EPDM pryže.

### Příklad použití



1. Radiátorový ventil
2. Regulux

Během lisovacího procesu SC-Contur prakticky zanikne a ztratí svou funkci a celý spoj je těsný.

Běžné lisovací spoje bez SC-Contur se mohou jevit jako těsné i přesto, že nejsou zalisovány. Následně za provozu soustavy se spoj uvolní a může způsobit značné materiální škody.

Šestihran na těle šroubení je velmi praktický pro uchycení při utahování matice šroubení.

Lze použít následující nářadí:

Viega: typ 2, PT3-H, PT3-EH, PT3-AH, bateriemi napájený Presshandy, Pressgun 4E/4B.

Geberit: PWH 75

Geberit/Novopress: typ N 230V, typ N napájený bateriemi

Mapress/Novopress: EFP 2, ACO 1/ECO 1

Klauke: UAP 2

Další nástroje pro lisování spojů je nutno konzultovat s danými výrobci.

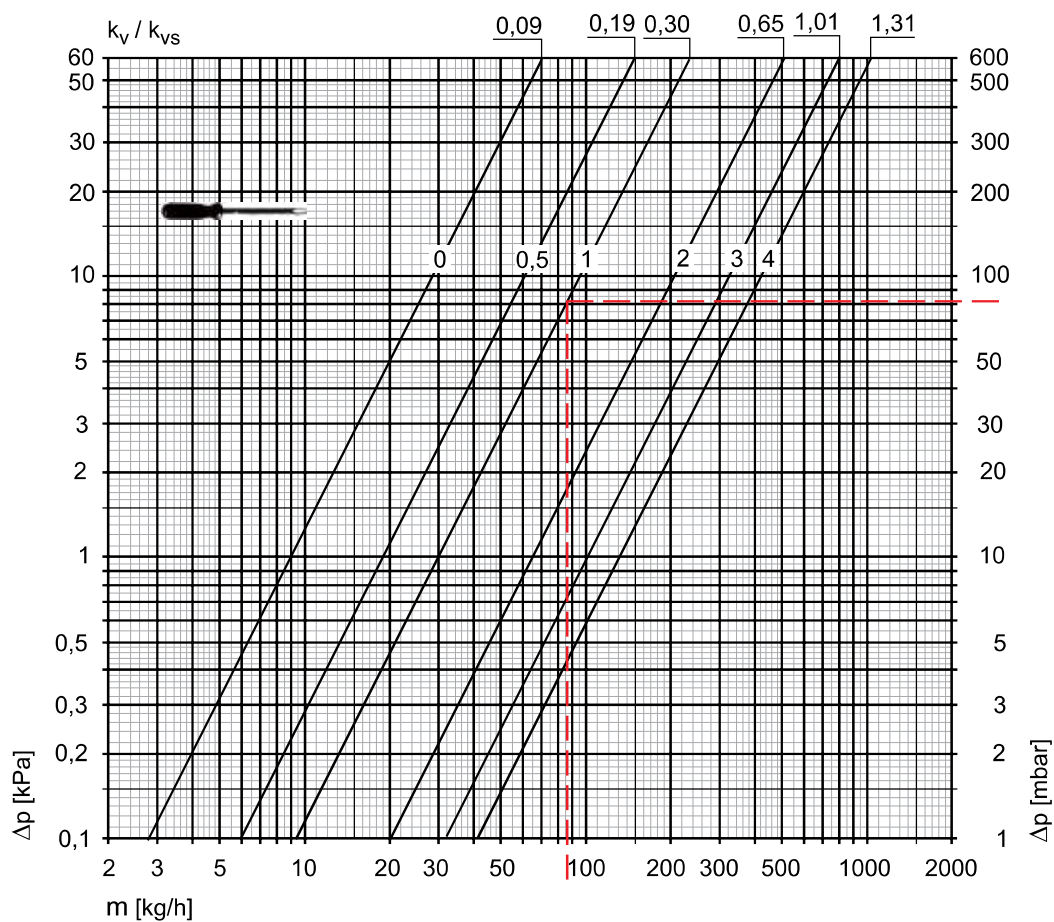
Doporučujeme používat lisovací kleště Viega pro lisovací spoje Viega.

Proto nesmí být v teplosné látce v žádném případě obsaženy.

Při použití antikoročních přípravků bez dusitanů na bázi etylenglykolu je třeba čerpat příslušné údaje, zejména o koncentraci jednotlivých přísad, z podkladů výrobce mrazuvzdorných a antikoročních přípravků.

## Technická data

$K_v/K_{vs} = \text{m}^3/\text{h}$  při tlakové ztrátě 1 bar.



### Příklad výpočtu

Hledáno:

Hodnota přednastavení

Zadáno:

Požadovaná tlaková ztráta  $\Delta p = 82$  mbar

Tepelný výkon  $Q = 2\,000$  W

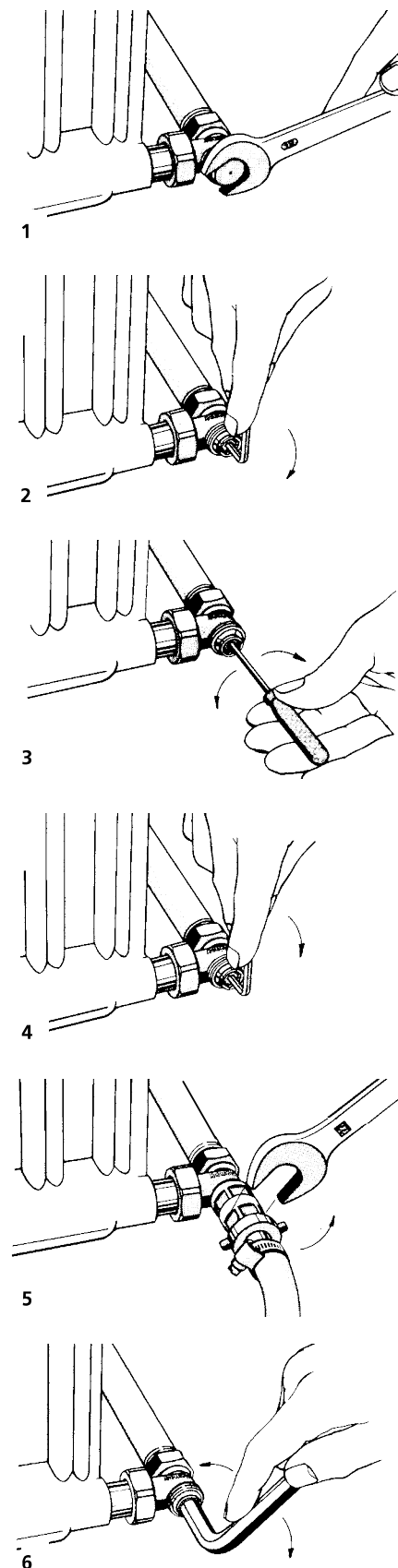
Teplotní spád  $\Delta t = 20$  K (70/50°C)

Řešení:

Hmotnostní tok  $m = Q / (c \cdot \Delta t) = 2000 / (1,163 \cdot 20) = 86$  kg/h

Počet otáček šroubováku = 1,0 (z diagramu)

## Obsluha



### Přednastavení

Povolte a odšroubujte uzavírací víčko pomocí klíče vel. 19 (obr. 1).

Pomocí šestihranného klíče 5 mm (SW 5) uzavřete vřeteno otáčením doprava až na doraz (obr. 2).

Kuželku přednastavení zašroubujte šroubovákem vel. 4 mm směrem doprava až na doraz (tj. na nejmenší hodnotu přednastavení = 0).

Požadované přednastavení nastavit otáčením doleva o potřebný počet otáček, zjištěný z diagramu (obr. 3).

Pomocí šestihranného klíče 5 mm (SW 5) otevřete vřeteno otáčením doleva až na doraz (obr. 4).

**Je-li regulační šroubení uzavřeno a následně opět otevřeno zůstane přednastavení zachováno.**

### Uzavírání, vypouštění a napouštění

Odšroubujte uzavírací krytku pomocí klíče vel. 19 (obr. 1).

Pomocí šestihranného klíče 5 mm (SW 5) uzavřete vřeteno otáčením doprava až na doraz (obr. 2).

Pomocí šestihranného klíče 10 mm (SW 10) otočením doleva lehce povolte vypouštěcí šroub.

Našroubujte vypouštěcí přípravek 0301-00.102 na závit šroubení Regulux a klíčem vel. 22 lehce dotáhněte část u šroubení (obr. 3).

Na šroubení vypouštěcího přípravku našroubujte šroubení vypouštěcí hadice 1/2". Klíčem vel. 22 uvolněte otáčením doleva část u hadice až na doraz.

**Pozor: radiátorový ventil musí být na přívodu uzavřený.**

U radiátorových ventilů osazených termostatickou hlavicí musíte tuto termostatickou hlavici po dobu vypouštění a napouštění otopného tělesa nahradit ruční hlavicí nebo ochrannou montážní krytkou a jimi pak ventil zcela uzavřít. Otopné těleso zavzdušněte! Konec hadice musí být níž než otopné těleso (obr. 5).

Otopné těleso můžete demontovat.

### Vypouštění otopného tělesa bez vypouštěcího přípravku

Sejměte uzavírací krytku pomocí klíče vel. 19 (obr. 1).

Pomocí šestihranného klíče 5 mm (SW 5) uzavřete vřeteno otáčením doprava až na doraz (obr. 2).

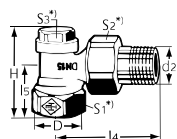
**Pozor: radiátorový ventil musí být na přívodu uzavřený.**

Pomocí šestihranného klíče 10 mm (SW 10) otáčením doleva lehce povolte vypouštěcí šroub. Pro vypouštění použijte plochou nádobu.

Otopné těleso je nutno zavzdušnit.

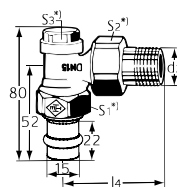
Pomocí šestihranného klíče 10 mm (SW 10) otáčením doprava utáhněte vypouštěcí šroub (obr. 5).

## Provedení



### Rohové

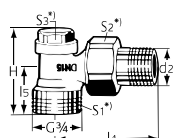
DN	D	d2	l4	l5	H	Kvs	Objednací č.
10	Rp3/8	R3/8	52	22	50	1,31	0351-01.000
15	Rp1/2	R1/2	58	26	54	1,31	0351-02.000
20	Rp3/4	R3/4	65,5	28,5	56,5	1,31	0351-03.000



### Rohové

s lisovacím připojením Viega 15 mm

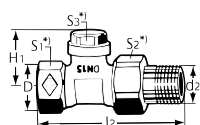
DN	d2	l4	Kvs	Objednací č.
15	R1/2	58	1,31	0341-15.000



### Rohové

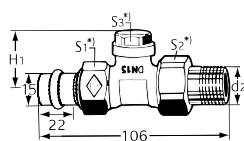
s vnějším závitem G3/4

DN	d2	l4	l5	H	Kvs	Objednací č.
15	R1/2	58	26	54	1,31	0361-02.000



### Přímé

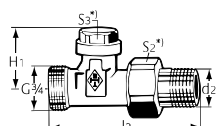
DN	D	d2	l2	H1	Kvs	Objednací č.
10	Rp3/8	R3/8	75	33,5	1,31	0352-01.000
15	Rp1/2	R1/2	80	33,5	1,31	0352-02.000
20	Rp3/4	R3/4	90,5	33,5	1,31	0352-03.000



### Přímé

s lisovacím připojením Viega 15 mm

DN	d2	H1	Kvs	Objednací č.
15	R1/2	33,5	1,31	0342-15.000



### Přímé

s vnějším závitem G3/4

DN	d2	l3	H1	Kvs	Objednací č.
15	R1/2	88	33,5	1,31	0414-02.000

\*) S1: DN10=22mm, DN15=27mm, DN20=32mm

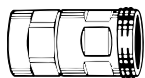
S2: DN10=27mm, DN15=30mm, DN20=37mm

S3: DN10-20=19mm

Rozměry dle DIN 3842, část 1.

Kvs = m<sup>3</sup>/h při tlakové ztrátě 1 bar a plně otevřeném ventilu.

## Příslušenství

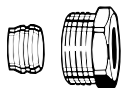


### Vypouštěcí přípravek

Pro hadici 1/2".

**Objednací č.**

0301-00.102



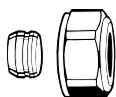
### Svěrné šroubení

pro měděné a přesné ocelové trubky.  
Připojení – vnitřní závit Rp3/8 – Rp3/4.  
Spojení kov na kov.

Poniklovaná mosaz.

U trubek se silou stěny 0,8 – 1 mm je třeba použít opěrná pouzdra. Řiďte se pokyny výrobce trubek.

Ø trubky	DN	Objednací č.
12	10 (3/8")	2201-12.351
15	15 (1/2")	2201-15.351
16	15 (1/2")	2201-16.351
18	20 (3/4")	2201-18.351



### Svěrné šroubení

pro měděné a přesné ocelové trubky.  
Připojení – vnější závit G 3/4.

Spojení kov na kov.

Poniklovaná mosaz.

U trubek se silou stěny 0,8 – 1 mm je třeba použít opěrná pouzdra. Řiďte se pokyny výrobce trubek.

Ø trubky	Objednací č.
12	3831-12.351
15	3831-15.351
16	3831-16.351
18	3831-18.351

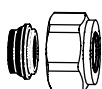


### Opěrné pouzdro

Pro měděné a přesné ocelové trubky se silou stěny 1 mm.

Mosaz.

L [mm]	Ø	Objednací č.
25,0	12	1300-12.170
26,0	15	1300-15.170
26,3	16	1300-16.170
26,8	18	1300-18.170



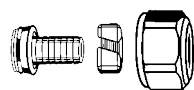
### Svěrné šroubení

pro měděné a přesné ocelové trubky.  
Pro připojení na vnější závit G3/4.

Měkce těsnící.

Poniklovaná mosaz.

Ø trubky	Objednací č.
15	1313-15.351
18	1313-18.351



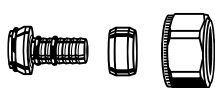
### Svěrné šroubení

pro plastové trubky.

Pro připojení na vnější závit G3/4.

Poniklovaná mosaz.

Ø trubky	Objednací č.
14x2	1311-14.351
16x2	1311-16.351
17x2	1311-17.351
18x2	1311-18.351
20x2	1311-20.351



### Svěrné šroubení

Pro vícevrstvé trubky.

Poniklovaná mosaz.

Ø trubky	Objednací č.
<b>pro připojení na vnější závit G3/4</b>	
16x2	1331-16.351
<b>pro připojení na vnitřní závit Rp1/2</b>	
16x2 *)	1335-16.351



\*) Použitelné pro ventily od data výroby 04.1995

Počet Popis

1 ALPHA2 25-50 180



Pozn.: obr. výrobku se může lišit od skuteč. výrobku

Výrobní č.: [99411173](#)

High efficiency canned-rotor circulator, designed for circulating liquids in domestic heating systems. With a world-class energy efficiency index (EEI) well below the ErP benchmark it ensures substantial energy savings.

Features

- AUTOADAPT which provides the ultimate comfort levels with the lowest possible energy consumption and makes the commissioning safe and easy
- Night-setback function which saves energy
- Manual Summer mode saves energy during summertime and ensure safe start in the heating season
- Intuitive one-button operation makes selection of any control mode simple
- No external motor protection required reducing installation time
- High-torque start improves startup under harsh conditions
- Maintenance free due to canned-rotor design and use of robust components
- ALPHA plug makes electrical installation quick and easy
- Insulating shells are supplied with pumps to minimize heat loss in heating systems
- Hydronic balancing by temporary use of the ALPHA Reader and the Grundfos GO Balance App enables the installer to perform fast and easy hydronic balancing

When using the ALPHA2 with two other components the ALPHA Reader and the Grundfos GO Balance app, it enables the installers to perform fast and easy hydronic balancing - without compromising on reliability, efficiency and easy installation.

The AUTOADAPT function continuously adjusts the pump performance to the actual heat demand, i.e. the size of the system and the changing heat demand during the year. The function will find the setting that provides optimal comfort with minimal energy consumption. It contributes to fast, safe and easy commissioning.

In addition, the pump also features three control modes - each with three settings

- proportional-pressure control
- constant-pressure control
- constant-curve mode

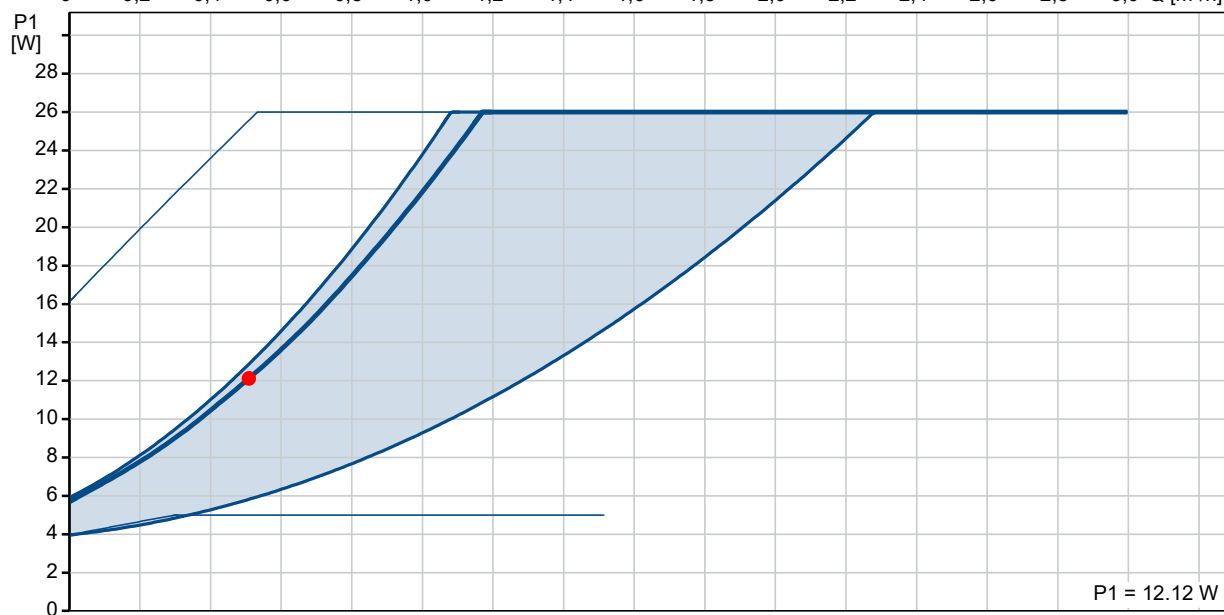
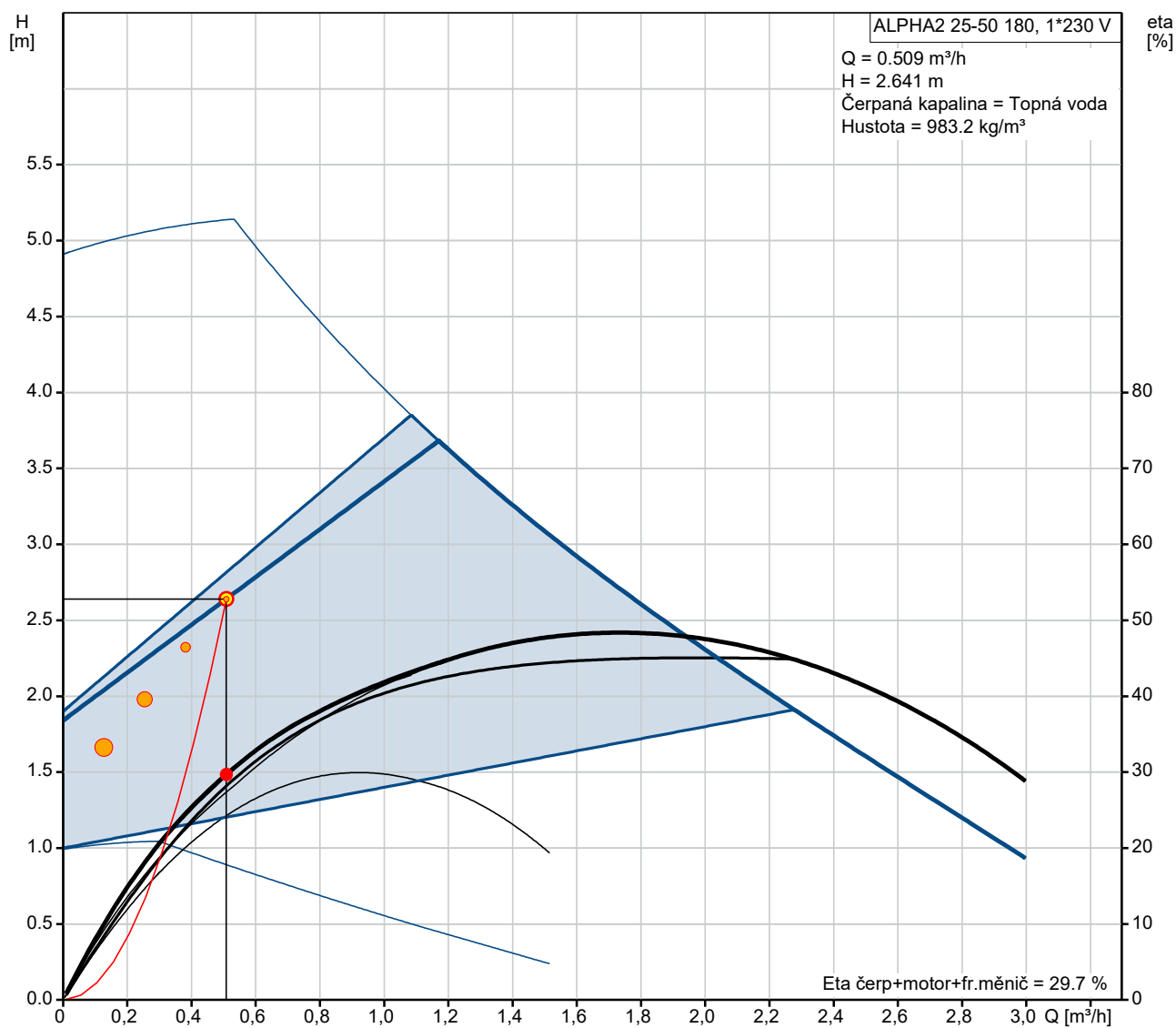
The display shows the actual power consumption in Watts or actual flow in m3/h as well as alarms and warnings. LEDs indicate the actual operating status.

The night-setback function, when enabled automatically reduces the motor speed to save energy. The changeover depends on a change in the flow-pipe temperature.

Manual summer mode; once enabled, the pump is automatically started frequently at low speed to avoid blocking the rotor. At the same time, it saves energy.

Počet	Popis
	<p>The pump is of the canned-rotor type, which means that the pump and motor form an integral unit. The bearings are lubricated by the pumped liquid ensuring maintenance-free operation. The pump features dry-running protection.</p> <p>The pump has a ceramic shaft and radial bearings, carbon thrust bearing, stainless-steel rotor can, bearing plate and rotor cladding, composite impeller, all of which contribute to long life.</p> <p>The pump is self-venting through the system, which contributes to easy commissioning. The compact design featuring pump head with integrated control box and control panel fits into most common installations.</p> <p>The pump housing is made of cast iron and electrocoated to improve the corrosion resistance.</p> <p>The motor is a synchronous permanent-magnet/compact-stator motor characterized by high efficiency. The pump speed is controlled by an integrated frequency converter incorporated in the control box.</p> <p><b>Kapalina:</b>  Čerpaná kapalina: Topná voda  Rozsah teploty kapaliny: 2 .. 110 °C  Hustota: 983.2 kg/m<sup>3</sup></p> <p><b>Techn.:</b>  Skutečná vypočítaná hodnota průtoku: 0.509 m<sup>3</sup>/h  Výsledná dopravní výška čerpadla: 2.641 m  Teplotní třída TF: 110  Schval. značky na typovém štítku: VDE,CE,EAC</p> <p><b>Materiály:</b>  Těleso čerpadla: Litina  EN-GJL-150  ASTM A48-150B  Oběžné kolo: PES 30%GF</p> <p><b>Instalace:</b>  Rozsah okolní teploty: 0 .. 40 °C  Max. provozní tlak: 10 bar  Potrubní přípojka: G 1 1/2  PN pro potrubní přípojku: PN 10  Vzdálenost mezi sacím a výtlačným hrdlem: 180 mm</p> <p><b>Elektrické údaje:</b>  Příkon - P1: 3 .. 26 W  Frekvence el. sítě: 50 Hz  Jmenovité napětí: 1 x 230 V  Max. spotřeba el. proudu: 0.04 .. 0.24 A  Krytí (IEC 34-5): X4D  Třída izolace (IEC 85): F</p> <p><b>Jiné:</b>  Energet. účinnost (EEI): 0.16  Čistá hmotnost: 1.98 kg  Hrubá hmotnost: 2.15 kg  Převrácení objemu: 0.004 m<sup>3</sup>  Country of origin: DK  Custom tariff no.: 84137030</p>

## 99411173 ALPHA2 25-50 180 50 Hz





**Počet** **Popis**

1

**ALPHA1 L 25-40 180**



Pozn.: obr. výrobku se může lišit od skuteč. výrobku

Výrobní č.: 99160579

Grundfos ALPHA1 L 25-40 180 is a high-efficiency circulator pump with permanent-magnet motor (ECM technology).

The pump features three control modes; radiator heating mode, underfloor heating mode and constant curve/constant speed.

Furthermore, the speed can be controlled by a low-voltage PWM (Pulse Width Modulation) signal.

The pump has a ceramic shaft and radial bearings, carbon thrust bearing, stainless-steel rotor can, bearing plate and rotor cladding, composite impeller, all of which contribute to long life, and the pump is self-venting, which contributes to easy commissioning as well as simple selection of control mode.

The compact design featuring pump head with integrated control box and control panel fits into most common installations as well as boilers.

The pump and motor form an integral unit without shaft seal. The pump is of the wet-runner design. This means the bearings are lubricated by the pumped liquid. These constructions ensure maintenance-free operation.

The pump housing is made of cast iron and is electrocoated to improve the corrosion resistance.

The motor is a synchronous permanent-magnet rotor/compact-stator motor. The pump controller is incorporated in the control box, which is fitted to the stator housing and connected to the stator via a terminal plug.

**Features ALPHA1 L**

- Three constant curves/constant speed.
- Radiator heating mode.
- Underfloor heating mode.
- PWM profile for heating applications (profile A). The PWM signal is a method for generating an analog signal using a digital source.
- Energy-optimised, complies with the ErP directive
- Unblocking screw, accessible from the front of the control box.
- Runs reliably and efficiently under even the most demanding conditions
- Adjustable and flexible installer plug, with two possible cable gland positions.

**Kapalina:**

Čerpaná kapalina: Topná voda

Rozsah teploty kapaliny: 2 .. 95 °C

Hustota: 983.2 kg/m³

**Techn.:**

Skutečná vypočítaná hodnota průtoku: 0.614 m³/h

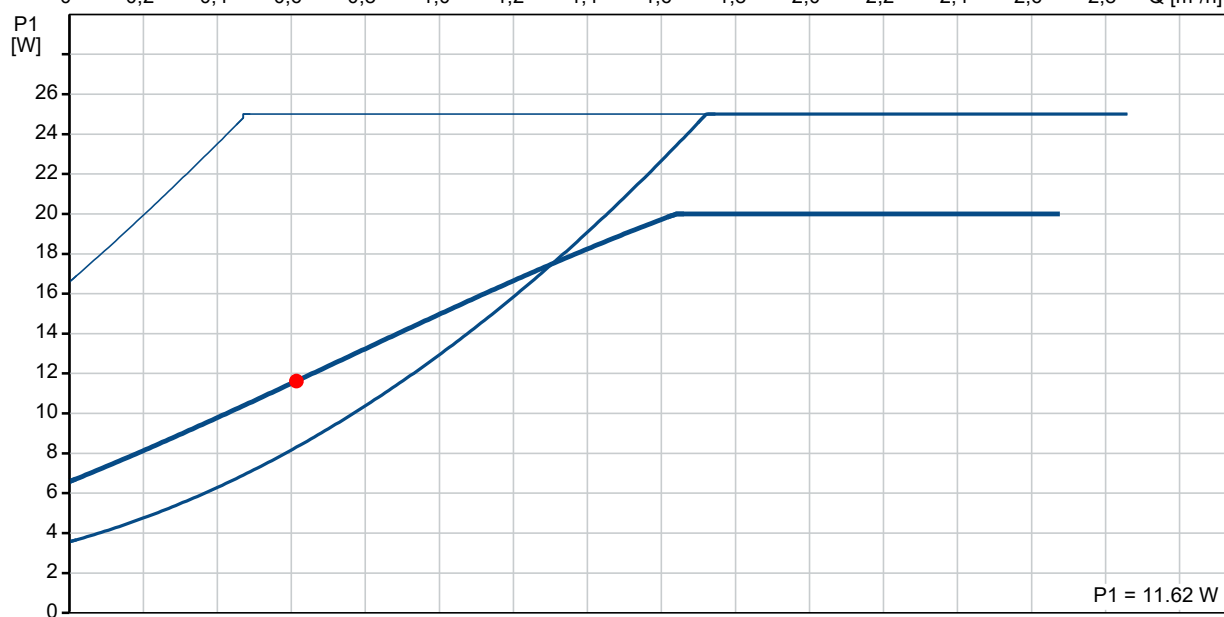
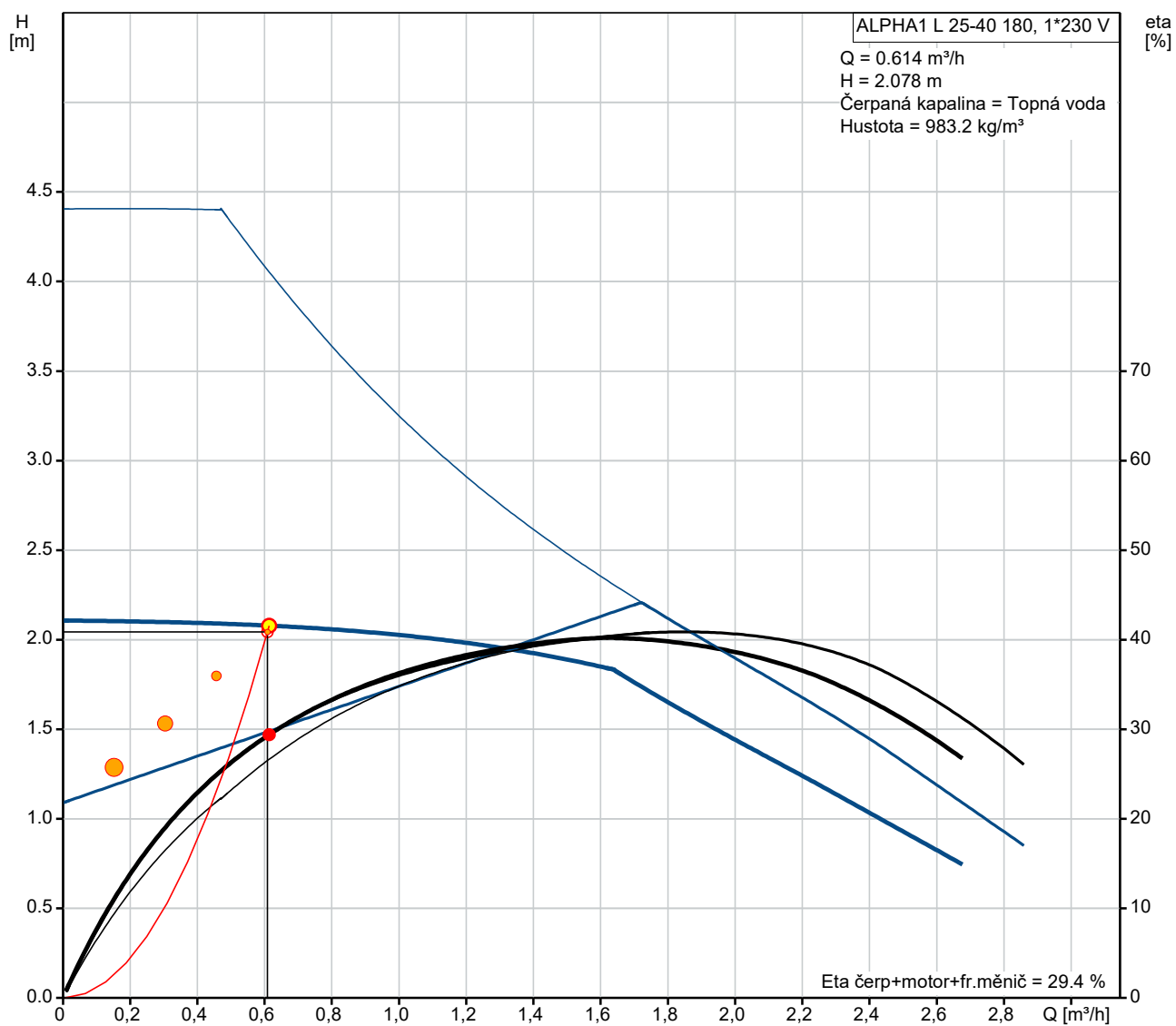
Výsledná dopravní výška čerpadla: 2.078 m

Teplotní třída TF: 95

Schval. značky na typovém štítku: CE,VDE,EAC

Počet	Popis
	<p><b>Materiály:</b></p> <p>Těleso čerpadla: Litina EN 1561 EN-GJL-150 ASTM A48-150B</p> <p>Oběžné kolo: Composite/PES 30 % GF</p> <p><b>Instalace:</b></p> <p>Rozsah okolní teploty: 0 .. 55 °C Max. provozní tlak: 10 bar Potrubní přípojka: G 1 1/2 PN pro potrubní přípojku: PN 10 Vzdálenost mezi sacím a výtlačným hrdlem: 180 mm</p> <p><b>Elektrické údaje:</b></p> <p>Příkon - P1: 4 .. 25 W Frekvence el. sítě: 50 Hz Jmenovité napětí: 1 x 230 V Max. spotřeba el. proudu: 0.05 .. 0.26 A Krytí (IEC 34-5): X4D Třída izolace (IEC 85): F</p> <p><b>Jiné:</b></p> <p>Energet. účinnost (EEI): 0.20 Čistá hmotnost: 2.1 kg Hrubá hmotnost: 2.2 kg Přepravní objem: 0.004 m<sup>3</sup> Country of origin: DK Custom tariff no.: 84137030</p>

## 99160579 ALPHA1 L 25-40 180 50 Hz



**Počet    Popis**

1

**ALPHA1 L 25-60 180**



Pozn.: obr. výrobku se může lišit od skuteč. výrobku

Výrobní č.: [99160584](#)

Grundfos ALPHA1 L 25-60 180 is a high-efficiency circulator pump with permanent-magnet motor (ECM technology).

The pump features three control modes; radiator heating mode, underfloor heating mode and constant curve/constant speed.

Furthermore, the speed can be controlled by a low-voltage PWM (Pulse Width Modulation) signal.

The pump has a ceramic shaft and radial bearings, carbon thrust bearing, stainless-steel rotor can, bearing plate and rotor cladding, composite impeller, all of which contribute to long life, and the pump is self-venting, which contributes to easy commissioning as well as simple selection of control mode.

The compact design featuring pump head with integrated control box and control panel fits into most common installations as well as boilers.

The pump and motor form an integral unit without shaft seal. The pump is of the wet-runner design. This means the bearings are lubricated by the pumped liquid. These constructions ensure maintenance-free operation.

The pump housing is made of cast iron and is electrocoated to improve the corrosion resistance.

The motor is a synchronous permanent-magnet rotor/compact-stator motor. The pump controller is incorporated in the control box, which is fitted to the stator housing and connected to the stator via a terminal plug.

**Features ALPHA1 L**

- Three constant curves/constant speed.
- Radiator heating mode.
- Underfloor heating mode.
- PWM profile for heating applications (profile A). The PWM signal is a method for generating an analog signal using a digital source.
- Energy-optimised, complies with the ErP directive
- Unblocking screw, accessible from the front of the control box.
- Runs reliably and efficiently under even the most demanding conditions
- Adjustable and flexible installer plug, with two possible cable gland positions.

**Kapalina:**

Čerpaná kapalina: Topná voda

Rozsah teploty kapaliny: 2 .. 95 °C

Hustota: 983.2 kg/m<sup>3</sup>

**Techn.:**

Skutečná vypočítaná hodnota průtoku: 0.622 m<sup>3</sup>/h

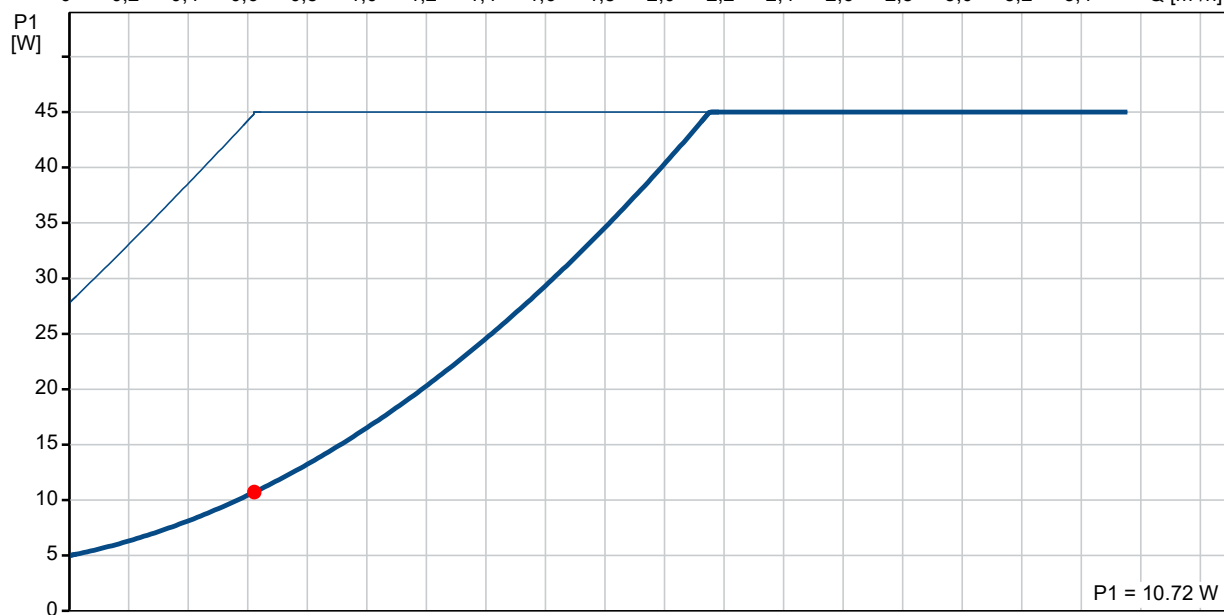
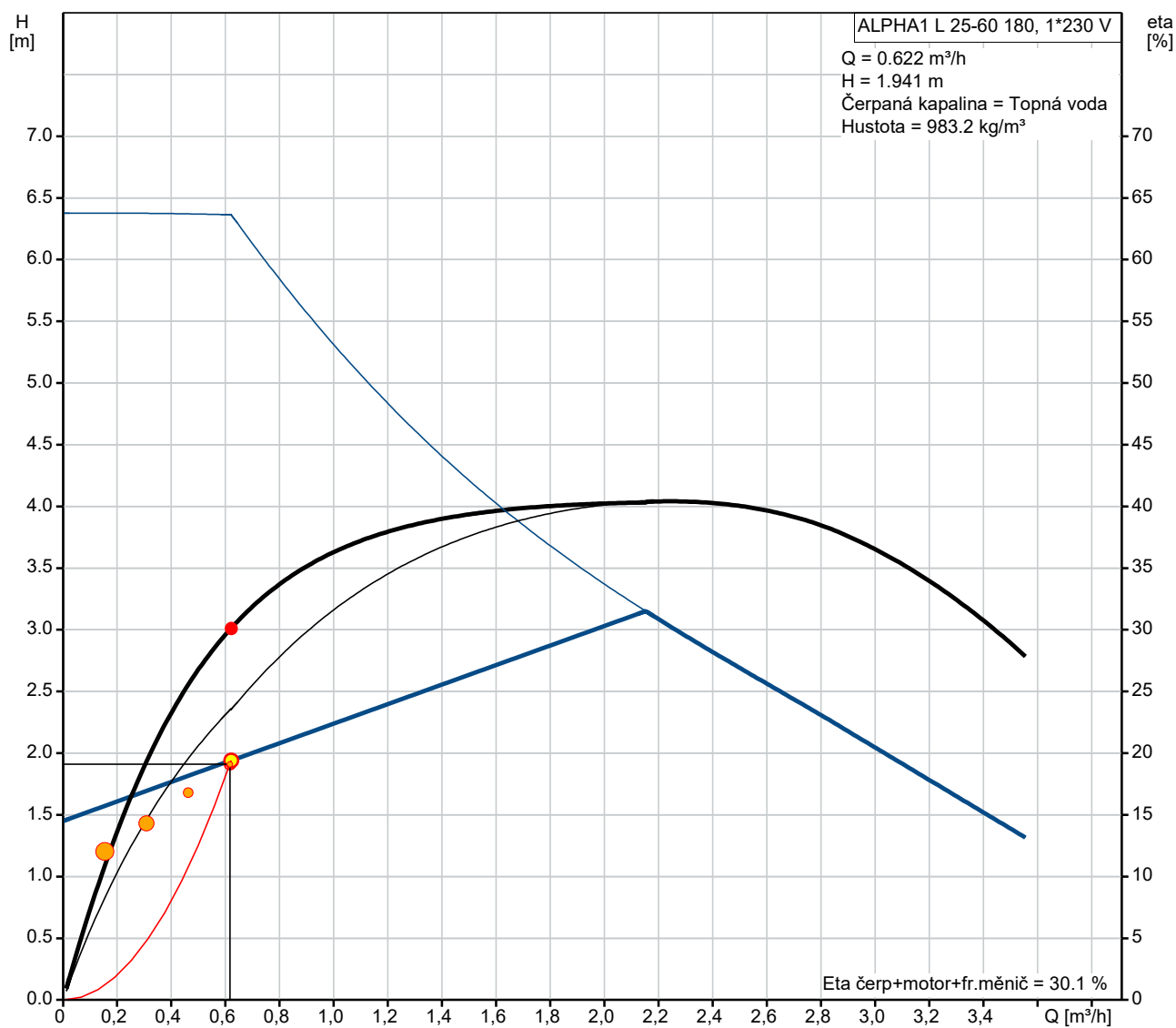
Výsledná dopravní výška čerpadla: 1.941 m

Teplotní třída TF: 95

Schval. značky na typovém štítku: CE,VDE,EAC

Počet	Popis
	<p><b>Materiály:</b></p> <p>Těleso čerpadla: Litina EN 1561 EN-GJL-150 ASTM A48-150B</p> <p>Oběžné kolo: Composite/PES 30 % GF</p> <p><b>Instalace:</b></p> <p>Rozsah okolní teploty: 0 .. 55 °C Max. provozní tlak: 10 bar Potrubní přípojka: G 1 1/2 PN pro potrubní přípojku: PN 10 Vzdálenost mezi sacím a výtlačným hrdlem: 180 mm</p> <p><b>Elektrické údaje:</b></p> <p>Příkon - P1: 4 .. 45 W Frekvence el. sítě: 50 Hz Jmenovité napětí: 1 x 230 V Max. spotřeba el. proudu: 0.05 .. 0.42 A Krytí (IEC 34-5): X4D Třída izolace (IEC 85): F</p> <p><b>Jiné:</b></p> <p>Energet. účinnost (EEI): 0.20 Čistá hmotnost: 2.1 kg Hrubá hmotnost: 2.2 kg Přepravní objem: 0.004 m<sup>3</sup> Country of origin: DK Custom tariff no.: 84137030</p>

## 99160584 ALPHA1 L 25-60 180 50 Hz



**Počet** **Popis**

1

**ALPHA1 L 25-40 180**



Pozn.: obr. výrobku se může lišit od skuteč. výrobku

Výrobní č.: 99160579

Grundfos ALPHA1 L 25-40 180 is a high-efficiency circulator pump with permanent-magnet motor (ECM technology).

The pump features three control modes; radiator heating mode, underfloor heating mode and constant curve/constant speed.

Furthermore, the speed can be controlled by a low-voltage PWM (Pulse Width Modulation) signal.

The pump has a ceramic shaft and radial bearings, carbon thrust bearing, stainless-steel rotor can, bearing plate and rotor cladding, composite impeller, all of which contribute to long life, and the pump is self-venting, which contributes to easy commissioning as well as simple selection of control mode.

The compact design featuring pump head with integrated control box and control panel fits into most common installations as well as boilers.

The pump and motor form an integral unit without shaft seal. The pump is of the wet-runner design. This means the bearings are lubricated by the pumped liquid. These constructions ensure maintenance-free operation.

The pump housing is made of cast iron and is electrocoated to improve the corrosion resistance.

The motor is a synchronous permanent-magnet rotor/compact-stator motor. The pump controller is incorporated in the control box, which is fitted to the stator housing and connected to the stator via a terminal plug.

**Features ALPHA1 L**

- Three constant curves/constant speed.
- Radiator heating mode.
- Underfloor heating mode.
- PWM profile for heating applications (profile A). The PWM signal is a method for generating an analog signal using a digital source.
- Energy-optimised, complies with the ErP directive
- Unblocking screw, accessible from the front of the control box.
- Runs reliably and efficiently under even the most demanding conditions
- Adjustable and flexible installer plug, with two possible cable gland positions.

**Kapalina:**

Čerpaná kapalina: Topná voda

Rozsah teploty kapaliny: 2 .. 95 °C

Hustota: 983.2 kg/m<sup>3</sup>

**Techn.:**

Skutečná vypočítaná hodnota průtoku: 0.515 m<sup>3</sup>/h

Výsledná dopravní výška čerpadla: 2.087 m

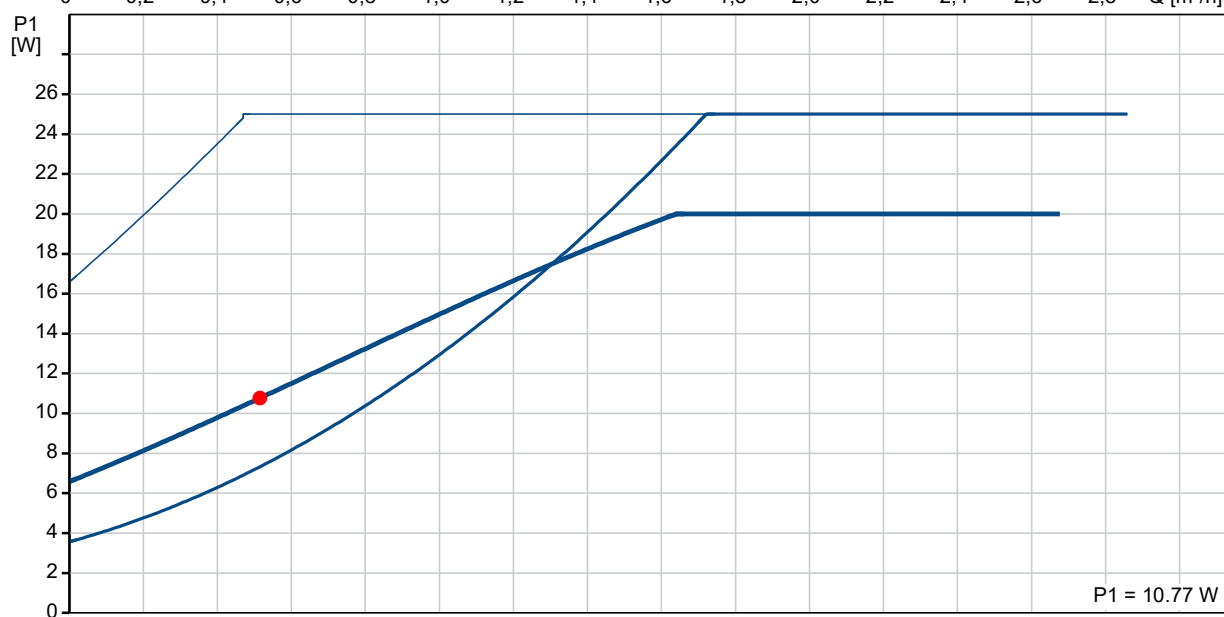
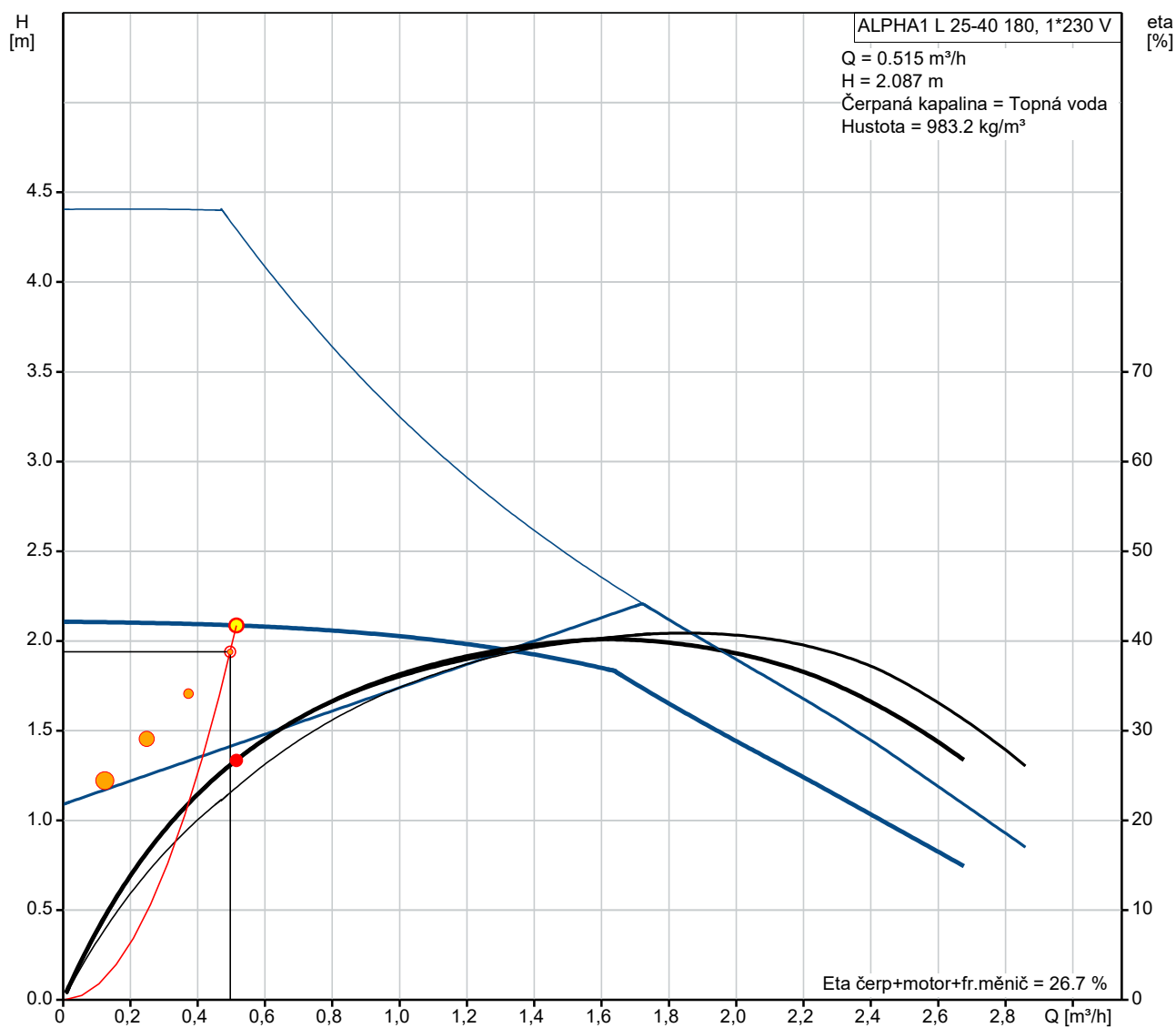
Teplotní třída TF: 95

Schval. značky na typovém štítku: CE,VDE,EAC

Počet	Popis
	<p><b>Materiály:</b></p> <p>Těleso čerpadla: Litina EN 1561 EN-GJL-150 ASTM A48-150B</p> <p>Oběžné kolo: Composite/PES 30 % GF</p> <p><b>Instalace:</b></p> <p>Rozsah okolní teploty: 0 .. 55 °C Max. provozní tlak: 10 bar Potrubní přípojka: G 1 1/2 PN pro potrubní přípojku: PN 10 Vzdálenost mezi sacím a výtlačným hrdlem: 180 mm</p> <p><b>Elektrické údaje:</b></p> <p>Příkon - P1: 4 .. 25 W Frekvence el. sítě: 50 Hz Jmenovité napětí: 1 x 230 V Max. spotřeba el. proudu: 0.05 .. 0.26 A Krytí (IEC 34-5): X4D Třída izolace (IEC 85): F</p> <p><b>Jiné:</b></p> <p>Energet. účinnost (EEI): 0.20 Čistá hmotnost: 2.1 kg Hrubá hmotnost: 2.2 kg Přepravní objem: 0.004 m<sup>3</sup> Country of origin: DK Custom tariff no.: 84137030</p>



## 99160579 ALPHA1 L 25-40 180 50 Hz



**Počet**   **Popis**

1   **COMFORT 15-14 BX PM**



Pozn.: obr. výrobku se může lišit od skuteč. výrobku

Výrobní č.: [97916772](#)

Cirkulační čerpadla Grundfos Comfort PM s bezolovnatým tělesem čerpadla vhodným pro pitnou vodu, s vysokou energetickou účinností jsou vhodná pro cirkulaci teplé vody v jedno- a vícegeneračních rodinných domech. Jsou poháněna vysokoúčinným jednofázovým, 12-pólovým motorem s trvalými magnety.

**Charakteristiky a výhody:**

- \* rychlé a jednoduché připojení napájecího kabelu pomocí ALPHA konektoru
- \* detekce běhu nasucho
- \* rotor snadno přístupný pro čištění
- \* kapalinou mazané ložisko
- \* bez nebezpečí průsaku díky statickému těsnění
- \* snadná údržba a čištění díky snadno demontovatelné hlavě čerpadla, která se hodí na většinu těles čerpadel konkurence
- \* korozně odolné, bezolovnaté těleso čerpadla z mosazi
- \* díky integrované elektronice se nevyžaduje dodatečná ochrana motoru
- \* nižší instalační náklady díky integrovanému zpětnému ventilu a uzavírací armatuře v tělese čerpadla

**Kapalina:**

Čerpaná kapalina: Teplá (užitková) voda

Rozsah teploty kapaliny: 2 ... 95 °C

Hustota: 983.2 kg/m<sup>3</sup>

**Techn.:**

Skutečná vypočítaná hodnota průtoku: 0.165 m<sup>3</sup>/h

Výsledná dopravní výška čerpadla: 0.904 m

Teplotní třída TF: 95

Schval. značky na typovém štítku: CE,VDE,EAC,WEEE

**Materiály:**

Těleso čerpadla: Mosaz MS 68

Oběžné kolo: Korozi-vzdorná ocel, EPDM, PPO, PTFE, Grafit

**Instalace:**

Max. provozní tlak: 10 bar

Typ připojení: G

Potrubní přípojka: 1

Vzdálenost mezi sacím a výtláčným hrdlem: 140 mm

**Elektrické údaje:**

Příkon pro otáčkový stupeň 3: 7 W

Frekvence el. sítě: 50 Hz

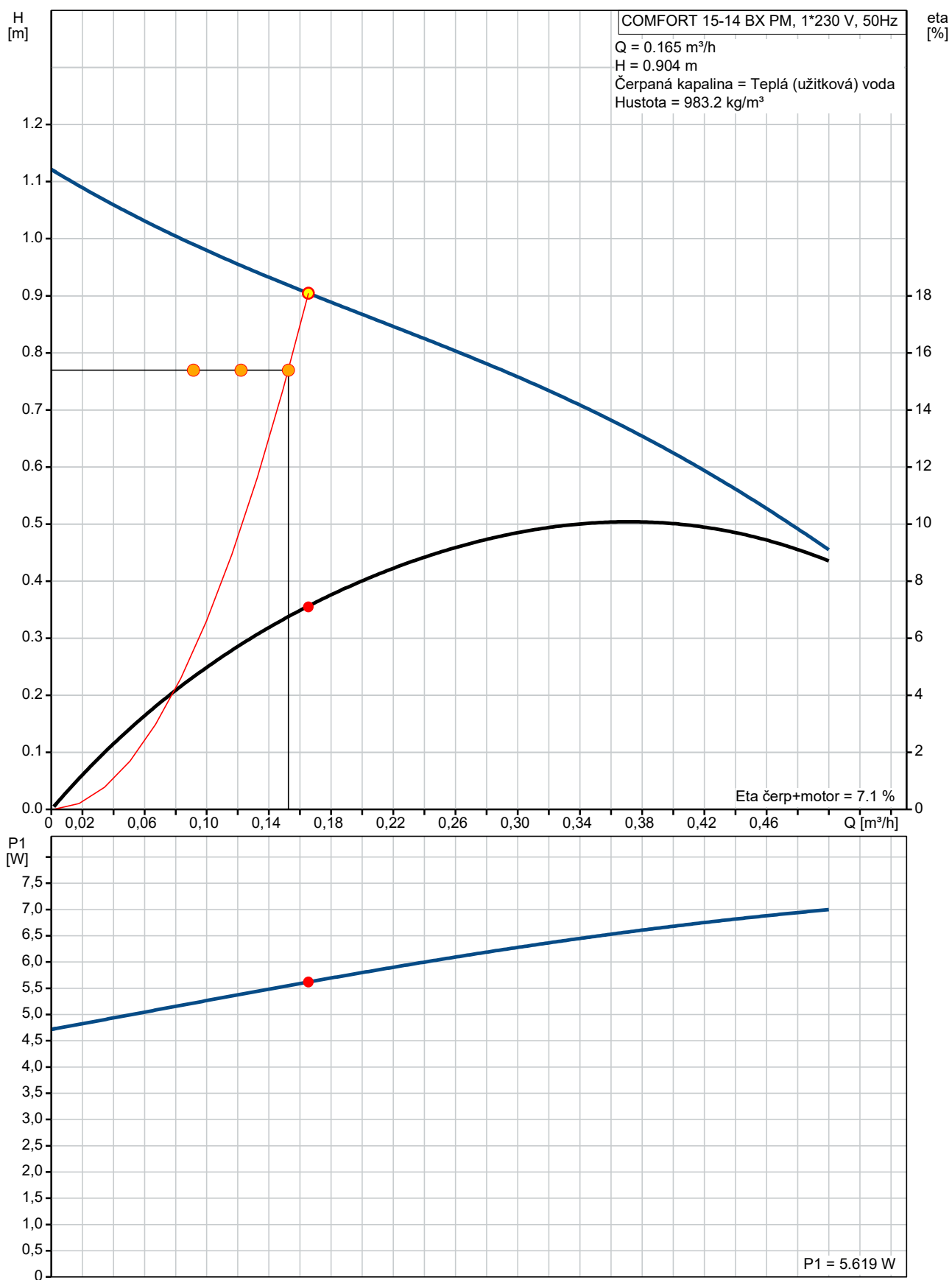
**Počet** | **Popis**

Jmenovité napětí: 1 x 230 V  
Proud - otáčky 3: 0.07 A  
Velikost kondenzátoru - provoz: 0.6 µF  
Krytí (IEC 34-5): IP44  
Třída izolace (IEC 85): F

**Jiné:**

Čistá hmotnost: 1.35 kg  
Hrubá hmotnost: 1.51 kg  
Přepravní objem: 0.003 m³  
Danish VVS No.: 380635110  
Swedish RSK No.: 5803086  
Country of origin: DE  
Custom tariff no.: 84137030

## 97916772 COMFORT 15-14 BX PM 50 Hz



# ROTAČNÍ VENTILY RYCHLÁ A SNADNÁ INSTALACE

**ESBE nabízí široký výběr rotačních ventilů** na regulaci vytápění a chlazení v mnoha různých provedeních. Připočtete k tomu mnoho různých pohonů pro jednoduchou a rychlou instalaci na ventil.



Patentované a  
registrované provedení



## SMĚŠOVACÍ VENTIL

### Řada VRG130

- **Výborná regulace pro dosažení nejvyšší účinnosti**
- **Nejnižší míra vnitřní netěsnosti na trhu (< 0,05 %)**
- **Kompaktní, flexibilní a snadno se instaluje**
- **Dlouhodobý provoz a vysoká odolnost**
- **Ideální volba mezi ventily a pohony ESBE**

Řada VRG130 obsahuje trojcestné ventily vhodné ke směšování nebo rozdělování průtoků. Ventily jsou vyrobeny z vysoce odolné mosazi, proto je lze používat v rozvodech vytápění a chlazení. Řada VRG je k dispozici v provedení DN15-50 a dodává se s různými typy připojení, aby vyhovovala většině rozměrů potrubí. Ventil lze dokonale kombinovat s pohony a regulátory ESBE.

#### TECHNICKÉ ÚDAJE

Tlaková třída: \_\_\_\_\_ PN 10  
Teplota média: \_\_\_\_\_ max. (trvalá) +110°C  
\_\_\_\_\_ max. (dočasná) +130°C  
\_\_\_\_\_ min. -10°C  
Moment (při jmenovitém tlaku) DN15-32: \_\_\_\_\_ < 3 Nm  
DN40-50: \_\_\_\_\_ < 5 Nm  
Netěsnost v % \*: \_\_\_\_\_ Směšování < 0,05%  
\_\_\_\_\_ Rozdělování < 0,02%  
Pracovní tlak: \_\_\_\_\_ 1 MPa (10 bar)  
Max. rozdíl tlakové ztráty: \_\_\_\_\_ Směšování, 100 kPa (1 bar)  
\_\_\_\_\_ Rozdělování, 200 kPa (2 bar)  
Uzavírací tlak: \_\_\_\_\_ 200 kPa (2 bar)  
Regulační rozsah Kv/Kv<sup>min</sup>, A-AB: \_\_\_\_\_ 100  
Připojení: \_\_\_\_\_ Vnitřní závit (Rp), EN 10226-1  
\_\_\_\_\_ Vnější závit (G), ISO 228/1  
\_\_\_\_\_ Svěrné kroužky (CPF), EN 1254-2  
Média: \_\_\_\_\_ Topná voda (podle VDI2035)  
\_\_\_\_\_ Směs vody/glykolu, max. 50%\*\*  
\_\_\_\_\_ Směs vody/ethanolu, max. 28%

#### Materiál

Tělo ventilu: \_\_\_\_\_ Mosaz odolná proti ztrátě zinku, DZR  
Soupátko: \_\_\_\_\_ Mosaz odolná oděru  
Dřík a pouzdro: \_\_\_\_\_ Kompozit PPS  
O-kroužky: \_\_\_\_\_ EPDM

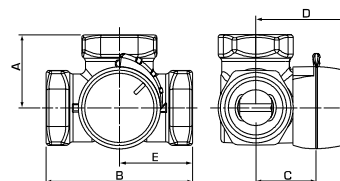
PED 2014/68/EU, článek 4.3

\* Rozdílový tlak 100 kPa (1 bar)

\*\* Další informace viz str. 54



VRG131 vnitřní závit



Č. výr.	Označení	DN	Kvs	Připojení	A	B	C	D	E	Hmotnost [kg]	Poznámka
11600100	VRG131	15	0,4	Rp 1/2"	36	72	32	50	36	0,40	
11600200			0,63								
11600300			1								
11600400			1,6								
11600500			2,5								
11600600			4								
11600700		20	2,5	Rp 3/4"	36	72	32	50	36	0,43	
11600800			4								
11600900			6,3								
11601000		25	6,3	Rp 1"	41	82	34	52	41	0,70	
11601100			10								
11601200		32	16	Rp 1 1/4"	47	94	37	55	47	0,95	
11603400		40	25	Rp 1 1/2"	53	106	44	62	53	1,68	
11603600		50	40	Rp 2"	60	120	46	64	60	2,30	

VIZ DALŠÍ TABULKY NA NÁSLEDUJÍCÍ STRANĚ »



#### DALŠÍ INFORMACE

Příslušenství.....53, 88–89  
Průvodce a dimenzování.....54–55, 57, 59

Příklady instalace.....61  
Podrobnější informace..... [www.esbe.eu](http://www.esbe.eu)

# STAD



**Vyvažovací ventily**  
DN 10-50, PN 25

Engineering  
*GREAT* Solutions

# STAD

Vyvažovací ventil STAD umožňuje přesné hydronické vyvážení v širokém spektru aplikací. Nejčastěji je používán pro vyvažování vytápěcích nebo chladících soustav a v soustavách s užitkovou vodou.

## Klíčové vlastnosti

### > Vysoká přesnost pro všechna nastavení

Zajistíte přesné vyvážení a měření průtoku.

### > Ovládací hlavice

Digitální číslice na stupnici umožňuje přesné vyvažování a snadný odečet hodnoty nastavení. Snadné uzavírání pro snadnou obsluhu.

### > Samotěsnící měřicí vsuvky

Pro snadné a přesné vyvažování.

### > AMETAL®

Slitina mosazi odolná proti odzinkování, která garantuje dlouhou životnost a výrazně snižuje riziko netěsností.



## Technický popis

### Oblast použití:

Soustavy vytápění a chlazení.  
Soustavy s užitkovou vodou.

### Funkce:

Vyvažování  
Nastavení s aretací  
Měření průtoku, tlaků a teploty  
Uzavírání  
Vypouštění (záleží na typu ventilu)

### Rozměry:

DN 10-50

### Tlaková třída:

PN 25

### Teploty:

Max. pracovní teplota: 120 °C  
(krátkodobě 150 °C)  
Pro použití při vyšších teplotách (max. 150 °C), viz. STAD-C.

**POZOR!** Pro provedení s hladkými konci DN 25-50 je max. provozní teplota 120 °C.  
Min. pracovní teplota: -20 °C

### Kapaliny:

Voda a neutrální kapaliny, nemrznoucí směsi na bázi glykolu (0-57%).

### Materiál:

Těleso ventilu a kuželka: AMETAL®  
Těsnění (těleso/kuželka): EPDM O-kroužek  
Kuželka: AMETAL®  
Těsnění sedla: EPDM O-kroužek  
Hřídel: AMETAL®  
Podložka: PTFE  
Těsnění vřetene: EPDM O-kroužek  
Pružina: Nerezová ocel  
Hlavice: Polyamid a TPE

Vsuvky pro měření: AMETAL®

Těsnění: EPDM

Krytky: Polyamid a TPE

Vypouštění: AMETAL®

Těsnění: EPDM

Ploché těsnění: Aramid na bázi vláken

### Hladké konce:

Měřicí vsuvky: AMETAL®

Těsnění (DN 25-50): EPDM O-kroužek

AMETAL® je slitina mosazi od IMI Hydronic Engineering odolná proti odzinkování.

### Označení:

Těleso: IMI, TA, PN 25/400 WWP, DN světlost v palcích. DN 50 také CE.  
Oranžová/šedá hlavice: TA, STAD\* a DN.

### Připojení:

- Vnitřní závit dle ISO 228. Délka závitů dle ISO 7/1.
- Vnější závit dle ISO 228. Délka závitů dle DIN 3546.
- Připojení s hladkými konci pro svěrné šroubení.



## Vsuvky pro měření

Měřicí vsuvky jsou samotěsnící. Sejměte krytku a vsuňte sondu do vsuvky skrze těsnění.

## Možnost vypouštění

Ventily s možností vypouštění jsou vybaveny vypouštěcím nástavcem s připojením G3/4.

## Návrh

Pokud je známa tlaková ztráta  $\Delta p$  ventilu a žádaný průtok, můžete určit Kv hodnotu podle uvedených vzorců nebo podle diagramu:

$$K_v = 0,01 \frac{q}{\sqrt{\Delta p}} \quad q \text{ l/h, } \Delta p \text{ kPa}$$

$$K_v = 36 \frac{q}{\sqrt{\Delta p}} \quad q \text{ l/s, } \Delta p \text{ kPa}$$

## Kv hodnoty

Otáčky	DN 10	DN 15	DN 20	DN 25	DN 32	DN 40	DN 50
0.5	-	0.136	0.533	0.599	1.19	1.89	2.62
1	0.091	0.226	0.781	1.03	2.09	3.40	4.10
1.5	0.134	0.347	1.22	2.13	3.36	4.74	6.76
2	0.264	0.618	1.95	3.64	5.22	6.25	11.4
2.5	0.461	0.931	2.71	5.26	7.77	9.16	15.8
3	0.799	1.46	3.71	6.65	9.82	12.8	21.5
3.5	1.22	2.07	4.51	7.79	11.9	16.2	27.0
4	1.36	2.56	5.39	8.59	14.2	19.3	32.3

**POZN:** V programech (HySelect, HyTools) a vyvažovacích přístrojích (TA-SCOPE) bude nový STAD, verze PN 25, označen jako STAD\*.

## Přesnost měření

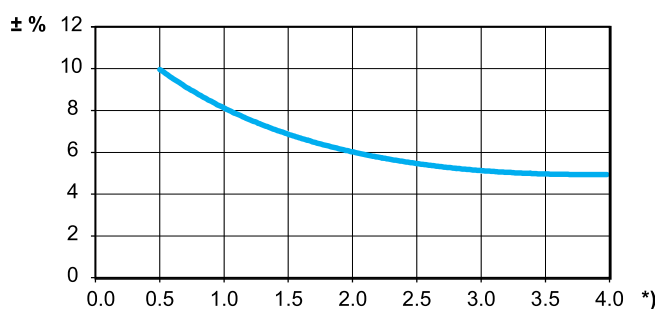
Nastavení nuly na ovládací hlavici je kalibrované a nesmí být měněno.

### Odchyly průtoku pro různá nastavení

Křivka (obr. 1) platí pro ventily\*) instalované podle (obr. 2). Pokud možno se vyhněte montáži jiných armatur, čerpadel apod. bezprostředně před ventilem.

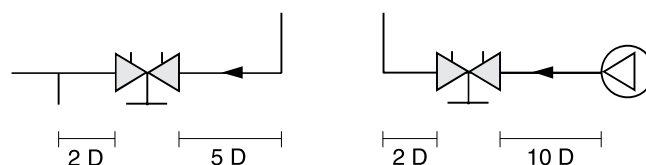
Ventil lze instalovat i s obráceným směrem toku. Uvedené kv hodnoty jsou platné také pro tuto polohu avšak tolerance mohou být větší (maximálně o 5%).

Obr. 1



\*) Nastavení, počet otáček.

Obr. 2



D = DN ventilu

## Korekční faktory

Výpočty průtoků jsou stanoveny pro vodu (+20 °C). Pro další kapaliny s podobnou viskozitou jako voda ( $\leq 20 \text{ cSt} = 3^\circ \text{E} = 100 \text{ S. U.}$ ), je nutno provést pouze korekci hustoty. Při nižších teplotách dochází ke zvýšení viskozity a může dojít k laminárnímu proudění kapaliny ve ventilu. Důsledkem je větší

odchylka průtoku, která se nejvíce projevuje u malých ventilů, nízkých hodnotách nastavení a nízkých hodnotách tlakové difference. Korekci lze provést v programu HySelect nebo přímo ve vyvažovacích přístrojích IMI Hydronic Engineering.

## Nastavení

Nastavení ventilu na požadovanou tlakovou ztrátu, např. odpovídající podle diagramu hodnotě 2.3, se provádí podle následujících kroků:

1. Zcela uzavřete ventil (obr. 1)
2. Otevřete ventil do žádané polohy 2.3 (obr. 2)
3. Zašroubujte vnitřní vřeteno ve směru hodinových ručiček až na doraz (použijte 3 mm šestihranný klíč).
4. Ventil je nyní nastaven.

Pro kontrolu nastavení nejprve uzavřete ventil a otevřete ho až na doraz. V našem případě by měl ukazovat hodnotu nastavení 2.3 (obr. 2).

Jako vodítko k určení správné světlosti ventilu a jeho nastavení (tlakové ztráty) slouží diagramy, udávající tlakové ztráty pro každou světlost ventilu, jeho nastavení a průtok.

Počet otáček od úplného uzavření k úplnému otevření je 4 (obr. 3). Další otevírání nezvýší průtok.

**Obr. 1**  
Uzavřený ventil



**Obr. 2**  
Nastavení 2.3



**Obr. 3**  
Zcela otevřený ventil



## Příklad

### Hledáme:

Hledá se hodnota nastavení pro světlost DN 25 při žádaném průtoku 1,6 m³/h a tlakové ztrátě 10 kPa.

### Řešení:

Vytáhněte přímkou mezi 1,6 m³/h a 10 kPa. Průsečík určuje Kv hodnotu 5,06. Potom vedte vodorovnou přímkou od Kv ke stupnici světlosti DN 25.

Požadované nastavení je 2,44 otáčky.

### Pozor:

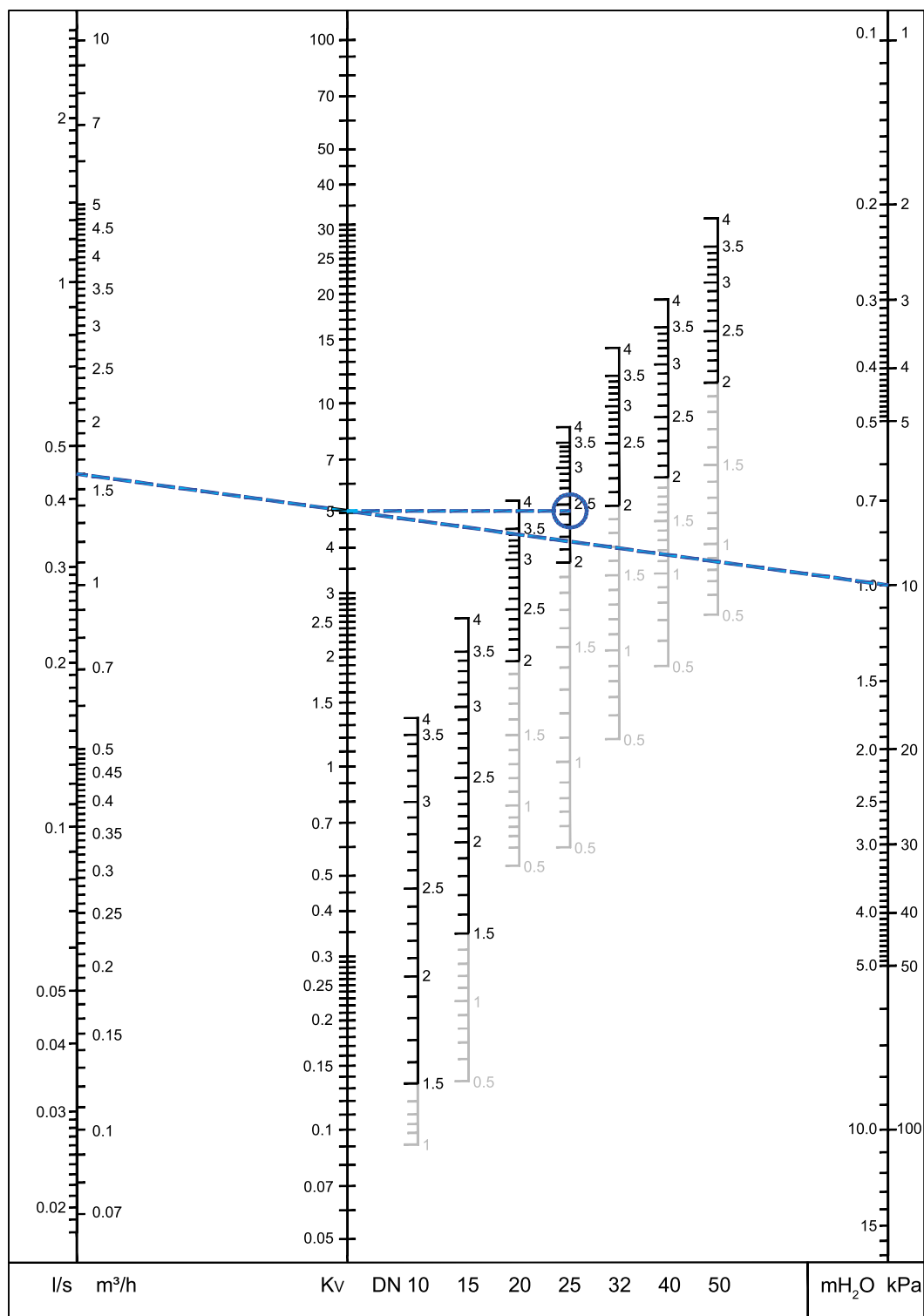
Pokud hodnoty průtoku leží mimo diagram, čtení potřebných hodnot proveďte takto:

použijeme-li předchozí příklad, máme tlakovou ztrátu 10 kPa, Kv = 5,06 a průtok 1,6 m³/h.

Při 10 kPa a Kv = 0,506 dostaneme průtok 0,16 m³/h, při Kv = 50,6 dostáváme průtok 16 m³/h.

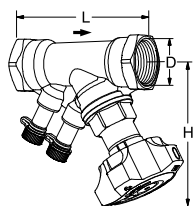
To znamená, že pro danou tlakovou ztrátu je možné odečíst také 10x nebo 0,1x průtok a Kv hodnotu.

## Diagram



**POZN:** V programech (HySelect, HyTools) a vyvažovacích přístrojích (TA-SCOPE) bude nový STAD, verze PN 25, označen jako STAD\*.

## S vnitřní závit

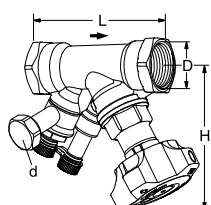


### Bez vypouštění

Vnitřní závit.

Závity dle ISO 228. Délka závitů dle ISO 7/1.

DN	D	L	H	Kvs	Kg	Objednací č.
10*	G3/8	73	100	1,36	0,44	52 851-010
15*	G1/2	84	100	2,56	0,47	52 851-015
20*	G3/4	94	100	5,39	0,55	52 851-020
25	G1	105	105	8,59	0,68	52 851-025
32	G1 1/4	121	110	14,2	1,0	52 851-032
40	G1 1/2	126	120	19,3	1,4	52 851-040
50	G2	155	120	32,3	2,0	52 851-050



### S vypouštěním

Vnitřní závit.

Závity dle ISO 228. Délka závitů dle ISO 7/1.

DN	D	L	H	Kvs	Kg	Objednací č.
<b>d = G3/4</b>						
10*	G3/8	73	100	1,36	0,53	52 851-610
15*	G1/2	84	100	2,56	0,56	52 851-615
20*	G3/4	94	100	5,39	0,64	52 851-620
25	G1	105	105	8,59	0,77	52 851-625
32	G1 1/4	121	110	14,2	1,1	52 851-632
40	G1 1/2	126	120	19,3	1,5	52 851-640
50	G2	155	120	32,3	2,1	52 851-650

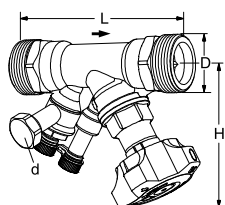
→ = Směr průtoku

Kvs = m³/h při tlakové ztrátě 1 bar a plně otevřeném ventilu.

\*) Lze připojit také pomocí KOMBI svěrných šroubení.

**POZN:** V programech (HySelect, HyTools) a vyvažovacích přístrojích (TA-SCOPE) bude nový STAD, verze PN 25, označen jako STAD\*.

## S vnější závit (STADA)



### S vypouštěním

Vnější závit.

Závity dle ISO 228. Délka závitů dle DIN 3546.

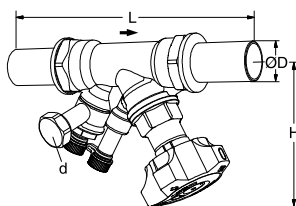
DN	D	L	H	Kvs	Kg	Objednací č.
<b>d = G3/4</b>						
10*	G1/2	95	100	1,36	0,56	52 852-610
15*	G3/4	108	100	2,56	0,61	52 852-615
20*	G1	122	100	5,39	0,74	52 852-620
25	G1 1/4	137	105	8,59	1,0	52 852-625
32	G1 1/2	157	110	14,2	1,4	52 852-632
40	G2	166	120	19,3	2,1	52 852-640
50	G2 1/2	200	120	32,3	3,0	52 852-650

→ = Směr průtoku

Kvs = m³/h při tlakové ztrátě 1 bar a plně otevřeném ventilu.

**POZN:** V programech (HySelect, HyTools) a vyvažovacích přístrojích (TA-SCOPE) bude nový STAD, verze PN 25, označen jako STAD\*.

## S hladkými konci



### S vypouštěním

Připojení s hladkými konci pro svěrné šroubení.

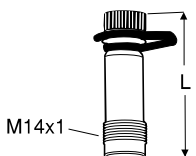
DN	D	L	H	Kvs	Kg	Objednací č.
<b>d = G3/4</b>						
10*	12	131	100	1,36	0,59	52 848-610
15*	15	148	100	2,56	0,66	52 848-615
20*	22	176	100	5,39	0,80	52 848-620
25	28	203	105	8,59	0,99	52 848-625
32	35	230	110	14,2	1,5	52 848-632
40	42	256	120	19,3	2,0	52 848-640
50	54	305	120	32,3	2,9	52 848-650

→ = Směr průtoku

Kvs = m<sup>3</sup>/h při tlakové ztrátě 1 bar a plně otevřeném ventilu.

**POZN:** V programech (HySelect, HyTools) a vyvažovacích přístrojích (TA-SCOPE) bude nový STAD, verze PN 25, označen jako STAD\*.

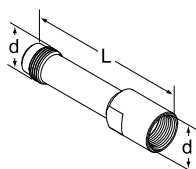
## Příslušenství



### Vsuvky pro měření

Max. 120 °C (krátkodobě 150 °C)  
AMETAL®/EPDM

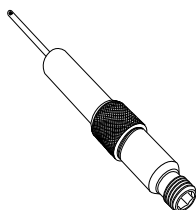
L	Objednací č.
44	52 179-014
103	52 179-015



### Prodloužení měřicí vsuvky M14x1

Vhodné pro izolované ventily.  
AMETAL®

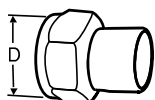
d	L	Objednací č.
M14x1	71	52 179-016



### Vsuvky pro měření, prodloužení 60 mm

Může být montováno bez vypouštění soustavy.  
AMETAL®/nerezová ocel/EPDM

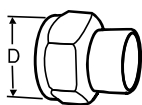
L	Objednací č.
60	52 179-006



### Připojení pro navaření

Převlečná matice  
Max. 120°C  
Mosaz/ocel 1.0045 (EN 10025-2)

Ventil DN	D	Trubka DN	Objednací č.
10	G1/2	10	52 009-010
15	G3/4	15	52 009-015
20	G1	20	52 009-020
25	G1 1/4	25	52 009-025
32	G1 1/2	32	52 009-032
40	G2	40	52 009-040
50	G2 1/2	50	52 009-050

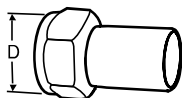
**Připojení pro pájení**

Převlečná matice

Max. 120°C

Mosaz/bronz CC491K (EN 1982)

Ventil DN	D	Trubka Ø	Objednací č.
10	G1/2	10	52 009-510
10	G1/2	12	52 009-512
15	G3/4	15	52 009-515
15	G3/4	16	52 009-516
20	G1	18	52 009-518
20	G1	22	52 009-522
25	G1 1/4	28	52 009-528
32	G1 1/2	35	52 009-535
40	G2	42	52 009-542
50	G2 1/2	54	52 009-554

**Připojení s hladným koncem**

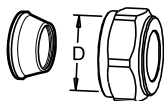
pro připojení pomocí svěrných šroubení

Převlečná matice

Max. 120°C

Mosaz/AMETAL®

Ventil DN	D	Trubka Ø	Objednací č.
10	G1/2	12	52 009-312
15	G3/4	15	52 009-315
20	G1	18	52 009-318
20	G1	22	52 009-322
25	G1 1/4	28	52 009-328
32	G1 1/2	35	52 009-335
40	G2	42	52 009-342
50	G2 1/2	54	52 009-354

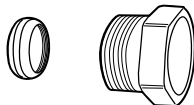
**Svěrná šroubení**

Max. 100°C

Mosaz/AMETAL®

Doporučujeme použít opěrná pouzdra,  
viz. samostatný katalog FPL.

Ventil DN	D	Trubka Ø	Objednací č.
10	G1/2	8	53 319-208
10	G1/2	10	53 319-210
10	G1/2	12	53 319-212
10	G1/2	15	53 319-215
10	G1/2	16	53 319-216
15	G3/4	15	53 319-615
15	G3/4	18	53 319-618
15	G3/4	22	53 319-622

**Svěrné šroubení KOMBI**

Max. 100°C

(Viz samostatný katalog KOMBI.)

Vnější závit svěrné matice	Průměr potrubí	Objednací č.
G3/8	8	53 235-103
G3/8	10	53 235-104
G3/8	12	53 235-107
G1/2	10	53 235-109
G1/2	12	53 235-111
G1/2	14	53 235-112
G1/2	15	53 235-113
G1/2	16	53 235-114
G3/4	15	53 235-117
G3/4	18	53 235-121
G3/4	22	53 235-123

**reflex**

Thinking solutions.

# Membránové expanzní nádoby



Reflex, Refix



# Co jsou membránové expanzní

Správný tlak, stejně tak jako pro zařízení zvyšující tlak, je základním předpokladem bezchybné funkce otopné, chladicí či solární soustavy. Je důležité udržovat vodu v rovnovážném stavu, kompenzovat změny objemu při udržování konstantního tlaku a současně zamezit separaci plynu a kavitaci. Membránové expanzní nádoby nabízejí inteligentní a jednoduché řešení. Pracují jako ideální kompenzátory a akumulátory bez použití elektrické energie, kompresoru či čerpadla.

Princip funkce je jednoduchý: Membrána rozděluje nádobu na vodní a plynovou část a zabráňuje pronikání plynu do vody. Do soustavy je nádoba připojena hrdlem ve vodní části nádoby. Z výroby je plynová část nádoby natlakována pomocí vzduchového ventilku. Vzduchový polštář v plynové části omezuje naplnění nádoby přibližně na jednu třetinu objemu nádoby.

Reflex nabízí membránové expanzní nádoby ve dvou základních provedeních:

## Reflex pro uzavřené otopné, solární a chladicí soustavy



Reflex DT a DD pro pitnou vodu a Reflex DE, DC a HW pro užitkovou vodu a speciální aplikace, například solankové okruhy tepelných čerpadel



Nádoby Reflex pro pitnou a užitkovou vodu jsou certifikovány podle mnohých mezinárodních standardů.



ACS



# nádoby?

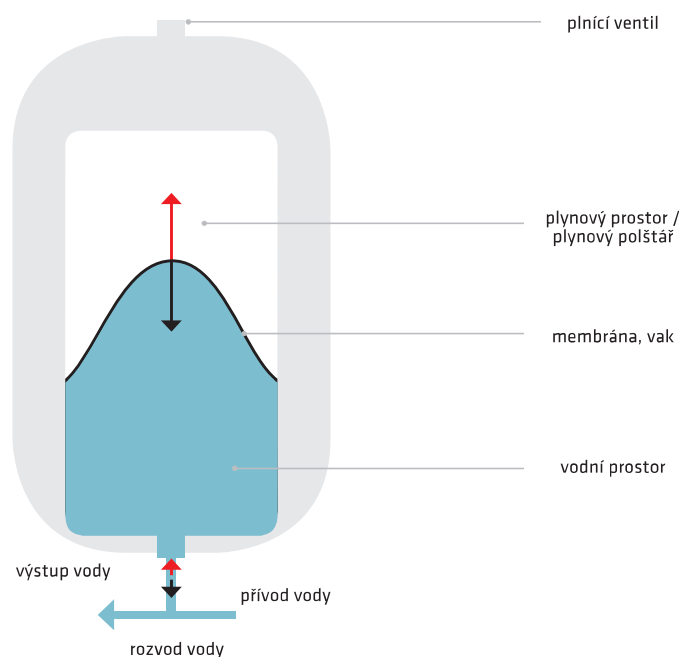
## Expanzní nádoby

Úkolem expanzní nádoby je kompenzace rozdílu objemu při nejnižší a nejvyšší teplotě a udržení tlaku v optimálním rozsahu. Pro udržování tlaku v otopných, solárních a chladicích soustavách jsou nabízeny nádoby řady Reflex a pro soustavy ohřevu TV nádoby řady Reflex.

## Akumulační nádoby

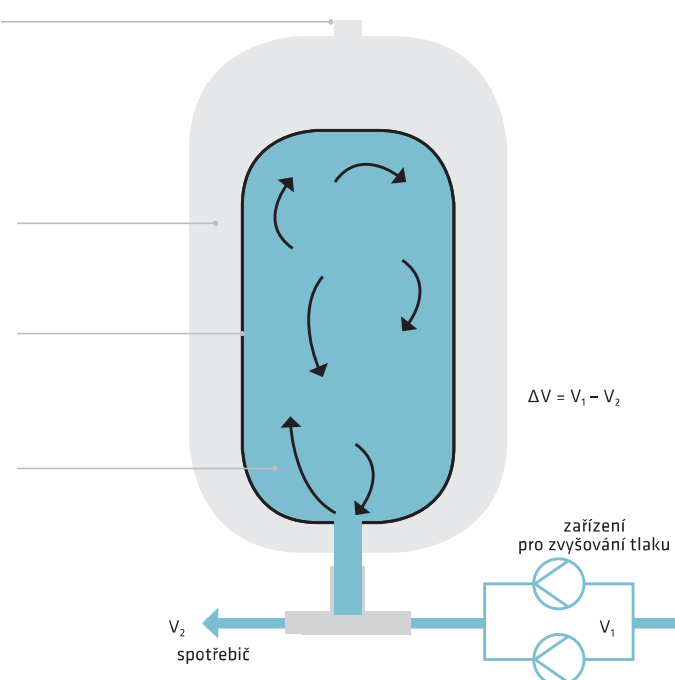
Úkolem akumulčních nádob je kompenzace rozdílu mezi objemem, který je k dispozici a průtokem, který je odebírán. Pokud je účelem snížení počtu startů čerpadla, hovoříme o řídicích nádobách. Obvykle se v soustavách a zařízeních pro zvyšování tlaku používají nádoby Reflex jako akumulční nádoby, naproti tomu nádoby Reflex se používají jako řídicí nádoby u zařízení pro udržování tlaku.

### Příklad použití nádoby Reflex v otopné soustavě



Plynový polštář udržuje hladinu vody zařízení a nastavuje se před samotným naplněním nádoby vodou ze soustavy. S natopením soustavy dochází k nárůstu tlaku spolu s přepouštěním zvětšeného objemu ze soustavy do nádoby. Plynový polštář je stlačován a tlak stoupá. S chladnutím soustavy dochází ke smrštění objemu a snižování tlaku. Voda se z nádoby vrací do soustavy, což vede k uvolnění plynového polštáře a k snížení tlaku.

### Příklad pro použití nádoby Reflex pro zvýšení tlaku



Tlak plynu v plynovém prostoru je nastaven mírně pod zapínací tlak čerpadla. Při podkročení zapínacího tlaku spíná čerpadlo a tlačí vodu do nádoby a soustavy. Odebírá-li se na odběrném místě méně než je průtok čerpadla, je voda akumulována do nádoby tak dlouho dokud se nedosáhne vypínacího tlaku. Začne-li se z odběrného místa odebírat, úbytek vody v nádobě kompenzuje stlačený plynový polštář tak dlouho, dokud opět neklesne tlak pod spínací mez čerpadla a čerpadlo sepně.

# Reflex pro otopné, chladičí a so

Produktová řada Reflex nabízí řešení pro jakékoliv soustavy, všech tlaků a objemů a podle místa instalace v plochém nebo válcovém provedení s pevnou membránou a nebo vyměnitelným vakem.

## Membránové expanzní nádoby řady N a G

Reflex N se řadí mezi světově nejpoužívanější malé expanzní nádoby. Praxí osvědčená konstrukce s pevně vestavěnou membránou, která díky rovnoměrnému symetrickému zatížení vykazuje velkou spolehlivost. Vyměnitelný vak u nádob Reflex G umožňuje opravitelnost a možnost revize objemnějších nádob.

Jmenovitý objem	8–5000 l
Přípustný provozní tlak	3, 6, 10 bar
Přípustná provozní teplota (nádob / membrána)	120 °C/70 °C
Provedení	od objemu 35 l s nožičkami
Specifikace	u Reflex G na vyžádání
Barva	šedá, NG8 - NG80 také bílá



## Membránové expanzní nádoby řady S

Reflex S je speciálně konstruovaná nádoba pro vysoký obsah nemrznoucí směsi až do 50 % a tlak 10 bar. Jejich použití je také vhodné pro soustavy chlazení.

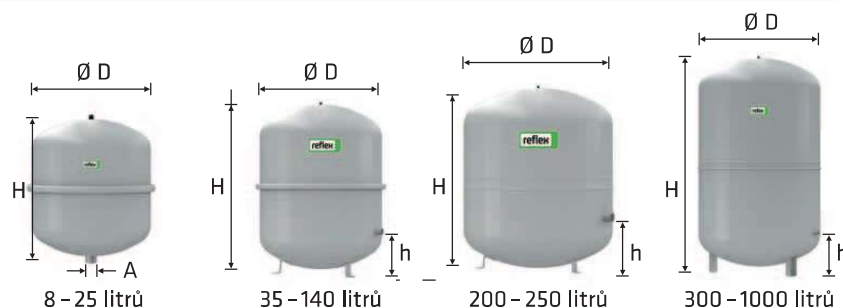
Jmenovitý objem	2–600 l
Přípustný provozní tlak	10 bar
Přípustná provozní teplota (nádob / membrána)	120 °C/70 °C
Provedení	od objemu 50 l s nožičkami
Barva	šedá, S8-S33 také bílá



# Technická data Reflex

## Reflex NG, N

- pro uzavřené soustavy topení a chlazení
- závitové připojení
- od 35 litrů stojaté provedení
- membrána podle DIN EN 13831
- přípustná teplota 70 °C
- koncentrace glykolu max 30 %
- schválení podle směrnice pro tlaková zařízení 97/23/EG



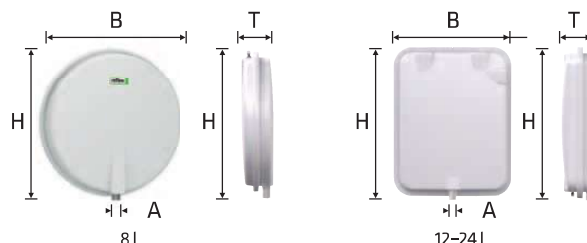
6 bar	Typ *	Obj. číslo		Počet	Hmotnost	Ø D	H	h	A	Přetlak plynu
	6 bar / 120 °C	šedá	bílá	na paletě	(kg)	(mm)	(mm)	(mm)		(bar)
	NG 8/6	8230100	7230107	96	1,6	206	285	-	R ¾	1,5
	NG 12/6	8240100	7240107	72	2,4	280	275	-	R ¾	1,5
	NG 18/6	8250100	7250107	56	3,4	280	345	-	R ¾	1,5
	NG 25/6	8260100	7260107	42	4,2	280	465	-	R ¾	1,5
	NG 35/6	8270100	7270107	24	4,8	354	460	130	R ¾	1,5
	NG 50/6	8001011	7001100	24	5,7	409	493	175	R ¾	1,5
	NG 80/6	8001211	7001300	12	8,7	480	565	175	R 1	1,5
	NG 100/6	8001411	7001500	10	11,4	480	670	175	R 1	1,5
	NG 140/6	8001611	7001700	6	13,1	480	912	175	R 1	1,5
6 bar	N 200/6	8213300	-	4	22,0	634	758	205	R 1	1,5
	N 250/6	8214300	-	4	24,7	634	888	205	R 1	1,5
	N 300/6	8215300	-	-	27,0	634	1092	235	R 1	1,5
	N 400/6	8218000	-	-	47,0	740	1102	245	R 1	1,5
	N 500/6	8218300	-	-	52,0	740	1321	245	R 1	1,5
	N 600/6	8218400	-	-	66,0	740	1531	245	R 1	1,5
	N 800/6	8218500	-	-	96,0	740	1996	245	R 1	1,5
	N 1000/6	8218600	-	-	118,0	740	2406	245	R 1	1,5

↑ V<sub>n</sub> jmenovitý objem v litrech / tlak

\* pro soustavy s maximální teplotou výstupní větve 120 °C

## Reflex F

- ploché expanzní nádoby pro topné a chladicí soustavy, vhodné pro vestavbu do kotlů
- membrána podle DIN EN 13831, přípustná teplota 70 °C
- od 18 litrů s montážním závěsem
- schválení podle směrnice pro tlaková zařízení 97/23 EG



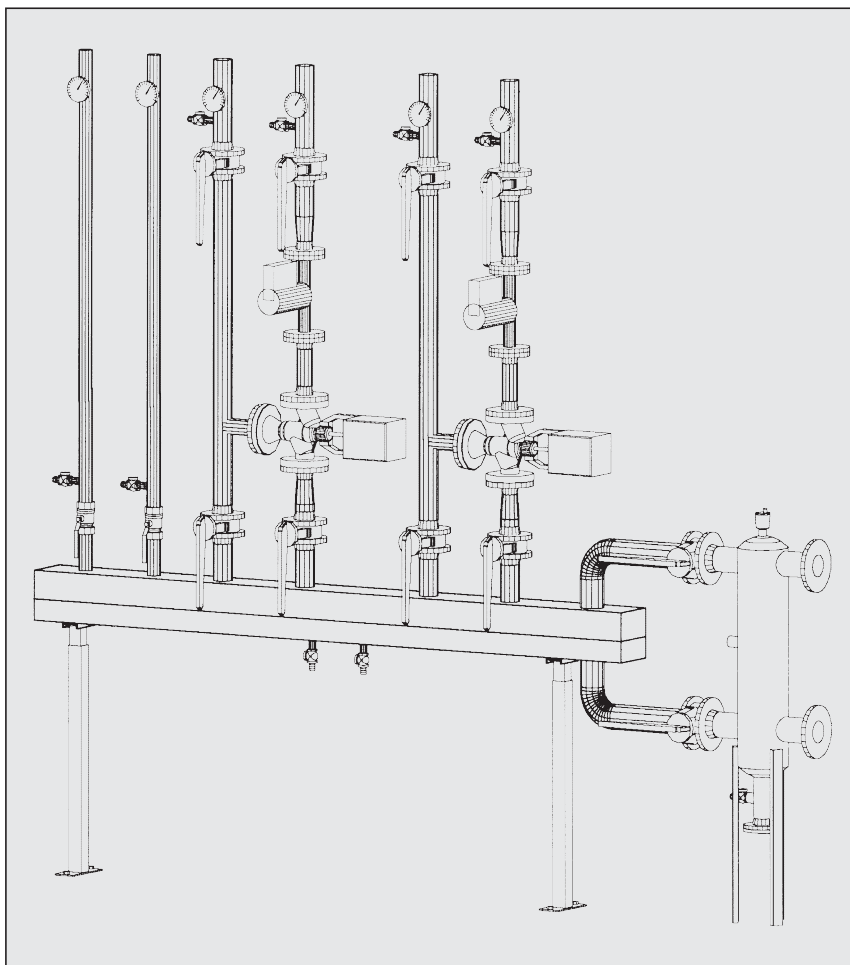
3 bar	Typ *	Obj. číslo		Počet	Hmotnost	B	H	T	A	Přetlak plynu
	3 bar / 120 °C	bílá		na paletě	(kg)	(mm)	(mm)	(mm)		(bar)
	F 8/3	9600011		54	6,3	389	389	88	G ¾	0,75
	F 12/3	9600030		36	7,7	444	350	108	G ½	1,0
	F 15/3	9600040		36	8,2	444	350	134	G ¾	1,0
	F 18/3	9600000		28	8,7	444	350	158	G ¾	1,0
	F 24/3	9600010		25	9,4	444	350	180	G ¾	1,0

↑ V<sub>n</sub> jmenovitý objem v litrech / tlak

\* pro soustavy s maximální teplotou výstupní větve 120 °C


**TECHNOLOGICKÁ ZAŘÍZENÍ PRO KOTELNY A PŘEDÁVACÍ STANICE • TEPELNÁ ČERPADLA**

# Kombinovaný rozdělovač se sběračem RS KOMBI, RS MINI a RS UNIVERSAL



Kombinovaný rozdělovač se sběračem se stal nedílnou součástí novodobé technologie kotelen, předávacích stanic a jejich strojoven. Jeho instalací dochází k výraznému zjednodušení (a zlevnění) vedení potrubních tras a k celkové přehlednosti jednotlivých větví.



**Autorizovaný distributor deskových  
výměníků společnosti Alfa Laval**



### VÝHODY OPROTI KLASICKÉMU PROVEDENÍ

- odpadá rozdělovač a sběrač jako dvě samostatná tělesa,
- odpadá složitá propojení třetí cesty při ekvitermní regulaci několika větví,
- snadné vedení potrubních tras, odpadá křížení potrubí,
- minimální prostorová náročnost,
- přehlednost jednotlivých větví,
- vstupní a výstupní hrdla je možné dle přání vyrobit do stran, dolů nebo do čela,
- dle dispozice místa osazení lze vyrobit RS KOMBI zalomený pod zadaným úhlem,  
**ale hlavně!!!!**

## RS KOMBI si velmi snadno a rychle sami navrhnete a určíte jeho cenu s pomocí návrhového programu!!!

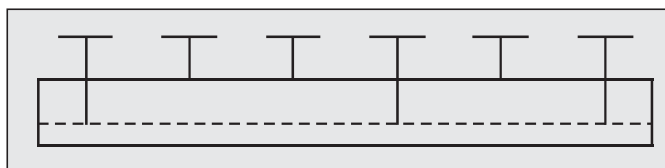
Princip spočívá v napojení přírodního a vratného potrubí souběžně do oddělených komor RS KOMBI. Mezi přírodním a vratným potrubím lze potom snadno umístit směšovací ventily, oběhová čerpadla a další armatury.

Při stanovení rozteče jednotlivých hrdel je nutné vycházet z rozměrů následně osazených armatur, aby byly volně manipulovatelné. Standardně jsou hrdla délky 150mm s přírubami nebo závitovými hrdly v jedné rovině (obr. 1a). Je však možné tato hrdla přizpůsobit armaturám tak, aby osy ovládacích prvků armatur byly

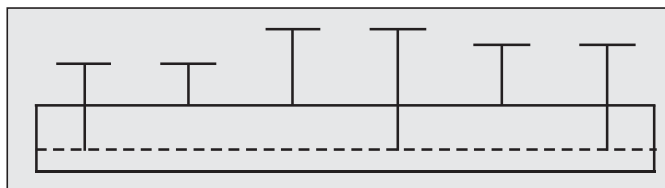
v jedné rovině (obr. 1b). Toto řešení je předmětem individuální dohody při objednávce a výšky jednotlivých hrdel stanovuje projektant nebo zákazník.

Při návrhu jednotlivých dimenzí RS při daném MODULu je třeba dát pozor na tzv. kritický průřez (obr. 2). Jednoduše řečeno, pro konkrétní MODUL je vždy omezení pro použití max. dimenze hrdla, ovšem i tato dimenze je závislá na umístění vůči ostatním odběrům. Máte-li pochybnosti a obáváte-li se případných hydraulických problémů, konzultujte řešení s výrobcem.

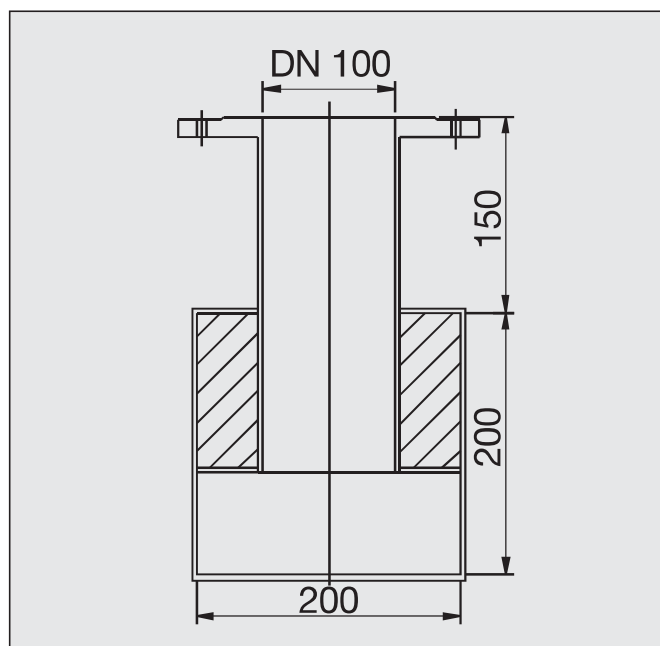
**Obr. 1a: Hrdla přírub v jedné rovině, standardní délky 150mm**



**Obr. 1b: Hrdla přírub osazená dle roviny středových os armatur, délky musí určit projektant**



**Obr. 2: Ukázka MODULU 200 v kritickém průřezu**



Moduly, které vyjadřují délku jedné strany čtverce řezu RS KOMBI obou komor dohromady (obr. 2), jsou stanoveny vzhledem k přenášenému výkonu při  $\Delta t = 20$ , respektive k průtočnému množství. Vychází se z předpokladu, kdy hlavní přívod od zdroje tepla a zpátečka k němu je na RS KOMBI napojena na jeho jednom konci (obr. 3a,b). První z kraje by měla být zpátečka ke zdrojům tepla, tedy výstup ze spodní komory – sběrače. Pokud to dispoziční řešení umožňuje, je vhodné hlavní přívod a zpátečku napojit ve středu RS KOMBI (obr. 4a,b) a rovnoměrně rozdělit odběry na obě strany. Tím se docílí zmenšení potřebného modulu odpovídající až polovičnímu průtočnému množství, respektive výkonu při  $\Delta t = 20$ .

Rozdělovač je také možné vyrobit s izolační vrstvou mezi komorami a průchozími hrdly. Toto řešení je efektivní pouze u velkých systémů při  $\Delta t$  větším než 20. Tato vrstva má potom především význam dilatační z důvodu rozdílné roztažnosti materiálu jednotlivých komor při jejich rozdílné teplotě vody. Svůj význam může také plnit u chladících soustav, kdy se pracuje

s malým teplotním spádem a je důležitý každý stupeň. RS KOMBI s meziizolací nelze navrhovat s pomocí návrhového programu na CD ROMu.

#### ÚDAJE PRO OBJEDNÁVKU

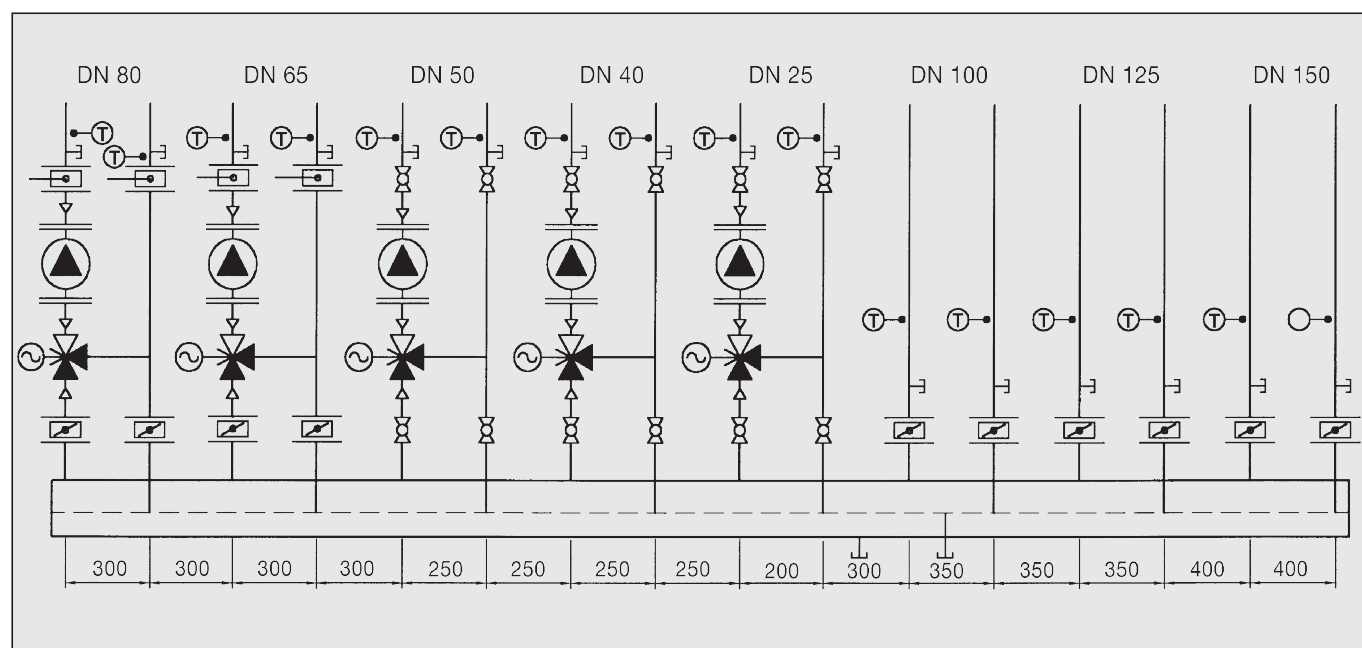
- jednočarový výkres-náčrtek RS KOMBI, ze kterého budou patrné rozteče, umístění a dimenze jednotlivých hrdel, včetně rozlišení, zda-li se jedná o závitová nebo přírubová (zde také určit PN), dále celková délka a případné umístění návarků pro manometry, teploměry a vypouštěcí kohouty.
- celkový výkon zdroje tepla přenášený RS KOMBI při  $\Delta t=20$  nebo průtočné množství,
- optimálním způsobem je předání výkresu vytvořeného s pomocí návrhového programu faxem nebo e-mailem,
- počet a typ podpěr.

RS jsou dodávány v základním nátěru s plastickými krytkami jednotlivých hrdel.

<b>Q<sub>max</sub> = [m<sup>3</sup>/hod]</b>	6	10	15	23	42	65	95	130
<b>do výkonu [kW] při <math>\Delta t=20</math></b>	120	250	350	550	1000	1500	2100	3000
<b>MODUL</b>	80	100	120	150	200	250	300	350
<b>Průtok. průřez komor S<sub>p</sub> (m<sup>2</sup>)</b>	0,0019	0,0028	0,0040	0,0070	0,0114	0,0176	0,0271	0,0380
<b>Max. délka (m)</b>	1,5	2,0	3,0					

Těla všech RS KOMBI standardně PN 0,6MPa, teplota 110 °C. Maximální rychlost proudění vody v tělese je 1,0 m/s.

**Obr.5: Doporučené minimální rozteče jednotlivých hrdel v závislosti na jejich dimenzích**







**TECHNOLOGICKÁ ZAŘÍZENÍ PRO KOTELNY A PŘEDÁVACÍ STANICE • TEPELNÁ ČERPADLA**

# Svařence



HVDT s izolací



Trubkový rozdělovač



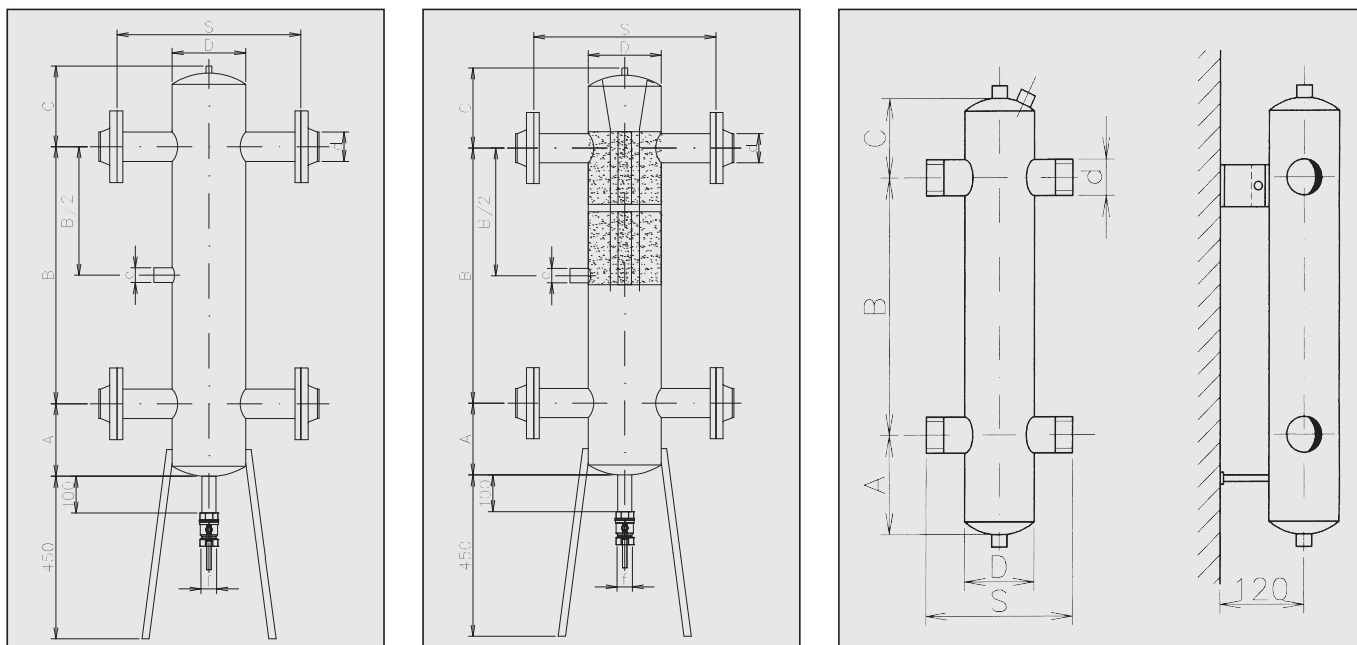
Trubkový rozdělovač



**Autorizovaný distributor deskových  
výměníků společnosti Alfa Laval**



## HYDRAULICKÝ VYROVNÁVAČ DYNAMICKÝCH TLAKŮ HVDT



Hydraulický vyrovnávač dynamických tlaků je určen pro hydraulické oddělení zdrojů tepla od otopné soustavy. Instalací HVDT se odstraní problémy s přebytky dynamických tlaků čerpadel a upraví se celkové hydraulické poměry v síti.

Odvozeným výrobkem s vestavbou pro absorpční odplynění je hydraulický vyrovnávač dynamických tlaků speciál HVDT-S, který slučuje funkci kontinuálního odplyňování topného média s hydraulickou stabilizací okruhů otopné soustavy.

**Podmínkou správné funkce HVDT je poměr průtoků topné vody mezi kotlovým okruhem a topnou soustavou. Průtok**

**kotlovým okruhem by měl být o 5-10% větší, než-li průtok otopnou soustavou.** Dodávka je včetně protipřírub PN 6.

**Popis funkce HVDT – Instalací HVDT se zajistí:**

- přebytek dynamického tlaku oběhových čerpadel kotlového okruhu přenášený do otopné soustavy se vyruší;
- oddělí se otopná soustava bez zásahu do hydraulické stability kotlového okruhu;
- průtok vody kotlovým okruhem není ovlivněn otopnou soustavou.

### HVDT – ZÁKLADNÍ ROZMĚRY

TYP HVDT	MAX. PRŮTOK (m³/hod)	A (mm)	B (mm)	C (mm)	D (mm)	L (mm)	S (mm)	d (mm)	e (mm)	f
24B	1,8	100	300	65	89	485	169	5/4"	-	-
63B	2,5	110	380	80	108	600	208	6/4"	-	-
1B	4,0	110	400	100	108	600	208	2"	-	-
I	4,0	100	400	100	108	1050	400	57	1"	5/4"
II	8,0	150	500	100	159	1200	400	76	1"	5/4"
III	12,0	200	700	200	219	1550	500	89	1"	5/4"
IV	20,0	200	700	200	219	1550	500	108	5/4"	5/4"
V	30,0	250	900	200	273	1800	560	133	6/4"	6/4"
VI	50,0	300	1000	200	324	1950	620	159	6/4"	6/4"
Vla	80,0	400	1300	250	424	2400	750	219	2"	6/4"
VII	100,0	450	1500	250	508	2650	800	219	2 1/2"	6/4"

\* HVDT 24B, 63B a 1B nemají stojny, jsou určeny k uchycení na zeď (součástí dodávky je nástěnná konzola) a mají vnější závit; povrchová úprava: vrchní bílá barva radiátorová.

### ORIGINÁLNÍ TEPELNÁ IZOLACE Z PUR PĚNY S VNĚJŠÍ POVRCHOVOU AL ÚPRAVOU

Ke každému HVDT lze nyní objednat i originální tepelnou izolaci z PUR pěny s vnější povrchovou AL úpravou. Jednotlivé výstupní hrdla se již neizolují.

Izolace je dodávána volně, rozložená na dvě poloviny, které se nasadí na tělo HVDT a následně spojí. Povrchová úprava i vlastní

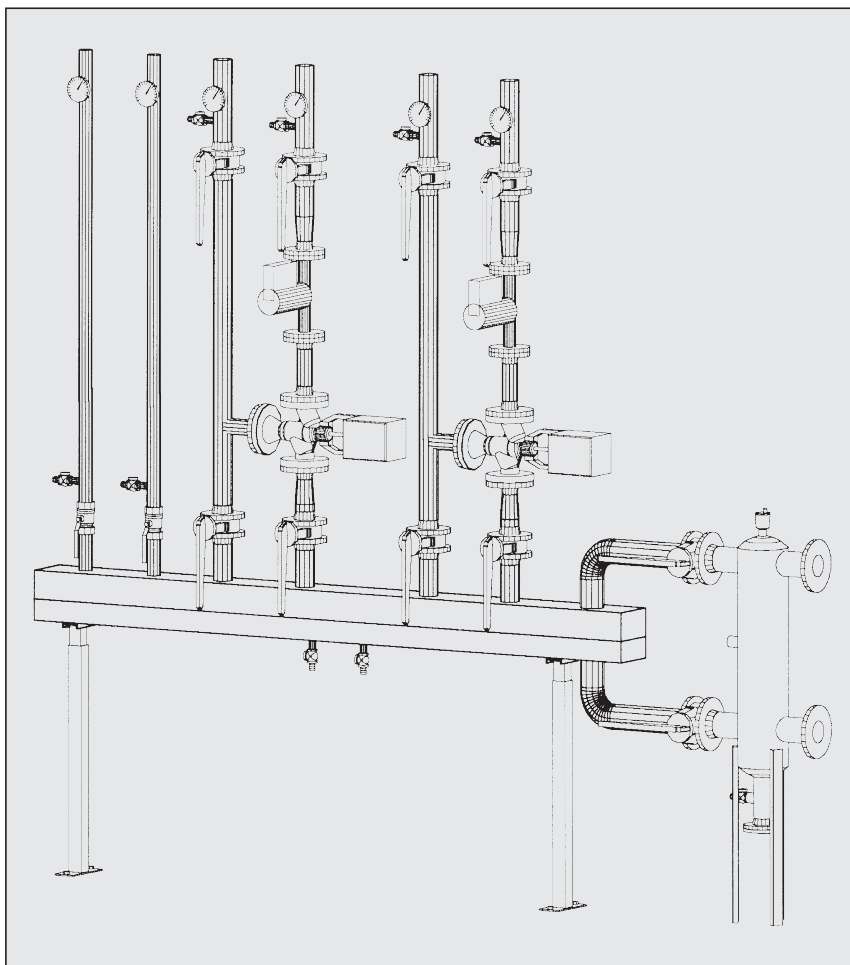
PUR pěna je citlivá na poškození, doporučujeme nasazení izolace těsně před předáním díla.

Pro aktuální cenu prosím laskavě kontaktujte vašeho obchodníka – dodavatele.




**TECHNOLOGICKÁ ZAŘÍZENÍ PRO KOTELNY A PŘEDÁVACÍ STANICE • TEPELNÁ ČERPADLA**

# Kombinovaný rozdělovač se sběračem RS KOMBI, RS MINI a RS UNIVERSAL



Kombinovaný rozdělovač se sběračem se stal nedílnou součástí novodobé technologie kotelen, předávacích stanic a jejich strojoven. Jeho instalací dochází k výraznému zjednodušení (a zlevnění) vedení potrubních tras a k celkové přehlednosti jednotlivých větví.



**Autorizovaný distributor deskových  
výměníků společnosti Alfa Laval**



### VÝHODY OPROTI KLASICKÉMU PROVEDENÍ

- odpadá rozdělovač a sběrač jako dvě samostatná tělesa,
- odpadá složitá propojení třetí cesty při ekvitermní regulaci několika větví,
- snadné vedení potrubních tras, odpadá křížení potrubí,
- minimální prostorová náročnost,
- přehlednost jednotlivých větví,
- vstupní a výstupní hrdla je možné dle přání vyrobit do stran, dolů nebo do čela,
- dle dispozice místa osazení lze vyrobit RS KOMBI zalomený pod zadaným úhlem,  
**ale hlavně!!!!**

### RS KOMBI si velmi snadno a rychle sami navrhnete a určíte jeho cenu s pomocí návrhového programu!!!

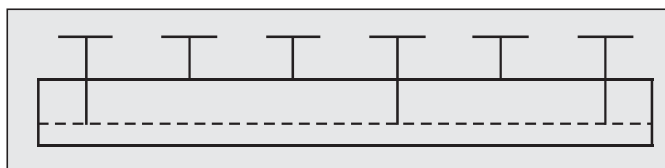
Princip spočívá v napojení přírodního a vratného potrubí souběžně do oddělených komor RS KOMBI. Mezi přírodním a vratným potrubím lze potom snadno umístit směšovací ventily, oběhová čerpadla a další armatury.

Při stanovení rozteče jednotlivých hrdel je nutné vycházet z rozměrů následně osazených armatur, aby byly volně manipulovatelné. Standardně jsou hrdla délky 150mm s přírubami nebo závitovými hrdly v jedné rovině (obr. 1a). Je však možné tato hrdla přizpůsobit armaturám tak, aby osy ovládacích prvků armatur byly

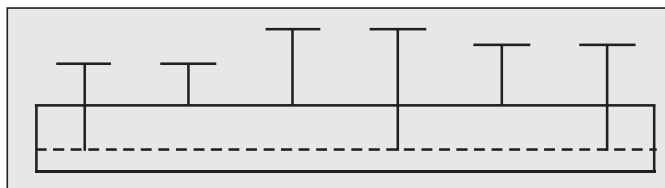
v jedné rovině (obr. 1b). Toto řešení je předmětem individuální dohody při objednávce a výšky jednotlivých hrdel stanovuje projektant nebo zákazník.

Při návrhu jednotlivých dimenzí RS při daném MODULu je třeba dát pozor na tzv. kritický průřez (obr. 2). Jednoduše řečeno, pro konkrétní MODUL je vždy omezení pro použití max. dimenze hrdla, ovšem i tato dimenze je závislá na umístění vůči ostatním odběrům. Máte-li pochybnosti a obáváte-li se případných hydraulických problémů, konzultujte řešení s výrobcem.

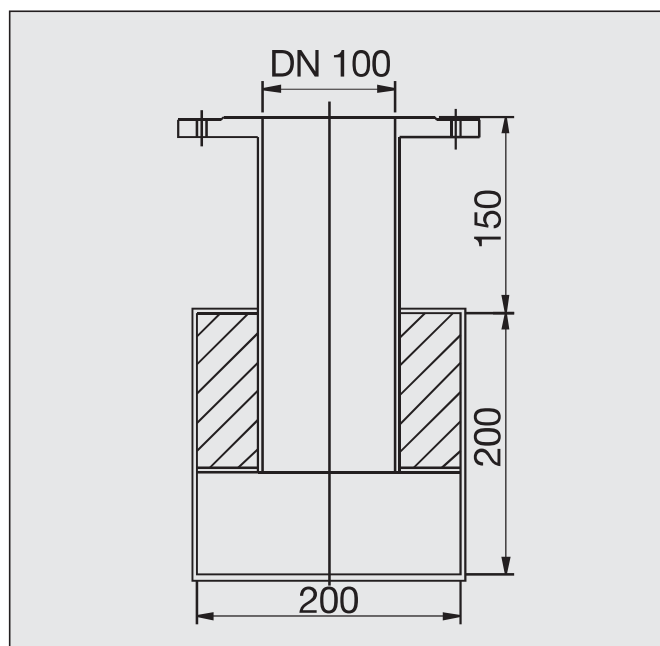
**Obr. 1a: Hrdla přírub v jedné rovině, standardní délky 150mm**



**Obr. 1b: Hrdla přírub osazená dle roviny středových os armatur, délky musí určit projektant**



**Obr. 2: Ukázka MODULU 200 v kritickém průřezu**



Moduly, které vyjadřují délku jedné strany čtverce řezu RS KOMBI obou komor dohromady (obr. 2), jsou stanoveny vzhledem k přenášenému výkonu při  $\Delta t = 20$ , respektive k průtočnému množství. Vychází se z předpokladu, kdy hlavní přívod od zdroje tepla a zpátečka k němu je na RS KOMBI napojena na jeho jednom konci (obr. 3a,b). První z kraje by měla být zpátečka ke zdrojům tepla, tedy výstup ze spodní komory – sběrače. Pokud to dispoziční řešení umožňuje, je vhodné hlavní přívod a zpátečku napojit ve středu RS KOMBI (obr. 4a,b) a rovnoměrně rozdělit odběry na obě strany. Tím se docílí zmenšení potřebného modulu odpovídající až polovičnímu průtočnému množství, respektive výkonu při  $\Delta t = 20$ .

Rozdělovač je také možné vyrobit s izolační vrstvou mezi komorami a průchozími hrdly. Toto řešení je efektivní pouze u velkých systémů při  $\Delta t$  větším než 20. Tato vrstva má potom především význam dilatační z důvodu rozdílné roztažnosti materiálu jednotlivých komor při jejich rozdílné teplotě vody. Svůj význam může také plnit u chladících soustav, kdy se pracuje

s malým teplotním spádem a je důležitý každý stupeň. RS KOMBI s meziizolací nelze navrhovat s pomocí návrhového programu na CD ROMu.

#### ÚDAJE PRO OBJEDNÁVKU

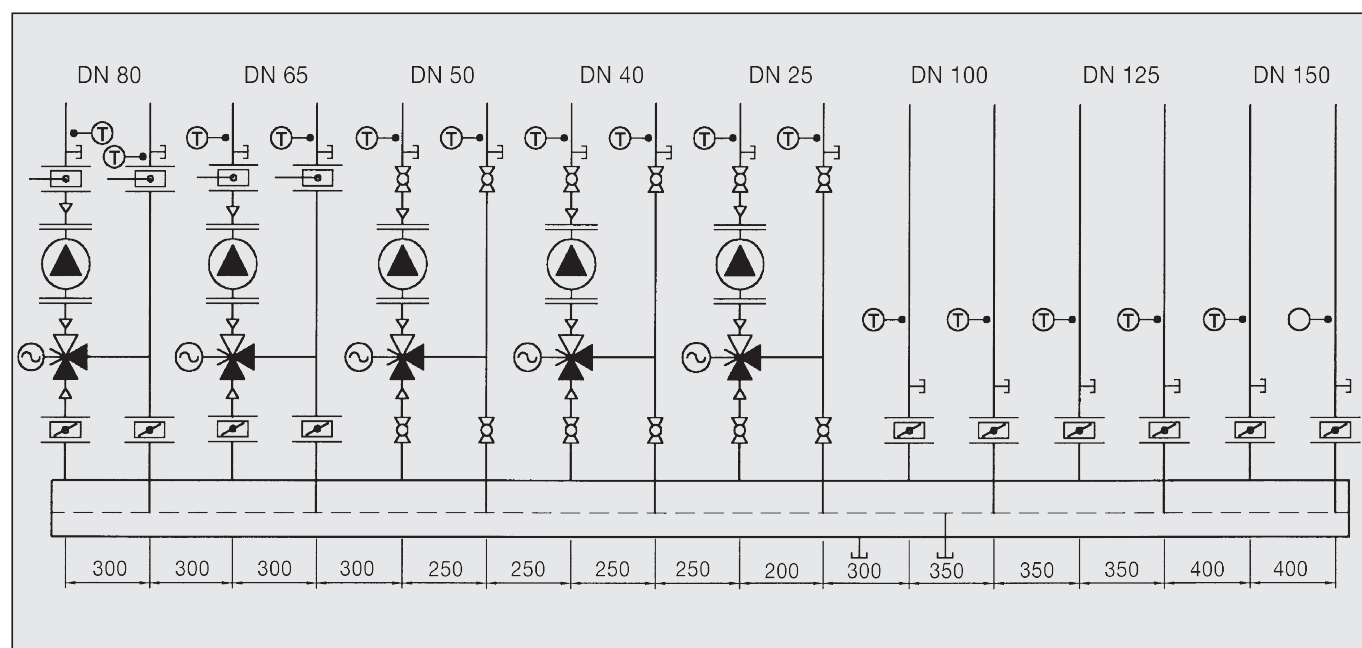
- jednočarový výkres-náčrtek RS KOMBI, ze kterého budou patrné rozteče, umístění a dimenze jednotlivých hrdel, včetně rozlišení, zda-li se jedná o závitová nebo přírubová (zde také určit PN), dále celková délka a případné umístění návarků pro manometry, teploměry a vypouštěcí kohouty.
- celkový výkon zdroje tepla přenášený RS KOMBI při  $\Delta t=20$  nebo průtočné množství,
- optimálním způsobem je předání výkresu vytvořeného s pomocí návrhového programu faxem nebo e-mailem,
- počet a typ podpěr.

RS jsou dodávány v základním nátěru s plastickými krytkami jednotlivých hrdel.

<b>Q<sub>max</sub> = [m<sup>3</sup>/hod]</b>	6	10	15	23	42	65	95	130
<b>do výkonu [kW] při <math>\Delta t=20</math></b>	120	250	350	550	1000	1500	2100	3000
<b>MODUL</b>	80	100	120	150	200	250	300	350
<b>Průtok. průřez komor S<sub>p</sub> (m<sup>2</sup>)</b>	0,0019	0,0028	0,0040	0,0070	0,0114	0,0176	0,0271	0,0380
<b>Max. délka (m)</b>	1,5	2,0	3,0					

Těla všech RS KOMBI standardně PN 0,6MPa, teplota 110 °C. Maximální rychlost proudění vody v tělese je 1,0 m/s.

**Obr.5: Doporučené minimální rozteče jednotlivých hrdel v závislosti na jejich dimenzích**





## Kombinovaný rozdělovač se sběračem



# INDIKÁTOR TOPNÝCH NÁKLADŮ

## Qundis Caloric 5.5



**Značkový dvoučidlový indikátor topných nákladů využívající nejmodernější technologii společnosti Qundis. Indikátor je dodáván v kompaktním provedení (pro přímou montáž na otopné těleso) s možností dodatečného připojení odděleného čidla a je určen především pro bytové domy, kanceláře a administrativní budovy.**

*Indikátor je dodáván ve dvou modifikacích, které se liší způsobem odečtu:*

### Provedení Caloric 5.5 Basic

Toto provedení umožňuje pouze vizuální odečet z vestavěného LCD displeje. Odečet je zabezpečen kontrolním číslem, takže nemůže dojít k situaci, že bude v rozúčtování použita chybná hodnota indikované spotřeby. Jeho předností je příznivá cena, jednoduchost a z toho vyplývající mimořádně vysoká spolehlivost a kvalita. Díky rozlišení vestavěných a náhradních plomb poskytuje indikátor nyní ještě vyšší úroveň zabezpečení. V přístroji je zaznamenána nejvyšší teplota média i počet hodin, kdy byla teplota média vyšší než 41 °C.

#### Základní charakteristika:

- vynikající poměr ceny a kvality
- vysoká přesnost a spolehlivost
- vysoká úroveň zabezpečení
- ochrana proti pokusům o ovlivnění
- roční odečet k naprogramovanému dni
- cyklické zobrazení údajů na přehledném LCD displeji
- zabezpečení odečtu kontrolním číslem
- programovatelný



### Provedení Caloric 5.5 AMR + Walk-by

Toto provedení indikátoru slučuje předchozí provedení indikátoru Caloric 5 AMR a indikátoru Caloric 5 Walk-by do jediného typu. S oběma předchozími typy je z hlediska indikace plně kompatibilní. Moderní indikátor umožňující rádiový odečet dat s jednosměrnou rádiovou komunikací bez nutnosti narušování soukromí uživatelů. V režimu Walk-by (odečet pochůzkou) je vysílání dat kontinuální, avšak v průběhu dne časově omezené a v průběhu roku omezené na 48 dnů. Indikátor může být naprogramován pro měsíční nebo roční odečet. To podstatně zvyšuje dobu životnosti baterie a omezuje míru rádiového smogu v objektu. V režimu AMR vysílá indikátor 365 dnů v roce a umožňuje začlenění do systému Smart Metering. Kromě indikátorů musí být v objektu osazeny komunikační centrály, které přijímají informace z indikátorů a měřidel a odesílají je do nadřazeného systému pomocí sítě internet nebo GSM. Oba režimy vysílání probíhají souběžně, což umožňuje bezproblémový přechod z jednoho systému dálkového odečtu na druhý. Rádiový přenos může probíhat v S nebo C módu\*.

\* **S mód** je kompatibilní s předchozí generací indikátorů. **C mód** bude dostupný později.

#### Základní charakteristika:

- podstatně omezuje rádiový smog v objektu
- vysoká přesnost a spolehlivost
- rádiový odečet v pásmu 868 MHz – jednosměrný přenos
- lze použít jak v pochůzkovém, tak i v uzlovém systému
- ochrana proti pokusům o ovlivnění
- kompatibilní s dalšími prvky Qundis
- programovatelný
- cyklické zobrazení údajů



**QUNDIS™**

#### Rádiový přenos v S-módu (\*)

Parametry rádiového přenosu	
Režim Walk-by <sup>(1)</sup>	Režim AMR
<b>Perioda:</b> každých 128 sekund	<b>Perioda:</b> každé 4 hodiny
<b>Čas:</b> 10 hodin denně (8: až 18:00 hod.)	<b>Čas:</b> 24 hodin denně
<b>Období:</b> - roční odečet: 48 dnů po začátku odečt. období - měsíční odečet: 4 dny po začátku každého kalendářního měsíce V týdnu se může vynechat pátek nebo sobota nebo neděle, z toho povinně alespoň jeden den a maximálně dva dny	
	<b>Období:</b> 7 dnů v týdnu, 365 dnů v roce

(\*) S mód je kompatibilní s předchozí generací indikátorů. Kompatibilní s rádiovým uzlem ENBRA Wireless Gateway nebo komunikačními uzly QUNDIS. Pochůzkový odečet možný pomocí odečtové sady ENBRA EWM

#### Rádiový přenos v C-módu (\*)

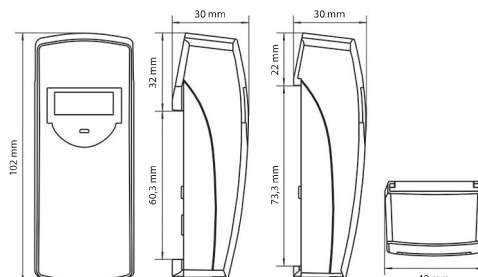
Parametry rádiového přenosu	
Režim Walk-by <sup>(1)</sup>	Režim OMS <sup>(2)</sup>
<b>Perioda:</b> každých 112 sekund	<b>Perioda:</b> každých 450 sekund
<b>Čas:</b> 10 hodin denně (8: až 18:00 hod.)	<b>Čas:</b> 24 hodin denně
<b>Období:</b> 365 dnů v roce	<b>Období:</b> 365 dnů v roce

(1) S použitím rádiového terminálu Q log 5.5 a software ACT46.PC V1.6., nebo pomocí odečtové sady ENBRA EWM.

(2) Specifikace „Open Metering System“. Kompatibilní s rádiovým uzlem ENBRA Wireless Gateway nebo komunikačními uzly QUNDIS nové generace.

(\*) C mód bude dostupný později

Označení produktu	
Caloric 5.5 Basic / AMR + Walk-by	
Počet snímačů teploty	2
Provedení	kompaktní
Teplotní rozsah použití	35–105 °C
Začátek měření při teplotním rozdílu	≥ 5 K
Životnost baterie	10 let
Teploty okolí během přepravy a skladování	od -25 °C do 60 °C
Rozměry (mm)	102 × 40 × 30





## MIRELON® PRO

PEF - EN 14313 - ST(+) 90 - WS 005 - CL 5 - PH 6,5

### Termoizolační trubice z pěnového polyetylenu s uzavřenou buněčnou strukturou

MIRELON® PRO jsou trubice určené k izolaci rozvodů teplé i studené vody, k izolaci vedení ústředního vytápění, k izolaci sanitárních rozvodů. Nejsou vhodné do teplot pod 0°C.

MIRELON® PRO je díky vynikající tepelné izolační vlastnosti, ohebnosti a snadné zpracovatelnosti ideálním tepelněizolačním materiálem rozvodů pro novostavby, adaptace a rekonstrukce.

#### Technická data:

- nelaminované provedení
- s podélným nářezem
- délka: 2 m (dle EN 14313:2009+A1:2013)
- tloušťka stěny: 6, 9, 13, 20, 25 mm (dle EN 14313:2009+A1:2013)
- vnitřní průměr: 6 až 134 mm (dle EN 14313:2009+A1:2013)

**Barva:** šedočerná

### *MIRELON® PRO – fyzikální vlastnosti*

Základní charakteristika		Vlastnost				Harmonizová technická specifikace
Tepelný odpor	Součinitel tepelné vodivosti W/m.K	°C	λ <sub>D</sub>	°C	λ <sub>D</sub>	EN 14313:2009+A1:2013
		0	0,044	50	0,057	
		10	0,046	90	0,069	
		20	0,049	X	X	
	Rozměry a tolerance					
	- tloušťka stěny	6 mm	+/- 1 mm	13 mm	+/- 2 mm	
		9 mm	+/- 1,5 mm	20 a 25 mm	+/- 2,5 mm	
	- délka trubice	L -1,5% + 2,5%				
- vnitřní průměr	do 35 mm +1 a + 4 mm, od 36 do 100 mm +2 až +6 mm, od 101 mm +3 až +8 mm					
Reakce na oheň	Reakce na oheň	E <sub>1</sub> -s3, d2				
Stálost tepelného odporu při stárnutí/degradaci	Součinitel tepelné vodivosti	viz tabulka výše				
	Rozměry a tolerance	viz tabulka výše				
	Rozměrová stabilita	3%				
	Stálost charakteristik	nemění se				
	Nejnižší provozní teplota	NPD				
Stálost tepelného odporu při vysoké teplotě	Nejvyšší provozní teplota	90°C				
	Stálost charakteristik	nemění se				
	Rozměrová stabilita	3%				
Stálost reakce na oheň při vysoké teplotě	Nejvyšší provozní teplota	90°C				
	Stálost charakteristik	nemění se				
Stálost reakce na oheň při stárnutí /degradaci	Stálost charakteristik	nemění se				
Pevnost v tlaku	-	NPD				
Propustnost vody	Nasákavost	WS 005 (W <sub>p</sub> ≤ 0,05)				
Propustnost vodní páry	Nasákavost	NPD				
	Difúzní odpor	NPD				
Uvolnění korozivních látek	Stopové množství rozpustných iontů a hodnoty pH	CL 5 (≤ 5 mg/kg), PH 6,5				

NPD – žádná vlastnost nebyla stanovena



# www.mirelon.com

Společnost je zapsána u rejstříkového soudu v Ostravě pod spis. značkou B 2603. • Certifikace BRC/IoP se vztahuje pouze na potravinářské PVC fólie.



Základní charakteristika		Vlastnost	Harmonizová technická specifikace
Index zvukové pohltivosti	Přenos zvuku šířícího se konstrukcí	NPD	EN 14313:2009+A1:2013
	Zvuková pohltivost	NPD	
Uvolnění nebezpečných látek do vnitřního prostředí	Uvolňování nebezpečných látek	NPD	
Hoření postupujícím žhnutím	Hoření postupujícím žhnutím	NPD	

*NPD – žádná vlastnost nebyla stanovena*

Technický list byl vypracován na základě protokolů oznámených subjektů: č. 1023 (Institut pro testování a certifikaci a.s., třída Tomáše Bati 299, Louky, 763 02 Zlín) a č. 1390 (Centrum stavebního inženýrství a.s., ul. Pražská 16, 102 00 Praha 10).

Schváleno dne 15. 11. 2018

<div></div>			
1023, 1390			
Mirel Vratimov a.s.			
Mourová 114/7, 739 32 Vratimov			
12			
POV 1/2018			
EN 14313+A1			
MIRELON® PRO			
Tepelně izolační výrobek, určený k použití jako tepelná izolace zařízení, budov a průmyslových instalací			
ThIBEII			
Součinitel tepelné vodivosti W/m.K			
°C	λ <sub>D</sub>	°C	λ <sub>D</sub>
0	0,044	50	0,057
10	0,046	90	0,069
20	0,049	X	X
reakce na oheň		E <sub>L</sub> -s3, d2	
tloušťka stěny		viz tabulka níže	
PEF - EN 14313 - ST(+) 90 - WS 005 - CL 5 - PH 6,5			
tloušťka stěny:		6 mm	
		9 mm	
		13 mm	
		20 mm	
		25 mm	

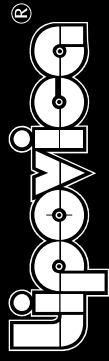


# HLINÍKOVÉ RADIÁTORY

katalog







hliníkové  
RADIÁTORY

# Proč zvolit hliníkové radiátory LIPOVICA

V současné době se na topení klade větší důraz po funkční a estetické stránce. Je žádána nejvyšší kvalita, schopná zajistit pohodlí, úsporu energie a ohled k životnímu prostředí.

Hliník se používá teprve posledních sto let. Současné technologie dovedou vymodelovat z hliníku lachné, harmonické a funkční tvary.


Technicky je hliník vynikající vodič tepla. Má termální vodivost 3x větší než železo a neobyčejnou odolnost vůči tlaku. Je ideální pro tepelné soustavy vytápění i chlazení.

Hliníkové radiátory předávají teplo již při nízkých teplotních spádech a to s velkou rychlostí a efektivitou. Těchto vlastností se stále více využívá k šetření energií.

Nízkoteplotní instalace s kondenzačními kotle, s tepelnými čerpadly nebo se solárními panely se budou doplňovat hliníkovými radiátory.

 **Hybridní zapojení**  
– radiátor je zapojen v otopném systému  
a zároveň je osazen topnou tyčí

 **Elektrický radiátor**  
– radiátor se vyrábí  
i jako samostatný el. radiátor

 **Hydro napojení**  
– radiátor lze standardně  
připojit do otopné soustavy

## Přednosti radiátorů LIPOVICA

### estetika

moderní design s dokonalou povrchovou úpravou, možnost  
tisíce barevných tónů

### přenos tepla

dokonalý přenos tepla již při nízkých teplotách otopného  
média zaručuje snížení provozních nákladů, teplo je příjemné  
a pohodové

### životnost

během provozu si radiátory zachovávají stálou kvalitu vnějšího  
i vnitřního povrchu, rychlost koroze je hluboko pod hranicí  
normy, radiátory mají životnost stavby

### záruka

na radiátory se poskytuje záruka 20 let

### bezpečnost

radiátory jsou svým provedením a tvarem bezpečné proti úrazu.  
Typ ORION splňuje nejhročnější požadavky na bezpečnost  
pro veřejné prostory. Povrch a barva splňují hygienické normy.  
Radiátory se dají používat v prашném i vlhkém prostředí.

### spodní připojení

spodní připojení je k dispozici ve třech variantách a může být  
v kterékoli části radiátoru

### provoz

radiátory lze díky speciálnímu chemickému složení spojovat  
s měděnými, železnými i plastovými rozvody – pracují s pH  
vody v rozmezí 7 až 9,5 pH. Nepotřebují inhibitory.

### slitina

radiátory jsou vyrobeny ze slitiny AlSi12Cu2 – speciální slitiny  
hliníku. Tato slitina je stabilní, homogenní, neporézní, chemicky  
a elektrolyticky je neutrální k jiným kovům v otopné soustavě

### odlitek

radiátory jsou vyrobeny technologií vysokotlakého lití hliníku,  
nemají žádné lepené spoje

### tlak

vydrží vysoký provozní tlak otopné soustavy až 1,6 Mpa



# PLANO



**PLANO** – článkové otopné hliníkové těleso tlakové lité ze slitin Al. Je určeno k vytápění v individuální i hromadné bytové výstavbě s nuceným nebo samostatným oběhem. Vyrábí se v roztečích přípojení **350, 500, 600 a 700 mm**. Možnost hybridního a elektrického provedení (str. 23).

Radiátor je dodáván v délce **2 až 30 článků** vždy v sudých počtech.

Montážní balíček: **SMOB**

Připojení: **závit 4 x G 1" vnitřní (levý a pravý)**

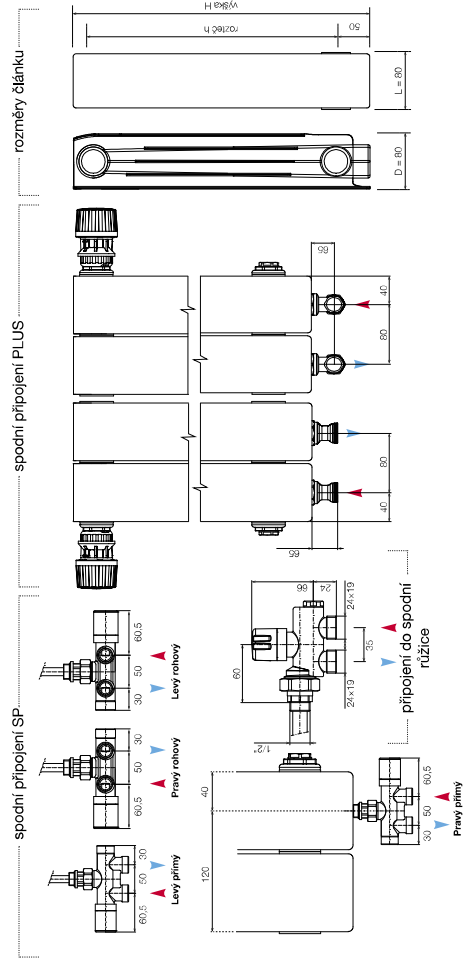
Redukce: **3/4", 1/2"**

Nalivší přípustný provozní tlak: **1,6 Mpa**

Nalivší přípustná teplota: **110 °C**

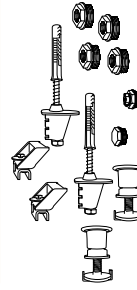
Připojení na soustavu topení je **boční, úhlopříčné nebo spodní**. Při montáži tělesa se doporučuje vzdálenost **od podlahy 12 až 15 cm**, od horních parapetů **7 cm**.

## TECHNICKÉ NÁKRESY



Typ radiátoru	rozteč h mm	výška H mm	délka L mm	hloubka D mm	hmotnost článků kg	vodní objem l	přístupná plocha m²	75/65/20° topný výkon W	55/45/20° topný výkon W
<b>PLANO 350</b>	350	426	80	80	1,02	0,3	0,3	86	45
<b>PLANO 500</b>	500	576	80	80	1,35	0,34	0,42	113	57
<b>PLANO 600</b>	600	676	80	80	1,56	0,38	0,5	125	64
<b>PLANO 700</b>	700	776	80	80	1,76	0,43	0,59	147	75

## DOPLŇKY



Montážní balíček **SMOB** (str. 24)



Jednoválcové armatury (str. 26)

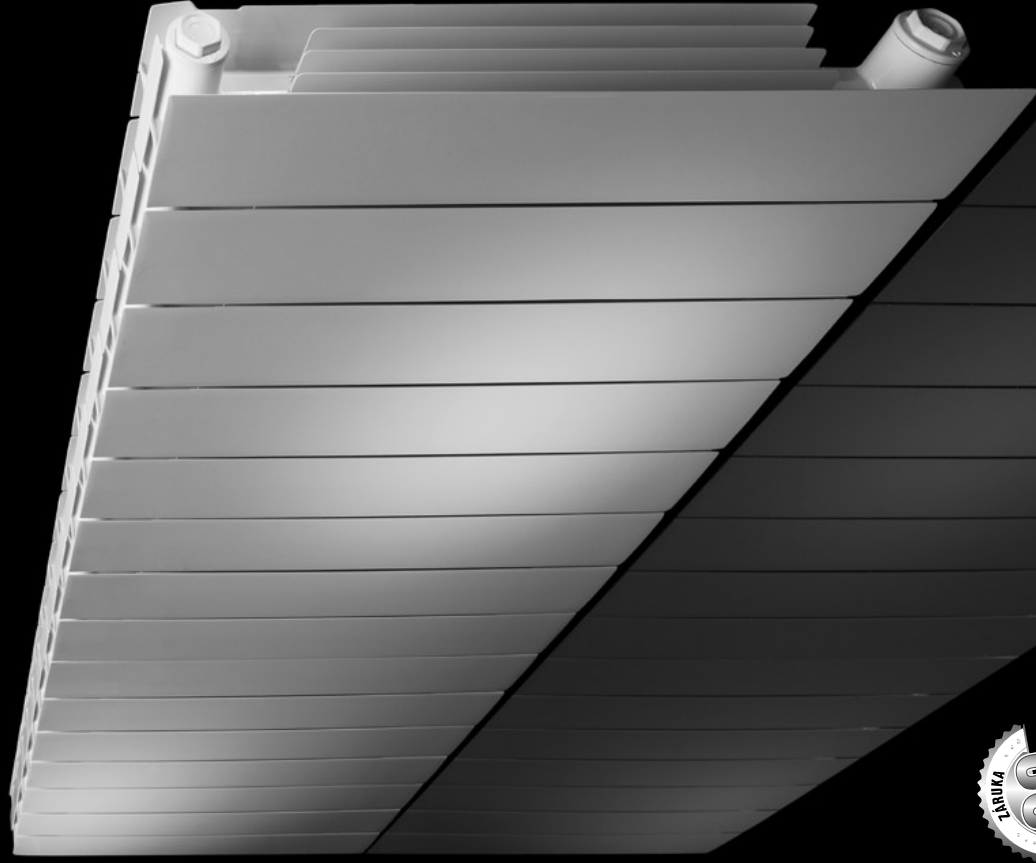


Topné těče (str. 23)



Termohlavice a příslušenství (str. 27)

**lipovica®**



V321 / V302



V66-T / V662



V815



V431 / V432



V159



Elegantní **COOL** nabízí inovativní a patentovaná technická řešení s krásou a lehkostí Italského designu. Tento okouzluje hliníkový radiátor lze integrovat do mnoha různých interiérových projektů. Široká škála povrchových úprav pak splní náročné potřeby architektů a designérů.



# TOPNÉ TYČE

**Doplňkové otopné soustavy** – Radiátory, které jsou součástí otopné soustavy, mohou být navíc osazeny elektrickou topnou tyčí. Tato elektrická topná tyč umožňuje vytápění pouze radiátorem, ve kterém je osazena, bez zapnutí celé otopné soustavy. Pro koupelnové radiátory používáme tyče **MEK** pro článková tělesa pak tyče **HGT**. Tato kombinace se využívá proti zámrazu v garážích, k vytápění ve vybraných místnostech nebo pro článkové ovládání topení na chalupách a chalupách. Lze je využít i jako hlavní ohřev místnosti, kdy není ekonomické točit v celé soustavě. Součástí topné tyče je popsaný regulátor teploty.

## VERTIKÁLNÍ ZAPOJENÍ MEK

obj. kód	elektrický výkon W	délka mm
<b>barva bílá</b>		
MEK0300BR	300	305
MEK0600BR	600	355
MEK0900BR	900	405
<b>barva chrom</b>		
MEK0300CR	300	305
MEK0600CR	600	355
MEK0900CR	900	405



## HORIZONTÁLNÍ ZAPOJENÍ HGT

obj. kód	elektrický výkon W	délka mm
<b>barva bílá</b>		
HGT0300BK	300	340
HGT0300BK	600	390
HGT0300BK	900	440
HGT1200BK	1 200	470
HGT1500BK	1 500	520
HGT2000BK	2 000	570
<b>ostatní barevné úpravy na dotaz</b>		



# ELEKTRICKÉ RADIÁTORY

**Samostatné elektrické radiátory** Oproti přímému topení má samostatný hliníkový radiátor větší účinnost a ekonomičtější provoz. Při malém elektrickém výkonu nabízí velkou tepelnou pohodu. Nepotřebuje žádné potrubí a rozvody. Přívodní kabel se zapojí do zásuvky 220 V nebo do elektrické zásuvky umístěné za radiátorem. Topná tyč je nainstalována v dolní části radiátoru a osahuje regulátor teploty. Regulace udržuje nastavenou teplotu v rozsahu regulace třech úrovní.

Radiátor je naplněn teplosměnným nemrznoucím médiem. Elektrický přívod je ve spodní části regulátoru. Kroucená přívodní šňůra je ve svinutém stavu 25 cm a v rozvinutém stavu 100 cm dlouhá.



**Elektrické hliníkové radiátory mohou pracovat samostatně nebo jako doplněk otopné soustavy takzvané hybridní zapojení.**



### Krátká informace

Stěnový ventilátor pro odvětrání, DN 200

### Příklady použití

Kancelář, Prodejna, Provozovna, Restaurace, Výrobní

Typové číslo

0081.0307

### Technické údaje

Průtok	420 m³/h
Počet otáček	1.350 1/min
Typ oběžného kola	axiální
Směr proudění vzduchu	Odvětrání
Lze regulovat	✓
Možnost reverzace	–
Druh napětí	Jednofázový proud
Napájecí napětí	230 V
Kmitočet sítě	50 Hz
Jmenovitý výkon	30 W
I <sub>Max</sub>	0,21 A
Druh krytí	IP 44
Síťový přívod	3 / 1,5 mm²
Umístění	Stěna / Strop
Způsob instalace	Na omítku
Montážní poloha	libovolný
Materiál	Umělá hmota
Barva	bílá, jako RAL 9016
Hmotnost	2,5 kg
Jmenovitá světlost	200 mm
Šířka	320 mm
Výška	320 mm
Hloubka	158 mm
Teplota média při I <sub>Max</sub>	40 °C
Akustický tlak	45 dB(A)
Balení	1 kus
Sortiment	C
EAN	4012799813071

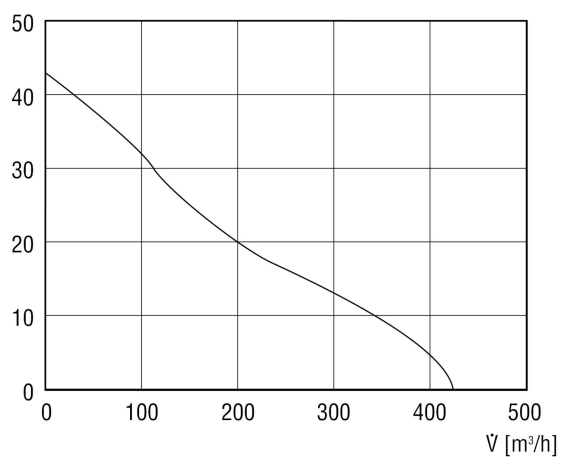
### Oktávový akustický výkon

	63 Hz	125 Hz	250 Hz	500 Hz	1 kHz	2 kHz	4 kHz	8 kHz	Celkem
<b>L<sub>WA7</sub>, výso- ký (dB(A))</b>	–	–	–	–	–	–	–	–	54

L<sub>WA7</sub>= akustický výkon v dB pro pouzdro a volné sání.

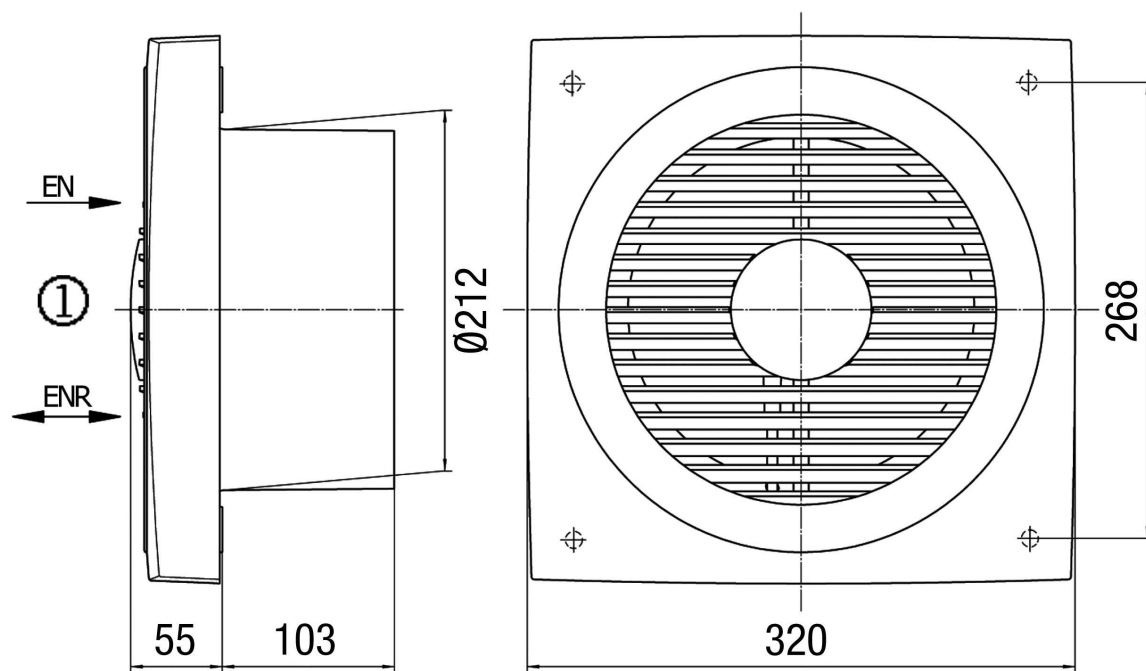
### Charakteristika

$\Delta p_{st}$  [Pa]



# EN 20

Výkres [mm]



① Uvnitř